UNIVERSIDADE FEDERAL DE MINAS GERAIS Escola de Engenharia Programa de Pós-graduação em Engenharia de Estruturas

Juliana Barros de Rezende

ANÁLISE OBJETIVA E SUBJETIVA DA INFLUÊNCIA DO RUÍDO DE IMPACTO DE PISO EM EDIFICAÇÕES

Juliana Barros de Rezende

ANÁLISE OBJETIVA E SUBJETIVA DA INFLUÊNCIA DO RUÍDO DE IMPACTO DE PISO EM EDIFICAÇÕES

Dissertação apresentada ao Programa de Pós-Graduação em Engenharia de Estruturas da Escola de Engenharia da Universidade Federal de Minas Gerais, como requisito parcial à obtenção do título de Mestre em Engenharia de Estruturas.

Orientador: Francisco Carlos Rodrigues

Co-orientador: Marco Antônio de Mendonça

Vecci

Co-orientador: Emílio Suyama

Belo Horizonte

1 (0

R467a

Rezende, Juliana Barros de.

Análise objetiva e subjetiva da influência do ruído de impacto de pisos em edificações [recurso eletrônico] / Juliana Barros de Rezende. - 2014.

1 recurso online (xv, 213 f. : il., color.) : pdf.

Orientador: Francisco Carlos Rodrigues.

Coorientador: Marco Antônio de Mendonça Vecci.

Coorientador: Emílio Suyama.

Dissertação (mestrado) - Universidade Federal de Minas Gerais, Escola de Engenharia.

Anexos: f. 116-213. Bibliografia: f. 110-115.

Exigências do sistema: Adobe Acrobat Reader.

1. Engenharia de estruturas - Teses. 2. Controle de ruído - Teses. 3. Emissão acústica - Teses. 4. Normas técnicas (Engenharia) - Teses. I. Rodrigues, Francisco Carlos. II. Vecci, Marco Antônio de Mendonça. III. Suyama, Emílio. IV. Universidade Federal de Minas Gerais. Escola de Engenharia. V. Título.

CDU: 624(043)

ATA DA DEFESA DE DISSERTAÇÃO DE MESTRADO EM ENGENHARIA DE ESTRUTURAS Nº: 277 da aluna Juliana Barros de Rezende.

Às 09:30 horas do dia 16 do mês de dezembro de 2014, reuniu-se, na Escola de Engenharia da Universidade Federal de Minas Gerais - UFMG, a Comissão Examinadora indicada pelo Colegiado do Programa em 17 de outubro de 2014, para julgar a defesa da Dissertação de Mestrado intitulada "Modelo Estatístico para Análise Objetiva e Subjetiva da Influência do Ruído de Impacto de Piso em Edificações", cuja aprovação é um dos requisitos para a obtenção do Grau de MESTRE EM ENGENHARIA DE ESTRUTURAS na área de ESTRUTURAS.

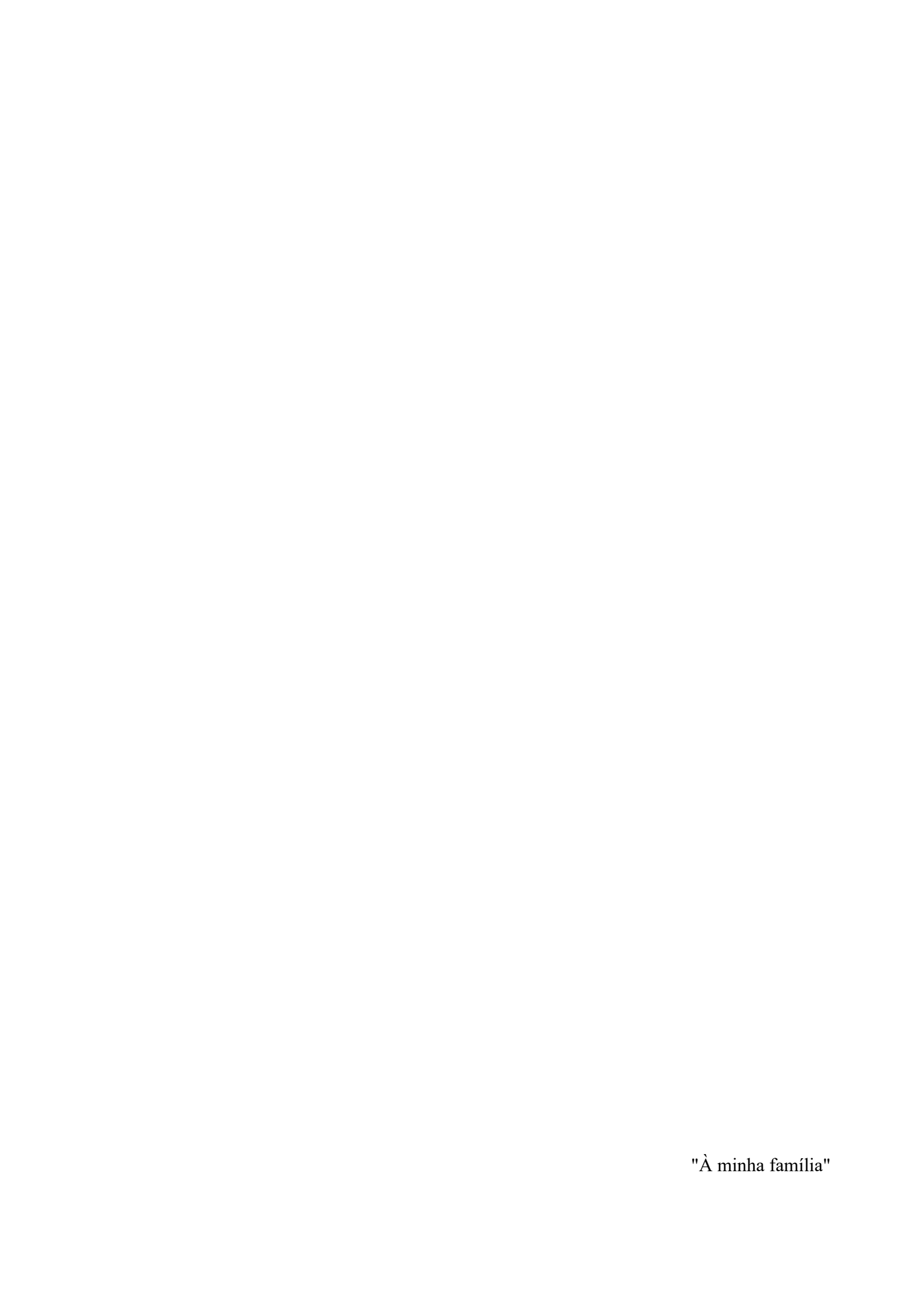
Abrindo a sessão, o Presidente da Comissão, Prof. Dr. Francisco Carlos Rodrigues, após dar a conhecer aos presentes o teor das Normas Regulamentares passou a palavra à candidata para apresentação de seu trabalho. Seguiu-se a argüição pelos examinadores, com a respectiva defesa da candidata. Logo após, a Comissão se reuniu, sem a presença da candidata e do público, para julgamento e expedição do resultado final. Foram atribuídas as seguintes indicações:

(Aprov./Repr.)

Prof. Dr. Francisco Carlos Rodrigues - DEES - UFMG (Orientador) APROV.
Prof. Dr. Emilio Suyama - ICEX - UFMG A protection
Prof. Dr. Max de Castro Magalhães - DEES - UFMG Han was
Engº. Dr. Marco Antônio Nabuco de Araújo - INMETRO / /prosacla
Pelas indicações acima, a candidata foi considerada APROVADA, conforme pareceres em anexo.
O resultado final foi comunicado publicamente à candidata pelo Presidente da Comissão.
Nada mais havendo a tratar, o Presidente encerrou a reunião e lavrou a presente ATA, que será assinada por todos os membros participantes da Comissão Examinadora. Belo Horizonte, 16 de dezembro de 2014. francisco Carlo fodragues
tentisana la
Observações:
 A aprovação da candidata na defesa da Dissertação de Mestrado não significa que a mesma tenha cumprido todos os requisitos necessários para obtenção do Grau de Mestre em Engenharia de Estruturas;

 Este documento não terá validade sem a assinatura e carimbo do Coordenador do Programa de Pós-Graduação.

PROF. FELÍCIO BRUZZI BARROS
Coordenador do Programa de Pós-Graduação em
Engenharia de Estruturas da E.E. UFMG



AGRADECIMENTOS

Primeiramente, gostaria de agradecer ao meu marido e meu filho, meus "combustíveis" para seguir em frente e encarar a vida e os desafios com alegria.

Aos meus pais, meus grandes exemplos, pelo incentivo e por estarem sempre comigo em todas as situações.

Ao meu irmão, exemplo de determinação, dedicação, e que, mesmo longe, está presente no nosso dia-a-dia.

À minha família, em especial, à minha avó, pelo carinho e por proporcionar as boas reuniões de família aos finais de semana.

A Deus, fonte de luz, pela eterna presença em minha vida.

Ao meu orientador Prof. Francisco Carlos Rodrigues, pelo grande apoio.

Ao meu co-orientador Prof. Marco Antônio M. Vecci, pelos anos de trabalho, ensinamentos e pela imensa colaboração na minha Dissertação.

Ao meu co-orientador Prof. Emílio Suyama, pelas horas de reunião, dedicação e por acreditar neste trabalho.

Aos professores e funcionários do DEES.

Aos meus amigos e colegas de mestrado e doutorado, com quem tive o prazer de conviver nestes anos de trabalho.

Aos meus amigos da Oppus, Rafaela e Frederico, pelo apoio e incentivo.

A todos os amigos colaboradores e seus vizinhos que disponibilizaram seus apartamentos para a realização deste trabalho.

À empresa Oppus Acústica Ltda. por ter disponibilizado todos os equipamentos de medição, viabilizando este projeto.

"Obrigada a todos"

RESUMO

Em geral, o ruído de impacto de piso gera incômodo em usuários de edificios verticais, principalmente em ambientes residenciais. Sob esta ótica, vários países estão atentos ao problema, inclusive o Brasil. Neste trabalho, foi desenvolvida uma pesquisa de percepção do incômodo gerado pelo ruído de impacto de piso em edificações residenciais na cidade de Belo Horizonte, através de entrevistas com os moradores e ensaios acústicos em apartamentos. Foram efetuadas comparações dos resultados ensaiados com os critérios estabelecidos pela norma de desempenho de edificações ABNT NBR 15575-3:2013 e algumas regulamentações internacionais. Constatou-se que o critério brasileiro de menor desempenho está muito acima dos mínimos permitidos para outros países, e que das quatorze edificações ensaiadas, apenas uma não atendeu à norma brasileira. Através destas comparações e da elaboração de um procedimento para uma avaliação subjetiva, foi possível verificar se estes critérios estabelecidos pela mesma são adequados à percepção dos usuários das edificações, e observouse uma grande maioria de insatisfeitos em relação aos níveis de ruído de impacto de piso. Como resultado desta avaliação, foi proposto um novo critério, fundamentado na percepção de incômodo dos usuários.

Palavras-chave: Acústica de edificações, NBR 15575-3:2013, Ruído de Impacto de Piso, Medições, Análise Subjetiva.

ABSTRACT

In general, the impact noise floor creates nuisance in users of vertical buildings, mainly in residential environments. From this perspective, several countries are aware of the problem, including Brazil. In this work, a survey of perception of annoyance due to impact noise floor in residential buildings in the city of Belo Horizonte, through interviews with residents in apartments and acoustic testing was developed. Comparisons of the tested criteria established by the performance of buildings standard ABNT NBR 15575-3:2013 and some international regulatory outcomes were made. It was found that the criteria of Brazilian lower performance is well above the minimum allowed for other countries, and that the fourteen buildings tested, only one did not attend the Brazilian standard. Through these comparisons and the development of a procedure for a subjective evaluation, it was possible to determine whether these criteria are appropriate to the same perception of the users of the buildings, and there was a large majority of dissatisfied in relation to levels of impact noise floor. As a result of this evaluation, new criteria have been proposed based on the perceived hassle of users.

Keywords: Acoustics of Buildings, NBR 15575-3: 2013, Impact Noise in Floor, Measurements, Subjective Analysis.

LISTA DE FIGURAS

Figura 1 - Fontes de ruído urbano
Figura 2 - Fonte geradora de ruído estrutural, transmitido entre ambientes vizinhos26
Figura 3 - Níveis de pressão sonora de ruídos de impacto mais comuns em residências .27
Figura 4 - Condições de ensaio de determinação do nível de ruído de impacto de piso 28
Figura 5 - Sistema de isolamento de impacto de piso
Figura 6 - Mapa da região metropolitana de Belo Horizonte com a localização das
edificações ensaiadas
Figura 7 - Máquina geradora de ruído de impacto - Padrão ISO 140-743
Figura 8 - Gráfico comparativo entre os ensaios, a norma brasileira e demais
regulamentações internacionais - índice L'nT, w
Figura 9 - Gráfico comparativo entre os ensaios e demais regulamentações internacionais
- índice <i>L'n</i> , <i>w</i>
Figura 10 - Relação entre as variáveis Nível de Insatisfação com o Ruído de Impacto de
Piso e <i>L'nT</i> , w
Figura 11 - Gráfico dos pesos das variáveis nas duas primeiras componentes, sendo a
primeira a nova variável Nível de Insatisfação com o Ruído de Impacto de Piso67
Figura 12 - Gráfico do número da componente principal e seus respectivos autovalores 67
Figura 13 - Gráfico dos pesos das variáveis nas duas primeiras componentes, sendo a
primeira a nova variável Nível de Percepção do Ruído no Presente70
Figura 14 - Gráfico do número da componente principal e seus respectivos autovalores 70
Figura 15 - Gráfico dos pesos das variáveis nas duas primeiras componentes, sendo a
primeira a nova variável Nível de Percepção do Ruído no Passado73
Figura 16 - Gráfico do número da componente principal e seus respectivos autovalores 73
Figura 17 - Gráfico dos pesos das variáveis nas duas primeiras componentes, sendo a
primeira a nova variável Tipologia da Laje
Figura 18 - Gráfico do número da componente principal e seus respectivos autovalores 75
Figura 19 - Gráfico dos pesos das variáveis nas duas primeiras componentes, sendo a
primeira a nova variável Relação com o Lugar
Figura 20 - Gráfico do número da componente principal e seus respectivos autovalores 78
Figura 21 - Gráfico dos pesos das variáveis nas duas primeiras componentes, sendo a
primeira a nova variável Baixa Qualidade Ambiental81
Figura 22 - Gráfico do número da componente principal e seus respectivos autovalores 81

Figura 23 - Gráfico dos pesos das variáveis nas duas primeiras componentes, sendo a
primeira a nova variável Qualidade do Apartamento
Figura 24 - Gráfico do número da componente principal e seus respectivos autovalores 84
Figura 25 - Diagrama de dispersão entre a variável explicativa $L'nT$, w e a variável resposta
Nível de Insatisfação com o Ruído de Impacto de Piso
Figura 26 - Diagrama de dispersão entre a variável explicativa Ruído Ambiente e a variável
resposta Nível de Insatisfação com o Ruído de Impacto de Piso
Figura 27 - Diagrama de dispersão entre a variável explicativa Idade do Edifício e a variável
resposta Nível de Insatisfação com o Ruído de Impacto de Piso
Figura 28 - Diagrama de dispersão entre a variável explicativa Tipologia da Laje e a variável
resposta Nível de Insatisfação com o Ruído de Impacto de Piso
Figura 29 - Diagrama de dispersão entre a variável explicativa Log do Preço e a variável
resposta Nível de Insatisfação com o Ruído de Impacto de Piso
Figura 30 - Diagrama de dispersão entre a variável explicativa Idade do Entrevistado e a
variável resposta Nível de Insatisfação com o Ruído de Impacto de Piso
Figura 31 - Diagrama de dispersão entre as variáveis explicativas Idade do Entrevistado e
Relação com o Lugar
Figura 32 - Diagrama de dispersão entre a variável explicativa Relação com o Lugar e a
variável resposta Nível de Insatisfação com o Ruído de Impacto de Piso90
Figura 33 - Diagrama de dispersão entre a variável explicativa Sexo do Entrevistado e a
variável resposta Nível de Insatisfação com o Ruído de Impacto de Piso91
Figura 34 - Diagrama de dispersão entre a variável explicativa Percepção do Ruído no
Presente e a variável resposta Nível de Insatisfação com o Ruído de Impacto de Piso92
Figura 35 - Diagrama de dispersão entre a variável explicativa Percepção do Ruído no Passado
e a variável resposta Nível de Insatisfação com o Ruído de Impacto de Piso92
Figura 36 - Diagrama de dispersão entre a variável explicativa Baixa Qualidade Ambiental
no Presente e a variável resposta Nível de Insatisfação com o Ruído de Impacto de Piso93
Figura 37 - Diagrama de dispersão entre a variável explicativa Qualidade do Apartamento e
a variável resposta Nível de Insatisfação com o Ruído de Impacto de Piso94
Figura 38 - Diagrama de dispersão entre a variável Espessura da Laje e a variável explicativa
<i>L'nT</i> , <i>w</i> 94
Figura 39 - Diagrama de dispersão entre a variável Tipologia da Laje e a variável explicativa
<i>L'nT</i> , <i>w</i>

Figura 40 - Diagrama de dispersão entre a variável Espessura da Laje e a variável explicativa
Idade do Edifício95
Figura 41 - Diagrama de dispersão entre as variáveis explicativas Idade do Edifício e o
<i>L'nT</i> , w96
Figura 42 - Diagrama de dispersão entre as variáveis explicativas Log do Preço e a Qualidade
do Apartamento96
Figura 43 - Diagrama de dispersão entre as variáveis Log do Preço e o <i>L'nT</i> , <i>w</i> 97
Figura 44 - Gráfico dos níveis de insatisfação em relação a alguns limites de $L'nT$, w 115
Figura 45- Gráfico de níveis de insatisfação em relação a limites de <i>L'nT</i> , w da FHA - Grad.
1, 2 e 3119

LISTA DE TABELAS

Tabela 1 - Resultados das medições de diferentes configurações de pisos flutuantes31
Tabela 2 - Valores de referência de $L'nT$, w recomendados pela norma brasileira NBR 15575-
3:2013 34
Tabela 3 - Valores de referência de $L'nT$, w recomendados pela FHA (HUD) dos Estados
Unidos (adaptado de BERENDT, 1967)
Tabela 4 - Valores de referência de $L'nT$, w recomendados pela NBCC do Canadá (adaptado
de NADER ELHAJJ, 2002)
Tabela 5 - Valores de referência de $L'nT$, w recomendados pela BCA da Austrália (adaptado de
NADER ELHAJJ, 2002)
Tabela 6 - Valores de referência de L'nT, w recomendados pelo IBC em diversos países
europeus (adaptado de NADER ELHAJJ, 2002)
Tabela 7 - Valores de referência de $L'nT$, w recomendados pela HLC do Japão (adaptado de
NADER ELHAJJ, 2002)
Tabela 8-1 - Dados dos levantamentos arquitetônicos e medições acústicas51
Tabela 9 - Qualificação do desempenho acústico dos sistemas de piso ensaiados em relação à
norma ABNT NBR 15575:201354
Tabela 10-1 - Dados do levantamento, das medições e respostas do questionário por
entrevistado58
Tabela 11 - Questões originais para a componente Nível de Insatisfação com o Ruído de
Impacto de Piso
Tabela 12 - Composição da nova variável Nível de Insatisfação - resultados em relação às
respostas das variáveis originais
Tabela 13 - Questões originais para a componente Nível de Percepção do Ruído no Presente
68
Tabela 14 - Composição da nova variável Nível de Percepção do Ruído no Presente - resultados
em relação às respostas das variáveis originais
Tabela 15 - Questões originais para a componente Nível de Percepção do Ruído no Passado71
Tabela 16 - Composição da nova variável Nível de Percepção do Ruído no Passado - resultados
em relação às respostas das variáveis originais
Tabela 17 - Composição da nova variável Tipologia da Laje - resultados em relação às variáveis
originais
Tabela 18 - Questões originais para a componente Relação com o Lugar76

Tabela 19 - Composição da nova variável Relação com o Lugar - resultados em relação às
respostas das variáveis originais
Tabela 20 - Questões originais para a componente Baixa Qualidade Ambiental79
Tabela 21 - Composição da nova variável Baixa Qualidade Ambiental - resultados em relação
às respostas das variáveis originais
Tabela 22 - Questões originais para a componente Qualidade do Apartamento82
Tabela 23 - Composição da nova variável Qualidade do Apartamento - resultados em relação
às respostas das variáveis originais
Tabela 24 - Variáveis adotadas no modelo de regressão linear múltipla85
Tabela 25 - Dados das variáveis explicativas e a variável resposta Nível de Insatisfação de
Ruído de Impacto de Piso
Tabela 26 - Saída do Minitab para Todas as Regressões Possíveis para o Nível de Insatisfação
do Ruído de Impacto de Piso (Q25+Q17+Q15)100
Tabela 27 - Escala de Significância de Fisher
Tabela 28 - Modelos como resposta o Nível de Insatisfação com o Ruído de Impacto de Piso
(Q25+Q17+Q15)
Tabela 29 - Saída do Minitab para o modelo 1 como resposta o Nível de Insatisfação do Ruído
de Impacto de Piso (Q25+Q17+Q15)
Tabela 30 - Simulação para o modelo 1 em função de $L'nT$, w
Tabela 31 - Saída do Minitab para o modelo 4 como resposta o Nível de Insatisfação do Ruído
de Impacto de Piso (Q25+Q17+Q15)
Tabela 32 - Simulação para o modelo 4 em função de <i>L'nT</i> , <i>w</i>
Tabela 33 - Saída do Minitab para o modelo 11 como resposta o Nível de Insatisfação do Ruído
de Impacto de Piso (Q25+Q17+Q15)
Tabela 34 - Simulação para o modelo 11 em função de <i>L'nT</i> , <i>w</i>
Tabela 35 - Níveis de insatisfação em relação a alguns limites de $L'nT$, w
Tabela 36 - Níveis de insatisfação em relação a limites de $L'nT$, w da FHA - Grad. 1 115
Tabela 37 - Níveis de insatisfação em relação a limites de <i>L'nT</i> , w da FHA - Grad. 2116
Tabela 38 - Níveis de insatisfação em relação a limites de <i>L'nT</i> , <i>w</i> da FHA - Grad. 3118

LISTA DE ABREVIATURAS E SIGLAS

ABNT - Associação Brasileira de Normas Técnicas

ASTM - American Society for Testing and Materials

dB - Decibel

dB(A) - Decibel na curva de ponderação A

BCA - Building Code of Australia

BSL - Building Standard Law

cm - centímetros

C1, C2, C3, C4 - Pontos de colocação da Máquina de Impacto Padrão

C₁ - Termo de Adaptação de Espectro

CII ou IIC - Classe de Isolamento de Impacto

FHA - Federal Housing Administration

HUD - United States Departament Of Housing and Urban Development

Hz - Hertz

ISO - International Organization for Standardization

kg - Kilograma

kHz - Kilohertz

I - grupo dos entrevistados "Insatisfeitos" em relação ao nível de ruído de impacto de piso

IBC - Institute of Building Control

L_i - Níveis de Pressão Sonora por banda de frequência

L'_n - Níveis de Pressão Sonora Normalizado de Impacto

 L'_{nT} - Níveis de Pressão Sonora Padronizado de Impacto

 $L'_{n,w}$ - Nível de Pressão Sonora Normalizado Ponderado de Impacto

 $L'_{nT,w}$ - Nível de Pressão Sonora Padronizado Ponderado de Impacto

*L*_P - Nível de Pressão Sonora

 L_V - Nível de Velocidade de Radiação

 L_W - Nível de Potência Sonora

m - metros

m² - metros quadrados

m³ - metros cúbicos

MI - grupo dos entrevistados "Muito Insatisfeitos" em relação ao nível de ruído de impacto de piso

MPI - grupo dos entrevistados "Muito Pouco Insatisfeitos" em relação ao nível de ruído de impacto de piso

NBCC - National Building Code of Canada

NBR - Norma Brasileira

P1, P2, P3, P4 e P5 - Ponto de colocação do Medidor de Nível de Pressão Sonora

PCA - Análise de Componentes Principais

PD - Pé-direito

PI - grupo dos entrevistados "Pouco Insatisfeitos" em relação ao nível de ruído de impacto de piso

R² Ajust - Coeficiente de Determinação Ajustado

S - Desvio Padrão da amostra

s - segundos

T - Tempo de Reverberação

Valor-P - Nível de Significância

VIF - Fator de Inflação de Variância

SUMÁRIO

1.	INTRODUÇÃO
1.1.	Objetivos
1.2.	Relevância20
1.3.	Metodologia da Pesquisa
1.4.	Estrutura da dissertação
2.	CONTEXTUALIZAÇÃO
2.1.	O Ruído
2.2.	O Ruído em edificações
2.3.	O isolamento do ruído de impacto
2.4.	Radiação Sonora em elementos da edificação
2.5.	Caracterização do Isolamento do Ruído de Impacto
2.6.	Critérios estabelecidos em normas e regulamentações
3.	METODOLOGIA39
3.1.	Definição das amostras41
3.2.	Equipamentos de medição
3.3.	Procedimentos de medição e cálculo
3.3.1.	Medição do Ruído de Impacto de pisos e Ruído Ambiente - ISO 140-7: 199844
3.3.2.	Medição de absorção sonora em ambiente reverberante - ISO 354: 200345
3.3.3.	Cálculo do Isolamento de Ruído de Impacto - ISO 717-2: 1996
3.3.4.	Cálculo para a determinação da Classe de Isolamento de Impacto (CII) - ASTM E 989:
1989	47
3.4.	Levantamento arquitetônico
3.5.	Questionário
4.	ANÁLISE DE DADOS E RESULTADOS50
4.1.	Apresentação dos Dados

4.1.1.	Resultados dos Levantamentos Arquitetônicos e Medições Acústicas	50
4.1.2.	Resultados do Questionário de Avaliação	57
4.2.	Análise dos Dados e Resultados	63
4.2.1.	Análise de Componentes Principais	63
4.2.1.1.	Nível de Insatisfação com o Ruído de Impacto de Piso	64
4.2.1.2.	Nível de Percepção do Ruído no Presente	68
4.2.1.3.	Nível de Percepção do Ruído no Passado	71
4.2.1.4.	Tipologia da Laje	74
4.2.1.5.	Relação com o Lugar	76
4.2.1.6.	Baixa Qualidade Ambiental	79
4.2.1.7.	Qualidade do Apartamento	82
4.3.	Relação entre variáveis	84
4.4.	Seleção das variáveis e a construção do modelo de regressão	97
4.4.1.	Todas as Regressões Possíveis	98
4.4.1.1.	Valor-P	101
4.4.1.2.	Multicolinearidade	101
4.4.2.	Regressão por Etapas	103
5.	CONCLUSÕES	121
5.1.	Considerações Finais	121
5.2.	Proposta para Trabalho Futuro	126
	REFERÊNCIAS BIBLIOGRÁFICAS	127
	ANEXOS	133
	ANEXO A	134
	ANEXO B	153
	ANEXO C	181
	ANEXO D	195
	ANEXO E	214

ANEXO F

1

Introdução

A poluição sonora nas grandes cidades é uma constante preocupação em diversos países, os quais vêm desenvolvendo técnicas e procedimentos para o controle do ruído. Sob esta temática, o planejamento urbano tem um forte papel quanto à distribuição dos zoneamentos em função dos usos, como residencial, comercial, industrial, misto, bem como a sistematização dos transportes, de forma a solucionar ou minimizar o problema do ruído, num esforço de pensar a cidade monitorando suas transformações.

Paralelamente a esta forma de pensar as cidades, as mudanças em sua estrutura e consequente aumento da densidade demográfica levaram à otimização e aproveitamento do espaço urbano, com a verticalização das estruturas edificadas, impulsionando assim o desenvolvimento de novas tecnologias na construção civil.

Com esta evolução, a busca por técnicas construtivas e materiais que proporcionassem maior agilidade no tempo da construção associada a custos menos onerosos se tornou inevitável. Esses fatores muitas vezes refletem no desempenho e na qualidade acústica das edificações.

O desempenho acústico em edificações está claramente relacionado ao incômodo gerado pelo ruído, o qual pode ser avaliado por índices estabelecidos em normas e regulamentações, bem como através de uma análise subjetiva efetuada junto aos usuários das edificações.

Tradicionalmente no Brasil, é usual desconsiderar a adequação acústica em edificações, o qual é em geral negligenciado desde o projeto arquitetônico, o que leva os usuários a efetuar intervenções posteriores que, na maioria das vezes, são difíceis e dispendiosas ou até impossíveis.

A fim de proporcionar uma melhoria na qualidade de nossas edificações, e, principalmente, na qualidade de vida dos brasileiros, a norma brasileira ABNT NBR 15575:2013 - Desempenho de Edificações Habitacionais - já está em vigor desde 19 de julho de 2013 e é válida apenas para edificações construídas após esta data. A mesma propõe estabelecer padrões no que se refere à segurança, habitabilidade e sustentabilidade das edificações em nosso país, considerando diversos fatores, dentre eles desempenho térmico e lumínico, até o desempenho acústico, através de parâmetros objetivos e quantitativos que podem ser medidos. Dessa forma, buscam-se o disciplinamento das relações entre os elos da cadeia econômica com a rastreabilidade, a diminuição das incertezas dos critérios subjetivos através de perícias, a instrumentação do Código de Defesa do Consumidor, o estímulo à redução da concorrência predatória e um instrumento de diferenciação das empresas. Avaliar o desempenho dos sistemas construtivos é um avanço tanto para o setor da construção civil, quanto para os consumidores que poderão exigir qualidade para suas moradias.

Em países mais desenvolvidos, existem legislações bastante consolidadas que regulamentam os níveis de isolamento de ruído nas edificações. Nos Estados Unidos, os critérios são recomendados pela Federal Housing Administration - FHA do United States Departament Of Housing and Urban Development - HUD (BERENDT, 1967) desde 1967, tanto para isolamento entre unidades habitacionais, como também entre cômodos de um mesmo apartamento. Ainda, conforme apresenta Nader Elhajj (2002), outros códigos internacionais como o Building Code of Australia - BCA, o National Building Code of Canada - NBCC, o Institute of Building Control - IBC dos países europeus, o Building Standard Law - BSL e o Housing Loan Corporation - HLC, ambos do Japão, também estabelecem níveis mínimos para o isolamento entre unidades habitacionais, além de apresentar descrições e até mesmo detalhes para a execução de sistemas construtivos, sendo paredes e pisos, e seus respectivos níveis de desempenho acústico.

1.1. Objetivos

1.1.1. Objetivo geral

Neste trabalho, propõem-se a realização de ensaios visando quantificar o ruído de impacto de pisos em edificações residenciais na cidade de Belo Horizonte e avaliar a percepção do incômodo gerado pelo mesmo através de entrevistas.

1.1.2. Objetivos específicos

- Qualificar o desempenho acústico dos sistemas de pisos ensaiados aos níveis estabelecidos pela norma brasileira de desempenho, a ABNT NBR 15575:2013;
- Comparar os níveis adotados pela norma brasileira e pelas demais regulamentações internacionais através dos resultados obtidos nos ensaios acústicos;
- Identificar e caracterizar os sistemas construtivos típicos adotados nas edificações através de um levantamento arquitetônico;
- Estabelecer critérios para uma avaliação subjetiva do incômodo gerado pelo ruído de impacto de pisos;
- Verificar o nível de satisfação ou insatisfação dos usuários em relação ao nível de ruído de impacto de pisos;
- Avaliar se os critérios estabelecidos pela norma brasileira são adequados à percepção dos usuários das edificações;
- Proposição de novo(s) critério(s) para o ruído de impacto de pisos, fundamentado(s) na percepção de incômodo dos usuários.

1.2. Relevância

O ruído de impacto de pisos é tema de alguns trabalhos brasileiros no que se refere à caracterização de desempenho de diversas tipologias de laje/piso e de sistemas de pisos flutuantes como os de Pereyon, 2008; Conarcchia, 2009; Pedroso, 2007 e Ferraz, 2008. Em contrapartida, nenhum trabalho expressivo brasileiro foi desenvolvido a fim de caracterizar subjetivamente o isolamento de ruído de impacto de piso em edificações, exceto no âmbito internacional.

A avaliação subjetiva é um instrumento de grande valia para verificar a percepção dos usuários quanto ao desempenho das edificações, seja ele referente ao isolamento de ruído de impacto de piso, aéreo, bem como para classificar salas de apresentações e concertos, como exemplo de alguns trabalhos apresentados nesta dissertação e que utilizaram desta mesma metodologia de pesquisa.

É importante ressaltar que os sistemas construtivos adotados em nosso país têm suas peculiaridades, e que muitos dos dados apresentados em outros trabalhos internacionais não se aplicam à realidade brasileira, o que reforça a necessidade de conhecermos o comportamento do ruído de impacto de pisos em nossas edificações. Isto é possível através de uma avaliação objetiva com a realização de ensaios experimentais, a fim de quantificar o isolamento do ruído de impacto de pisos e qualificar o desempenho acústico destas edificações.

Com isto, é possível criarmos um banco de dados como referência para avaliarmos os critérios adotados pela norma brasileira, bem como se os mesmos são adequados à percepção dos usuários das edificações.

Para a realização desta pesquisa, foram selecionados apartamentos a serem ensaiados que seriam disponibilizados por amigos e vizinhos colaboradores e, neste sentido, foram encontradas algumas dificuldades. Muitos destes apartamentos não puderam ser ensaiados por recusas, muitas vezes pelo não entendimento do objetivo do trabalho ou por moradores idosos preferirem não ser "incomodados", por brigas, não convivência, incompatibilidade de horário, ou mesmo atrasos no agendamento entre vizinhos.

Além destas, outras dificuldades foram encontradas ao longo de seu desenvolvimento. Nem sempre foi possível levantar com detalhes e precisão as características físicas dos sistemas construtivos em avaliação, principalmente quanto à tipologia da laje. Em alguns casos, foram consultadas as construtoras a fim de se obter os dados necessários, e, devido ao tempo de construção, já não tinham mais os registros das edificações.

1.3. Metodologia da Pesquisa

Neste trabalho, foram realizados ensaios de ruído de impacto de pisos em apartamentos de edificações multifamiliares em Belo Horizonte e entrevistas com os moradores destes apartamentos. Para isto, foram distribuídos um folheto explicativo da pesquisa, bem como uma

carta aos moradores, a fim de se esclarecer seus objetivos e possíveis dúvidas quanto ao procedimento de realização do ensaio e da entrevista, esses apresentados no Anexo E.

1.4. Estrutura da dissertação

Esta dissertação foi estruturada em cinco capítulos, sendo o Capítulo 1 uma introdução ao tema escolhido, com a descrição dos objetivos, da relevância do trabalho e de uma breve descrição da metodologia adotada. O Capítulo 2 apresenta uma contextualização do tema com a revisão bibliográfica, como referência a conceitos e estudos já realizados nesta área. O Capítulo 3 descreve a metodologia adotada, detalhando os procedimentos de ensaio, a definição das amostras, os equipamentos utilizados, os procedimentos de cálculo, bem como a estrutura do questionário de avaliação. Ainda neste capítulo, foram apresentados alguns trabalhos que utilizaram da mesma metodologia de análise subjetiva. Já o Capítulo 4 expõem os dados obtidos no levantamento arquitetônico, nas medições acústicas e nas entrevistas, além da análise destes dados e os resultados. Por fim, o Capítulo 5 apresenta as considerações finais e propostas para futuros trabalhos.

2

CONTEXTUALIZAÇÃO

2.1. O Ruído

O ruído pode ser definido como todo som indesejável à atividade de interesse, interferindo nos objetivos dos espaços e prejudicando a função do ambiente (SOUZA *et al.*, 2006). O incômodo causado pelo ruído dependerá de suas características tais como frequência, amplitude, duração, e também da reação subjetiva. É o resultado de uma vibração transmitida sob forma de onda mecânica num meio elástico, seja ele sólido, líquido ou gasoso, e portanto, com diferenciação de sua propagação conforme o estado de agregação das moléculas desse meio condutor.

Vários estudos apontam que elevados níveis de ruído no homem podem causar, além de lesões do aparelho auditivo, efeitos físicos e psicológicos, como dores de cabeça, fadiga, distúrbios cardiovasculares, distúrbios hormonais, gastrites, disfunções digestivas, alergias, bem como perda de concentração e de reflexos, perturbações no sono, sensação de insegurança, dentre outros (SOUZA *et al.*, 2006).

Ainda conforme Souza *et al.* (2006), é importante destacar que algumas fontes sonoras são geradoras de ruído decorrentes do crescimento urbano e da industrialização, como transportes rodoviários e aéreos, as atividades industriais e de recreação (Fig. 1).



Figura 1 - Fontes de ruído urbano (adaptado de SOUZA *et al.*, 2006)

A fim de caracterizar os tipos de ruídos, foram apresentadas algumas definições conforme descrito na norma ABNT NBR 10152: 1987:

- Nível de Ruído Ambiente: É o nível de pressão sonora equivalente, em dB(A), no local
 e horário considerados, na ausência do ruído gerado por fonte sonora interferente. A
 expressão Ruído de Fundo não é mais admitida;
- Ruído de caráter impulsivo: É todo ruído que contém impulsos, que são picos de energia acústica, com duração menor do que um segundo e que se repete a intervalos maiores do que um segundo;
- Ruído com componentes tonais: É o ruído que contém sibilos, chiados, zumbidos ou rangidos.

2.2. O Ruído em edificações

No caso de edificações, o ruído pode ser gerado por diversas fontes, como as aéreas e/ou as estruturais. O som gerado por uma conversa, por instrumentos musicais, por equipamentos ou tráfego urbano são exemplos de fontes de ruído aéreo. Já o impacto em pisos e o ruído hidráulico são exemplos de ruído estrutural.

2.2.1. Ruído Áereo

São aqueles produzidos dentro de uma massa de ar de um determinado ambiente e propagado até nossos ouvidos através deste meio elástico (SILVA, 2002).

Segundo Silva (2002), o ruído aéreo pode ser transmitido diretamente através de uma parede ou painel, indiretamente via flanqueamento (através de frestas ou fendas existentes) pelas estruturas vizinhas como pilares, vigas e/ou paredes confluentes, bem como através de janelas, portas, dutos de ar e de água, eletrodutos, entreforros e entrepisos.

Quando elementos da edificação como paredes ou janelas são submetidos a uma variação de pressão sonora, os mesmos vibram e, genericamente, esta vibração é controlada principalmente pela massa da superfície (SOUZA *et al.*, 2006).

2.2.2. Ruído Estrutural

O Ruído Estrutural é gerado por vibrações devido a impactos e/ou excitações dinâmicas (periódicas) de diversas naturezas em componentes da edificação - pisos, paredes, coberturas, entre outros. As superfícies das edificações funcionam como amplificadores dos sons gerados por vibração (METHA *et al.*, 1999).

A Fig. 2 ilustra bem uma excitação dinâmica, em que um equipamento é montado no piso e pode induzir vibrações transmitidas através da estrutura até o pavimento inferior. Além disso, este equipamento irá irradiar energia sonora que, por sua vez, pode excitar o piso. Desta maneira, a vibração criada no piso é determinada pela excitação, e as propriedades dinâmicas e a energia sonora irradiada podem ser determinadas pela maneira como esta vibração é transmitida para o ambiente inferior (VIGRAN, 2008).

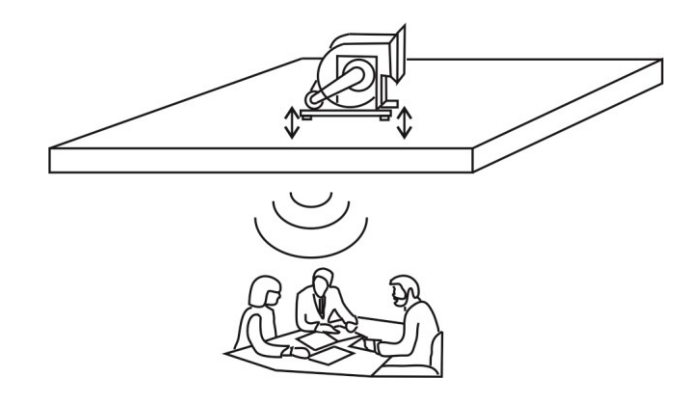


Figura 2 - Fonte geradora de ruído estrutural, transmitido entre ambientes vizinhos (adaptado de VIGRAN, 2008)

Uma das mais importantes e incômodas fontes de ruído em edificações são as de impacto. Neste sentido, os sons produzidos por impactos causam um grande desconforto nos apartamentos vizinhos, principalmente no apartamento inferior, pois se trata de uma eficiente excitação de contato, em que a laje se torna um radiador de energia sonora em ampla faixa de frequências, devido ao movimento vibratório induzido pela excitação localizada (BISTAFA, 2006).

Existem várias fontes de ruído de impacto em pisos, como pisadas, crianças brincando, quedas de objetos, móveis sendo arrastados, vibrações de máquinas, tais como de lavar roupa ou até ventiladores. Algumas destas fontes de impacto geram impulsos devido à queda de massa, e outras geram sinais contínuos (HOPKINS, 2007).

Gerretsen (1976) apresenta em seu trabalho os espectros de ruídos de impacto mais comuns através de uma revisão bibliográfica e de ensaios feitos por ele, e conclui que o ruído produzido por pisadas é a fonte mais frequente de impacto. Neste contexto, foi observado que o caminhar das mulheres tem níveis mais elevados nas bandas de frequência de 1kHz e 2kHz, considerando os sapatos de salto (Fig. 3).

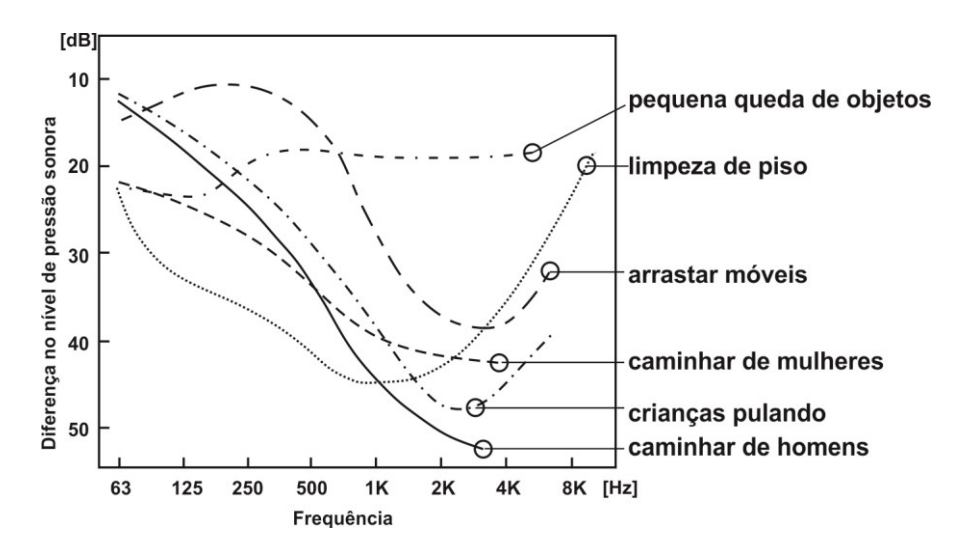


Figura 3 - Níveis de pressão sonora de ruídos de impacto mais comuns em residências (adaptado de GERRETSEN, 1976)

O ruído de impacto de piso pode ser avaliado através de ensaios experimentais (ISO 140-7: 1998; ISO 354: 2003), realizados com uma máquina padronizada de impacto, que contém cinco pequenos marteletes de 0,5kg cada um, e são liberados em queda livre de um altura de 4cm, a uma taxa de dez impactos por segundo (BISTAFA, 2006).

Esta máquina é então posicionada no pavimento superior e produz uma série contínua de impactos rápidos que são medidos no pavimento inferior através de um microfone, como mostra a Fig. 4 (SIMONS e WATERS, 2004).

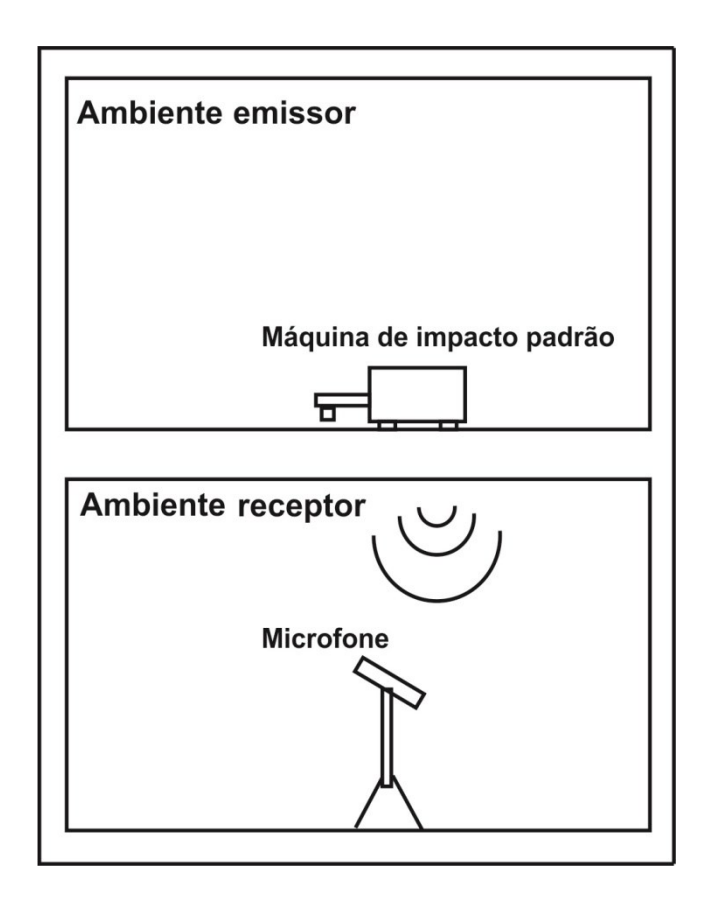


Figura 4 - Condições de ensaio de determinação do nível de ruído de impacto de piso (adaptado de SIMONS e WATERS, 2004)

Muitos trabalhos contribuíram para avaliar o desempenho de sistemas estruturais quanto ao ruído de impacto e/ou aéreo através de medições e alguns fazendo um estudo comparativo entre resultados analíticos e experimentais.

Ford *et al.* (1974) pesquisaram em seu trabalho o ruído emitido pela máquina de ensaio padrão de impacto através do piso de concreto e com alguns materiais de recobrimento, a fim de avaliar o isolamento do ruído de impacto. Através da dedução de uma função de transferência do piso e da análise de espectro do impacto do martelo no chão, foi possível prever o nível de pressão sonora, que concordou com os valores medidos, calibrando o equipamento através da medição da força impulsiva do martelo por um acelerômetro e comparada à força transmitida ao chão. Foi adotado um método digital para a determinação do espectro do martelo. Além disso, concluiu que os resultados dos testes de impacto sobre um tipo de piso depende de quanto "trabalho" o mesmo foi submetido, aumentando sua rigidez, e que o mesmo efeito pode ser considerado em caso de desgaste e sujidade do mesmo.

Utley e Cappelen (1978) investigaram o isolamento sonoro em vigas entre pavimentos de uma edificação de habitações estruturada com madeira. Algumas mudanças propostas nos detalhes de instalação dos pisos foram avaliadas em relação à melhoria no desempenho.

Já Sewell e Savage (1987) avaliaram o desempenho de lajes centrais e periféricas em edificios de apartamentos quanto ao isolamento de ruído aéreo.

Kimura e Inoue (1989) descrevem um método de cálculo de impedância como estimativa de ruído de impacto de piso e os resultados comparados aos valores medidos, e assim obteve resultados satisfatórios. Verificaram ainda, que o ruído é fortemente influenciado por fatores estruturais como a rigidez da laje.

O trabalho de Fothergill (1988) faz uma importante avaliação das contribuições feitas por Peter Parking, um dos primeiros cientistas a estudar a propagação do som através de estruturas dos edifícios.

Tadeu *et al.* (2007) utilizam soluções analíticas para avaliar o ruído aéreo e isolamento de impacto primeiramente em painéis homogêneos, e em seguida, em painéis de múltiplas camadas. O modelo então foi validado com os resultados experimentais. Através deste modelo, seria possível capturar todos os fenômenos físicos envolvidos na previsão do comportamento acústico dos sistemas simples e de múltiplas camadas de extensão infinita.

O trabalho de Galbrun (2010) examina a modelagem de transmissão de vibrações através de placas/vigas estruturais típicas de edificios leves, e conclui que a aplicabilidade do modelo se limita apenas às frequências baixas e médias.

Neves e Sousa, e Gibbs (2011) validaram experimentalmente um modelo analítico desenvolvido a fim de investigar o efeito de transmissão do ruído de impacto em baixas frequências no local de impacto, os tipos de piso, as condições de contorno, as dimensões dos piso e do ambiente, a posição do receptor e a absorção do ambiente, através de medições em campo.

No Brasil, Pereyon (2008) avaliou o desempenho de diversas tipologias de lajes quanto ao isolamento ao ruído de impacto.

Cornacchia (2009) investigou o nível de isolamento ao ruído de impacto em sistemas laje/piso de unidades residenciais.

2.3. O isolamento do ruído de impacto

O isolamento acústico promove a redução do nível de ruído gerado em um ambiente para o outro ou do exterior para dentro do ambiente e vice-versa.

O isolamento acústico de impacto pode ser feito por um piso flutuante que consiste na utilização de um material resiliente entre a laje estrutural e o contrapiso, conforme ilustrado na Fig. 5. Desta maneira, o contrapiso e as demais cargas ficam montadas sobre o material resiliente, funcionando como um sistema massa-mola-massa, cuja primeira frequência de ressonância está bem abaixo da frequência mínima de excitação (GERGES, 1992). Os isoladores podem ser coxins de borracha, cortiça ou outros distribuídos uniformemente, placas de lã de vidro ou de rocha, polietileno expandido elastilizado (isopor elastilizado), dentre outros materiais (BISTAFA, 2006).

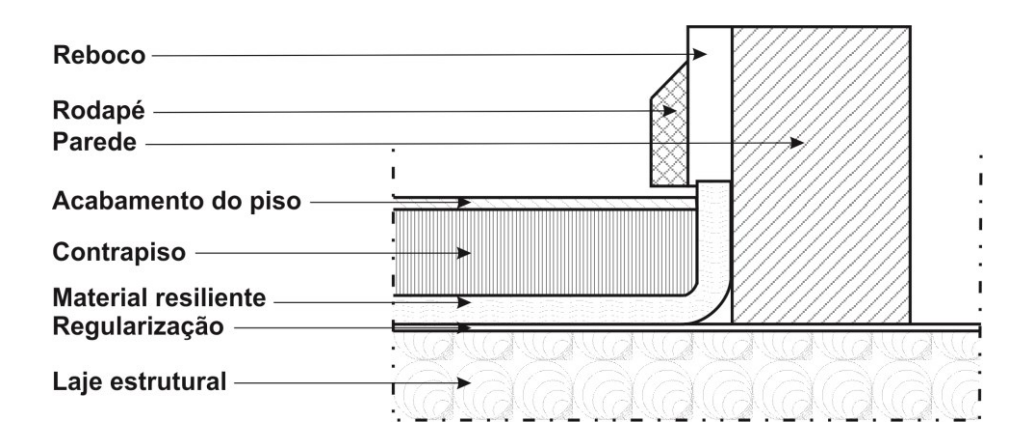


Figura 5 - Sistema de isolamento de impacto de piso (adaptado de GERGES, 1992)

Diversas contribuições foram feitas para caracterizar o desempenho de sistemas de piso flutuante. Entre elas, podemos destacar algumas, como o trabalho de Ward e Randall (1966) que avaliou a diferença entre o isolamento fornecido por suportes de borracha e o previsto em projeto, além de outros métodos para melhorar o isolamento de vibração em pisos.

Davern (1988) realizou medições com materiais resilientes de aproximadamente 1cm de espessura entre dois pavimentos de uma construção australiana de madeira e observou uma redução da ordem de 10dB no ruído de impacto com a instalação do material resiliente.

Stewart e Craik (2000) apresentaram um modelo teórico para prever a transmissão de ondas de flexão através de placas paralelas ligadas por uma camada resiliente.

Maderuelo-Sanz *et al.* (2011) avaliaram o desempenho acústico de um novo tipo de material feito com resíduos de borracha reciclada e comparado a outros materiais disponíveis no mercado, esse apresentando então, um melhor desempenho de isolamento com uma espessura menor.

No Brasil, podemos destacar os trabalhos de Pedroso (2007) e de Ferraz (2008) que estudaram diversas composições de pisos flutuantes quanto ao desempenho no isolamento ao ruído de impacto. A Tab. 1 apresenta algumas destas composições estudadas por Ferraz (2008) que, juntamente com uma laje maciça de concreto com 10cm de espessura sob contrapiso de concreto de 5cm de espessura, atendem à norma brasileira.

Tabela 1 - Resultados das medições de diferentes configurações de pisos flutuantes

Composições de pisos flutuantes	$L'_{nT,w}$
Laje + polietileno esp. 10mm + argamassa esp. 40mm + porcelanato esp. 9mm	54dB
Laje + Lã de vidro esp. 15mm + argamassa esp. 9mm + porcelanato esp. 9mm	44dB
Laje + 2 Lãs de vidro esp. 50mm + 2 polietilenos esp. 10mm + argamassa esp. 40mm + porcelanato esp. 9mm	36dB

2.4. Radiação Sonora em elementos da edificação

Para avaliar o som transmitido em uma estrutura é fundamental pensar no tratamento completo da radiação sonora. Esta pode ser prevista conhecendo-se as amplitudes de vibração como funções de frequência assim como sua distribuição espacial (CREMER E HECKL, 1988).

Conforme descreve Vigran (2008), o isolamento sonoro de elementos de uma edificação, no caso de transmissão de ruído aéreo ou de impacto, depende de dois fatores: o primeiro é a resposta dinâmica à excitação real sendo um campo acústico ou uma força mecânica direta, e o segundo é a eficiência deste elemento como radiador sonoro.

É possível caracterizarmos a eficiência de uma determinada superfície de vibração como radiadora sonora através do $Fator\ de\ Radiação\ (\sigma)$, também chamado de $Eficiência\ de\ Radiação\ ou\ Taxa\ de\ Radiação\ dado\ pela Eq. (2.1):$

$$\sigma = \frac{W}{\rho_0 c_0 S(\bar{v}^2)} \tag{2.1}$$

onde W é a potência irradiada a partir da superfície real de vibração, em uma área S, para um meio circundante de impedância $\rho_0 c_o$. O termo \overline{v}^2 representa a amplitude média quadrática da velocidade através da superfície. O denominador desta expressão representa a energia irradiada em uma determinada área parcial S de uma superfície plana infinitamente grande, em que todas as partes vibram um fase com uma velocidade igual ao valor médio, ou seja, em condições de radiação de onda plana. O parênteses na expressão significa que trata-se do valor médio no domínio espacial, isto é, do valor RMS quadrático verificado em todos os pontos da superfície. Como condição para isto, de uma forma prática, é que a velocidade não varia muito de um ponto a outro, e desse modo, pode ser representada como um valor médio. E além de se tomar o valor médio, no domínio do tempo e espaço, um outro tipo de compensação deve ser considerada na prática: a média dentro das faixas de frequência de bandas e terças de oitavas. Assume-se, portanto, que a banda é larga o suficiente para conter vários modos de frequência natural da estrutura.

A determinação de σ é feita geralmente através de medições e também pode ser previsto através de modelos de fontes.

Como exemplo de cálculo, é possível adotarmos um modelo de fonte simples esférica chamada monopolo, com um determinado raio e com volume oscilando em um determinado ângulo. Neste caso, a potência sonora irradiada é dada pela Eq. (2.2):

$$W = \rho_0 c_0 \bar{v}_a^2 \frac{k^2 a^2}{1 + k^2 a^2} S \tag{2.2}$$

onde k é o número de onda e a é o raio da esfera com área $S=4\pi a^2$. Inserindo esta expressão na Eq. (2.1), pode ser calculado σ conforme a Eq. (2.3):

$$\sigma_{monopolo} = \frac{k^2 a^2}{1 + k^2 a^2} \tag{2.3}$$

Outra forma de determinação de σ é através de medições. Para isto, é necessário encontrar a potência sonora radiada W do elemento em estudo, conhecendo-se o volume da sala reverberante V em que ele está inserido, o tempo de reverberação T da mesma e a média

quadrática espacial da pressão sonora \bar{P}^2 , esta obtida através de medições de 5 a 10 pontos, calculado pela Eq. (2.4) (CREMER E HECKL, 1988):

$$W = 13.8 \frac{V}{\rho_0 c_0^2 T} \bar{P}^2 \tag{2.4}$$

Na prática, em geral é mais conveniente adotar o nível de potência sonora pela Eq. (2.5) em conjunto com o nível de pressão sonora pela Eq. (2.6):

$$L_W = 10 \log \frac{W}{W_0} \quad [dB] \tag{2.5}$$

$$L_P = 10 \log \frac{\bar{\bar{p}}^2}{\bar{\bar{p}}_0^2}$$
 [dB] (2.6)

onde os valores de referência $W_0 = 10^{-12}$ watts e $\bar{P}_0 = 2 \times 10^{-5}$ Newtons/m². Podemos relacionar os valores de potência e pressão sonora pela Eq. (2.7):

$$L_P = \frac{\bar{\bar{\rho}}^2 S}{\rho_0 c_o} \tag{2.7}$$

Dessa forma, pode-se calcular a eficiência de radiação de um determinado elemento simplesmente através da medição do nível médio de pressão sonora produzido em uma sala reverberante, o nível de velocidade da área de radiação e a área de absorção A (ou o tempo de reverberação) pelas Eqs. (2.8) e (2.9):

$$10 \log \sigma = L_P - L_V + 10 \log \frac{A}{4S}$$
 [dB] (2.8)

$$L_V = 20 \log \frac{\bar{\bar{v}}}{\bar{v}_0} \quad [dB]$$
 (2.9)

onde L_V é o nível de velocidade e $\bar{v}_0=5~\times 10^{-8}~\mathrm{ms}^{-1}$ o valor de referência.

2.5. Caracterização do Isolamento do Ruído de Impacto

Para a caracterização do isolamento do ruído de impacto, é possível determinar o Nível de Pressão Sonora Normalizado Ponderado de Impacto $(L'_{n,w})$ ou o Nível de Pressão Sonora Padronizado Ponderado de Impacto $(L'_{nT,w})$ conforme a norma ISO 717-2: 1996, e a Classe

de Isolamento de Impacto (CII) segundo a norma ASTM E 989: 1989, como parâmetros de avaliação.

Os mesmos são determinados através de medições em campo em conformidade às normas ISO 140-7: 1998 e ISO 354: 2003, em que são obtidos os valores dos níveis de pressão sonora L_i em cada banda de frequência e calculados os *Níveis de Pressão Sonora Normalizado de Impacto* (L'_n) ou os *Níveis de Pressão Sonora Padronizado de Impacto* (L'_{nT}) , que então são transformados em um único número global ponderado, $L'_{n,w}$ ou $L'_{nT,w}$.

Estes procedimentos serão apresentados detalhadamente no Capítulo 3.

Em alguns trabalhos como os de Josse, 1972; Gerretsen, 1976; Shi *et al*, 1997 e Jeon *et al*, 2009, os autores criticam não só a metodologia de ensaio, mas também a de classificação do ruído de impacto como não sendo satisfatória de acordo com análises subjetivas, o que reforça a necessidade de uma avaliação da satisfação ou insatisfação, por parte dos usuários das edificações, dos níveis estabelecidos como aceitáveis pelas regulamentações, principalmente pela norma brasileira.

2.6. Critérios estabelecidos em normas e regulamentações

Como objetivo deste trabalho, foi feita uma comparação dos níveis adotados pela norma brasileira ABNT NBR 15575-3:2013 e pelas demais regulamentações internacionais através dos resultados obtidos nos ensaios acústicos.

Os critérios adotados para esta comparação são apresentados nas Tabs. 2 a 7:

Tabela 2 - Valores de referência de $L'_{nT,w}$ recomendados pela norma brasileira NBR 15575-3:2013

Elemento	$L'_{nT,w}$	Nível de desempenho
	66 a 80 dB	M (Mínimo)
Sistema de piso separando unidades habitacionais autônomas posicionadas em pavimentos distintos	56 a 65 dB	I Intermediário)
	≤ 55 dB	S (Superior)
Sistema de piso de áreas de uso coletivo, para atividades de lazer e esportivas, tais como home	51 a 55 dB	M (Mínimo)
theater, salas de ginástica, salão de festas, salão de jogos, banheiros e vestiários coletivos, cozinhas e	46 a 50 dB	I (Intermediário)
lavanderias coletivas, sobre unidades habitacionais autônomas	≤ 45 dB	S (Superior)

Tabela 3 - Valores de referência de $L'_{nT,w}$ recomendados pela FHA (HUD) dos Estados Unidos (adaptado de BERENDT, 1967)

Posição relativa entre unidades			Grad. 1	Grad. 2	Grad. 3
Apartamento A	sobre	Apartamento B	$L'_{nT,w}$	$L'_{nT,w}$	$L'_{nT,w}$
Quarto	sobre	Quarto	≤ 55 dB	≤ 58 dB	≤ 62 dB
Sala de Estar	sobre	Quarto	≤ 50 dB	≤ 53 dB	≤ 57 dB
Cozinha	sobre	Quarto	≤ 45 dB	≤ 48 dB	≤ 52 dB
Estar Íntimo	sobre	Quarto	≤ 45 dB	≤ 48 dB	≤ 52 dB
Corredor	sobre	Quarto	≤ 45 dB	≤ 48 dB	≤ 52 dB
Quarto	sobre	Sala de Estar	≤ 55 dB	≤ 58 dB	≤ 62 dB
Sala de Estar	sobre	Sala de Estar	≤ 55 dB	≤ 58 dB	≤ 62 dB
Cozinha	sobre	Sala de Estar	≤ 50 dB	≤ 53 dB	≤ 57 dB
Estar Íntimo	sobre	Sala de Estar	≤ 48 dB	≤ 50 dB	≤ 54 dB
Corredor	sobre	Sala de Estar	≤ 50 dB	≤ 53 dB	≤ 57 dB
Quarto	sobre	Cozinha	≤ 58 dB	≤ 60 dB	≤ 64 dB
Sala de Estar	sobre	Cozinha	≤ 55 dB	≤ 58 dB	≤ 62 dB
Cozinha	sobre	Cozinha	≤ 55 dB	≤ 58 dB	≤ 62 dB
Banheiro	sobre	Cozinha	≤ 55 dB	≤ 58 dB	≤ 62 dB
Estar Íntimo	sobre	Cozinha	≤ 50 dB	≤ 52 dB	≤ 56 dB
Corredor	sobre	Cozinha	≤ 55 dB	≤ 58 dB	≤ 62 dB
Quarto	sobre	Estar Íntimo	≤ 60 dB	≤ 62 dB	≤ 64 dB
Sala de Estar	sobre	Estar Íntimo	≤ 58 dB	≤ 60 dB	≤ 62 dB
Cozinha	sobre	Estar Íntimo	≤ 55 dB	≤ 58 dB	≤ 60 dB
Banheiro	sobre	Banheiro	≤ 58 dB	≤ 60 dB	≤ 62 dB
Corredor	sobre	Corredor	≤ 60 dB	≤ 62 dB	≤ 64 dB

<u>Graduação 1</u> - recomendado para edificações localizadas em áreas residenciais urbanas silenciosas, com Ruído Ambiente noturno no exterior da edificação entre 35dB(A) e 40dB(A) ou inferior. Recomenda-se também, a utilização desse critério em edifícios de apartamentos onde se deseja o máximo de isolação sonora, independentemente da localização da edificação.

Tabela 3 - Valores de referência de $L'_{nT,w}$ recomendados pela FHA (HUD) dos Estados Unidos (adaptado de BERENDT, 1967)

<u>Graduação 2</u> - recomendado para edificações localizadas em áreas residenciais urbanas medianamente silenciosas, com Ruído Ambiente noturno no exterior da edificação entre 40dB(A) e 45dB(A).

<u>Graduação 3</u> - recomendado para edificações localizadas em áreas com elevado Ruído Ambiente noturno no exterior da edificação, sendo 55dB(A) ou mais, e é considerada a menor isolação admissível entre ambientes de diferentes unidades de uma edificação.

Nota: A FHA apresenta os critérios como CII e os mesmos foram convertidos para $L'_{nT,w}$ como parâmetro de comparação à norma brasileira e às demais que adotam o mesmo índice.

Tabela 4 - Valores de referência de $L'_{nT,w}$ recomendados pela NBCC do Canadá (adaptado de NADER ELHAJJ, 2002)

Elemento	$L'_{nT,w}$
Sistema de piso sem acabamento	≤ 55 dB

Nota: A NBCC apresenta o critério como CII e o mesmo foi convertido para $L'_{nT,w}$ como parâmetro de comparação à norma brasileira e às demais que adotam o mesmo índice.

Tabela 5 - Valores de referência de $L'_{nT,w}$ recomendados pela BCA da Austrália (adaptado de NADER ELHAJJ, 2002)

Posição relativa	entre ambientes	Classe de Edificação 2	Classe de Edificação 3
Ambiente receptor em uma unidade habitacional inferior	Ambiente emissor em uma unidade habitacional superior	$L'_{nT,w}$	$L'_{nT,w}$
Cozinha ou ambiente não habitado	Cozinha ou ambiente não habitado	≤ 65 dB	≤ 70 dB
Quarto	Cozinha ou ambiente não habitado	≤ 60 dB	≤ 65 dB
Ambiente habitado (exceto Quarto e Cozinha)	Cozinha ou ambiente não habitado	≤ 60 dB	≤ 65 dB
Cozinha ou ambiente não habitado	Quarto	≤ 65 dB	≤ 65 dB
Quarto	Quarto	≤ 60 dB	≤ 65 dB
Ambiente habitado (exceto Quarto e Cozinha)	Quarto	≤ 65 dB	≤ 65 dB
Cozinha ou ambiente não habitado	Ambiente habitado (exceto Quarto e Cozinha)	≤ 65 dB	≤ 65 dB
Quarto	Ambiente habitado (exceto Quarto e Cozinha)	≤ 60 dB	≤ 65 dB
Ambiente habitado (exceto Quarto e Cozinha)	Ambiente habitado (exceto Quarto e Cozinha)	≤ 65 dB	≤ 65 dB
Cozinha ou ambiente não habitado	Casa de Máquinas, Corredor Público, Circulação Interna ou similar	≤ 65 dB	≤ 65 dB
Quarto	Casa de Máquinas, Corredor Público, Circulação Interna ou similar	≤ 60 dB	≤ 65 dB
Ambiente habitado (exceto Quarto e Cozinha)	Casa de Máquinas, Corredor Público, Circulação Interna ou similar	≤ 60 dB	≤ 65 dB

<u>Classe de Edificação 3</u> - edifícios residenciais para um número de pessoas com uma casa grande escala de embarque, como casa de hóspedes, pousada, área residencial de um hotel, motel, escola, etc.

Nota: A BCA apresenta os critérios como CII e os mesmos foram convertidos para $L'_{nT,w}$ como parâmetro de comparação à norma brasileira e às demais que adotam o mesmo índice.

Tabela 6 - Valores de referência de $L'_{nT,w}$ recomendados pelo IBC em diversos países europeus (adaptado de NADER ELHAJJ, 2002)

Defeas	Isolamento de	ruído de impacto em pisos
Países	Índice	Nível de ruído transmitido entre pisos de separação
Áustria	$L'_{nT,w}$	≤ 48dB
Bélgica	$L'_{n,w}$	≤ 56dB
Dinamarca	$L'_{nT,w}$	≤ 58dB
Inglaterra	$L'_{nT,w} + C_I^*$	≤ 62dB
Finlândia	$L'_{n,w}$	≤ 53dB
França	$L'_{n,w}$	≤ 58dB
Alemanha	$L'_{n,w}$	≤ 53dB
Irlanda	$L'_{nT,w}$	≤ 65dB
Holanda	$L_{nT,a}$	≤ 59dB
Noruega	$L'_{n,w}$	≤ 53dB
Polônia	$L'_{n,w}$	≤ 58dB
Suécia (classe C- mínima)	$L'_{n,w} + C^*_{I,50-2500}$	≤ 58dB
Suécia (classe A- parâmetro de qualidade opcional	$L'_{n,w} + C^*_{I,50-2500}$	≤ 50dB

^{*} \mathcal{C}_I - Termo de Adaptação de Espectro, explicado no item 3.3.3

Tabela 7 - Valores de referência de $L'_{nT,w}$ recomendados pela HLC do Japão (adaptado de NADER ELHAJJ, 2002)

Elemento	$L'_{nT,w}$
Separação entre pisos de edifícios de apartamentos para aluguel	≤ 65dB
Separação entre pisos de edifícios de apartamentos para venda	≤ 60dB

3

METODOLOGIA

As medições de ruído de impacto de pisos para o desenvolvimento deste trabalho foram realizadas conforme recomendações das normas ISO 140-7: 1998 "Field measurements of impact sound insulation of floors", ISO 717-2: 1996 "Rating of sound insulation in buildings and of buildings elements impact sound insulation", ISO 354: 2003 "Measurement of sound absorption in a reverberation room" e ASTM E 989: 1989 "Standard Classification for Determination of Impact Insulation Class - IIC".

Paralelamente, foram feitas entrevistas de percepção do incômodo gerado pelo ruído de impacto de pisos com os moradores dos apartamentos onde foram realizados os ensaios, através de um questionário desenvolvido utilizando a metodologia *Survey* para quantificar esse incômodo.

Este questionário foi elaborado durante o curso de Metodologia Quantitativa do Programa de Pós-Graduação em Sociologia da Faculdade de Filosofia e Ciências Humanas da UFMG, na disciplina "Aspectos Cognitivos da Metodologia de Survey e Construção do Questionário",

ministrada pela Profa. Solange Simões (Profa. Associada da Universidade de Michigan), em junho de 2012.

Alguns trabalhos utilizaram a mesma metodologia de análise subjetiva como o de Langdon *el al.* (1983). Eles analisaram uma amostra de edifícios de múltiplos pavimentos, onde moradores foram entrevistados para avaliar o incômodo causado pelo barulho dos vizinhos quanto ao isolamento aéreo e de impacto sonoro, estes medidos antes da ocupação. Foram encontradas associações significativas entre o desempenho medido e as classificações dos moradores quanto à qualidade de isolamento sonoro em geral.

Bodlund (1985) utilizou um levantamento do isolamento entre habitações modernas suecas feito pelo National Testing Institute em 1983, que compreende medições e entrevistas com lojistas em oito áreas residenciais para avaliar o impacto do isolamento sonoro entre pavimentos.

Grimwood (1997) apresenta em seu artigo, um pequeno estudo realizado na Inglaterra e no País de Gales, onde se pesquisou as queixas do isolamento acústico entre habitações, considerado muito ruim. O objetivo foi determinar os tipos de ruído que geravam incômodo, através de entrevistas com os autores da denúncia e vizinhos, além das medições de isolamento de ruído aéreo e de impacto.

Bento (2011) estudou o impacto dos níveis de exposição ao Ruído Ambiente na percepção de incômodo deste ruído, e a relação de identidade dos entrevistados com o lugar, e concluiu que esta relação afetava diretamente em sua percepção.

Giménez *et al.* (2011) desenvolveram um questionário para avaliar qualitativamente a acústica de salas de concerto espanholas.

Zhang *et al.* (2012) desenvolveram um estudo com o objetivo de revelar o impacto do ruído em ambientes abertos de trabalho na China, através medições acústicas e de entrevistas utilizando questionários. Detectaram que as pessoas são muito pouco satisfeitas com as condições acústicas do ambiente de trabalho comparados a outros fatores ambientais e que, portanto, a influência do ruído nesses ambientes é bastante significativo.

3.1. Definição das amostras

Para o desenvolvimento deste trabalho, foi definida uma amostragem de conveniência, portanto não probabilística, e que descrevesse uma maior variabilidade possível em relação às variáveis independentes ou explicativas a serem consideradas no tratamento de dados, obtidas no levantamento arquitetônico e nas medições acústicas: o $L'_{nT,w}$ e o nível de Ruído Ambiente medidos, a idade e a tipologia da laje como tipo de sistema construtivo do edifício ensaiado, bem como o preço de venda do apartamento ensaiado.

Uma amostragem é o processo de obtenção de amostras, que é um subconjunto de uma determinada população, que por sua vez é o conjunto de elementos ou resultados sob investigação (MORETTIN e BUSSAB, 2004). A mesma pode ser probabilística ou não probabilística. Na primeira a probabilidade de seleção de cada unidade na amostra é conhecida, ao passo que a segunda depende de critérios e julgamentos estabelecidos pelo pesquisador, normalmente adotada quando não é possível o uso de uma amostragem probabilística, como por exemplo, não se ter acesso aos elementos de uma população em estudo. Sendo assim, podese adotar várias formas desse tipo de amostragem, como o caso da amostragem por conveniência. Trata-se, portanto, de uma seleção de elementos sem probabilidades previamente especificadas ou conhecidas, como por exemplo neste trabalho.

Neste sentido foram escolhidas, a princípio, trinta edificações, com uma dupla de apartamentos e definidos os ambientes onde seriam realizados os ensaios (ambiente emissor no apartamento superior e o ambiente receptor no apartamento inferior), a fim de se criar uma base de dados experimentais. Devido às dificuldades encontradas já descritas anteriormente e ao tempo previsto para a finalização deste trabalho, foram feitas apenas quatorze medições, o que representa quatorze amostras.

A Fig. 6 mostra a localização de cada edificação ensaiada na região metropolitana de Belo Horizonte.

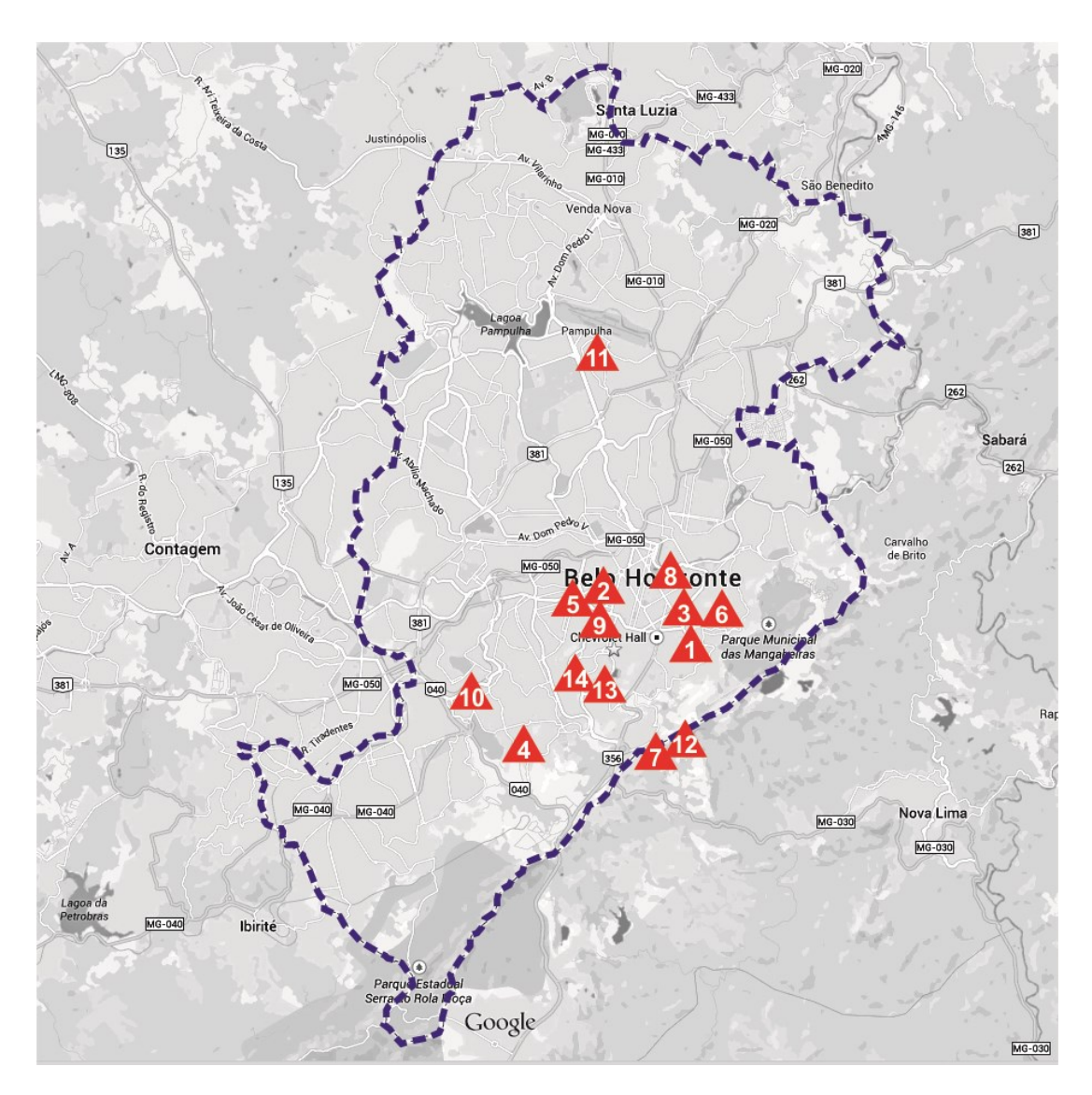


Figura 6 - Mapa da região metropolitana de Belo Horizonte com a localização das edificações ensaiadas

3.2. Equipamentos de medição

Os equipamentos utilizados nas medições foram:

- Medidor de Nível de Pressão Sonora do fabricante 01dB-Stell, modelo SOLO MV1 e número de série 10034;
- Microfone marca GRAS, modelo MCE 212, número de série 57692;

Esses equipamentos são classificados como do tipo 1, conforme padrões estabelecidos pelas normas IEC 651, IEC 804, IEC 61672-1, IEC 1260, ANSI S1.11.

Também foram utilizados:

- Calibrador de Nível de Pressão Sonora do fabricante 01dB-Stell, modelo Cal21 e número de série 00920023(2002), classificado como do tipo 1, conforme padrões estabelecidos pela norma IEC 60942, com precisão de ±0,3dB e com variação de ±2% na frequência de emissão de 1KHz;
- Termo-Higrômetro do fabricante Minipa, modelo MTH-1362 e número de série MB-1362000706.
- Máquina de Impacto Padrão do fabricante Norsonic, modelo Nor277 e número de série
 2775688, e atende às especificações estabelecidas pela ISO 140-7 (Fig. 7).

Os equipamentos possuem certificados de calibração com prazos de validade em vigor, emitidos pela empresa TOTAL SAFETY, a qual está integrada à Rede Brasileira de Calibração e devidamente credenciada pelo INMETRO. Os números dos Certificados de Calibração do Medidor de Nível de Pressão Sonora e do Analisador de oitavas emitidos pela TOTAL SAFETY são RBC1-8704-541 e RBC1-8704-627 respectivamente, datados de 31 de outubro de 2013, enquanto o número do Certificado de Calibração do Calibrador de Nível Sonoro é RBC2-8704-548, também datado de 31 de outubro de 2013. O Termo-Higrômetro foi calibrado pela empresa Metrotec, sob a certificação número R00281-13, datado de 28 de janeiro de 2013. Todos os certificados foram apresentados no Anexo F.



Figura 7 - Máquina geradora de ruído de impacto - Padrão ISO 140-7

3.3. Procedimentos de medição e cálculo

Para o início das medições, foi definida a dupla de apartamentos e os ambientes emissor e receptor, sendo quarto sobre quarto, prioritariamente o quarto principal de cada apartamento.

3.3.1. Medição do Ruído de Impacto de pisos e Ruído Ambiente - ISO 140-7: 1998

Primeiramente, foram realizadas as medições do ruído de impacto de pisos usando a máquina de geradora de impacto, descrita no item acima e ilustrada na Fig. 7, conforme o método apresentado na norma ISO 140-7: 1998 "Field measurements of impact sound insulation of floors", e especificada no anexo A da mesma.

Foram definidas quatro diferentes posições aleatoriamente distribuídas no piso do ambiente emissor. A distância da máquina de ruído em relação às paredes do espaço deve ser de, no mínimo, 0,5m. Já as posições do microfone no ambiente receptor devem ser de, no mínimo, 0,7m entre si, 0,5m entre qualquer posição e os envoltórios do espaço e 1,0m entre qualquer posição e o piso superior que está sendo excitado pela máquina de ruído. A norma determina um número mínimo de quatro posições fixas do microfone e um número mínimo de seis medições, mas foram adotadas cinco posições uniformemente distribuídas no ambiente receptor permitindo um mapeamento mais preciso do som no espaço. Dessa forma, foram realizadas uma medição em cada posição do microfone para cada posição da máquina de ruído, totalizando vinte medições, realizando um registro de nível sonoro equivalente com intervalo de duração de 1min, em bandas de terças de oitavas.

O nível de pressão sonora das diferentes posições de microfone deve ser a média logarítmica da energia para todas as posições da máquina de ruído, calculada pela Eq. (3.1):

$$L = 10 \log \left(\frac{1}{n} \sum_{i=1}^{n} 10^{\left(\frac{L_i}{10} \right)} \right) \quad [dB]$$
 (3.1)

As características do isolamento dos elementos construtivos devem ser expressas em termos de Nível de Pressão Sonora de Impacto, como o nível de ruído de impacto, e definido como o nível de pressão sonora médio para uma determinada frequência, medido no ambiente receptor quando o elemento é excitado com uma fonte padrão. Podem ser calculados o Nível de Pressão

Sonora Normalizado de Impacto (L'_n) ou o Nível de Pressão Sonora Padronizado de Impacto (L'_{nT}) , ambos para ensaios em campo, conforme as Eqs. (3.2) e (3.3) respectivamente:

$$L'_n = L_i + 10 \log \frac{A}{A_0}$$
 [dB] (3.2)

onde L_i é o nível de Ruído de Impacto [dB], A é a área de absorção sonora do ambiente receptor [m²] e A_0 é a área de absorção sonora de referência, cujo valor é 10m^2 .

$$L'_{nT} = L_i + 10 \log \frac{T}{T_0}$$
 [dB] (3.3)

onde L_i é o nível de Ruído de Impacto [dB], T é o tempo de reverberação no ambiente receptor [s] e T_0 é o tempo de reverberação de referência, cujo valor é 0,5s.

Além das medições do ruído de impacto, também foram realizadas as medições de Ruído Ambiente nas mesmas cinco posições no ambiente receptor. Em alguns casos, é necessário realizar a correção do ruído ambiente. Este deve estar a pelo menos 6dB (e preferencialmente 10db) abaixo do nível do sinal emitido com o ruído ambiente. Se a diferença tiver entre 6dB e 10dB, a correção deve ser feita conforme a Eq. (3.4):

$$L = 10 \log \left(10^{L_{sb}/10} - 10^{L_{b}/10} \right) \text{ [dB]}$$

onde L é o Nível do sinal ajustado [dB], L_b é o Nível da combinação do sinal com o ruído ambiente [dB] e L_{sb} é o nível do ruído ambiente [dB].

Caso a diferença for menor ou igual a 6dB em qualquer banda de frequência, deve-se usar a correção de 1,3dB.

3.3.2. Medição de absorção sonora em ambiente reverberante - ISO 354: 2003

Também foram realizadas as medições de absorção sonora no ambiente receptor conforme as recomendações da norma ISO 354: 2003 "Measurement of sound absorption in a reverberation room".

Quando uma fonte sonora está presente em um ambiente fechado, o nível do som reverberante aumenta e também o decaimento do mesmo assim que a fonte é desligada. Isto é devido às características de absorção das superfícies deste ambiente, da quantidade de ar presente no

mesmo, bem como dos objetos presentes (ISO 354: 2003). É possível verificar as características do espaço através de medições de absorção sonora ou cálculo para o tempo de reverberação pela Eq. (3.4), equação de Sabine:

$$T = \frac{0.161V}{\sum_{i=1}^{n} \alpha_{i} S_{n}} \text{ [dB]}$$

onde V é o volume do ambiente, α_n é o coeficiente de absorção de n materiais presentes no mesmo e S_n é a área destes n materiais. O coeficiente de absorção de cada material é a razão da quantidade de energia sonora absorvida e transmitida por unidade de área pela energia sonora incidente por unidade de área. O total de absorção sonora no ambiente determina o tempo de reverberação no mesmo (SIMONS e WATERS, 2004). Este é definido como o tempo necessário para que a energia sonora decaia 60dB após a fonte ser desligada.

A medição foi realizada através do método de resposta impulsiva integrada, que consiste na utilização de uma fonte impulsiva como um tiro de revólver, um estouro de balão ou qualquer outra fonte que produza um impulso com energia suficiente para excitar todas as bandas de frequência. Foi adotado o estouro de balões como fonte de ruído impulsivo e medindo-se o decaimento sonoro durante 5s em bandas de terças de oitavas.

Foram realizados três estouros (fonte) para cada uma das cinco posições, as mesmas adotadas para as medições de ruído de impacto e ruído ambiente, num total de quinze medições.

3.3.3. Cálculo do Isolamento de Ruído de Impacto - ISO 717-2: 1996

A partir da determinação de L'_n ou de L'_{nT} após a correção do Ruído Ambiente, é possível obter um único número para o isolamento sonoro de impacto em edificações e pisos, adotado como parâmetro de avaliação: o *Nível de Pressão Sonora Normalizado Ponderado de Impacto* $(L'_{n,w})$ ou o *Nível de Pressão Sonora Padronizado Ponderado de Impacto* $(L'_{nT,w})$.

A norma ISO 717-2: 1996 "Rating of sound insulation in buildings and of buildings elements impact sound insulation" determina que os valores de L'_n ou L'_{nT} são obtidos para cada banda de frequência e comparados aos valores de referência apresentados na mesma norma. Para avaliar o resultado da medição, a curva com os valores de referência deve ser movida em direção à curva de valores medidos acrescendo 1dB até que a soma dos valores desfavoráveis (aqueles

acima da curva de valores medidos) seja o mais próximo de 32dB, sem excedê-los. O valor da curva de referência em 500Hz, após este processo, é o $L'_{n,w}$ ou $L'_{nT,w}$.

Outro aspecto que deve ser considerado para a verificação o isolamento é a característica da fonte de ruído. Para isso, usa-se um Termo de Adaptação de Espectro C_I com o objetivo de corrigir as variações no tipo de impacto. O mesmo é calculado conforme as Eqs. (3.5) ou (3.6):

$$C_I = L'_{n.sum} - 15 - L'_{n.w}$$
 [dB] (3.5)

$$C_I = L'_{nT,sum} - 15 - L'_{nT,w}$$
 [dB] (3.6)

onde $L_{n,sum}^{'}$ ou $L_{nT,sum}^{'}$ é calculado pela Eq. (3.7)

$$L'_{n,sum} ou L'_{nT,sum} = 10 log \left(\sum_{i=1}^{k} 10^{\left(\frac{L_{n,i}}{10}\right)} \right)$$
 [dB] (3.7)

onde $L_{n,i}$ é o nível de pressão sonora na banda de frequência i e k é o número de bandas de frequência.

3.3.4. Cálculo para a determinação da Classe de Isolamento de Impacto (CII)- ASTM E 989: 1989

O desempenho de um sistema construtivo quanto ao isolamento de ruído de impacto pode ser avaliado pelo $L'_{n,w}$ ou $L'_{nT,w}$, como já apresentado, ou pela Classe de Isolamento de Impacto CII.

A mesma é obtida em bandas de terça de oitava e, quanto maior o seu valor, maior o isolamento de ruído de impacto de piso submetido ao ensaio com a máquina de ruído de impacto de piso, ao contrário de $L'_{n,w}$ ou $L'_{nT,w}$.

Da mesma forma, para se obter o *CII*, deve-se mover a curva com os valores de referência em direção à curva de valores medidos até que a soma dos valores desfavoráveis (aqueles acima da curva de valores medidos) seja o mais próximo de 32dB, sem excedê-los, e o desvio máximo não pode exceder 8dB. O *CII* é o resultado da subtração de 110 ao valor de referência na frequência 500Hz.

Todos os resultados das medições foram apresentados no Anexo B e adotados como variável dependente no modelo estatístico.

3.4. Levantamento arquitetônico

Para a caracterização do sistema construtivo das edificações estudadas, foi realizado um levantamento arquitetônico dos ambientes ensaiados para determinar suas dimensões, a tipologia e dimensões das lajes, demais componentes estruturais e respectivos revestimentos, a tipologia e dimensões dos elementos de vedação como alvenarias, portas e janelas, bem como a existência ou não de qualquer tipo de projeto de tratamento e/ou isolamento acústicos.

Conforme já mencionado, nem sempre foi possível levantar com detalhes e precisão as características físicas dos sistemas construtivos em avaliação, principalmente quanto à tipologia da laje. Em alguns casos, foram consultadas as construtoras a fim de se obter os dados necessários, e, devido ao tempo de construção, já não tinham mais os registros das edificações.

As plantas e cortes dos ambientes ensaiados serão apresentadas no Anexo A e suas características no Capítulo 4, item 4.1.1. As tipologias de laje e tipo de revestimento de piso foram adotadas como variável dependente no modelo estatístico. Já as fotos dos ambientes serão apresentadas no Anexo C.

3.5. Questionário

O questionário de avaliação do incômodo gerado pelo ruído de impacto de pisos, como mencionado, foi desenvolvido utilizando a metodologia *Survey* (GEER, 1988; SCHUMAN e JORDAN, 1990; GILLJAM e GRANBERG, 1993; BEATTY, 1995; TOURANGEAUS e SMITH, 1996; SUDMAN *et al*, 1996; SIRKEN *et al*, 1999; BRADBRUN *et al*, 2004; BEATTY e WILLIS, 2007; SIMÕES e PEREIRA, 2007; FOWLER, 2009), tendo um total de vinte e seis perguntas, que podem ser divididas em quatro seções, sendo elas: Relação com o lugar, Qualidade Ambiental, Qualidade do Apartamento e Percepção do Ruído de Impacto de Pisos. Essas perguntas propõem avaliar a relação do entrevistado com a cidade, com o bairro e com o prédio, a qualidade do ambiente em que vive, os vizinhos, os ruídos externos e internos, a expectativa dos moradores quanto ao isolamento de ruído, qualidade de isolamento de paredes e pisos de seu apartamento. O mesmo foi apresentado no Anexo D e os dados das entrevistas no Capítulo 4, item 4.1.2.

Procurou-se adotar variadas técnicas para a elaboração das perguntas de acordo com o que se pretendia medir, e em diferentes formatos, como questões abertas (exemplo da questão 1) e fechadas com lista de alternativas (exemplo da questão 3) ou em ordenação (exemplo da questão 5). Também foram utilizadas diferentes escalas como a likert (exemplo da questão 6) e diagramática com diferencial semântico (exemplo da questão 9).

Uma técnica largamente adotada na metodologia *Survey* para construção de questionários foi utilizada neste caso: as perguntas abertas chamadas de *cognitivas*. As mesmas têm a finalidade de avaliar a interpretação do entrevistado em relação a determinada pergunta, ou seja, se a pergunta está realmente medindo o que se pretende. Esta técnica é normalmente adotada somente durante o processo de validação do questionário, mas as questões foram mantidas em todas as entrevistas como possível variável do modelo estatístico.

As entrevistas foram realizadas presencialmente, após as medições e com o máximo de moradores do apartamento, tendo uma maior variabilidade possível de idade e sexo, estes importantes critérios para avaliar a audibilidade.

Para o cruzamento dos dados obtidos nas medições, nos levantamentos e nos questionários, foi adotado um modelo estatístico, cujo procedimento de análise e resultados foram descritos detalhadamente no Capítulo 4.

4

ANÁLISE DE DADOS E RESULTADOS

4.1. Apresentação dos Dados

Conforme já mencionado, além das medições para avaliar o nível de ruído de impacto de piso nas edificações, foi feito um levantamento arquitetônico de cada amostra a fim de descrever a tipologia das lajes, bem como caracterizar os ambientes em relação às suas dimensões, mobiliários e materiais. Foram também aplicados os questionários de avaliação e todos os resultados são apresentados a seguir.

4.1.1. Resultados dos Levantamentos Arquitetônicos e Medições Acústicas

Os dados referentes ao levantamento arquitetônico, com a descrição da tipologia das lajes e revestimentos dos piso ensaiados, bem como as características dos ambientes receptores, ou seja, dos apartamentos inferiores, foram apresentadas na Tab. 8.

Tabela 8-1 - Dados dos levantamentos arquitetônicos e medições acústicas

	Dados dos pisos	s dos ambientes emis	sores	Dados dos levantamentos arquitetônicos nos ambientes receptores [m][m²][m³]											
Nº ensa io	Tipologia laje	Tipologia recobrimento	Espes sura total	Largura Média	Comp rimen to Médio	Perímetro das Sup. Verticais	Altura (Pé Direito)	Volu me	Área das superfície s vert. (c/ janela e s/ porta)	Área de piso ou teto	Mobília	Cortina	Tapete	Área janela	
1	Laje pré-fabricada esp. 8,5cm + laje maciça esp. 10cm	Contrapiso + piso de tábua corrida esp. 9,5cm	18 cm	2	5,17	16,30	2,27 e 2,78	33	44,29	14,01	Sim	Não	Não	3,21	
2	Laje maciça esp. 10cm	Contrapiso + taco + durafloor esp. 8,7cm	18,7 cm	3,45	4	18,43	2,76	43	49,43	15,58	Sim	Tecido fino e persiana	Não	1,00	
3	Laje maciça esp. 10cm	Contrapiso + tábua corrida esp. 7,5cm	17,5 cm	3,10	3	14,35	2,34	28	31	12,17	Sim	Persiana	Não	2,04	
4	Laje esp. 15cm	Contrapiso + tábua corrida esp. 6,5cm	21,5 cm	2.57	3	14,11	2	28	37	10,18	Sim	Tecido	Não	1,00	
5	Laje maciça esp. 10cm	Contrapiso + tábua corrida esp. 4,5cm	14,5 cm	3,10	4,21	20,37	2,435 e 2,63	35	49	14,04	Sim	Tecido	Não	2,00	
6	Laje esp. 28cm	Contrapiso + tábua corrida esp. 5cm	33 cm	3	5,46	21,42	2,50 e 2,685	53	51	20	Sim	Tecido	Sim	5,00	
7	Laje maciça esp. 8cm	Regularização + durafloor esp. 2cm	10 cm	3,10	4,59	19,09	2,53 e 2,89	38	50,17	13,72	Sim	Não	Não	2,00	
8	Laje maciça esp. 10cm	Contrapiso + taco esp. 4,5cm	14,5 cm	3,01	4,13	15,48	2	36	40,94	13,06	Sim	Tecido	Sim	2,00	
9	Laje esp. 20cm	Contrapiso + taco + durafloor esp. 7,5cm	27,5 cm	3,52	4,67	16,82	2,49 e 2,77	41	41	15,11	Sim	Tecido	Sim	3,00	
10	Laje painel pré- moldado esp. 5cm	Contrapiso + taco esp. 5cm	10 cm	2,80	3,03	11,66	2,61	22	28	8,48	Sim	Persiana	Não	1,50	
11	Laje pré-fabricada esp. 8,5cm	Contrapiso + piso de cerâmica esp. 5,5cm	14 cm	2	3	11,84	2,78	21	31	7,89	Sim	Persiana	Não	1,00	
12	Laje esp. 45cm	Contrapiso + tábua corrida esp. 6cm	51 cm	3,35	6,87	24,59	2,665	67	65	25,38	Sim	Não	Sim	3,00	
13	Laje esp. 20cm	Contrapiso + durafloor esp. 5cm	25 cm	2,62	2,86	12,06	2	21	30,83	7,97	Sim	Não	Não	1,67	
14	Laje maciça esp. 10cm	Contrapiso + taco esp. 7,5cm	17,5 cm	3,04	3	13,95	2	33,1 9	36,79	11,96	Sim	Sim	Não	1,92	

Tabela 8-2 - Dados dos levantamentos arquitetônicos e medições acústicas

	Dados dos piso	os dos ambientes emiss	ores [cm]	Dados das medições acústicas nos ambientes receptores [dB] [s]									
Nº ensaio	Tipologia laje	Tipologia recobrimento	Espessura total	L' _{nT,w} [dB]	<i>L'</i> _{n,w} [dB]	Nível Ruído Ambiente [dB]	<i>T</i> 250Hz [s]	T 500Hz [s]	<i>T</i> 1 KHz [s]	T 2 KHz [s]			
1	Laje pré-fabricada esp. 8,5cm + laje maciça esp. 10cm	Contrapiso + piso de tábua corrida esp. 9,5cm	18 cm	73	74	38	0,35	0,42	0,45	0,44			
2	Laje maciça esp. 10cm	Contrapiso + taco + durafloor esp. 8,7cm	18,7 cm	59	61	35	0,72	0,69	0,71	0,63			
3	Laje maciça esp. 10cm	Contrapiso + tábua corrida esp. 7,5cm	18,7 cm	65	64	33	0,40	0,45	0,55	0,5			
4	Laje esp. 15cm	Contrapiso + tábua corrida esp. 6,5cm	21,5 cm	63	62	39	0,38	0,33	0,33	0,3			
5	Laje maciça esp. 10cm	Contrapiso + tábua corrida esp. 4,5cm	14,5 cm	68	69	49	0,53	0,43	0,47	0,45			
6	Laje esp. 28cm	Contrapiso + tábua corrida esp. 5cm	33 cm	64	67	53	0,54	0,44	0,46	0,44			
7	Laje maciça esp. 8cm	Regularização + durafloor esp. 2cm	10 cm	70	71	28	0,59	0,62	0,59	0,6			
8	Laje maciça esp. 10cm	Contrapiso + taco esp. 4,5cm	14,5 cm	73	74	31	0,52	0,47	0,38	0,35			
9	Laje esp. 20cm	Contrapiso + taco + durafloor esp. 7,5cm	27,5 cm	56	58	34	0,44	0,34	0,35	0,36			
10	Laje painel pré- moldado esp. 5cm	Contrapiso + taco esp. 5cm	10 cm	75	74	28	0,44	0,47	0,43	0,43			
11	Laje pré-fabricada esp. 8,5cm	Contrapiso + piso de cerâmica esp. 5,5cm	14 cm	81	80	32	0,36	0,34	0,4	0,37			
12	Laje esp. 45cm	Contrapiso + tábua corrida esp. 6cm	51 cm	71	74	32	1,04	1,19	0,98	0,97			
13	Laje esp. 20cm	Contrapiso + durafloor esp. 5cm	25 cm	61	59	39	0,55	0,69	0,59	0,56			
14	Laje maciça esp. 10cm	Contrapiso + taco esp. 7,5cm	17,5 cm	73	73	30	0,45	0,40	0,37	0,38			

As tipologias de lajes levantadas foram verificadas no local de cada ensaio. Em alguns apartamentos, a mesma encontrava-se aparente, já em outros, as informações foram obtidas através dos proprietários, bem como com o levantamento das fachadas. Dessa forma, as espessuras das lajes foram aproximadas, assim como as espessuras dos recobrimentos.

As lajes pré-fabricadas, presentes em algumas amostras, referem-se a um tipo de laje nervurada, com as vigotas unidirecionais. Tratam-se de vigotas de concreto armado, em que são apoiados os blocos cerâmicos. Estes elementos são produzidos pelas indústrias e montados na obra.

Já as lajes maciças são executadas *in loco*, com o uso de fôrmas e em concreto armado em toda a sua extensão.

As demais lajes sem descrição não puderam ser identificadas, e dessa forma não foram classificadas, sendo apenas apresentadas suas espessuras e recobrimentos.

Foram levantadas também outras características, além dos pisos dos ambientes emissores, como as dimensões e a existência de alguns materiais absorventes nos ambientes receptores, essas importantes características para avaliar a absorção sonora em ambiente reverberante. Também foram apresentados na Tab. 8 os dados das medições acústicas com os índices para Ruído de Impacto, o nível de Ruído Ambiente, e alguns tempos de reverberação em determinadas bandas de frequência.

A partir das medições dos objetos em estudo, foi possível qualificar o desempenho acústico dos sistemas de pisos ensaiados aos níveis estabelecidos pela norma brasileira de desempenho, a ABNT NBR 15575:2013, demonstrados na Tab. 9. Como já apresentado no Capítulo 2, a referida norma adota o parâmetro $L'_{nT,w}$ para quantificar esse desempenho.

Tabela 9 - Qualificação do desempenho acústico dos sistemas de piso ensaiados em relação à norma ABNT NBR 15575:2013

Nº ensaio	$L'_{nT,w}$ [dB]	Classificação NBR ABNT 15575:2013
1	73	M (Mínimo)
2	59	I Intermediário)
3	65	l Intermediário)
4	63	I Intermediário)
5	68	M (Mínimo)
6	64	l Intermediário)
7	70	M (Mínimo)
8	73	M (Mínimo)
9	56	I Intermediário)
10	75	M (Mínimo)
11	81	Não atende à norma
12	71	M (Mínimo)
13	61	l Intermediário)
14	73	M (Mínimo)

Como foi possível observar, nenhuma amostra apresentou um nível de ruído de impacto de piso considerado como de classificação superior, ou seja, abaixo de 55dB. Além disso, uma das amostras não atende às exigências da norma brasileira, pois apresentou o nível de 81dB, uma vez que a mesma exige 80dB mínimos.

A partir de então, foi possível comparar os níveis adotados pela norma brasileira e pelas demais regulamentações internacionais através dos resultados obtidos nos ensaios acústicos. Alguns países adotam o parâmetro $L'_{nT,w}$, já outros o $L'_{n,w}$. Dessa forma, estas comparações foram ilustradas em dois gráficos distintos (Figs. 8 e 9), cada um com o respectivo parâmetro adotado. Por este motivo, foram calculados os valores de $L'_{nT,w}$ e $L'_{n,w}$ para os ensaios de impacto de piso nas edificações.

Conforme apresentado nas Tabs. 2 a 7, o parâmetro adotado para essa comparação, no caso da FHA dos EUA, foi para a situação de Quarto sobre Quarto e inserido na Graduação 1, onde o nível de Ruído Ambiente noturno é mais baixo, como na maioria das amostras. No caso da BCA da Austrália, também foi adotada a situação de Quarto sobre Quarto e a Classe da Edificação 2, cujos edifícios têm duas ou mais unidades habitacionais.

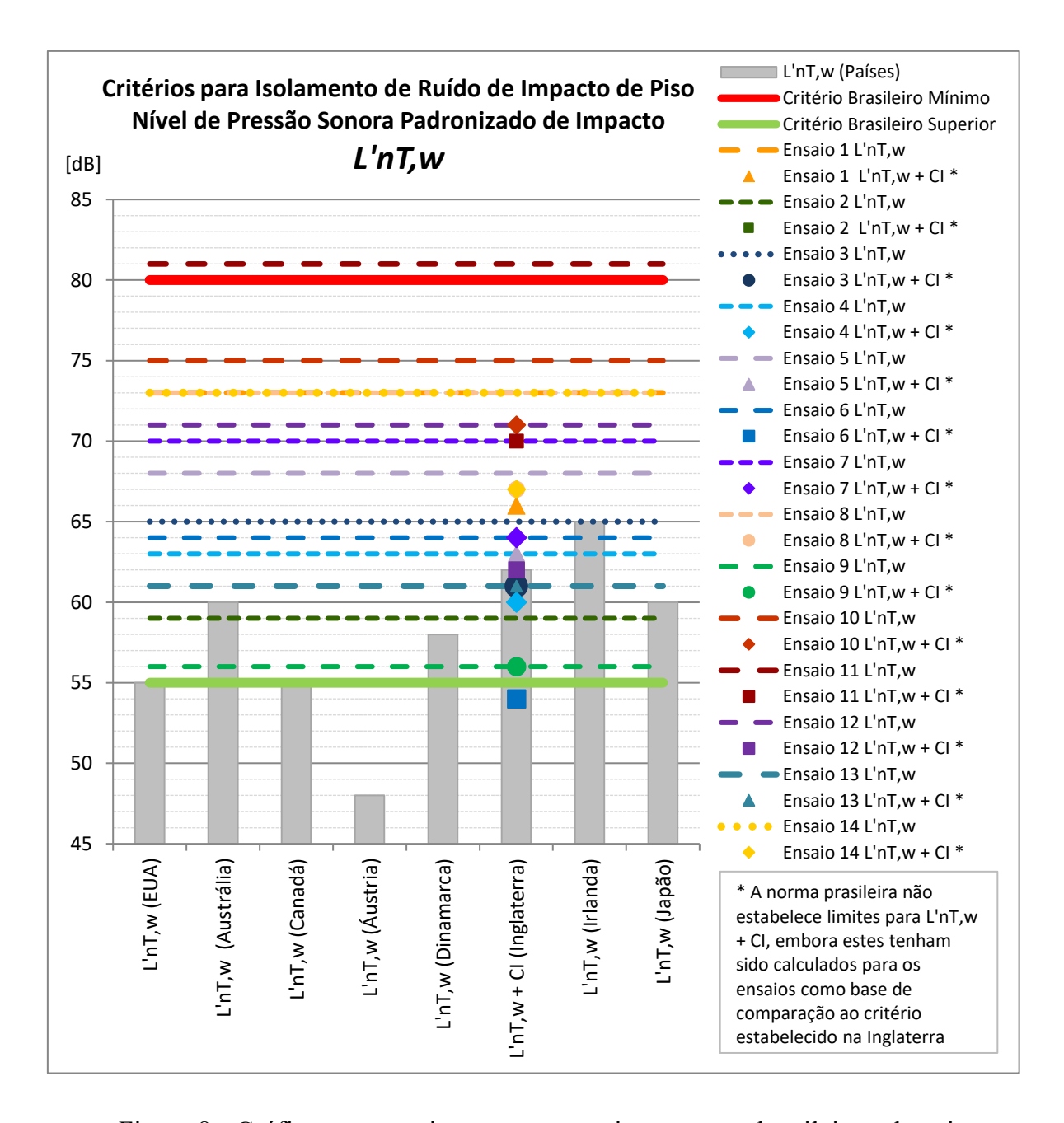


Figura 8 - Gráfico comparativo entre os ensaios, a norma brasileira e demais regulamentações internacionais - índice $L'_{nT,w}$

A Fig. 8 comprova que praticamente todas as amostras tiveram seus valores de $L'_{nT,w}$ dentro dos limites estabelecidos pela norma brasileira de 80dB mínimos, exceto uma, dados estes também apresentados na Tab. 8. Além disso, nenhuma edificação ensaiada teve seu índice igual ou abaixo de 55dB, valor este adotado como critério superior pela norma brasileira e limite mínimo para a FHA dos EUA e NBCC do Canadá, e que, portanto, não atenderia aos mesmos e à Áustria. Isto indica que nenhuma amostra estaria com o $L'_{nT,w}$ dentro dos limites

estabelecidos pela FHA. Além do Brasil, apenas uma edificação, cujo $L'_{nT,w}$ de 56dB foi o mais baixo, atenderia aos níveis mínimos de cinco países, uma atenderia aos limites de quatro países, quatro atenderiam aos limites de dois países e uma delas atenderia a apenas um país. As outras seis amostras só atenderiam aos limites da norma brasileira, lembrando que uma não atende a nenhuma norma ou regulamentação. É possível observar também que sete amostras, ou seja, metade delas, atenderiam ao limite da Inglaterra, cujo índice é normalmente mais restritivo acrescendo o termo C_I , muitas vezes negativo, ao valor de $L'_{nT,w}$. Para os gráficos dos ensaios e respectivos valores de $L'_{nT,w}$, CII e C_I , ver Anexo B.

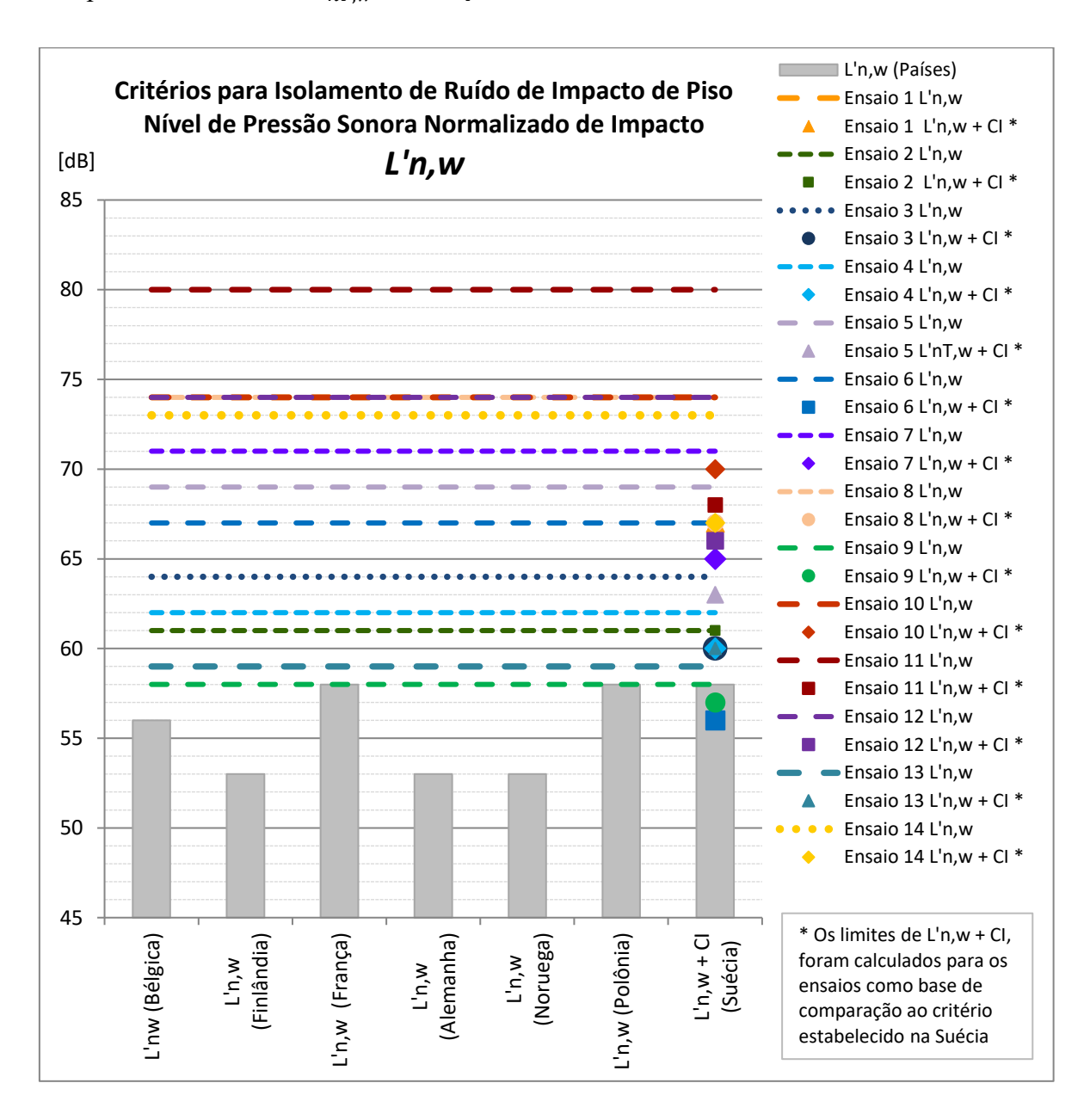


Figura 9 - Gráfico comparativo entre os ensaios e demais regulamentações internacionais - índice $L'_{n,w}$

Já a Fig. 9 compara os valores de $L'_{n,w}$ obtidos nos ensaios com os estabelecidos como mínimos por alguns países que adotam este mesmo índice. Vale ressaltar que não foram adotados os critérios brasileiros neste caso, pois os mesmos são apresentados como $L'_{nT,w}$. É possível verificar que apenas uma amostra atende aos limites estabelecidos por três países, e uma que atende aos limites de um país, sendo este a Suécia que também adota o $L'_{n,w}$ + C_{I} . As doze amostras restantes não atendem aos limites de $L'_{n,w}$ de nenhum país.

4.1.2. Resultados do Questionário de Avaliação

Como exposto no Capítulo 3, os questionários foram aplicados em moradores dos apartamentos ensaiados e seus resultados, juntamente com alguns dados do levantamento arquitetônico e das medições acústicas, foram apresentados na Tab. 10:

Tabela 10-1 - Dados do levantamento, das medições e respostas do questionário por entrevistado

Nº ensaio	Entrevi stado	Tipologia piso	$L'_{nT,w}$	Idade edifício	Preço apto.	Nível Ruído Ambiente	Tratamento acústico	Idade entrevistado	Sexo entrevistado
1	1	Laje pré-fabricada esp. 8,5cm + laje maciça esp. 10cm e contrapiso + piso de tábua corrida = 9,5cm	73	43	R\$ 500.000,00	38	0	85	Feminino
1	2	Laje pré-fabricada esp. 8,5cm e contrapiso + piso de tábua corrida = 9,5cm	73	43	R\$ 500.000,00	38	0	54	Masculino
2	3	Laje maciça esp. 10cm e contrapiso + taco + durafloor = 8,7cm	59	38	R\$ 1.300.000,00	35	0	61	Feminino
2	4	Laje maciça esp. 10cm e contrapiso + taco + durafloor = 8,7cm	59	38	R\$ 1.300.000,00	35	0	65	Masculino
3	5	Laje maciça esp. 10cm e contrapiso + tábua corrida = 7,5cm	65	11	R\$ 600.000,00	33	0	36	Feminino
4	6	Laje esp. 15cm e contrapiso + tábua corrida = 6,5cm	63	15	R\$ 450.000,00	39	0	39	Feminino
4	7	Laje esp. 15cm e contrapiso + tábua corrida = 6,5cm	63	15	R\$ 450.000,00	39	0	39	Masculino
5	8	Laje maciça esp. 10cm e contrapiso + tábua corrida = 4,5cm	68	20	R\$ 1.200.000,00	49	0	58	Feminino
6	9	Laje esp. 28cm e contrapiso + tábua corrida = 5cm	64	25	R\$ 2.200.000,00	53	0	31	Feminino
7	10	Laje maciça esp. 8cm e regularização + durafloor = 2cm	70	3	R\$ 1.300.000,00	28	0	35	Feminino
8	11	Laje maciça esp. 10cm e contrapiso + taco = 4,5cm	73	42	R\$ 900.000,00	31	0	81	Feminino
9	12	Laje esp. 20cm e contrapiso + taco + durafloor = 7,5cm	56	37	R\$ 700.000,00	34	0	63	Masculino
9	13	Laje esp. 20cm e contrapiso + taco + durafloor = 7,5cm	56	37	R\$ 700.000,00	34	0	32	Feminino
10	14	Laje painel pré-moldado esp. 5cm e contrapiso + taco = 5cm	75	43	R\$ 150.000,00	28	0	52	Feminino
11	15	Laje pré-fabricada esp. 8,5cm e contrapiso + piso de cerâmica = 5,5cm	81	12	R\$ 180.000,00	32	0	27	Feminino
12	16	Laje esp. 45cm e contrapiso + tábua corrida = 6cm	71	15	R\$ 5.000.000,00	32	0	60	Feminino
12	17	Laje esp. 45cm e contrapiso + tábua corrida = 6cm	71	15	R\$ 5.000.000,00	32	0	70	Masculino
13	18	Laje esp. 20cm e contrapiso + durafloor = 5cm	61	12	R\$ 700.000,00	39	0	33	Feminino
14	19	Laje maciça esp. 10cm e contrapiso + taco = 7,5cm	73	35	R\$ 550.000,00	30	0	67	Masculino
14	20	Laje maciça esp. 10cm e contrapiso + taco = 7,5cm	73	35	R\$ 550.000,00	30	0	35	Feminino

Tabela 10-2 - Dados do levantamento, das medições e respostas do questionário por entrevistado

Nº ensaio	Entrevi stado	Q1	Q2	Q3	Q3_ cognitiva	Q4	Q4_ cognitiva	Q5-1	Q5-2	Q5-3	Q6- A	Q6- B	Q6- C	Q6- D	Q6-E	Q6-F	Q6- G	Q6- H	Q6-I	Q6-J
1	1	40	35	4	Outro	2	Outro	F	Н		1	2	2	4	4	4	4	4	4	0,6
1	2	40	35	2	Outro	2	Outro	L	М		2	2	4	4	4	4	4	4	4	0,6
2	3	61	28	2	Outro	2	Ruído	М	М	М	2	4	4	3	3	3	3	4	4	1
2	4	65	28	2	Outro	2	Outro	М	F	G	1	1	1	3	4	4	4	4	4	0,6
3	5	36	5	3	Outro	1	Outro	L	Н	Α	2	1	4	4	4	4	4	3	3	2
4	6	36	11	2	Outro	2	Outro	М	М	J	2	1	3	3	4	1	4	2	4	1
4	7	39	14	2	Outro	2	Outro	М	М		3	2	2	4	4	2	4	4	4	0,6
5	8	58	20	4	Ruído	4	Ruído	J	F	G	1	1	4	1	4	4	4	4	4	1
6	9	31	7	2	Outro	2	Outro	L			2	3	2	3	4	3	2	4	2	0,6
7	10	35	3	2	Outro	2	Outro	М	Α	J	2	2	3	3	2	4	4	3	2	0,6
8	11	42	40	1	Outro	1	Outro	Н	G	Е	3	2	4	4	4	4	4	2	3	0,6
9	12	62	27	1	Outro	1	Outro	М			2	2	2	4	4	4	4	4	4	3
9	13	32	27	4	Outro	2	Outro	L			4	3	2	4	4	4	4	4	3	2
10	14	29	26	1	Outro	2	Outro	J	М	G	1	3	4	4	4	4	4	4	4	0,6
11	15	2	2	2	Outro	2	Outro	Α	С	G	4	1	2	4	4	1	2	2	3	0,6
12	16	45	14	2	Outro	1	Ruído	М			2	1	4	4	4	4	4	3	4	0,6
12	17	70	14	1	Outro	1	Outro	М			2	1	4	4	4	4	4	4	4	0,6
13	18	16	10	2	Outro	2	Outro	J	Α	В	2	2	3	3	4	4	4	4	2	2
14	19	64	10	1	Outro	1	Outro	М	М	М	4	4	4	4	4	4	4	4	4	0,6
14	20	35	10	2	Outro	2	Outro	L	Α	J	2	3	4	4	4	2	4	4	4	0,6

Tabela 10-3 - Dados do levantamento, das medições e respostas do questionário por entrevistado

Nº ensaio	Entrevistado	Q7	Q8-1	Q8-2	Q8-3	Q9-1	Q9-2	Q9-3	Q9-4	Q10-1	Q10-2	Q10-3	Q10-4	Q11	Q12	Q13	Q14
1	1	35	D	F	I	9	8	10	9	7	9	9	8	1	6	8	6
1	2	35	N	0		10	10	8	10	8	8	5	10	1	5	9	4
2	3	28	С	0	0	8	2	2	6	6	2	2	4	2	6	4	7
2	4	28	F	ı	J	10	10	10	10	10	9	5	10	1	7	10	4
3	5	5	D	J	Α	2	2	2	10	10	5	5	10	1	6	2	2
4	6	10	0	0	J	10	10	6	10	10	10	8	9	1	8	10	1
4	7	10	0	0	0	10	9	5	10	10	9	5	6	1	8	7	4
5	8	20	F	D	Α	6	3	6	10	3	5	5	7	3	10	7	8
6	9	6	N	J	G	10	3	3	10	10	3	3	10	1	8	8	0
7	10	3	G	Н	Α	8	4	4	10	7	4	4	5	1	3	9	1
8	11	40	С	D	J	8	8	2	6	10	8	3	8	1	4	9	3
9	12	27	0	G		10	10	10	10	10	10	10	10	1	6	10	1
9	13	27	N			5	5	2	10	8	5	5	10	1	4	3	3
10	14	27	Е	F	J	10	10	0	7	4	7	0	8	3	8	6	8
11	15	2	Е	Α	J	6	0	0	0	0	0	0	0	3	6	0	10
12	16	14	0			10	10	0	10	7	7	0	10	1	5	10	2
12	17	14	0			6	7	3	10	9	5	5	10	1	1	10	1
13	18	0,75	Α	Н	В	7	9	3	5	10	10	6	10	1	8	9	1
14	19	10	0	0		10	10	5	10	10	8	5	5	1	0	10	2
14	20	10	N	J		7	8	1	10	7	1	1	4	1	4	2	2

Tabela 10-4 - Dados do levantamento, das medições e respostas do questionário por entrevistado

Nº ensaio	Entrevistado	Q15-A	Q15-B	Q16	Q17	Q18	Q19	Q19_ cognitiva	Q20
1	1	Não	Não	0	0	J	9	Outro	8
1	2	Caminhar de criança, porta batendo	Sim	2	2	D	3	Outro	7
2	3	Ás vezes: caminhar do vizinho de cima, ruído do banheiro de cima, ruído do elevador	Sim	8	6	F	2	Outro	2
2	4	O tamanco da vizinha de cima	Sim	4	4	I	8	Outro	8
3	5	Guitarra e escova de dente do vizinho de cima	Sim	2	2	С	8	Outro	8
4	6	De vizinhos, mas pouco	Sim	2	2	l	7	Outro	9
4	7	Usualmente: arrastar cadeira, gritaria em jogos de futebol	Sim	7	3	l	6	Outro	5
5	8	Porta batendo e salto de madrugada no apto superior	Sim	7	7	K	7	Outro	8
6	9	Não	Não	0	0	l	8	Outro	8
7	10	Conversa, passos, televisão, música, obras nos aptos	Sim	5	5	Α	3	Outro	3
8	11	Hoje não. Os meninos de cima são muito educados!	Não	3	0	D	10	Outro	6
9	12	Salto	Sim	2	2	D	9	Outro	7
9	13	Muito raro: ventilador, passos	Sim	1	1	l	9	Outro	9
10	14	Calçado (passos de sapato), máquina de lavar roupa	Sim	5	0	G	0	Ruído impacto de piso	0
11	15	Conversa, descarga, objetos caindo no chão, chuveiro, tv, tudo	Sim	10	6	G	0	Ruído impacto de piso	0
12	16	Construção sim, barulho doméstico não. Ruído de pressão de descarga	Não	0	0	K	9	Outro	5
12	17	Não	Não	1	0	J	10	Nada	10
13	18	Sim, embaixo e em cima às vezes, mas não incomoda	Sim	2	2	D	8	Ruído impacto de piso	8
14	19	Choro da minha neta em cima, piso do pavto superior, não tem festa	Sim	2	0		8	Outro	8
14	20	Cachorro latindo, criança chorando, passos, ruído carros garagem, alarme prédio	Sim	5	5	F	9	Outro	6

Tabela 10-5 - Dados do levantamento, das medições e respostas do questionário por entrevistado

Nº ensaio	Entrevistado	Q21-A	Q21-B	Q22	Q23	Q24	Q25
1	1	С	2	Trânsito incomodava muito	10	2	0
1	2	С	2	Oficina mecânica, caminhões passando na porta, vizinho, muita criança	7	2	8
2	3	Α	1,15	Não	6,67	2,1	5
2	4	Α	1,15	Não	6,67	2,1	10
3	5	С	2	Área Lazer, Banheiro, Piso mais do que neste apto, construção	2	3	8
4	6	С	1	Galo cantando, buteco	8	2	5,35
4	7	С	1	Igreja, buteco	7	2	5,35
5	8	С	2	Era perto da favela e tinha muito cachorro latindo e quadra de esportes no prédio	5	3	5
6	9	Α	1,15	Os helicópteros dos vizinhos	5	3	10
7	10	С	2	Ruído externo	8	3	5,35
8	11	С	2	Muito ruído de carro perto da Av. Amazonas	8	3	5,35
9	12	Α	1,15	Não	6,67	2,1	10
9	13	Α	1,15	Não lembra	6,67	2,1	3
10	14	С	2	No quintal, ruído de lavação de roupa	8	3	9
11	15	С	1	Vizinhos de blocos e quadra de futebol	3	2	10
12	16	С	2	Imensamente. Trânsito, ruídos domésticos (aéreo), elevador, garagem	10	4	7
12	17	С	2	Subida da rua, carro acelerando, ônibus, gritaria da manobra do ônibus	10	4	5,35
13	18	С	2	Choro de criança o dia todo e pisada, barulho de descarga	8	3	9
14	19	Α	1,15	Trânsito, mas quase imperceptível	0	1	3
14	20	Α	1,15	Trânsito, cachorro latindo	8	2	10

4.2. Análise dos Dados e Resultados

O modelo adotado para relacionar dos dados obtidos no levantamento arquitetônico, nas medições e nos resultados dos questionários foi um modelo estatístico de Regressão Linear Múltipla, e que consiste em uma função que descreve a relação entre a variável dependente ou de resposta e as variáveis independentes ou regressoras, conforme apresentado a seguir na Eq. (4.1):

$$Y = \beta_0 + \beta_1 x_1 + \beta_2 x_2 + \dots + \beta_k x_k + \epsilon \tag{4.1}$$

onde Y representa a variável dependente, x_i , i=1,..., k, são as k de variáveis independentes, o parâmetro β_0 a interseção no plano, demais parâmetros β_i , i=1,...,k os coeficientes parciais de regressão, e ϵ o termo de erro aleatório (MONTGOMERY e RUNGER, 2011).

Modelos de regressão múltipla fornecem uma visão das relações entre essas variáveis que podem ter importantes implicações práticas. O importante é, após a análise dos dados coletados, selecionar o conjunto de regressores a ser usado e que modele adequadamente a variável resposta *Y*.

Toda a análise foi desenvolvida no software Minitab 17, em que foram lançados os dados coletados nas medições e nas entrevistas.

4.2.1. Análise de Componentes Principais

A fim de diminuir o número de variáveis, foi adotada a técnica de Análise de Componentes Principais (PCA), que permite reduzir a dimensão dos dados sem perdas significativas de informação. A idéia principal é gerar um novo conjunto de variáveis, chamadas componentes principais, que são combinações lineares das variáveis originais e, além disso, ortogonais (e portanto independentes, dentro do arcabouço da distribuição normal) entre si. Com isso, elimina-se possível redundância estatística de informações, e na maioria de suas aplicações as primeiras componentes conseguem explicar grande parte da variabilidade total dos dados originais.

Como descreve Mingoti (2013), a partir da determinação das componentes principais, os seus valores numéricos, chamados de escores, podem ser calculados para cada elemento amostral. Assim, os valores de cada componente podem ser analisados, usando-se técnicas estatísticas

comumente utilizadas como análise de variância e análise de regressão, como adotada neste trabalho, dentre outras.

É importante sabermos interpretar a nova variável a partir das variáveis originais. A primeira componente é o arranjo que melhor representa a variabilidade total dos dados e a segunda componente, perpendicular à primeira, geralmente representa um contraste. Como exemplo, o gráfico da Fig. 11 apresenta os pesos das variáveis que compõem a primeira e a segunda componentes representadas nos eixos x e y respectivamente. A Fig. 12 apresenta a importância de cada componente principal na explicação da variabilidade dos dados originais, representada pelos autovalores correspondentes a cada componente principal. O autovalor é a variância da componente principal, mas também pode ser interpretado como a sua equivalência ao número de variáveis originais, em termos da variabilidade total, e por isso as componentes com autovalor menor que 1 são consideradas residuais.

A seguir, foram apresentadas todas as análises de componentes principais, suas descrições e interpretações em relação à primeira e segunda componentes.

4.2.1.1. Nível de Insatisfação com o Ruído de Impacto de Piso

Para se determinar o nível de satisfação ou insatisfação em relação ao nível de ruído de impacto de piso nas edificações ensaiadas, resposta *Y* do modelo de regressão, foram consideradas as questões 15, 17 e 25, e respectivas subquestões, apresentadas na Tab. 11, variáveis originais do questionário aplicado e que procuram avaliar o incômodo causado pelo ruído da máquina de impacto padrão ("castanhola"), verificar se o usuário escuta algum ruído de vizinhos ou parte da edificação e em que medida este ruído dos vizinhos lhe incomoda. A composição da nova variável está demonstrada na Tab. 12.

Tabela 11 - Questões originais para a componente Nível de Insatisfação com o Ruído de Impacto de Piso

Questão original	Enunciado da questão	Perguntas cognitivas			
Q15A	Você escuta algum ruído (barulho) de vizinhos ou parte da edificação? Qual?				
Q15B	Em caso positivo, este vem do piso do pavimento superior?				
Q17	Em que medida o ruído (barulho) do(s) seu(s) vizinho(s) dos prédio lhe incomoda? Na escala de 0 a 10, 0 significa nada incomodado e 10 significa extremamente incomodado. 0 1 2 3 4 5 6 7 8 9 10	O que você levou em consideração para classificá-lo dessa forma?			
Q25	Em que medida este ruído (barulho) da "castanhola" lhe incomoda? Na escala de 0 a 10, 0 significa nada incomodado e 10 extremamente incomodado. 0 1 2 3 4 5 6 7 8 9	O que você levou em consideração para classificá-lo dessa forma?			

Após a análise das respostas obtidas e dos resultados da componente, os entrevistados foram classificados em grupos conforme apresentado na Tab. 12 e na Fig. 10.

Tabela 12 - Composição da nova variável Nível de Insatisfação - resultados em relação às respostas das variáveis originais

-		Variáveis originais					
Entrevistado	Nova variável	Q15A1 (Ruído Impacto)	Q15A2 (Ruído Aéreo)	Q15B		Q25	
1	-3,14	0	0	0	0	0,00	
2	0,97	1	1	1	2	8,00	
3	1,55	1	1	1	6	5,00	
4	0,59	1	0	1	4	10,00	
5	-0,09	0	1	1	2	8,00	
6	-0,26	0	1	1	2	5,35	
7	0,99	1	1	1	3	5,35	
8	1,75	1	1	1	7	5,00	
9	-2,49	0	0	0	0	10,00	
10	1,38	1	1	1	5	5,35	
11	-2,80	0	0	0	0	5,35	
12	0,21	1	0	1	2	10,00	
13	0,45	1	1	1	1	3,00	
14	0,64	1	1	1	0	9,00	
15	1,88	1	1	1	6	10,00	
16	-1,79	0	1	0	0	7,00	
17	-2,80	0	0	0	0	5,35	
18	1,03	1	1	1	2	9,00	
19	0,25	1	1	1	0	3,00	
20	1,68	1	1	1	5	10,00	
Classificação	≤ 0,25	Muito Pouco Insatisfe			Insatisfeito		
	$0.25 < x \le 0.5$	Pouco Insatisfeito	> 0,	75	Muito Insatisfeito		

Notas: Os entrevistados foram classificados de acordo com o nível de insatisfação em relação ao nível de ruído de impacto de piso. O valor de 5,35 na Q25 representa a média das respostas nesta questão e foi adotado para aqueles entrevistados que não estavam presentes durante a medição para avaliar o incômodo do ruído da máquina de impacto de piso padrão ("castanhola"). A Q15A foi dividida em duas variáveis, conforme a presença de Ruído de Impacto e/ou Aéreo nas respostas, sendo Não=0 e Sim=1, o mesmo padrão de respostas adotado para a Q15B.

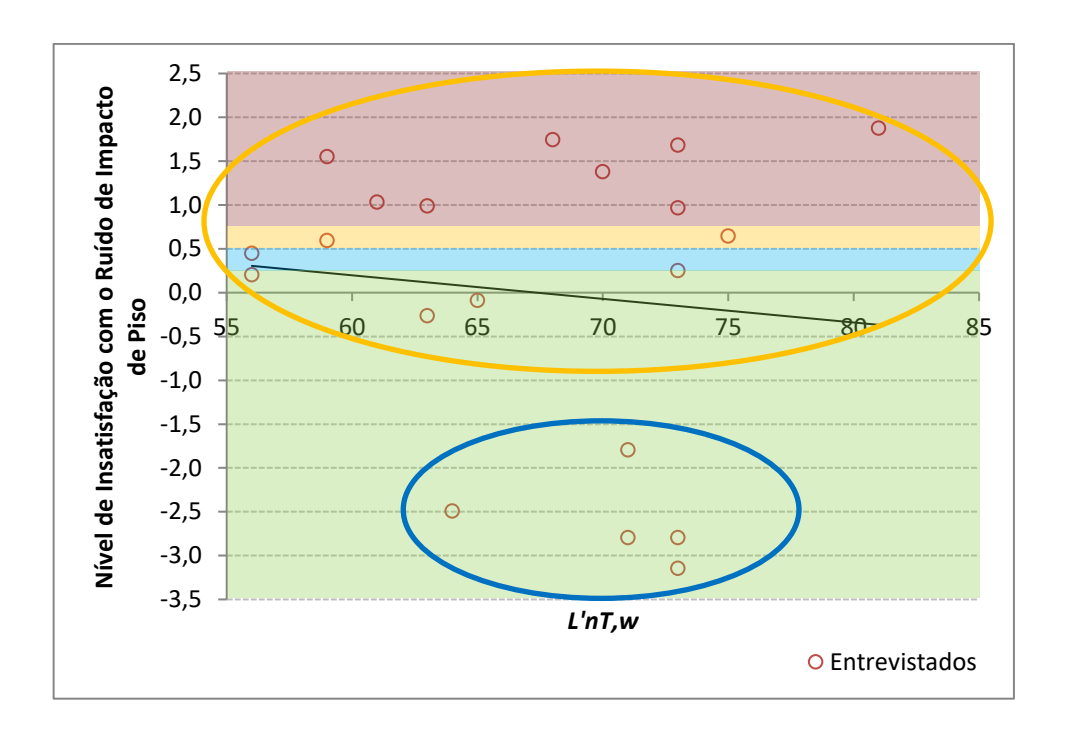


Figura 10 - Relação entre as variáveis Nível de Insatisfação com o Ruído de Impacto de Piso e $L'_{nT,w}$

Notas: A área sombreada vermelha destaca os entrevistados considerados como Muito Insatisfeitos (MI) em relação ao nível de ruído de impacto de piso. A área sombreada laranja representa os entrevistados considerados como Insatisfeitos (I), a área sombreada azul os Pouco Insatisfeitos (PI) e a área sombreada verde os Muito Pouco Insatisfeitos (MPI). Ainda, foram destacados dois grupos de entrevistados, bem dissociados um do outro, ambos representados pela forma azul e laranja.

Optou-se por nomear a componente como "Nível de Insatisfação com o Ruído de Impacto de Piso" para melhor representar as observações e respostas, e por considerar que nenhum indivíduo está "satisfeito" com o nível de ruído de impacto de piso.

Foi então estabelecido os limites para a classificação dos grupos denominados "Muito Pouco Insatisfeito", "Pouco Insatisfeito", "Insatisfeito" e "Muito Insatisfeito" com a intenção de manter uma divisão equilibrada dos grupos e diminuir o intervalo entre estas classificações:

$$\leq 0.25 = Muito$$
 $0.25 < x \leq 0.5 =$ $0.5 < x \leq 0.75 =$ $> 0.75 = Muito$
Pouco Insatisfeito Pouco Insatisfeito (I) Insatisfeito (MI) (MPI)

Dessa forma, oito entrevistados foram classificados como "Muito Pouco Insatisfeitos", oito como "Muito Insatisfeitos", dois classificados como "Pouco Insatisfeitos" e dois como "Insatisfeitos".

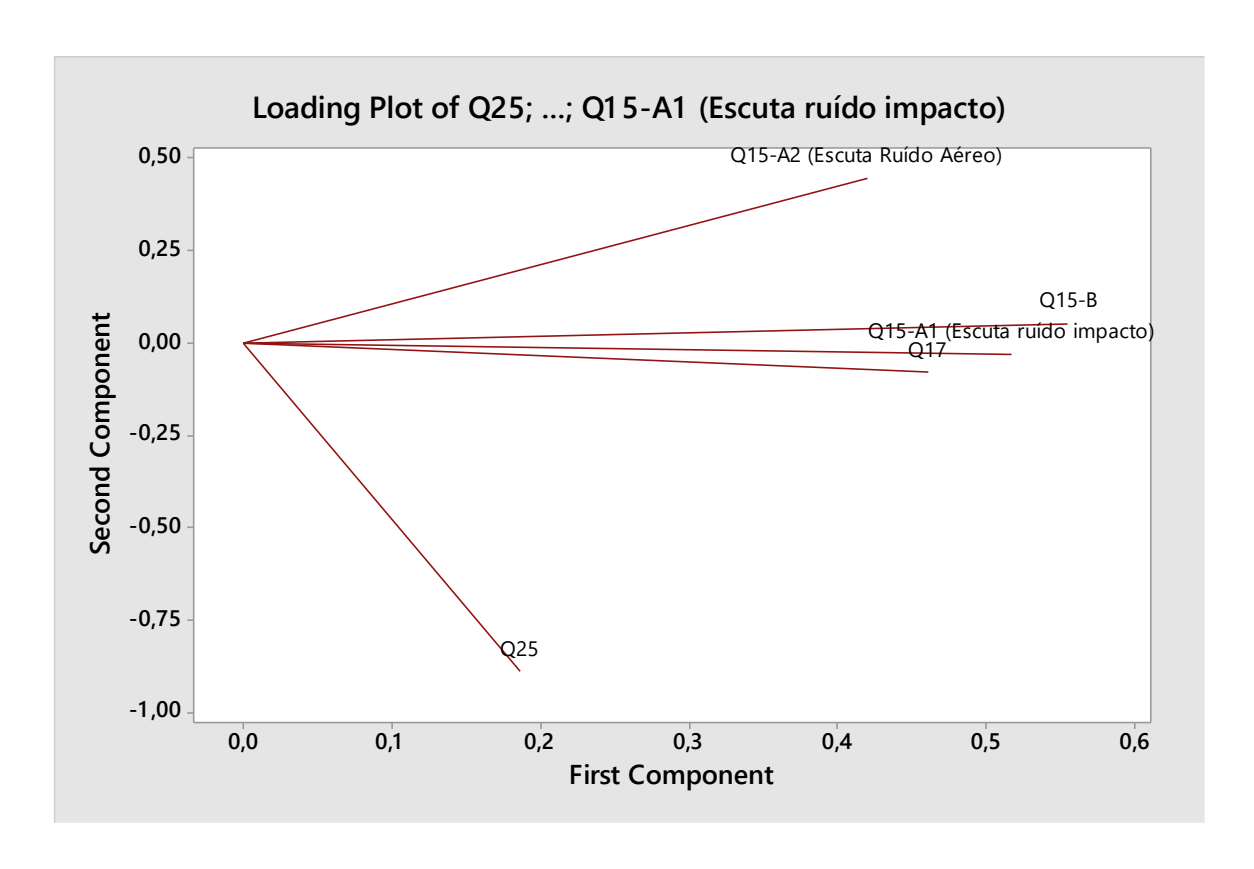


Figura 11 - Gráfico dos pesos das variáveis nas duas primeiras componentes, sendo a primeira a nova variável Nível de Insatisfação com o Ruído de Impacto de Piso

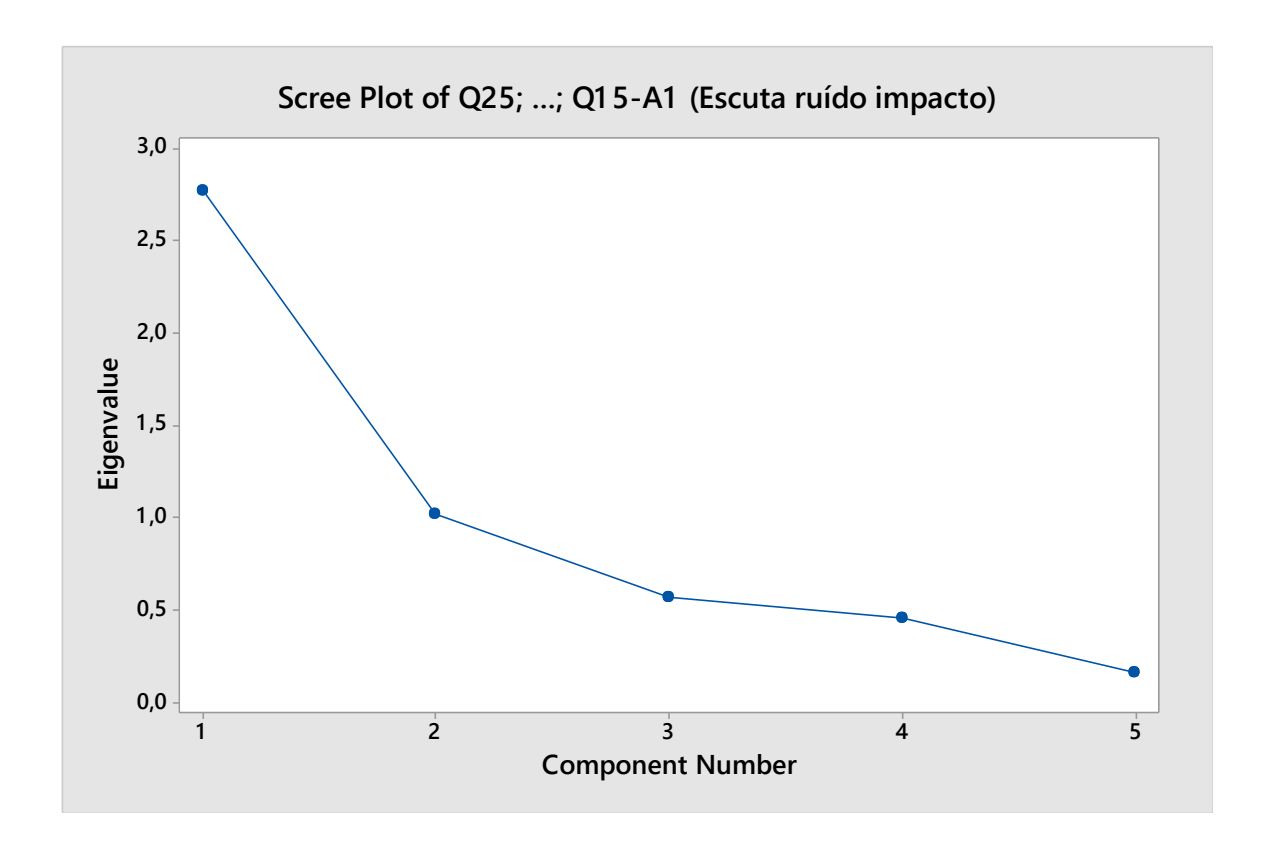


Figura 12 - Gráfico do número da componente principal e seus respectivos autovalores

Pôde-se concluir que a primeira componente seria o nível de insatisfação com o ruído de impacto de piso, pois tem correlação positiva com todas as variáveis envolvidas, apesar da presença do ruído aéreo que influencia na percepção do ruído de impacto (Figs. 11 e 12). A segunda componente representa uma outra dimensão do incômodo que contrasta a Q15A2 (Ruído Aéreo) e a Q25 (insatisfação com o ruído da máquina de impacto de piso padrão), e portanto está relacionado com o tipo de ruído.

4.2.1.2. Nível de Percepção do Ruído no Presente

As variáveis originais, que propõem quantificar a percepção dos entrevistados em relação ao ruído presente foram transformadas em uma componente chamada de "Nível de Percepção do Ruído no Presente". Foram utilizadas nesta transformação as questões 14, 16 e 18, e respectivas subquestões, num total de dez variáveis apresentadas na Tab. 13, e cujos valores utilizados na componente são apresentados na Tab. 14, e avaliam os níveis dos ruídos percebidos pelos usuários no seu edifício atual em relação aos vizinhos e outros fatores e em que momentos do dia eles são percebidos.

Tabela 13 - Questões originais para a componente Nível de Percepção do Ruído no Presente

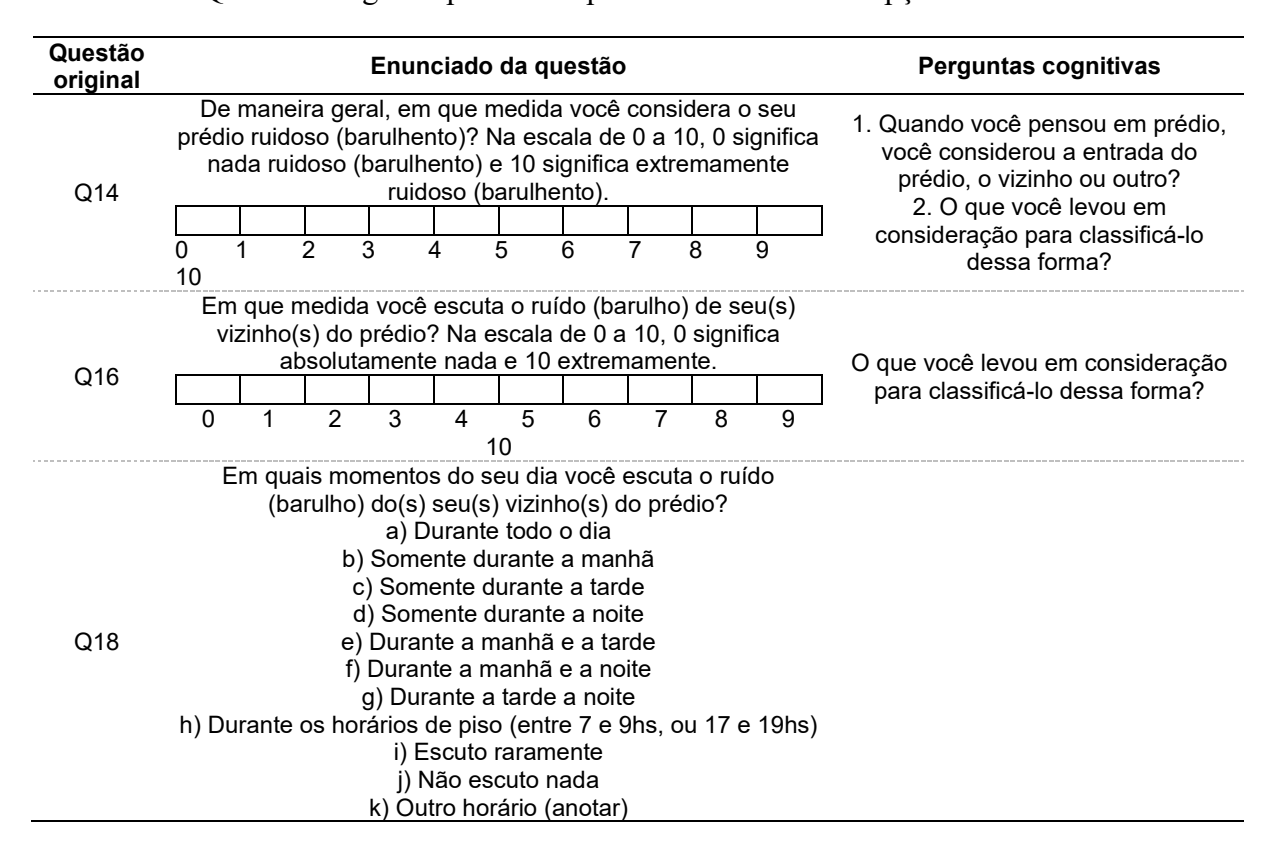


Tabela 14 - Composição da nova variável Nível de Percepção do Ruído no Presente - resultados em relação às respostas das variáveis originais

	Nova Variáveis originais										
Entrevistado	variável	Q14	Q16	Q18 A	Q18 C	Q18 D	Q18 F	Q18 G	Q18	Q18	Q18 K
- 1	0.52	6	0	0	0	0	0	0	0	<u>J</u>	0
1	-0,53			-		0	-	-	0	1	0
2	-0,56	4	2	0	0	ı	0	0	U	0	U
3	2,28	7	8	0	0	0	1	0	0	0	0
4	-0,20	4	4	0	0	0	0	0	1	0	0
5	-0,91	2	2	0	1	0	0	0	0	0	0
6	-1,17	1	2	0	0	0	0	0	1	0	0
7	0,38	4	7	0	0	0	0	0	1	0	0
8	1,91	8	7	0	0	0	0	0	0	0	1
9	-1,76	0	0	0	0	0	0	0	1	0	0
10	-0,26	1	5	1	0	0	0	0	0	0	0
11	-0,57	3	3	0	0	1	0	0	0	0	0
12	-1,16	1	2	0	0	1	0	0	0	0	0
13	-0,97	3	1	0	0	0	0	0	1	0	0
14	2,78	8	5	0	0	0	0	1	0	0	0
15	4,13	10	10	0	0	0	0	1	0	0	0
16	-0,63	2	0	0	0	0	0	0	0	0	1
17	-1,34	1	1	0	0	0	0	0	0	1	0
18	-1,16	1	2	0	0	1	0	0	0	0	0
19	-0,98	2	2	0	0	0	0	0	1	0	0
20	0,72	2	5	0	0	0	1	0	0	0	0

Notas: A Q18 foi dividida em oito variáveis, conforme suas subquestões, sendo Não=0 e Sim=1.

Após a análise, concluiu-se que a primeira componente seria o nível de percepção atual dos entrevistados e a segunda o momento do dia em que o ruído dos vizinhos é mais perceptível (Figs. 13 e 14). Nos edifícios mais ruidosos e em que os entrevistados escutam mais, os horários de ruído são: noite e manhã ou tarde. Nos edifícios menos ruidosos e em que os entrevistados escutam menos: nada se escuta ou escuta-se raramente, ou somente durante a noite ou tarde, ou durante o dia todo.

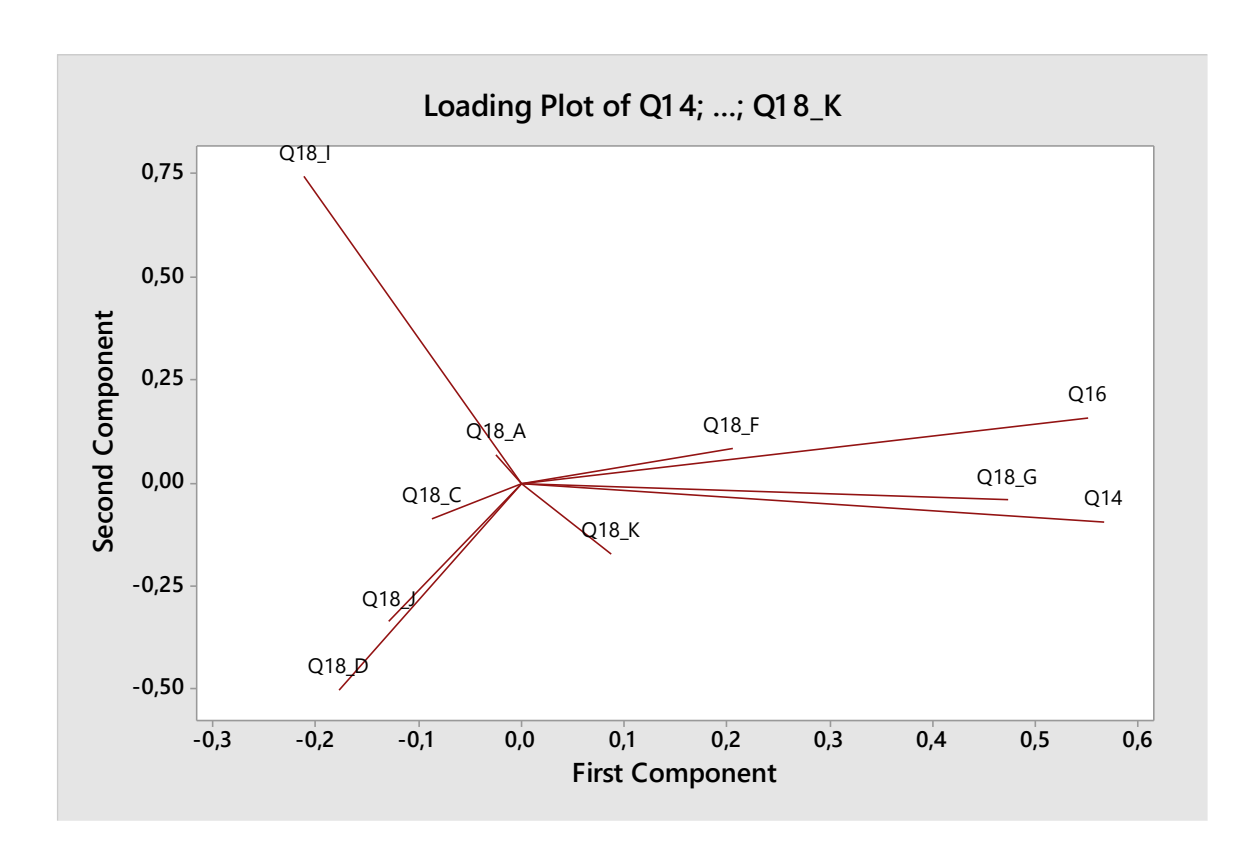


Figura 13 - Gráfico dos pesos das variáveis nas duas primeiras componentes, sendo a primeira a nova variável Nível de Percepção do Ruído no Presente

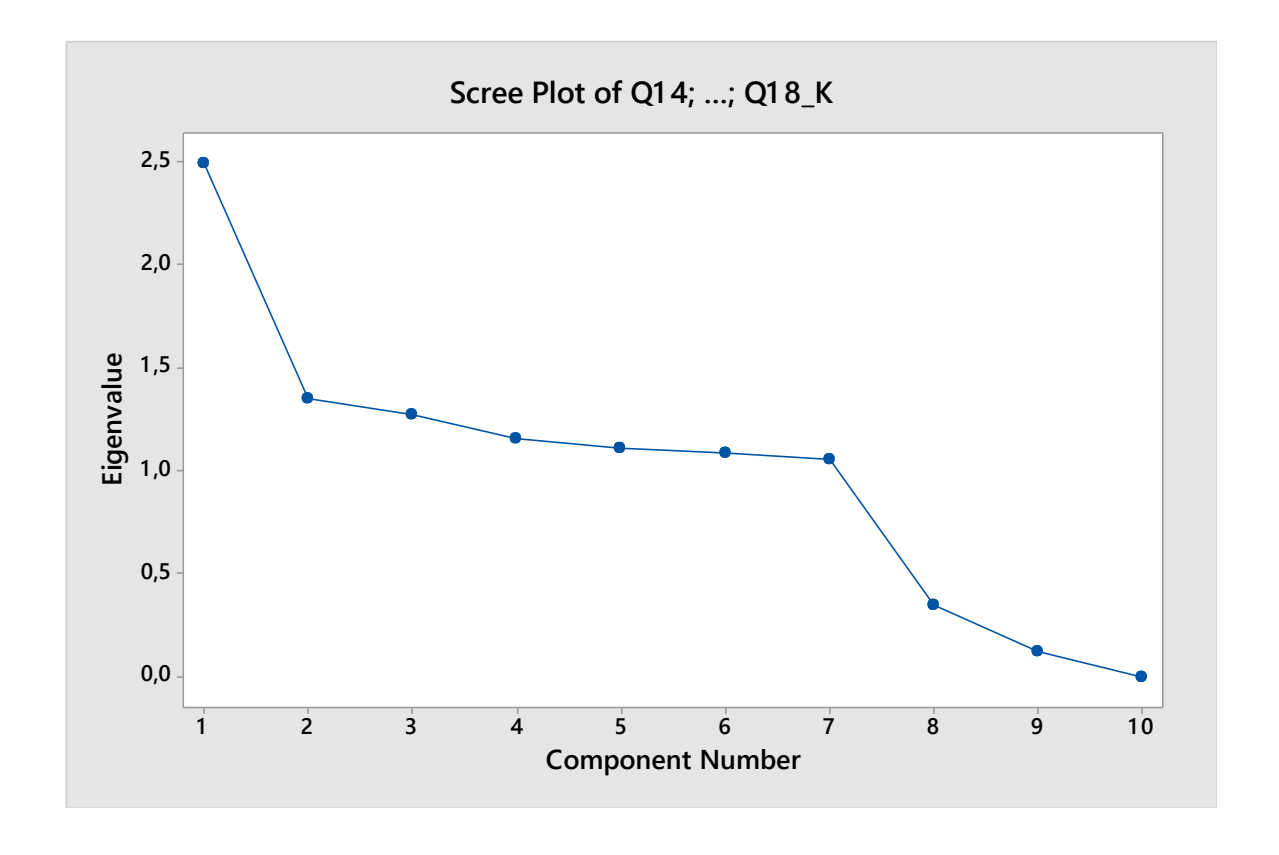


Figura 14 - Gráfico do número da componente principal e seus respectivos autovalores

4.2.1.3. Nível de Percepção do Ruído no Passado

A componente "Nível de Percepção do Ruído no Passado" foi criada a fim de avaliar a percepção dos entrevistados em relação ao nível de ruído onde residiam anteriormente. As variáveis originais utilizadas nesta transformação foram as questões 21, 22, 23 e 24, e respectivas subquestões, apresentadas na Tab. 15, e cujos valores são apresentados na Tab. 16. As mesmas avaliam os níveis dos ruídos percebidos pelos usuários onde residiam anteriormente em relação aos vizinhos e outros fatores, e em que medida provocavam incômodo e se "acostumaram" com o ruído.

Tabela 15 - Questões originais para a componente Nível de Percepção do Ruído no Passado

Questão original	Enunciado da questão	Perguntas cognitivas			
Q21A	Onde você morou antes de se mudar para este apartamento? a) Casa na cidade b) Casa em condomínio fechado c) Apartamento				
Q21B	Caso você tenha morado em apartamento, este era de cobertura? 1. Sim 2. Não				
Q22	Você percebia algum ruído (barulho) onde você morava antes? Qual?				
Q23	Em que medida este ruído (barulho) lhe incomodava? Na escala de 0 a 10, 0 significa nada incomodado e 10 significa extremamente incomodado. 0 1 2 3 4 5 6 7 8 9	O que você levou em consideração para classificá-lo dessa forma?			
Q24	Você se "acostumou" com este ruído (barulho) onde você morava antes? 1. Me "acostumei" e não me incomodava; 2. Me "acostumei", mas, às vezes, me incomodava; 3. Não me "acostumei", mas convivia bem com o ruído (barulho); 4. Não me "acostumei" e o ruído (barulho) me incomodava muito.	O que você entende por "acostumar"?			

Tabela 16 - Composição da nova variável Nível de Percepção do Ruído no Passado - resultados em relação às respostas das variáveis originais

			Va	riáveis originais	5	
Entrevistado	Nova variável	Q21	Q22_1 (Ruído Impacto)	Q22_2 (Ruído Aéreo)	Q23	Q24
1	0,73	3	0	1	10	2
2	1,05	3	1	1	7	2
3	-1,79	2	0	0	6,67	2,1
4	-1,79	2	0	0	6,67	2,1
5	1,14	3	1	1	2	3
6	-0,71	2	0	1	8	2
7	-0,84	2	0	1	7	2
8	0,82	3	0	1	5	3
9	-0,37	2	0	1	5	3
10	1,20	3	0	1	8	3
11	1,20	3	0	1	8	3
12	-1,79	2	0	0	6,67	2,1
13	-1,79	2	0	0	6,67	2,1
14	1,20	3	0	1	8	3
15	-1,35	2	0	1	3	2
16	2,17	3	0	1	10	4
17	2,17	3	0	1	10	4
18	1,90	3	1	1	8	3
19	-2,45	2	0	1	0	1
20	-0,71	2	0	1	8	2

Notas: O valor de 6,67 e 2,1 nas questões Q23 e Q24 respectivamente representam a média das respostas nestas questões e foram adotados para aqueles entrevistados que responderam <u>Não</u> na Q22. Esta foi dividida em duas variáveis, conforme a presença de Ruído de Impacto e/ou Aéreo nas respostas, sendo Não=0 e Sim=1.

Foi possível concluir que a primeira componente seria o nível de percepção antes de se mudarem para os apartamentos ensaiados (Figs. 15 e 16).

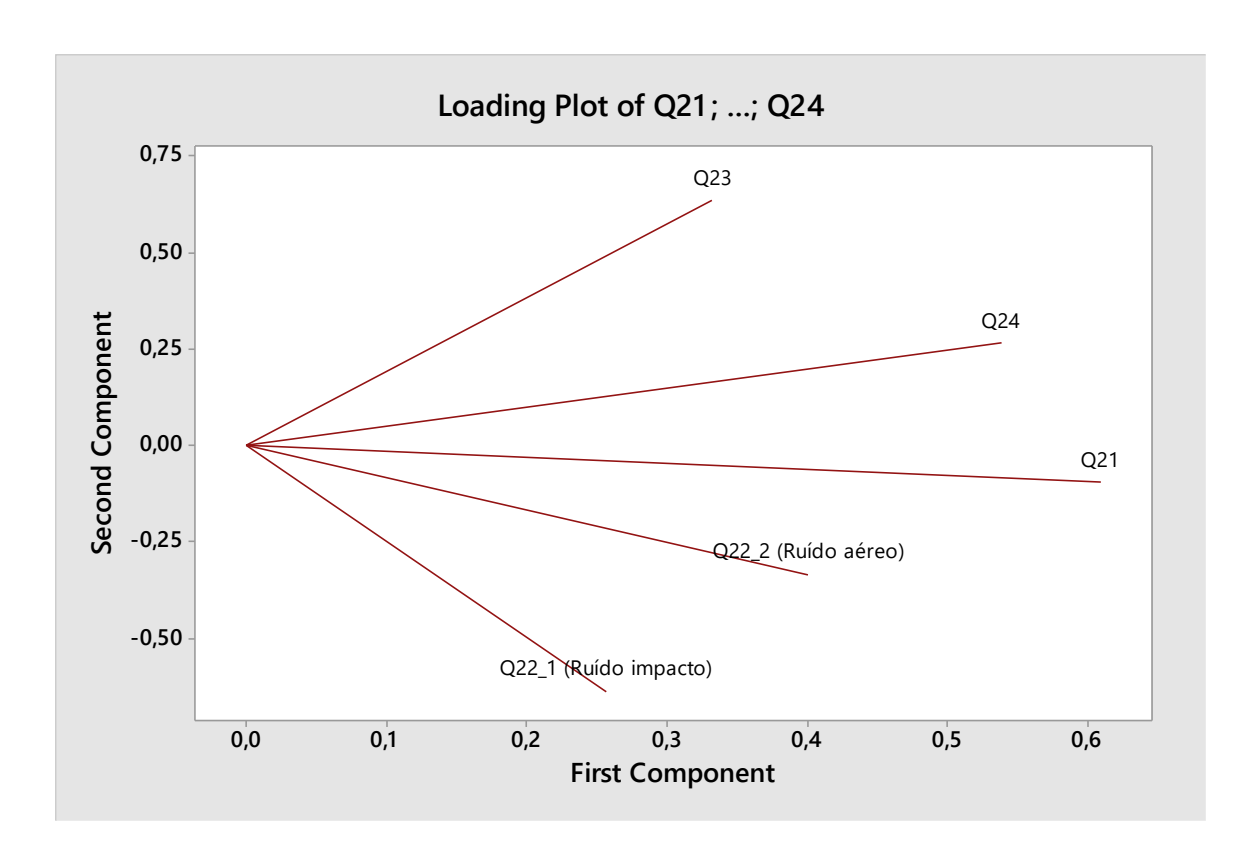


Figura 15 - Gráfico dos pesos das variáveis nas duas primeiras componentes, sendo a primeira a nova variável Nível de Percepção do Ruído no Passado

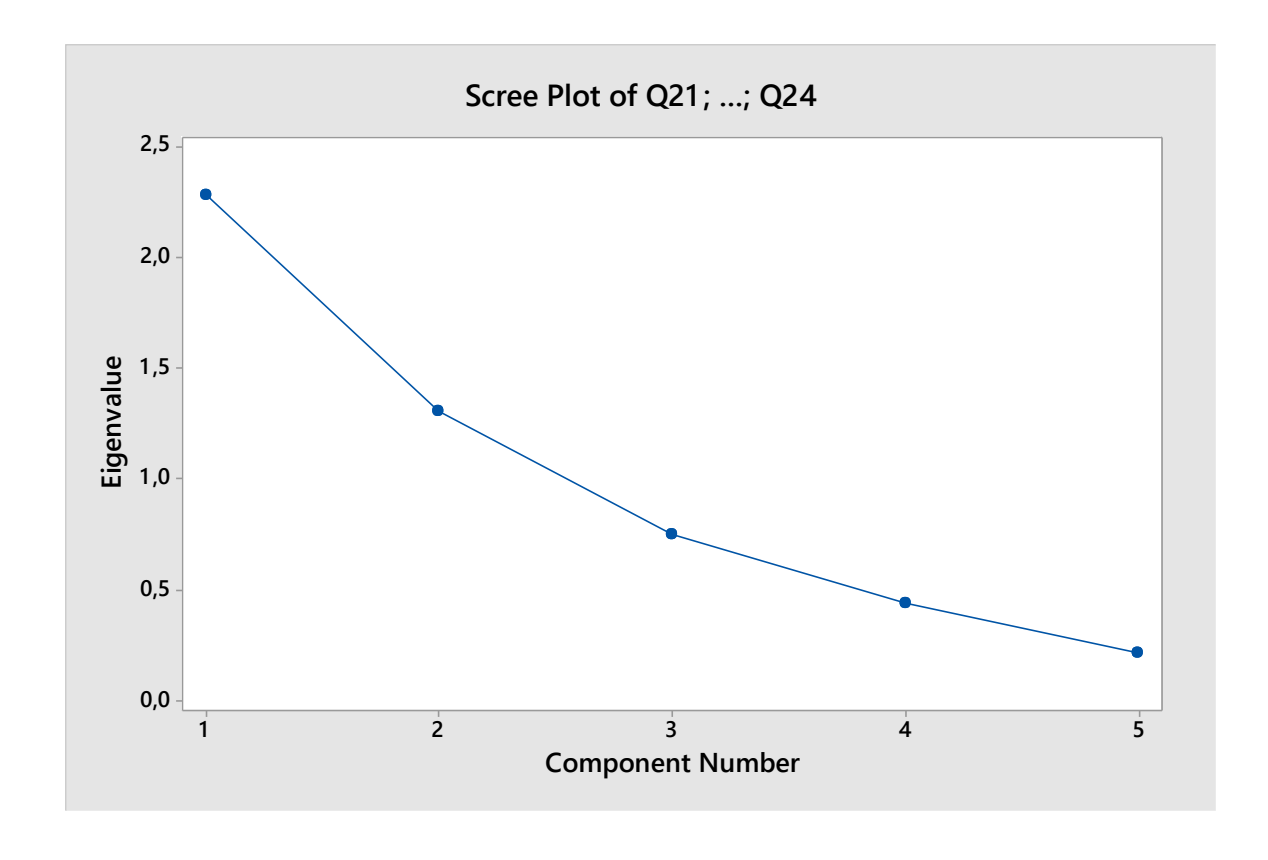


Figura 16 - Gráfico do número da componente principal e seus respectivos autovalores

4.2.1.4. Tipologia da Laje

Esta componente, denominada "Tipologia da Laje", foi obtida através das variáveis originais "classificação da laje" que descreve o sistema construtivo adotado em cada amostra, "espessura da laje" e "espessura do contrapiso (ou regularização) mais o piso", dados estes obtidos através do levantamento arquitetônico *in loco* e/ou informações dos proprietários, cujos valores utilizados na componente são apresentados na Tab. 17 e já descritos anteriormente. Como já mencionado, algumas tipologias de laje não puderam ser identificadas, sendo elas entre as de maior espessura levantada.

Tabela 17 - Composição da nova variável Tipologia da Laje - resultados em relação às variáveis originais

			Variáveis	originais	
Entrevistado	Nova variável	Tipologia laje nº1	Tipologia laje nº2	Espessura laje	Espessura contrapiso + piso
1	2,30	1	1	8,5	9,5
2	2,30	1	1	8,5	9,5
3	1,10	1	0	10,0	8,7
4	1,10	1	0	10,0	8,7
5	0,87	1	0	10,0	7,5
6	-0,69	0	0	15,0	6,5
7	-0,69	0	0	15,0	6,5
8	0,27	1	0	10,0	4,5
9	-1,70	0	0	28,0	5,0
10	-0,12	1	0	8,0	2,0
11	0,27	1	0	10,0	4,5
12	-0,77	0	0	20,0	7,5
13	-0,77	0	0	20,0	7,5
14	0,51	0	1	5,0	5,0
15	0,42	0	1	8,5	5,5
16	-2,44	0	0	45,0	6,0
17	-2,44	0	0	45,0	6,0
18	-1,27	0	0	20,0	5,0
19	0,87	1	0	10,0	7,5
20	0,87	1	0	10,0	7,5

Notas: A variável "Tipologia da laje" foi dividida em duas, sendo que seus valores juntos representam: 1 e 1=laje pré-maciça+laje pré-fabricada; 0 e 1=laje pré-fabricada; 1 e 0= laje maciça; 0 e 0=laje desconhecida.

A primeira componente representa as tipologias de laje maciça e pré-fabricada, cujas espessuras são menores, e a segunda contrapõe a laje pré-fabricada à laje maciça (Figs. 17 e 18).

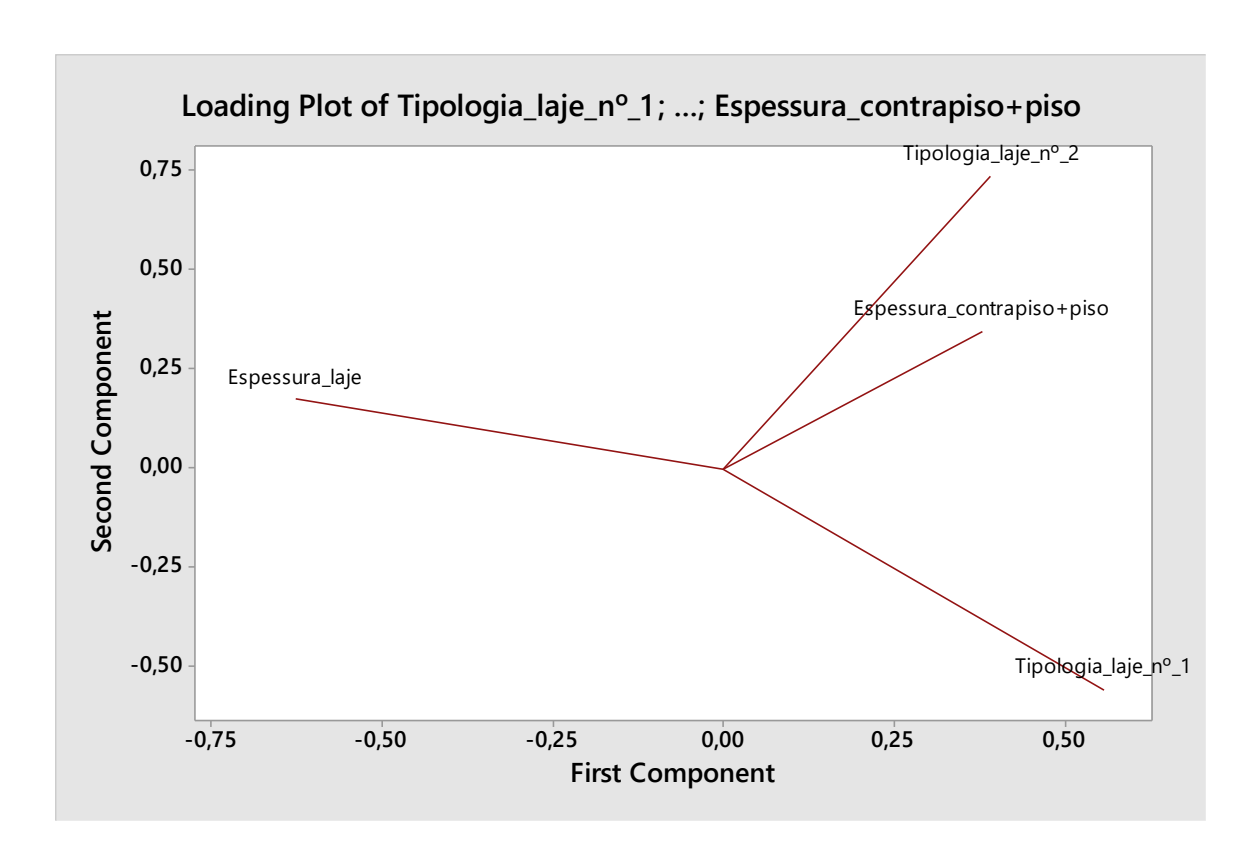


Figura 17 - Gráfico dos pesos das variáveis nas duas primeiras componentes, sendo a primeira a nova variável Tipologia da Laje

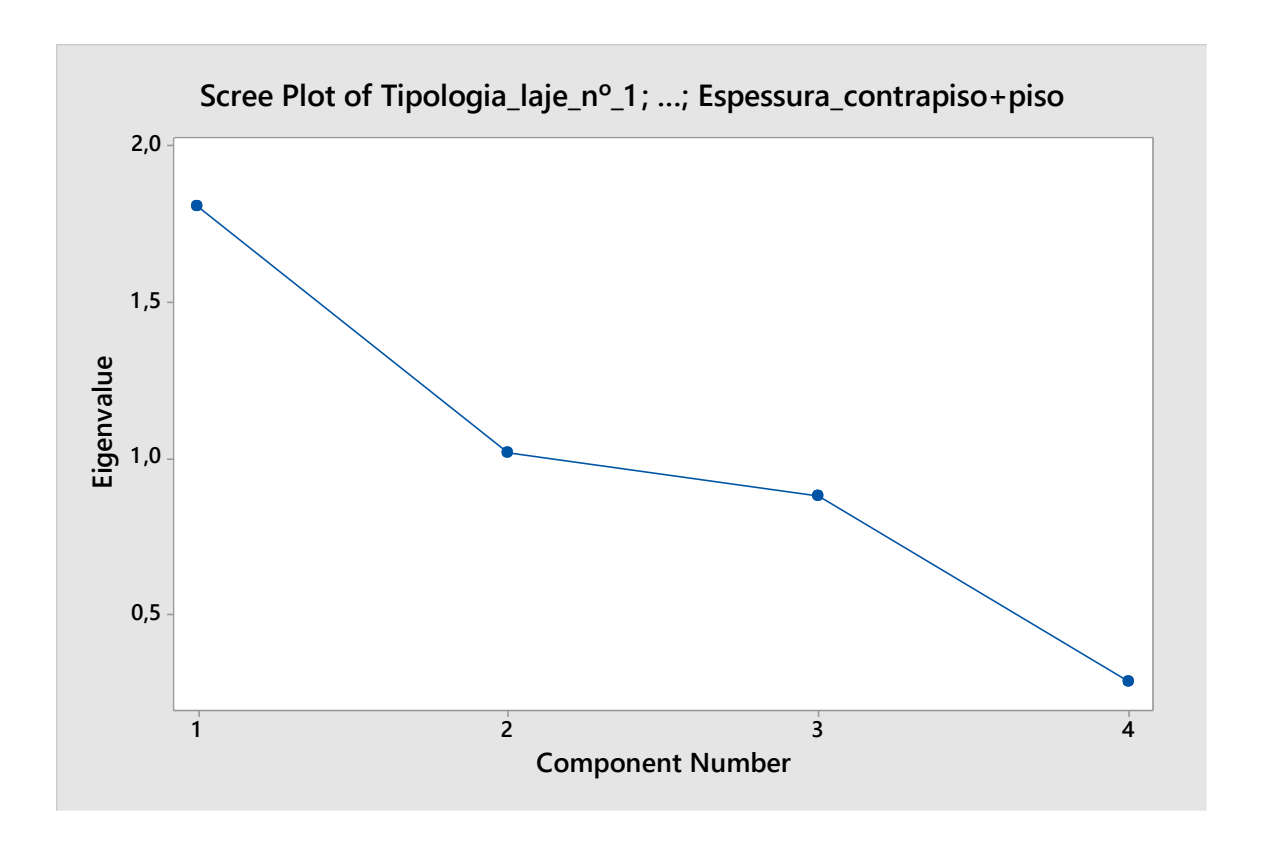


Figura 18 - Gráfico do número da componente principal e seus respectivos autovalores

4.2.1.5. Relação com o Lugar

Esta nova variável propõe avaliar a relação de cada entrevistado com o lugar em que ela viveu anteriormente e vive hoje, como a cidade de Belo Horizonte, seu bairro, e até seu edifício. Foram consideradas as variáveis originais para esta PCA as questões 1, 2, 7, 9, 10, 11 e 13, e suas respectivas subquestões apresentadas na Tab. 18, que descrevem há quanto tempo os usuários residem em Belo Horizonte, no seu bairro e no seu edifício, as razões que os levaram a se mudarem para os novos bairros e edifícios, bem como sua relação com a cidade, seu bairro e seu edifício. A composição da nova variável está demonstrada na Tab. 19.

Tabela 18 - Questões originais para a componente Relação com o Lugar

Questão original	Enunciado da questão	Perguntas cognitivas
Q1	Gostaria de saber há quanto tempo você reside (mora) em Belo Horizonte?	
Q2	Gostaria de saber há quanto tempo você reside (mora) no seu bairro?	
Q7	Agora vamos falar sobre o seu prédio. Há quanto tempo você reside (mora) no seu prédio?	
	Vou ler algumas opções para saber qual a sua opinião em relação à Belo Horizonte. Na escala de 0 a 10, 0 significa discordo totalmente, 10 significa concordo totalmente.	
Q9	Q9.1. Identifico-me com esta cidade. Q9.2. Se alguém elogiar esta cidade, eu sentiria como um elogio pessoal. Q9.3. Se alguém criticar esta cidade, eu sentiria como um insulto pessoal.	O que você pensou em responder essa pergunta?
	Q9.4. Esta cidade faz parte da minha história 0 1 2 3 4 5 6 7 8 9 10	
Q10 Q11	Agora, vou ler algumas opções para saber qual a sua opinião em relação ao seu bairro. Q10.1. Identifico-me com este bairro. Q10.2. Se alguém elogiar este bairro, eu sentiria como um elogio pessoal. Q10.3. Se alguém criticar este bairro, eu sentiria como um insulto pessoal. Q10.4. Este bairro faz parte da minha história Q10.4. Este bairro faz parte da minha história Com qual destas afirmativas você concorda sobre o seu bairro? 1. Você se sente em casa nesse bairro, 2. Este bairro é apenas um lugar para morar	O que você pensou em responder essa pergunta?
	ou 3. Se pudesse e mudaria deste bairro?	
Q13	Agora, gostaria de saber qual a sua opinião em relação ao seu prédio. Q13.1. Identifico-me com este prédio.	O que você pensou em responder essa pergunta?
	0 1 2 3 4 5 6 7 8 9 10	

Tabela 19 - Composição da nova variável Relação com o Lugar - resultados em relação às respostas das variáveis originais

	Neve					1	Variáv	eis ori	ginais				
Entrevistado	Nova variável	Q1	Q2	Q9 .1	Q9 .2	Q9.	Q9	Q10	Q10	Q10	Q10	Q11	Q13
4	0.00	40	0.5			3	.4	1	.2	.3	.4		
1	2,23	40	35	9	8	10	9	7	9	9	8	1	8
2	2,33	40	35	10	10	8	10	8	8	5	10	1	9
3	-2,18	61	28	8	2	2	6	6	2	2	4	2	4
4	3,06	65	28	10	10	10	10	10	9	5	10	1	10
5	-1,60	36	5	2	2	2	10	10	5	5	10	1	2
6	2,05	36	11	10	10	6	10	10	10	8	9	1	10
7	0,92	39	14	10	9	5	10	10	9	5	6	1	7
8	-1,23	58	20	6	3	6	10	3	5	5	7	3	7
9	-0,47	31	7	10	3	3	10	10	3	3	10	1	8
10	-1,06	35	3	8	4	4	10	7	4	4	5	1	9
11	1,00	42	40	8	8	2	6	10	8	3	8	1	9
12	3,61	62	27	10	10	10	10	10	10	10	10	1	10
13	-0,49	32	27	5	5	2	10	8	5	5	10	1	3
14	-1,42	29	26	10	10	0	7	4	7	0	8	3	6
15	-7,26	2	2	6	0	0	0	0	0	0	0	3	0
16	0,35	45	14	10	10	0	10	7	7	0	10	1	10
17	0,82	70	14	6	7	3	10	9	5	5	10	1	10
18	0,25	16	10	7	9	3	5	10	10	6	10	1	9
19	1,39	64	10	10	10	5	10	10	8	5	5	1	10
20	-2,31	35	10	7	8	1	10	7	1	1	4	1	2

Pode-se observar que a primeira componente descreve uma relação positiva dos entrevistados com o lugar em que vivem, enquanto a segunda indica um contraste: aqueles que moram há mais tempo no seu bairro, não apresentam uma boa relação com o mesmo. (Figs. 19 e 20).

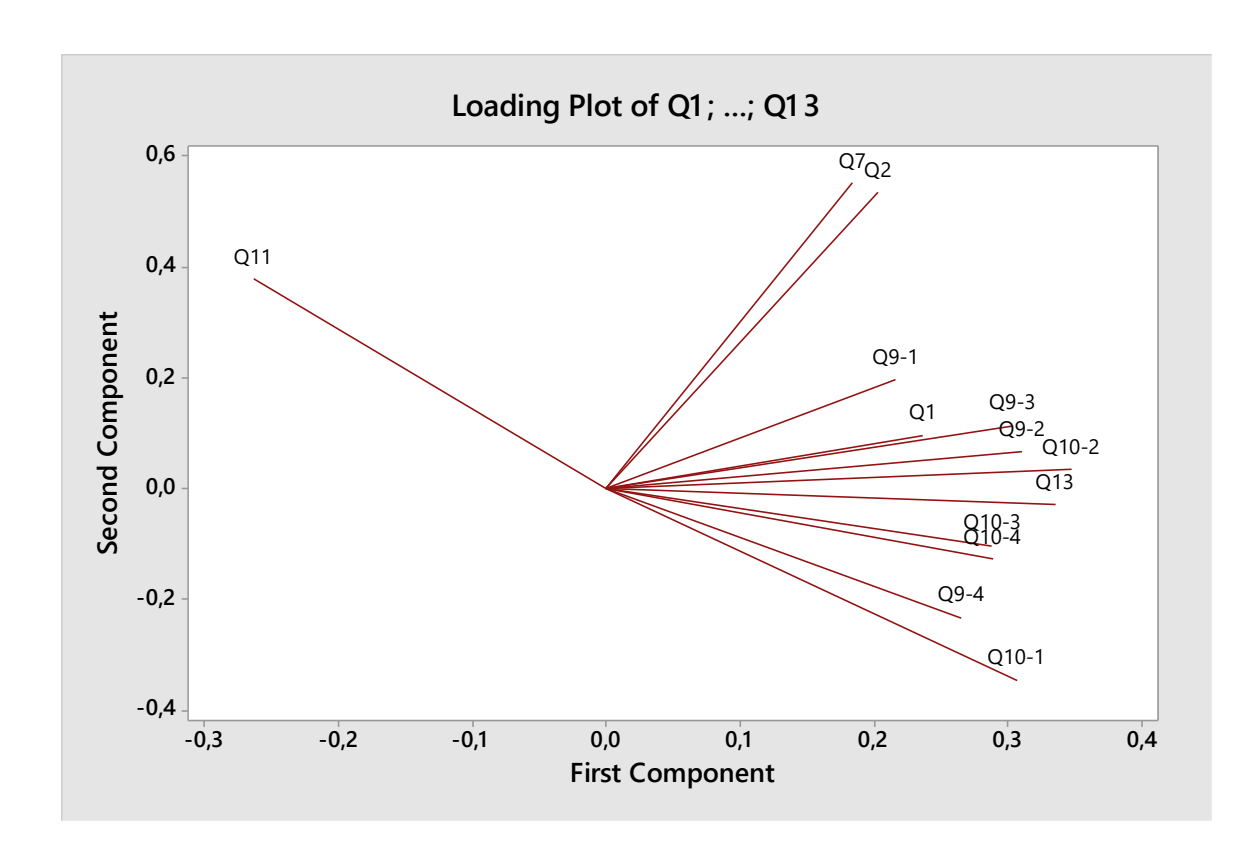


Figura 19 - Gráfico dos pesos das variáveis nas duas primeiras componentes, sendo a primeira a nova variável Relação com o Lugar

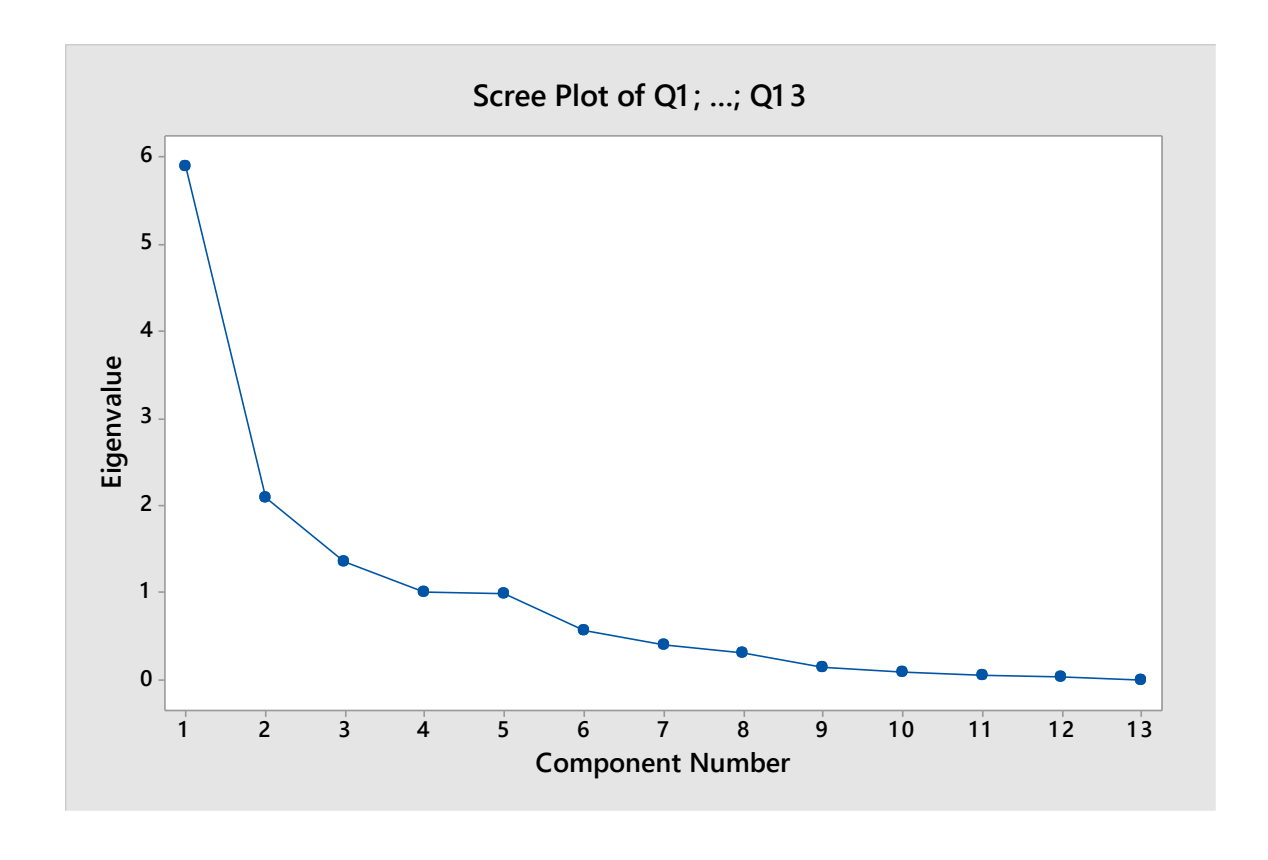


Figura 20 - Gráfico do número da componente principal e seus respectivos autovalores

4.2.1.6. Baixa Qualidade Ambiental

A componente "Baixa Qualidade Ambiental" propõe identificar como os usuários das edificações classificam a qualidade de vida na cidade e no bairro, quais tipos de ruído os incomodam em seu bairro e em que medida o classificam como ruidoso, através das questões 3, 4, 6 e 12, e suas respectivas subquestões, apresentadas na Tab. 20, cujos valores utilizados na componente são apresentados na Tab. 21.

Tabela 20 - Questões originais para a componente Baixa Qualidade Ambiental

Questão original	Enunciado da questão	Perguntas cognitivas
Q3	Gostaria de falar sobre a qualidade de vida / vida em Belo Horizonte. De maneira geral, você acha que a qualidade de vida / vida aqui é boa ou ruim? 1. Muito boa 2. Boa 3. Regular (voluntariamente) 4. Ruim 5. Muito ruim	O que você levou em consideração para classificá-lo dessa forma?
Q4	E no seu barro? De maneira geral, você acha que a qualidade de vida / vida aqui é boa ou ruim? 1. Muito boa 2. Boa 3. Regular (voluntariamente) 4. Ruim 5. Muito ruim	O que você levou em consideração para classificá-lo dessa forma?
Q6	Ainda em relação ao seu bairro, vou apresentar alguns tipos de ruído (barulho) que podem lhe incomodar. Gostaria de saber se cada um destes ruídos (barulhos) sempre lhe incomoda, às vezes, raramente ou nunca lhe incomoda? a) Trânsito b) Obras c) Restaurantes / Bares d) Serviços (Padarias / Lava-jatos / etc.) e) Shopping f) Igreja g) Clube h) Escola i) Atividade esportiva j) Outro não listado	
Q12	De maneira geral, em que medida você considera o seu bairro ruidoso (barulhento)? Na escala de 0 a 10, 0 significa nada ruidoso (barulhento) e 10 significa extremamente ruidoso (barulhento). 1	O que você considera como seu bairro? O que você levou em consideração para classificá-lo dessa forma?

Tabela 21 - Composição da nova variável Baixa Qualidade Ambiental - resultados em relação às respostas das variáveis originais

Entre	Nova		Variáveis originais												
vista do	variáv el	Q3	Q3- cog nº	Q4	Q4- cog nº	Q6 A	Q6 B	Q6 C	Q6 D	Q6 E	Q6 F	Q6 G	Q6 H	Q6 I	Q12
1	0,78	4	0	2	0	1	2	2	4	4	4	4	4	4	6
2	-0,30	2	0	2	0	2	2	4	4	4	4	4	4	4	5
3	0,96	2	0	2	1	2	4	4	3	3	3	3	4	4	6
4	1,01	2	0	2	0	1	1	1	3	4	4	4	4	4	7
5	-0,55	3	0	1	0	2	1	4	4	4	4	4	3	3	6
6	0,47	2	0	2	0	2	1	3	3	4	1	4	2	4	8
7	-0,23	2	0	2	0	3	2	2	4	4	2	4	4	4	8
8	7,24	4	1	4	1	1	1	4	1	4	4	4	4	4	10
9	0,39	2	0	2	0	2	3	2	3	4	3	2	4	2	8
10	-0,21	2	0	2	0	2	2	3	3	2	4	4	3	2	3
11	-2,05	1	0	1	0	3	2	4	4	4	4	4	2	3	4
12	-1,10	1	0	1	0	2	2	2	4	4	4	4	4	4	6
13	-0,61	4	0	2	0	4	3	2	4	4	4	4	4	3	4
14	-0,02	1	0	2	0	1	3	4	4	4	4	4	4	4	8
15	-1,09	2	0	2	0	4	1	2	4	4	1	2	2	3	6
16	-0,14	2	0	1	1	2	1	4	4	4	4	4	3	4	5
17	-1,68	1	0	1	0	2	1	4	4	4	4	4	4	4	1
18	0,58	2	0	2	0	2	2	3	3	4	4	4	4	2	8
19	-2,82	1	0	1	0	4	4	4	4	4	4	4	4	4	0
20	-0,63	2	0	2	0	2	3	4	4	4	2	4	4	4	4

A primeira componente representa a baixa qualidade de vida em BH e no bairro, associado principalmente às seguintes fontes de ruído: trânsito, obras e serviços. (Figs. 21 e 22). Por este motivo, optou-se por denominar esta componente como "Baixa Qualidade Ambiental", em que seu valor cresce à medida que o ruído citado é presente. A segunda componente representa a baixa qualidade de vida em BH e no bairro, associado principalmente às seguintes fontes de ruído: restaurantes e bares, clubes, igrejas, atividade esportiva e escolas.

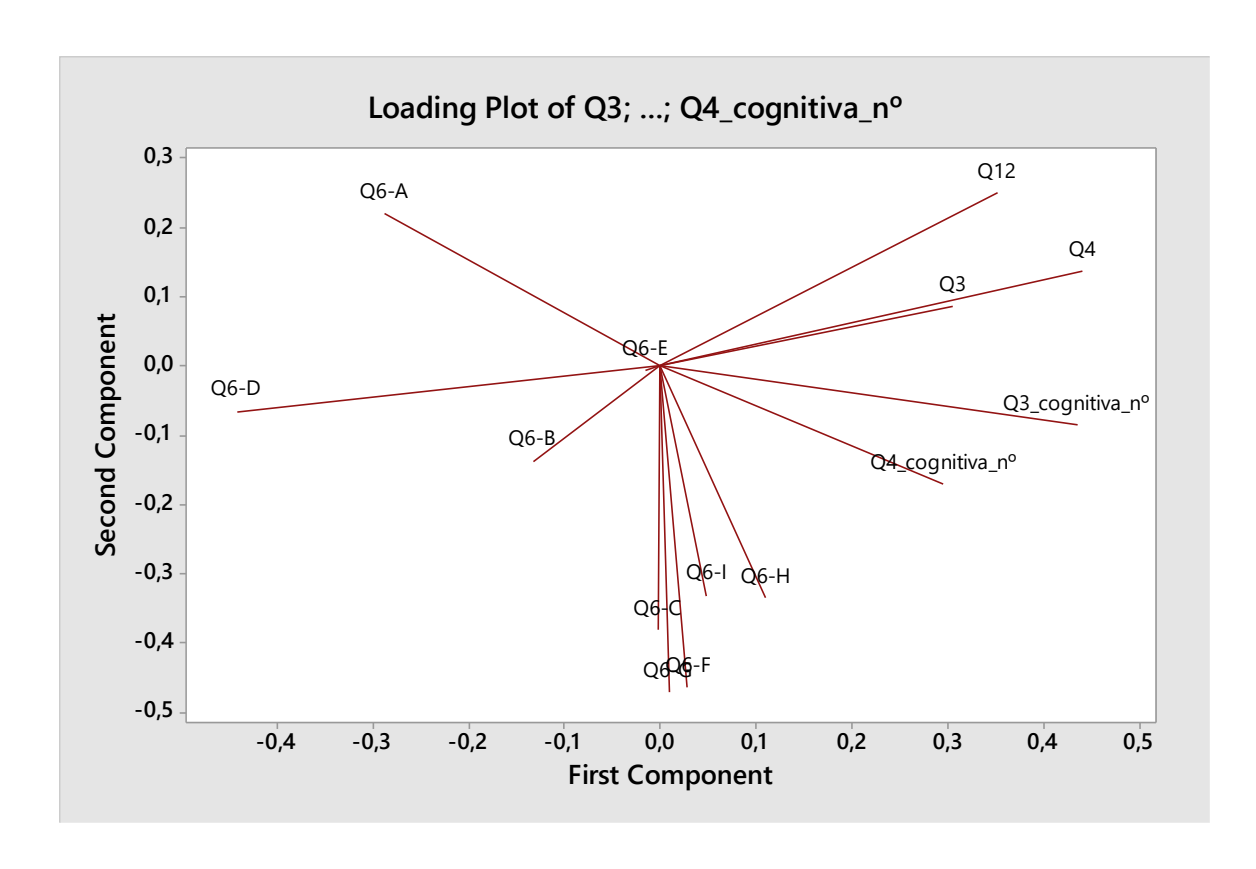


Figura 21 - Gráfico dos pesos das variáveis nas duas primeiras componentes, sendo a primeira a nova variável Baixa Qualidade Ambiental

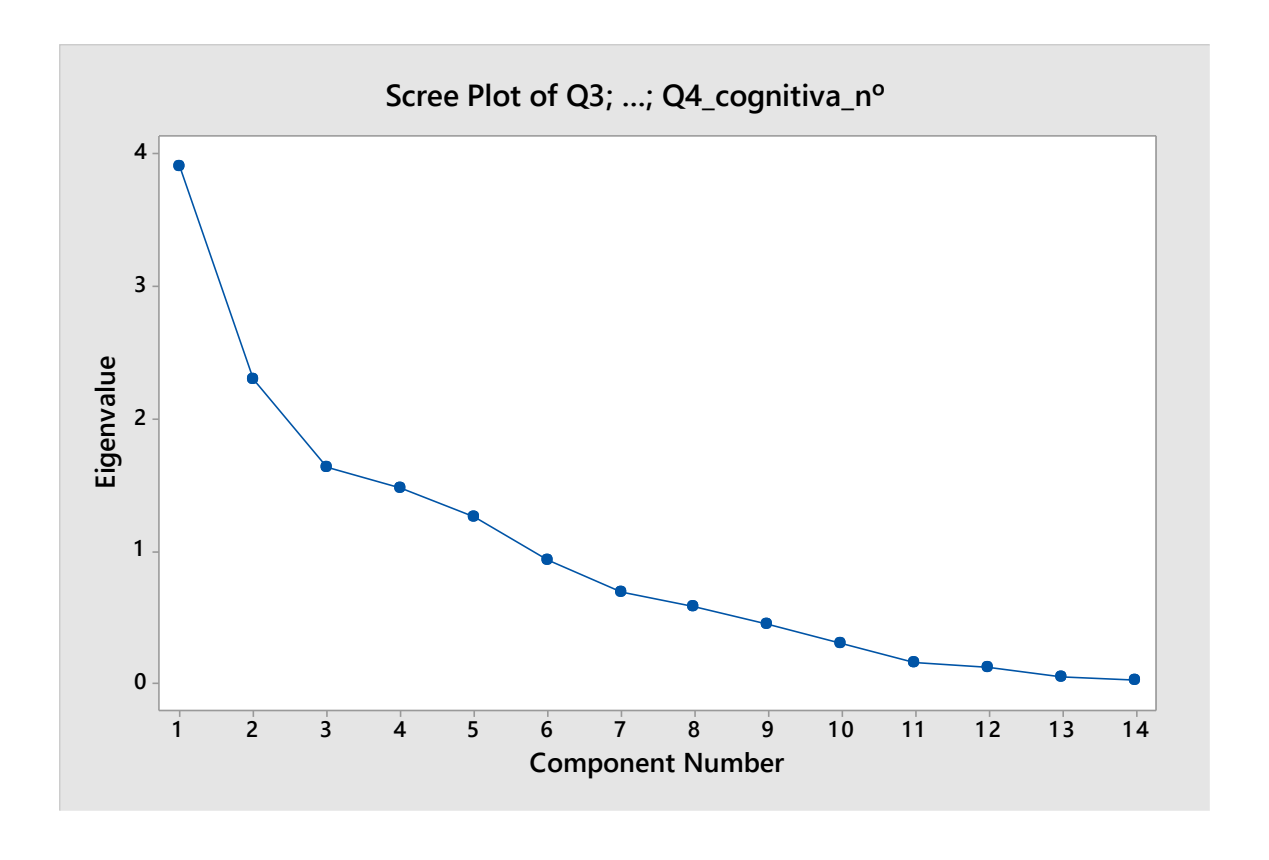


Figura 22 - Gráfico do número da componente principal e seus respectivos autovalores

4.2.1.7. Qualidade do Apartamento

As variáveis originais têm o objetivo de medir como os usuários classificam seus apartamentos de um modo geral, bem como seus pisos e paredes em relação ao isolamento de ruído. Trata-se das questões 19 e 20, e subquestões, apresentadas na Tab. 22, cujos valores são apresentados na Tab. 23, e transformadas na componente principal "Qualidade do Apartamento" que demonstra que, através da interpretação da primeira componente, quanto mais ruído de impacto é percebido pelos usuários, menos qualidade têm seus apartamentos. A segunda componente também representa a presença do ruído de impacto como definidor da qualidade dos apartamentos em relação ao isolamento (Figs. 23 e 24).

Tabela 22 - Questões originais para a componente Qualidade do Apartamento

Questão original				Enun	ciado	da qı	ıestão	١			Perguntas cognitivas				
Q19	apart	amen	e medi to em la de 0	relaçã	o ao is	O que você levou em consideração									
											para classificá-lo dessa forma?				
	0	1	2	3	4	5 10	6	7	8	9					
000		•	nedida seu a		O que você levou em consideração										
Q20					,						para classificá-lo dessa forma?				
	0	1	2	3	4	5	6	7	8	9	•				
					1	10									

Tabela 23 - Composição da nova variável Qualidade do Apartamento - resultados em relação às respostas das variáveis originais

Entroviotodo	Nova variável		Variáveis originais	
Entrevistado	Nova variavei	Q19	Q19-cog_nº (Ruído Impacto)	Q20
1	1,02	9	0	8
2	-0,33	3	0	7
3	-1,56	2	0	2
4	0,83	8	0	8
5	0,83	8	0	8
6	0,85	7	0	9
7	-0,17	6	0	5
8	0,64	7	0	8
9	0,83	8	0	8
10	-1,16	3	0	3
11	0,79	10	0	6
12	0,81	9	0	7
13	1,23	9	0	9
14	-3,74	0	1	0
15	-3,74	0	1	0
16	0,39	9	0	5
17	1,62	10	0	10
18	-0,56	8	1	8
19	0,83	8	0	8
20	0,60	9	0	6

Notas: O valor da variável Q19-cognitiva representa a presença de Ruído de Impacto nas respostas, sendo Não=0 e Sim=1.

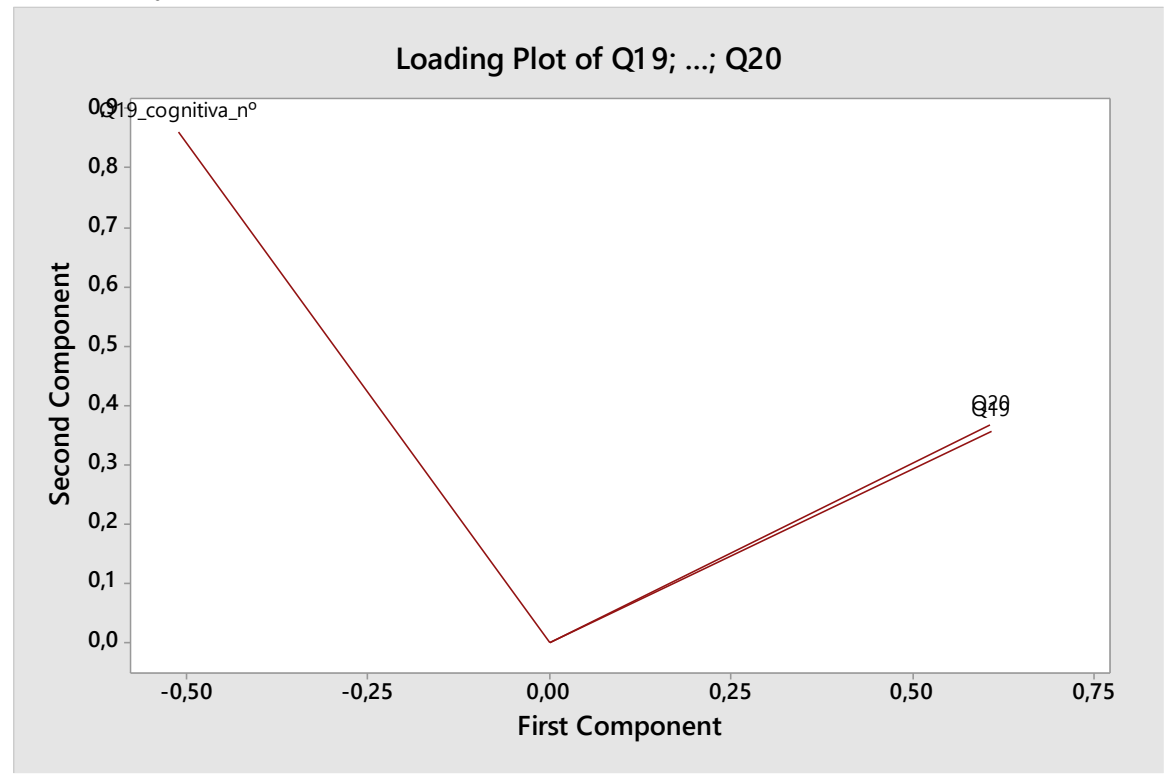


Figura 23 - Gráfico dos pesos das variáveis nas duas primeiras componentes, sendo a primeira a nova variável Qualidade do Apartamento

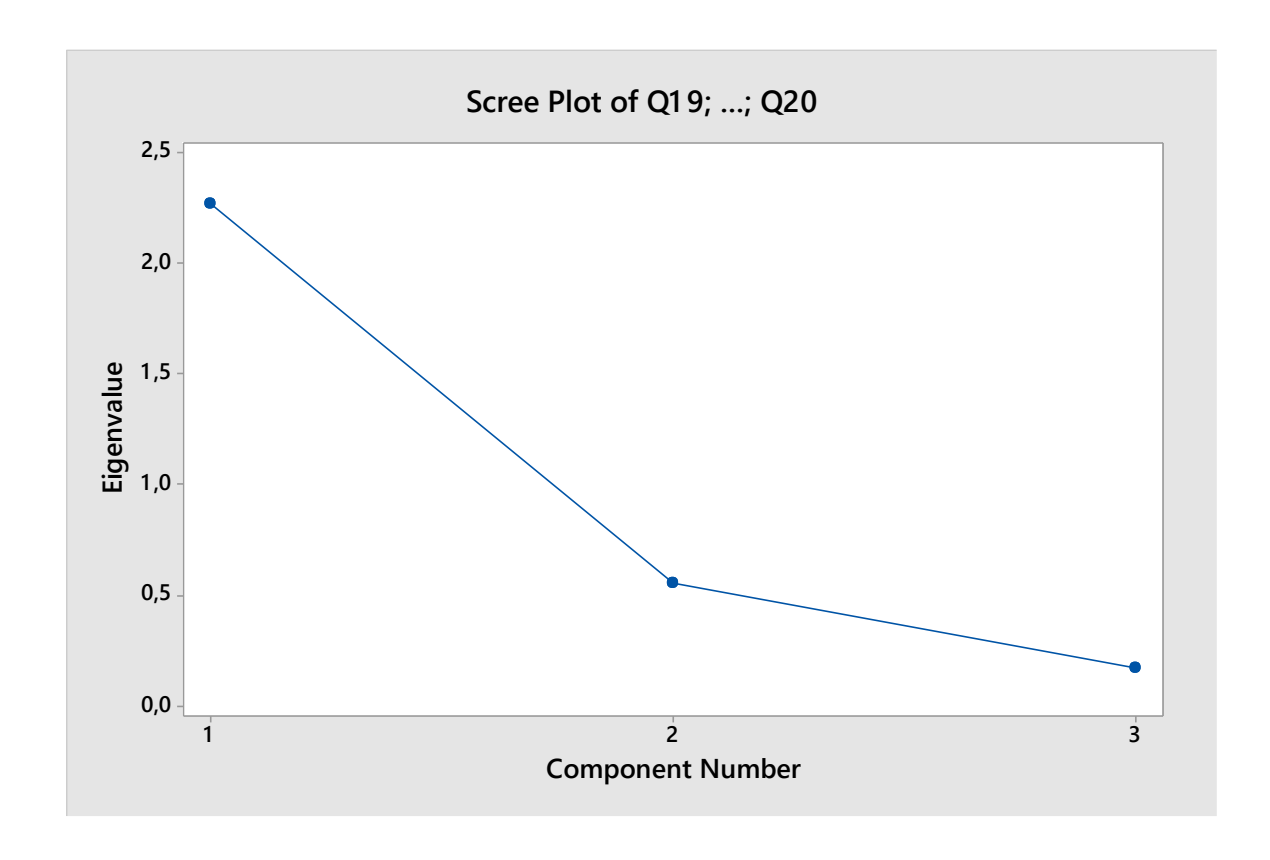


Figura 24 - Gráfico do número da componente principal e seus respectivos autovalores

4.3. Relação entre variáveis

Além das variáveis obtidas a partir da técnica PCA descritas anteriormente, outras foram criadas para colaborar na análise dos dados.

Foram obtidos os preços de venda dos apartamentos ensaiados a partir da entrevista com os moradores e confirmados por uma pesquisa no mercado imobiliário dos valores de venda de apartamentos similares na mesma região. Como resultado, os preços apresentaram grande variabilidade (de R\$150.00,00 a R\$5.000.000,00), que não é acompanhada por outras variáveis. Por este motivo, optou-se pela adoção da escala logarítmica como redutora da variância e criada então a nova variável "Log_Preço de Venda do Apartamento".

Outro ajuste foi proposto após a análise do gráfico apresentado na Fig. 10, item 4.2.1.1, onde foram identificados dois grupos de entrevistados e bem dissociados um do outro (representados pela forma azul e laranja). Devido à esta clara separação, os valores de insatisfação tendem a apresentar uma relação negativa com o $L'_{nT,w}$ e geram uma falsa interpretação de que os "pouco insatisfeitos" moram em apartamentos onde o $L'_{nT,w}$ é maior, o que é incoerente.

Com relação a estes dois grupos de entrevistados apresentados na Fig. 10, foram, então, identificadas as características dos entrevistados do grupo destacado pela forma azul. Dos cinco que compõem este grupo, dois têm mais 80 anos de idade, e os outros três moram em apartamentos com valor de venda acima de R\$ 2.200.000,00. Dessa forma, foi criada uma nova variável "Idade>80 + Preço>2200" que identifica estes entrevistados.

Na Tab. 24, são apresentadas as variáveis adotadas no modelo de regressão.

Tabela 24 - Variáveis adotadas no modelo de regressão linear múltipla

Variável dependente ou resposta Y Variáveis independentes ou explicativas x_k Nível de Pressão Sonora Normalizado Ponderado de Impacto $L'_{nT,w}$ medido Nível de Ruído Ambiente medido Idade do edifício ensaiado Tipologia da laje como tipo de sistema construtivo do edifício ensaiado Log_Preço de venda do apartamento Idade do entrevistado Nível de Insatisfação com o Ruído de Impacto de Piso nas edificações ensaiadas Sexo do entrevistado Nível de Percepção do Ruído no Presente Nível de Percepção do Ruído no Passado Relação com o Lugar Baixa Qualidade Ambiental Qualidade do Apartamento

A fim de descrever a relação entre a variável resposta e cada uma das explicativas, bem como entre algumas explicativas, as mesmas foram representadas em diagramas de dispersão nas Figs. 25 a 26, seus respectivos valores na Tab. 25 e feita uma breve interpretação.

Idade>80 + Preço>2200

Tabela 25 - Dados das variáveis explicativas e a variável resposta Nível de Insatisfação de Ruído de Impacto de Piso

Entrevistado	$L'_{nT,w}$	Nível de Ruído Ambiente	ldade Edif.	Tipol. Laje	Esp. da Laje	Log Preço	ldade Ent.	Sexo Ent. nº	Percep. Presente	Percep. Passado	Relação Lugar	Baixa Q. Amb.	Qualid. Apto.	Nível de Ins.
1	73	38	43	2,30	8,5	5,70	85	1 (F)	-0,53	0,73	2,23	0,78	1,02	-3,14
2	73	38	43	2,30	8,5	5,70	54	0 (M)	-0,56	1,05	2,33	-0,30	-0,33	0,97
3	59	35	38	1,10	10	6,11	61	1 (F)	2,28	-1,79	-2,18	0,96	-1,56	1,55
4	59	35	38	1,10	10	6,11	65	0 (M)	-0,20	-1,79	3,06	1,01	0,83	0,59
5	65	33	11	0,87	10	5,78	36	1 (F)	-0,91	1,14	-1,60	-0,55	0,83	-0,09
6	63	39	15	-0,69	15	5,65	39	1 (F)	-1,17	-0,71	2,05	0,47	0,85	-0,26
7	63	39	15	-0,69	15	5,65	39	0 (M)	0,38	-0,84	0,92	-0,23	-0,17	0,99
8	68	49	20	0,27	10	6,08	58	1 (F)	1,91	0,82	-1,23	7,24	0,64	1,75
9	64	53	25	-1,70	28	6,34	31	1 (F)	-1,76	-0,37	-0,47	0,39	0,83	-2,49
10	70	28	3	-0,12	8	6,11	35	1 (F)	-0,26	1,20	-1,06	-0,21	-1,16	1,38
11	73	31	42	0,27	10	5,95	81	1 (F)	-0,57	1,20	1,00	-2,05	0,79	-2,80
12	56	34	37	-0,77	20	5,85	63	0 (M)	-1,16	-1,79	3,61	-1,10	0,81	0,21
13	56	34	37	-0,77	20	5,85	32	1 (F)	-0,97	-1,79	-0,49	-0,61	1,23	0,45
14	75	28	43	0,51	5	5,18	52	1 (F)	2,78	1,20	-1,42	-0,02	-3,74	0,64
15	81	32	12	0,42	8,5	5,26	27	1 (F)	4,13	-1,35	-7,26	-1,09	-3,74	1,88
16	71	32	15	-2,44	45	6,70	60	1 (F)	-0,63	2,17	0,35	-0,14	0,39	-1,79
17	71	32	15	-2,44	45	6,70	70	0 (M)	-1,34	2,17	0,82	-1,68	1,62	-2,80
18	61	39	12	-1,27	20	5,85	33	1 (F)	-1,16	1,90	0,25	0,58	-0,56	1,03
19	73	30	35	0,87	10	5,74	67	0 (M)	-0,98	-2,45	1,39	-0,98	0,83	0,25
20	73	30	35	0,87	8,5	5,74	35	1 (F)	0,72	-0,71	-2,31	0,72	0,60	1,68

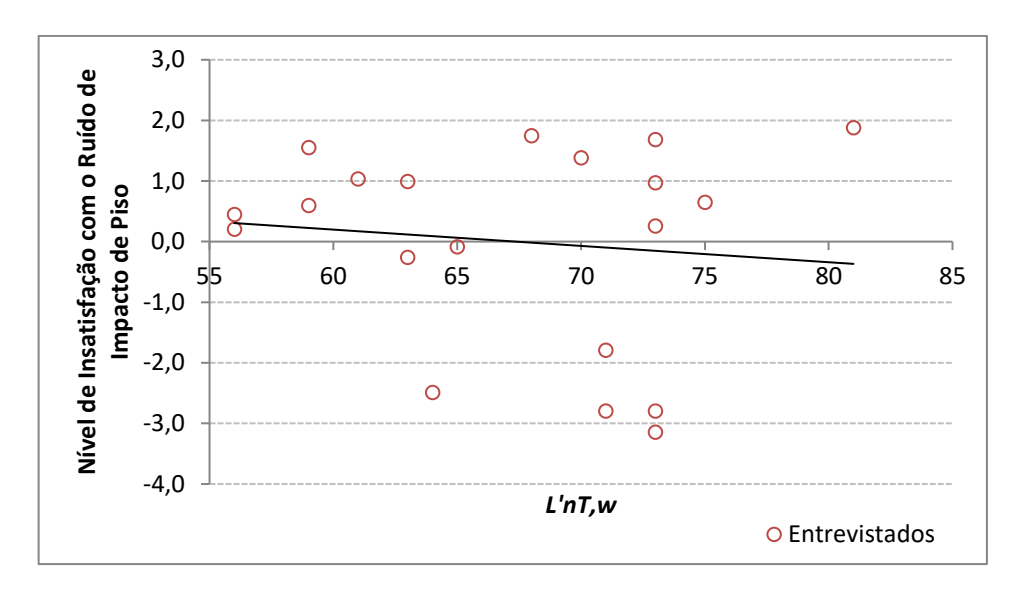


Figura 25 - Diagrama de dispersão entre a variável explicativa $L'_{nT,w}$ e a variável resposta Nível de Insatisfação com o Ruído de Impacto de Piso

Após a análise, pôde-se verificar uma relação negativa espúria devido ao grupo minoritário identificado na Fig. 10 e explicado no item 4.3.

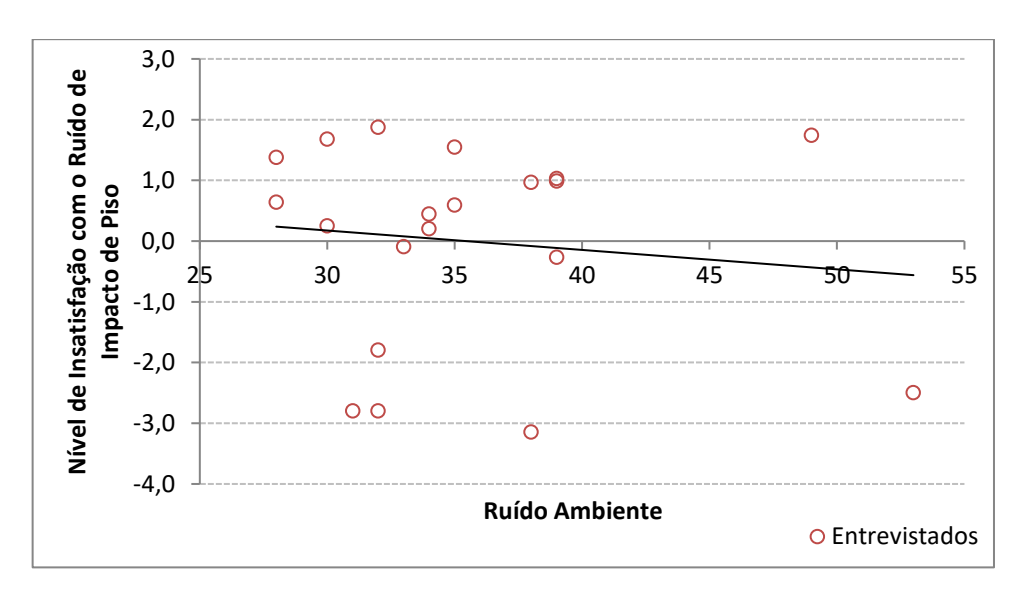


Figura 26 - Diagrama de dispersão entre a variável explicativa Ruído Ambiente e a variável resposta Nível de Insatisfação com o Ruído de Impacto de Piso

A relação entre estas variáveis da Fig. 26 indica que indivíduos que moram em edifícios onde o ruído ambiente é baixo, estão mais insatisfeitos em relação ao nível de ruído de impacto de piso.

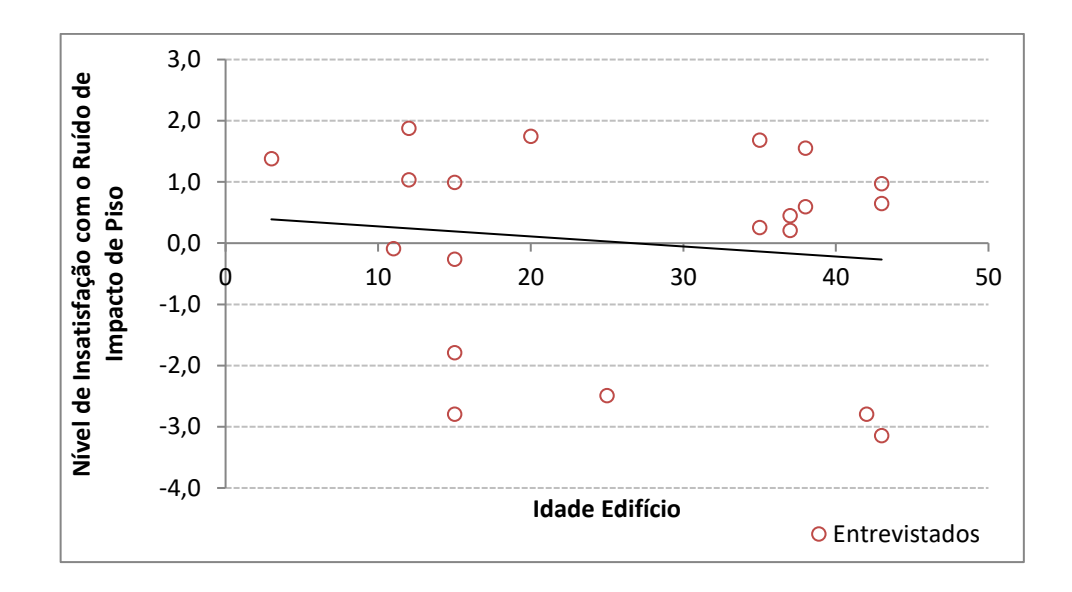


Figura 27 - Diagrama de dispersão entre a variável explicativa Idade do Edifício e a variável resposta Nível de Insatisfação com o Ruído de Impacto de Piso

O cruzamento entre as variáveis Idade do Edificio ensaiado e a Nível de Insatisfação com o Ruído de Impacto de Piso (Fig. 27) indica uma relação negativa, ou seja, os moradores de edifícios mais novos estão mais insatisfeitos em relação ao nível de ruído de impacto de piso.

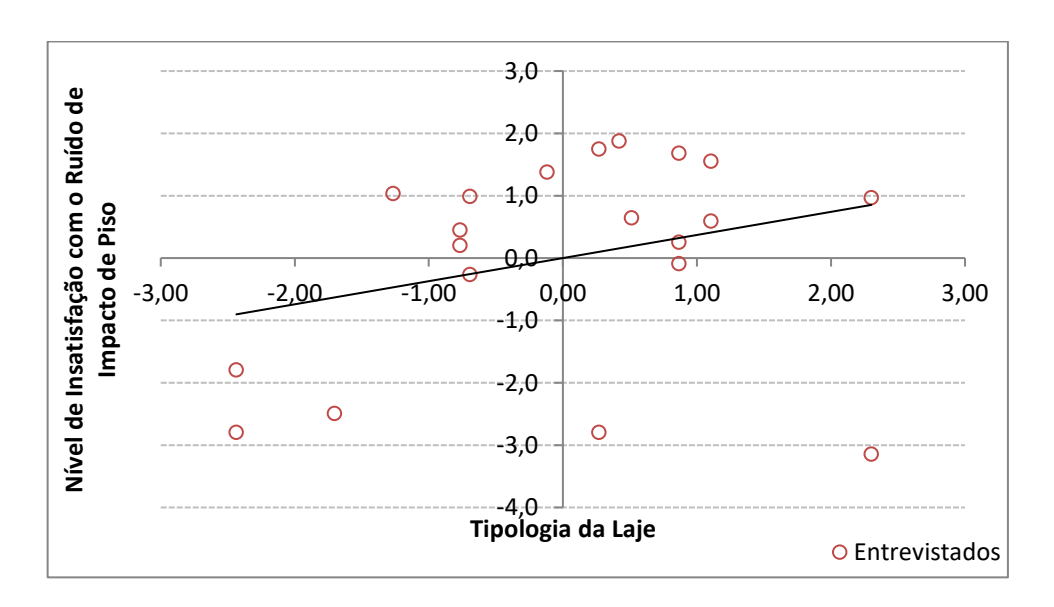


Figura 28 - Diagrama de dispersão entre a variável explicativa Tipologia da Laje e a variável resposta Nível de Insatisfação com o Ruído de Impacto de Piso

Neste gráfico da Fig. 28, observamos que os moradores dos edificios com a tipologia de laje maciça ou pré-fabricada, e consequentemente tem uma menor espessura, juntamente com sua espessura de contrapiso e piso, são mais insatisfeitos em relação ao nível de ruído de impacto de piso que os moradores de edificios com laje desconhecida, cuja espessura é maior.

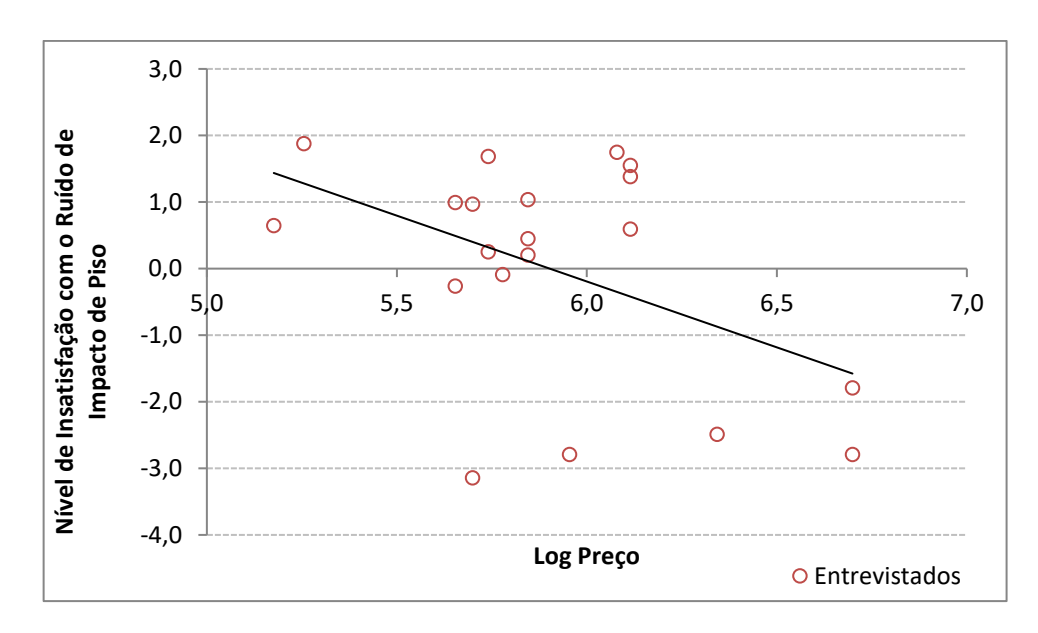


Figura 29 - Diagrama de dispersão entre a variável explicativa Log do Preço e a variável resposta Nível de Insatisfação com o Ruído de Impacto de Piso

Este gráfico (Fig. 29) indica uma tendência de que quanto menor o preço de venda dos apartamentos, mais insatisfeitos estão os moradores em relação ao nível de ruído de impacto de piso. Mas claramente em função da minoria identificada na Fig. 10 e moradora de apartamentos caros.

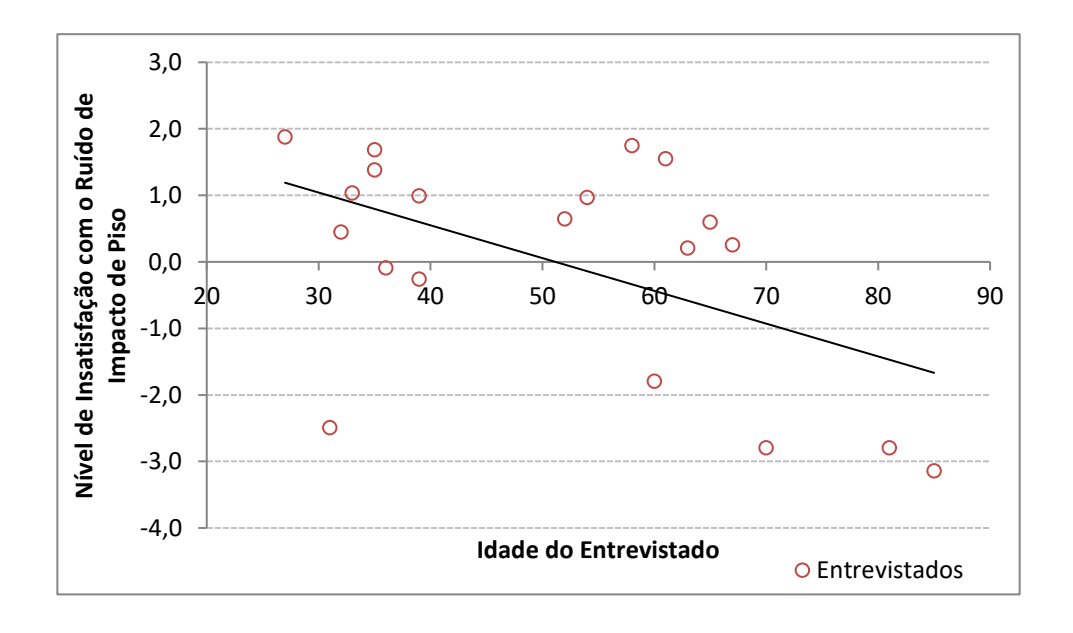


Figura 30 - Diagrama de dispersão entre a variável explicativa Idade do Entrevistado e a variável resposta Nível de Insatisfação com o Ruído de Impacto de Piso

Esta relação entre Idade do Entrevistado e o Nível de Insatisfação com o Ruído de Impacto de Piso (Fig. 30) indica que os moradores mais novos são mais insatisfeitos em relação ao nível de ruído de impacto de piso. Isto possivelmente pode ser explicado pela perda da memória auditiva com a idade como conclui Gallun *et al.* (2012) e também pela análise do gráfico a seguir, que associa a Idade do Entrevistado e a relação do mesmo com o lugar em que vive, e indica que os moradores mais idosos têm mais identidade com o lugar (Fig. 31).

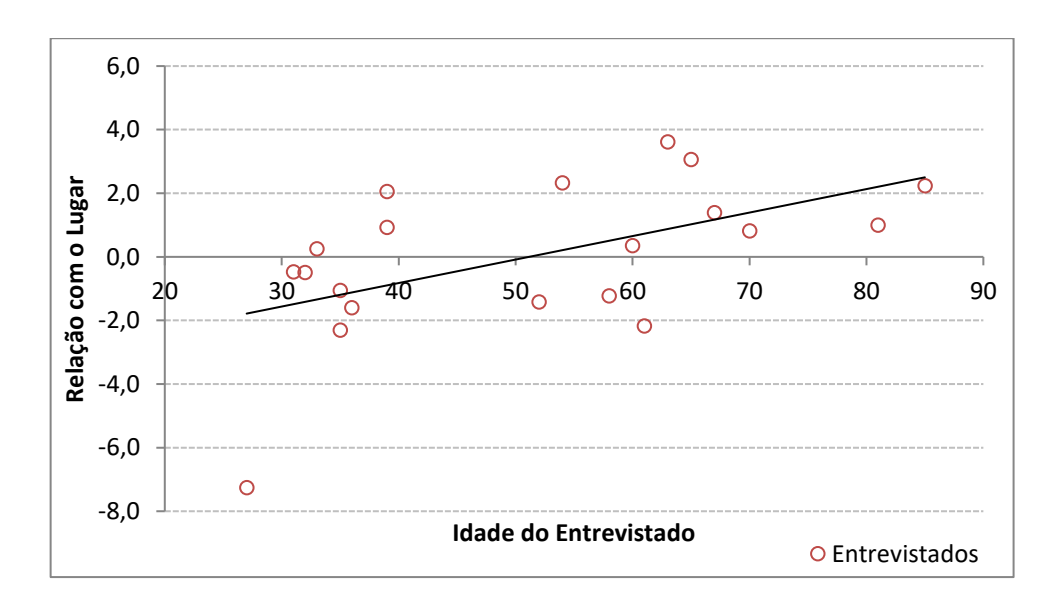


Figura 31 - Diagrama de dispersão entre as variáveis explicativas Idade do Entrevistado e Relação com o Lugar

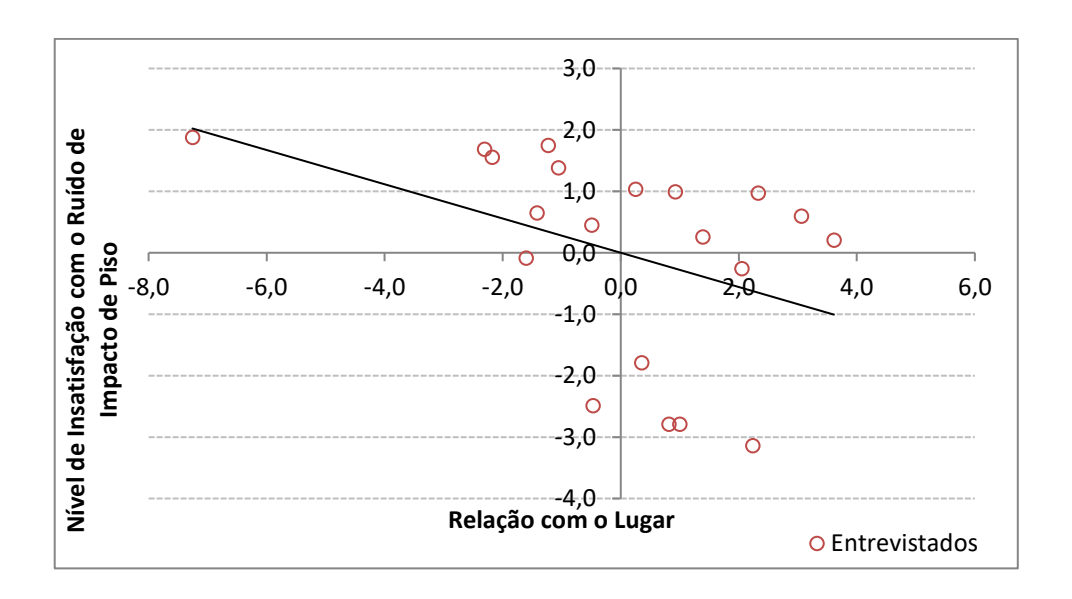


Figura 32 - Diagrama de dispersão entre a variável explicativa Relação com o Lugar e a variável resposta Nível de Insatisfação com o Ruído de Impacto de Piso

Uma outra análise importante trata da relação entre as variáveis Relação com o Lugar e o Nível de Insatisfação de Ruído com o Impacto de Piso que indica que os moradores com mais identidade com o lugar são menos insatisfeitos (Fig. 32).

Este resultado encontra-se na mesma linha do trabalho de Bento (2011), no qual ela conclui que os habitantes que mais se identificam com o lugar seriam menos incomodados em relação a níveis elevados de ruído ambiente, e que, pelo contrário, os indivíduos com menos identidade de lugar seriam mais incomodados, mesmo expostos a níveis de ruído ambiente mais baixos.

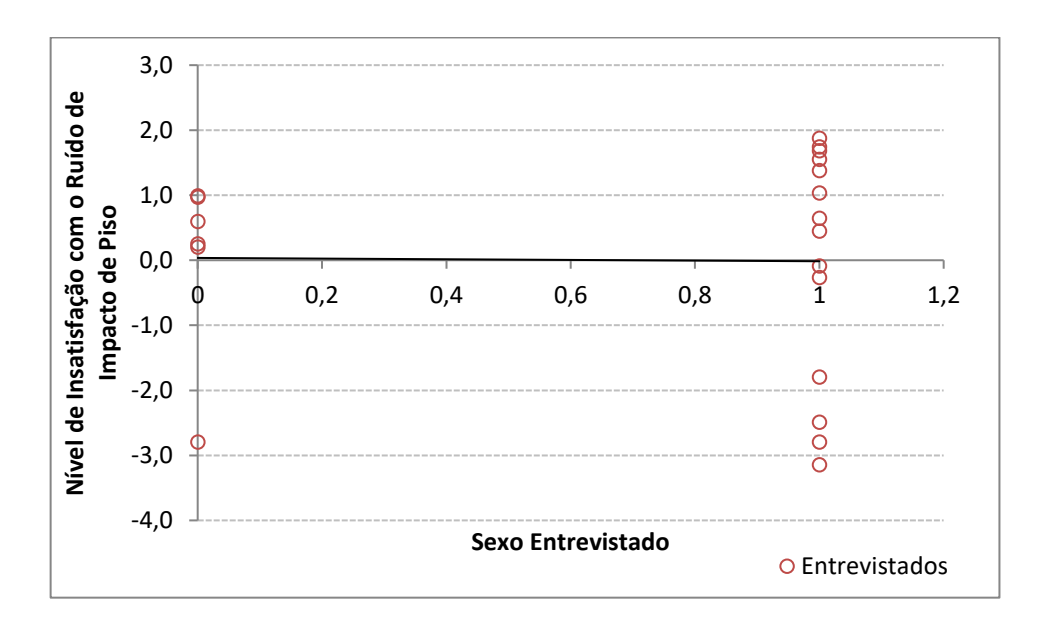


Figura 33 - Diagrama de dispersão entre a variável explicativa Sexo do Entrevistado e a variável resposta Nível de Insatisfação com o Ruído de Impacto de Piso

O gráfico (Fig. 33) indica que, apesar de poucas observações, os homens tendem a ser mais insatisfeitos em relação às mulheres pela proporção maior de insatisfeitos entre eles. Mesmo dentro da maioria insatisfeita, os homens se mostram mais insatisfeitas que as mulheres.

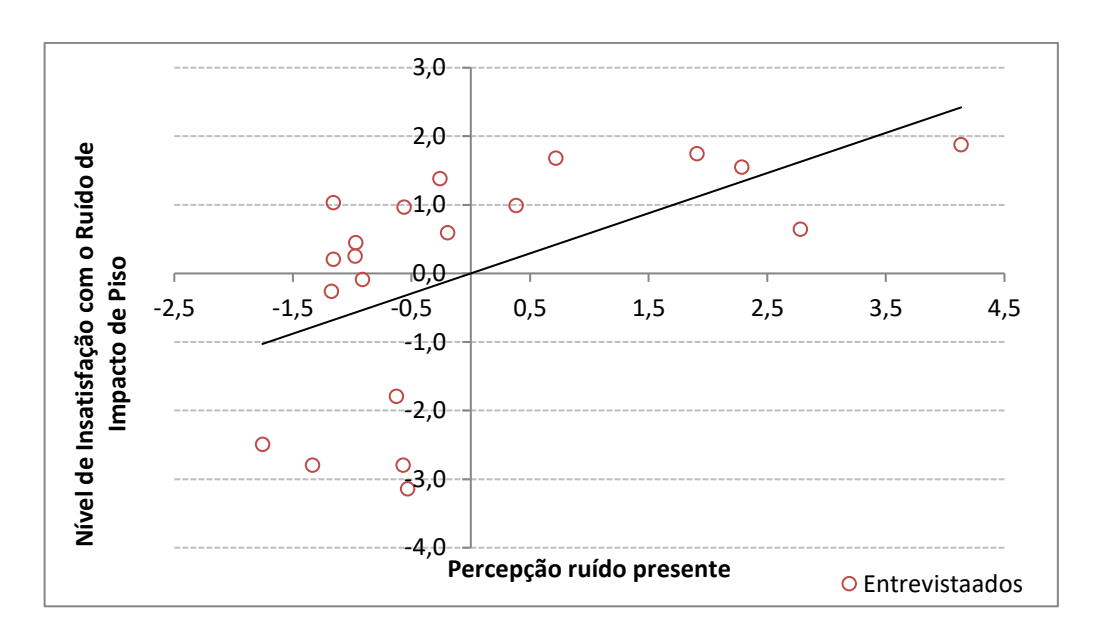


Figura 34 - Diagrama de dispersão entre a variável explicativa Percepção do Ruído no Presente e a variável resposta Nível de Insatisfação com o Ruído de Impacto de Piso

O gráfico entre a nova variável Percepção do Ruído no Presente e o Nível de Insatisfação com o Ruído de Impacto de Piso (Fig. 34) indica uma relação positiva, em que os moradores que escutam e são incomodados pelo ruído aéreo e de impacto de piso, seja dos vizinhos ou de outra parte da edificação em que moram atualmente, são mais insatisfeitos em relação ao nível de ruído de impacto de piso.

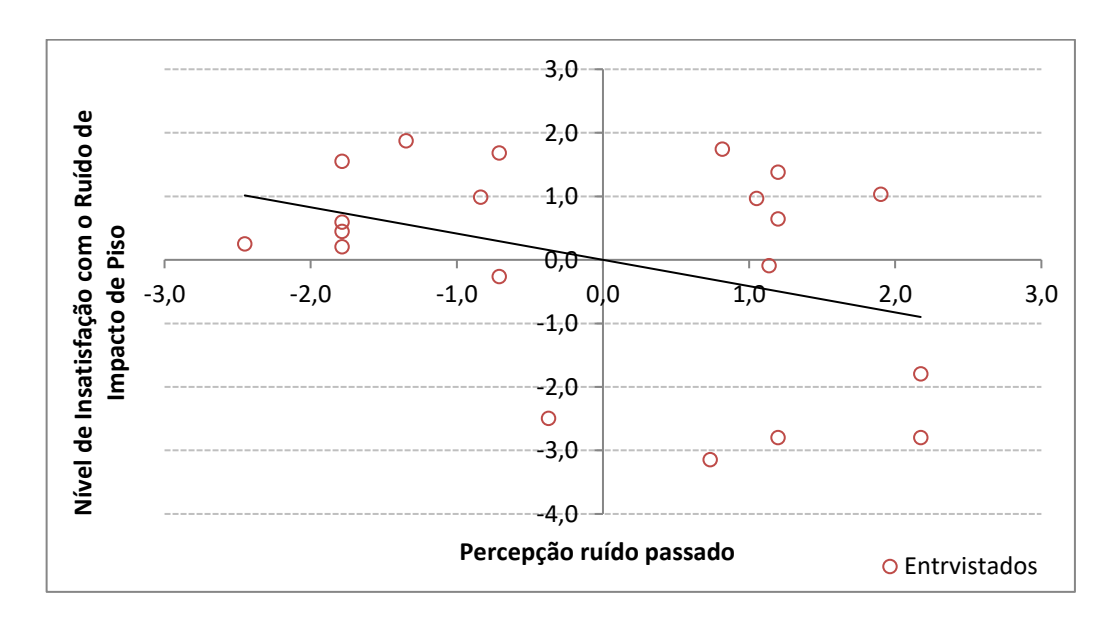


Figura 35 - Diagrama de dispersão entre a variável explicativa Percepção do Ruído no Passado e a variável resposta Nível de Insatisfação com o Ruído de Impacto de Piso

Ao contrário do anterior, este gráfico (Fig. 35) também apresenta uma relação negativa entre a variável Percepção do Ruído no Passado e o Nível de Insatisfação com o Ruído de Impacto de Piso, sendo que os moradores que escutavam e eram incomodados pelo ruído aéreo e de impacto de piso, seja dos vizinhos ou de outra parte da edificação em que moravam antes de se mudarem para o apartamento atual, são menos insatisfeitos hoje em relação ao nível de ruído de impacto de piso. Isto se deve, principalmente, à presença do grupo minoritário e considerado "Muito Pouco Insatisfeito" hoje, que, no passado, se sentia mais incomodado.

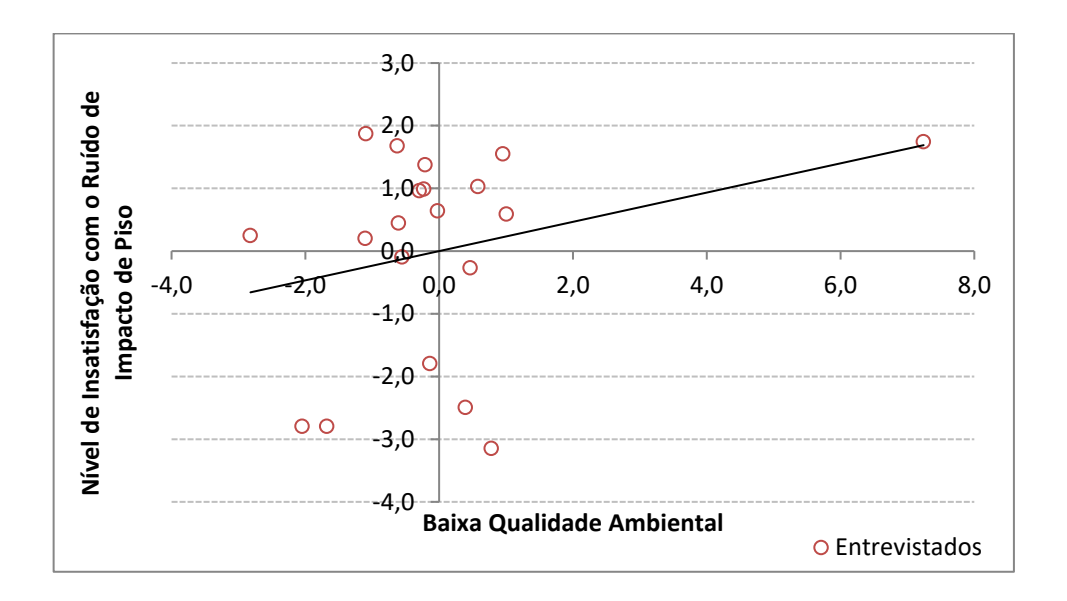


Figura 36 - Diagrama de dispersão entre a variável explicativa Baixa Qualidade Ambiental no Presente e a variável resposta Nível de Insatisfação com o Ruído de Impacto de Piso

Esta relação entre a nova variável Baixa Qualidade Ambiental e o Nível de Insatisfação com o Ruído de Impacto de Piso (Fig. 36) indica que os moradores que consideram o local onde vivem, seja ele o prédio, bairro ou a cidade de Belo Horizonte, com uma qualidade de vida ruim, em geral, são mais insatisfeitos em relação ao nível de ruído de impacto de piso.

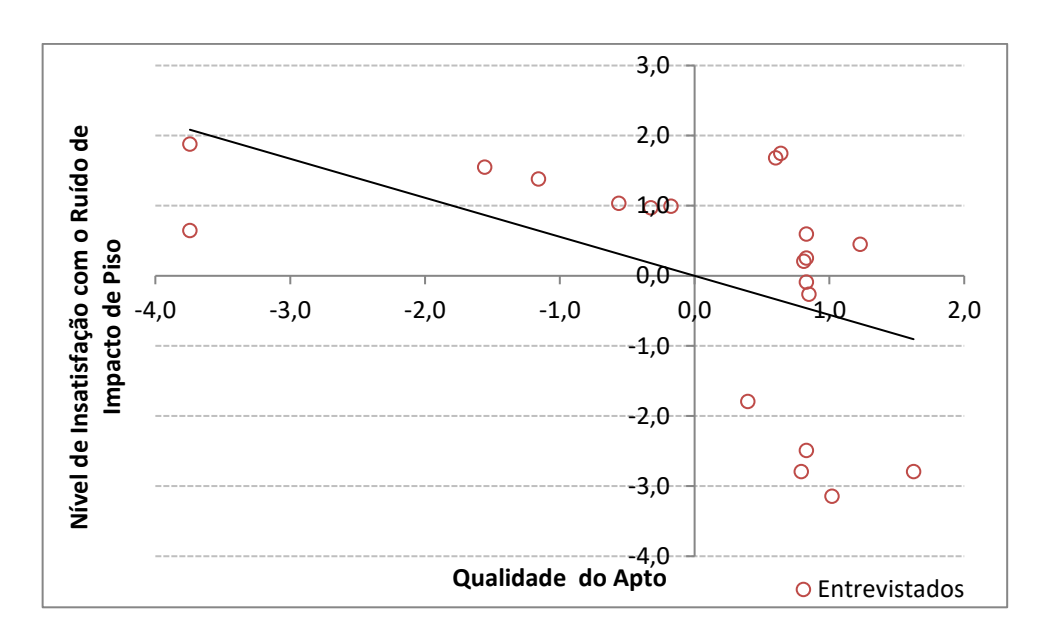


Figura 37 - Diagrama de dispersão entre a variável explicativa Qualidade do Apartamento e a variável resposta Nível de Insatisfação com o Ruído de Impacto de Piso

Através desta relação (Fig. 37), é possível verificar que os indivíduos que consideram uma maior qualidade de seus apartamentos em relação ao isolamento de ruído aéreo (concluímos anteriormente que a componente Qualidade do Apartamento indica um entendimento maior dos moradores em relação ao isolamento de ruído aéreo) são menos insatisfeitos em relação ao nível de ruído de impacto de piso.

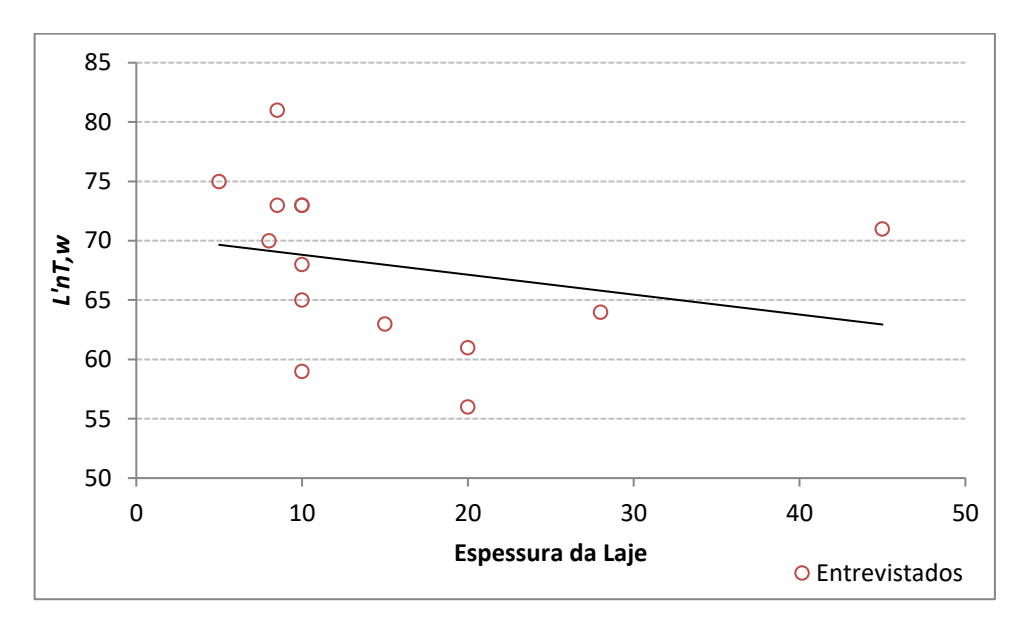


Figura 38 - Diagrama de dispersão entre a variável Espessura da Laje e a variável explicativa $L'_{nT,w}$

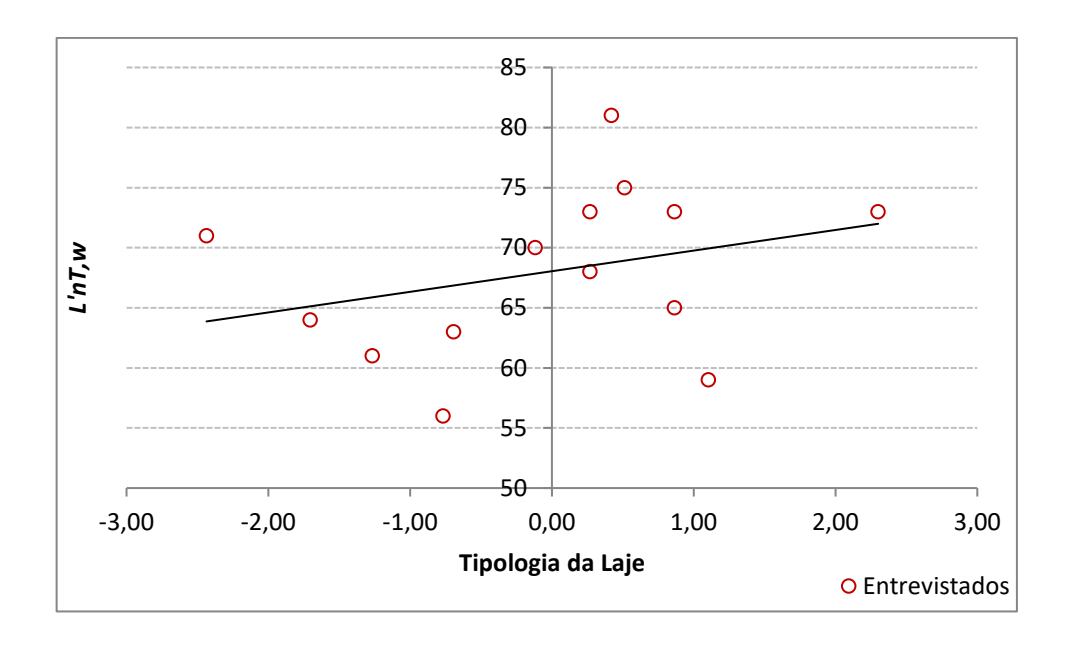


Figura 39 - Diagrama de dispersão entre a variável Tipologia da Laje e a variável explicativa $L'_{nT,w}$

O gráfico da Fig. 38 apresenta uma relação já esperada, em que quanto maior a espessura da laje ensaiada, menor o $L'_{nT,w}$, o que é comprovado pelo gráfico da Fig. 39, uma vez que as lajes maciças têm espessura menor, enquanto outras tipologias apresentam uma maior espessura incluindo o contrapiso e acabamento.

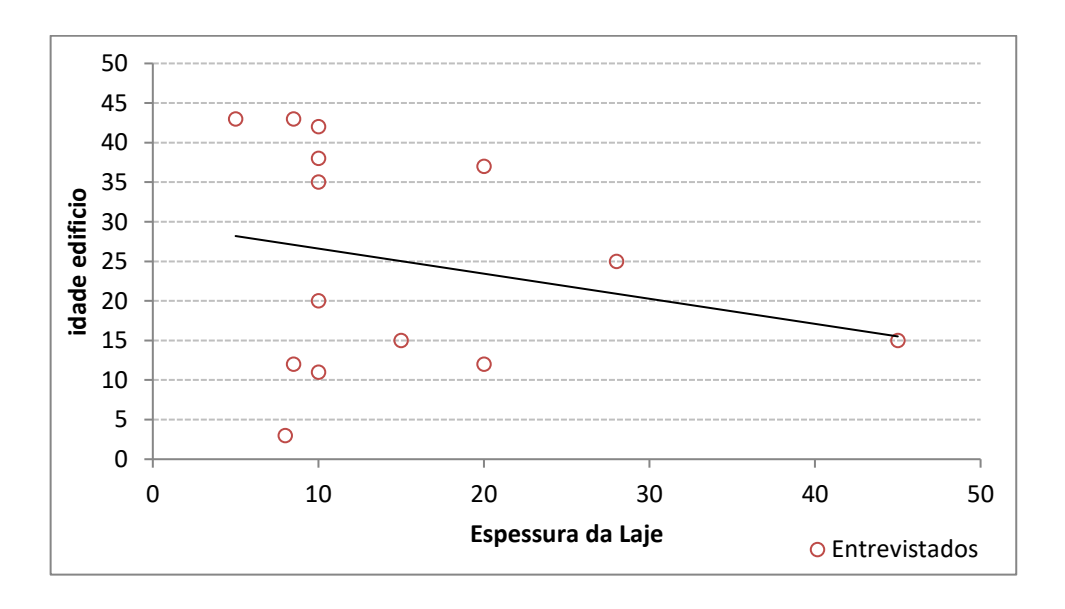


Figura 40 - Diagrama de dispersão entre a variável Espessura da Laje e a variável explicativa Idade do Edifício

Neste caso (Fig. 40), podemos também observar que para o sistema construtivo dos edificios mais antigos, em sua maioria, era adotada um laje maciça de 10cm, e que, nos edificios mais novos, houve uma mudança na adoção de outras tipologias de laje e consequente aumento de sua espessura.

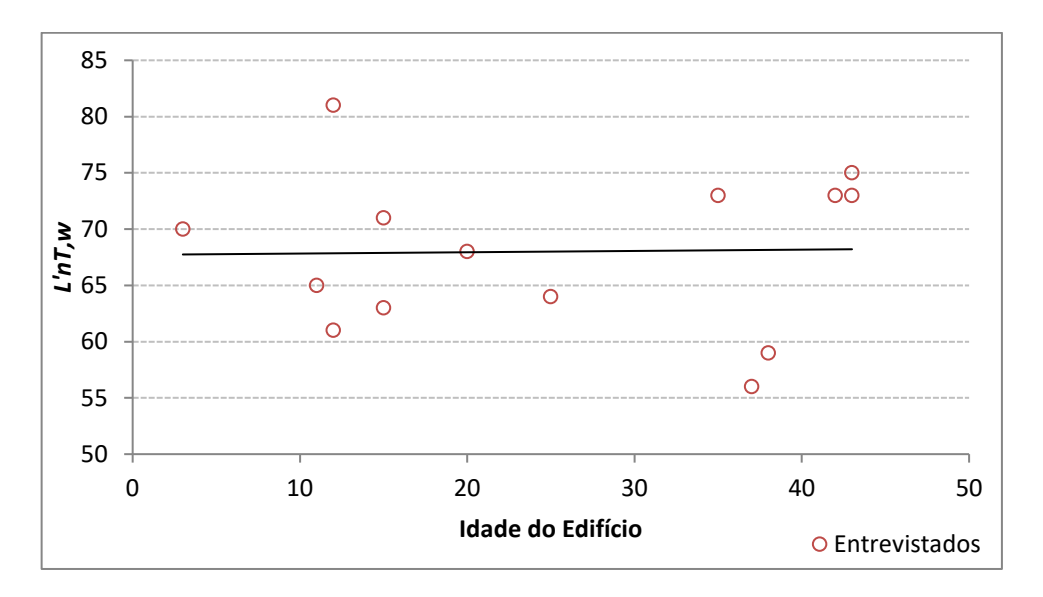


Figura 41 - Diagrama de dispersão entre as variáveis explicativas Idade do Edifício e o $L'_{nT,w}$

No gráfico acima (Fig. 41), observamos que não existe uma relação muito clara entre a Idade do Edifício e o valor ensaiado do $L'_{nT,w}$, sendo praticamente uma constância.

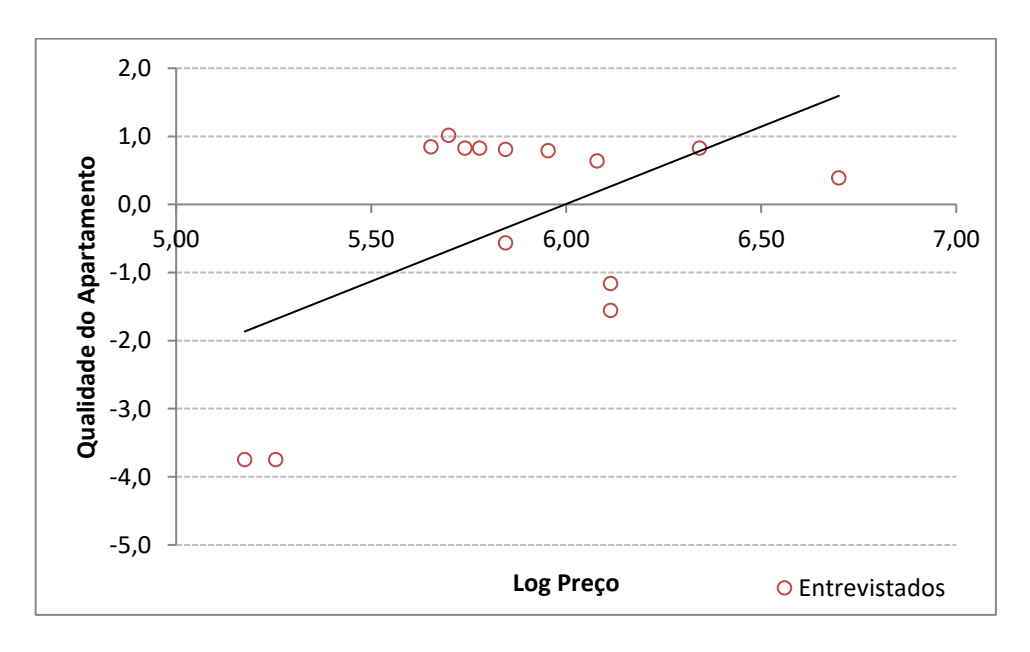


Figura 42 - Diagrama de dispersão entre as variáveis explicativas Log do Preço e a Qualidade do Apartamento

Nesta relação positiva acima (Fig. 42), podemos verificar que apartamentos com o preço de venda maior, são considerados com maior qualidade pelos entrevistados. Mas esta relação é devida a dois apartamentos com os mesmos preços e de pior qualidade.

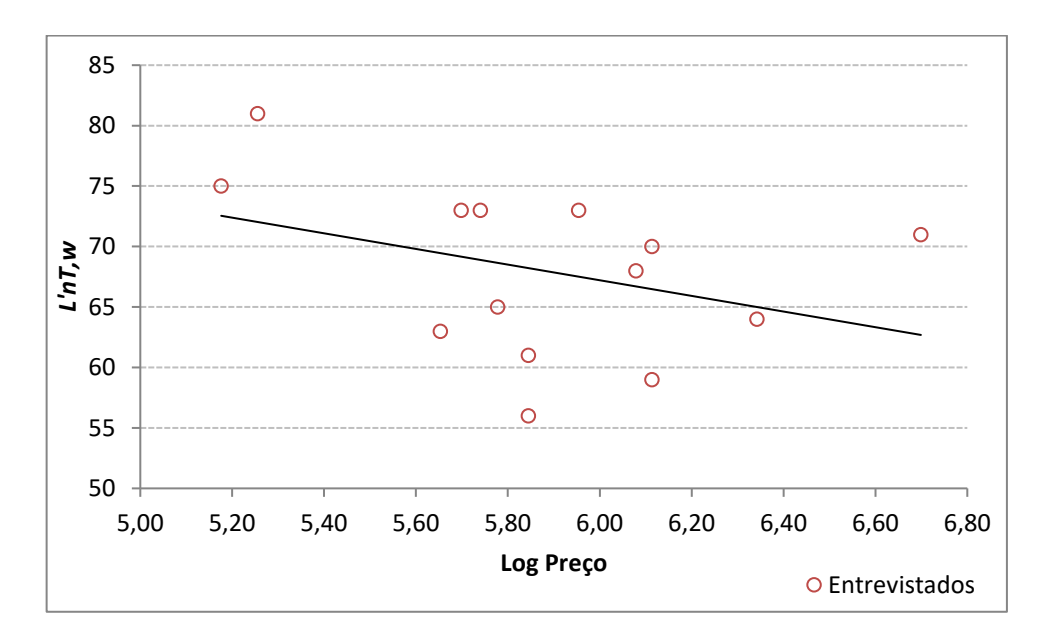


Figura 43 - Diagrama de dispersão entre as variáveis Log do Preço e o $L'_{nT,w}$

Já o gráfico entre as variáveis explicativas Log do Preço e o $L'_{nT,w}$ (Fig. 43) indica que os apartamentos cujo preço de venda é maior obtiveram um valor de $L'_{nT,w}$ menor.

4.4. Seleção das variáveis e a construção do modelo de regressão

Conforme descreve Montgomery e Runger (2011) um problema importante em muitas aplicações da técnica de análise de regressão é selecionar as variáveis explicativas ou regressoras para um modelo, ou seja, aquelas que são necessárias para modelar adequadamente a resposta *Y*.

Geralmente, necessita-se de um bom julgamento e experiência com o sistema que está sendo modelado para selecionar um conjunto apropriado de variáveis regressoras para uma equação de regressão. Primeiramente, é necessário selecionar um conjunto que inclua provavelmente todas as variáveis importantes. Estas foram apresentadas na Fig. 23.

Duas das técnicas utilizadas para a escolha das variáveis foram adotadas neste trabalho, sendo a primeira a de *Todas as Regressões Possíveis* e, em seguida, feita a *Regressão por etapas*.

4.4.1. Todas as Regressões Possíveis

Através desta técnica, é possível avaliar as equações de regressão usando desde uma, duas, até todas as possíveis variáveis envolvidas. Em seguida, são adotados alguns critérios para a comparação e escolha do "melhor" modelo.

O critério adotado, dentre outros, para a verificação do modelo foi a *Estatística C_p* de Mallows, que é uma medida do erro quadrático total para o modelo de regressão (MONTGOMERY e RUNGER, 2011). Este é definido como na Eq. (4.2):

$$C_p = \frac{SQ_E(p)}{\hat{\sigma}^2} - n + 2p \tag{4.2}$$

onde SQ_E na Eq. (4.3) representa a soma dos quadrados dos erros ou soma dos quadrados dos resíduos e_i (na regressão com p parâmetros), e este podendo ser definido como a diferença entre o valor observado da resposta y_i e o correspondente valor previsto obtido pelo modelo de regressão \hat{y}_i na Eq. (4.4):

$$SQ_E = \sum_{i=1}^{n} e_i^2 (4.3)$$

$$e_i = y_i - \hat{y}_i \tag{4.4}$$

O $\hat{\sigma}^2$ é o melhor estimador da variância do erro, calculado na Eq. 4.5 como:

$$\hat{\sigma}^2 = \frac{SQ_E}{n-p} \tag{4.5}$$

onde p é a quantidade máxima de parâmetros no modelo e n o tamanho da amostra (MONTGOMERY e RUNGER, 2011).

É possível então avaliar os valores de C_p em relação a p, onde as equações de regressão que tenham os valores de C_p mais próximos de p são menos tendenciosos, ou seja, a "melhor equação" é aquela cujo valor de C_p seja mínimo ou próximo a p ($C_p \cong p$).

A Tab. 26 lista uma saída do software Minitab com todas as regressões possíveis, onde foram apresentadas as duas melhores equações para cada tamanho de subconjunto de variáveis. Os modelos analisados foram demarcados em amarelo, onde temos $C_p \cong p$. Neste caso, trata-se do

 C_p calculado, indicado na coluna cinza ao lado da saída do programa, que é obtido utilizando o menor valor do $Desvio\ Padrão\ S$ da amostra, este definido a seguir, no caso 0,37494 (assinalado errado na tabela) ao invés do valor de S referente ao maior número de variáveis (13) que o programa adota para o cálculo, que seria 0,52343.

Tabela 26 - Saída do Minitab para Todas as Regressões Possíveis para o Nível de Insatisfação do Ruído de Impacto de Piso (Q25+Q17+Q15)

Best Subsets Regression: Q25+Q17+Q15 versus LnTw; Idade edifício;

•••

Response is Q25+Q17+Q15

Respo	nse is	Q25+Q1	7+Q15			
						P
						e
						r
						R c
						e e
						в 1 р
						a a <u> </u>
						x ãe u
						a oriI
						S cdd
						$oldsymbol{e} = oldsymbol{q} = oldsymbol{l} oldsymbol{e} \circ oldsymbol{a}$
						Ix u up_d
						do agçpe alaãr>
						a l aãr> de i Lroe8
						IRen dQo s0
						du taug (re
						aíer da_sun+
						ddne elpeit
						eotv_irmdep
						riTade o r eAesimaçQe
						d m v t p b d o 5 p Q ç
						ibiaoie alo
						fisd_e_aes7>
						Lietolnap se 2 Cp
		R-Sq	R-Sq	Mallows		ncna_atptQaQ2 calculado Titdnjato8d10 370
Vars	R-Sq	(adj)	(pred)	Cp	S	0 1 5 0
1	85,6	84,8	82,7	11,7	0,64892	Woeo'elo.)050 243,8 X 19,0
1	30,8	27,0	18,5	117,3	1,4245	X 19,5
2	91,2	90,2	87,8	2,9	0,52225	X X 8,5
2	91,1	90,0	88,6	3,2	0,52666	X X 14,8
3	94,5 92,9	93,5 91,5	91,8 90,3	-1,5 1,8	0,42475 0,48536	X X X X 6,4 X X X X 8,4
4	95,6	94,5	93,4	-1,6	0,39232	X X X X 8,4
4	95,1	93,8	92,0	-0,5	0,41551	X X X X X 8.0
5	96,2	94,8	93,5	-0,6	0,38037	X X X X 7,0
5	95,7	94,2	92,2	0,2	0,40063	X X X X X 7,7
<mark>6</mark> 6	96,5 96,3	94 , 9 94 , 7	93,1 93,3	0,7 1,0	0,37494 0,38510	X X X X X X X X X X X X X X X X X X X
7	96,7	94,8	91,9	2,3	0,37978	X X X X X X X X X X X X X X X X X X X
7	96,7	94,8	93,0	2,4	0,38130	X X X X X X X X X X 10,1
8	96,8	94,5	90,7	4,2	0,39202	X X X X X X X X X 11,9
8	96,8	94,4	91,6	4,2	0,39326	X X X X X X X X X 11,9
9 9	96,8 96,8	94,0	88 , 8	6,1	0,40886 0,40937	
10	96,8	94,0 93,4	87,6 85,9	6,1 8,1	0,40937	
10	96,8	93,3	84,2	8,1	0,42303	X X X X X X X X X X X X X X X X X X X
11	96,9	92,6	81,7	10,0	0,45388	= - / -
11	96,9	92 , 5	77,0	10,1	0,45565	XXXXX XXXX XX 17,7
12	96,9	91,5	72 , 5	12,0	0,48472	X X X X X X X X X X X X X 19,7
12 13	96,9 96,9	91,5 90,1	76,8 61,5	12,0 14,0	0,48509 0,52343	
10	2012	J U / ±	01,0	± 1, 0	5,02515	

Dois valores são importantes para a verificação do modelo de regressão, sendo o *Valor-P* e a *Multicolinearidade (valor VIF)*.

4.4.1.1. Valor-P

O *valor-P* é bastante adotado na prática e representa o menor Nível de Significância que leva à rejeição da *Hipótese Nula* ($H_0: \beta_i = 0$), através dos dados fornecidos. Isto quer dizer que, um *valor-P* pequeno fornece evidências contra a H_0 , e portanto, tem maior significância dentro do modelo de regressão.

Conforme definido por Montgomery e Runger (2011), uma *Hipótese Estatística* é uma afirmação sobre os parâmetros de uma ou mais populações e o procedimento para a tomada de decisão sobre a hipótese é chamado *Teste de Hipóteses*. Para se realizar um Teste de Hipótese, é necessário estabelecermos a *Hipótese Nula* (H_0) que é um suposto valor para um ou mais parâmetros e a *Hipótese Alternativa* (H_1) que contraria a H_0 .

Morettin e Bussab (2004) apresentam uma tabela (Tab. 27) extraída de Efron e Gous (1997)¹ que ilustra a escala de evidências sugerida por Fisher (1954) ² contra H_0 (ou a favor de H_1).

Tabela 27 - Escala de Significância de Fisher

Valor-P	0,10	0,05	0,025	0,01	0,005	0,001
Natureza de evidêcia	marginal	moderada	substancial	forte	muito forte	fortíssima

4.4.1.2. Multicolinearidade

Em problemas de regressão, além das dependências que buscamos encontrar entre a variável de resposta Y e as regressores x_i , i=1,...,k, é possível também encontrarmos dependências entre as variáveis regressoras x_i , i=1,...,k. Quando verificamos fortes correlações entre as variáveis regressoras, dizemos que existe *Multicolinearidade* e que podem ter sérias influências na estimativa dos coeficientes de regressão e no uso do modelo (MONTGOMERY e RUNGER, 2011).

¹ EFRON, B. e GOUS, A. Bayesian and frequentist model selection.TR n. 193, Division of Biostatistics, Stanford University, 1997.

² ISHER, R. A. Statistical methods for research workers. 12st edition. New York: Hafner, 1954.

Sendo assim, quanto mais forte a correlação múltipla entre o regressor x_j e os demais, mais forte será a *Multicolinearidade*, que pode ser verificado através do *Fator de Inflação de Variância* (VIF), calculado pela Eq. (4.6).

$$VIF(\beta_j) = \frac{1}{(1 - R_i^2)}$$
 $j = 1, 2, 3, ..., k$ (4.6)

onde β_j é o coeficiente de regressão, R_j^2 é o coeficiente de determinação múltiplo obtido na regressão da variável aleatória X_j em relação às demais variáveis explicativas, dado pela Eq. (4.7).

$$R^2 = \frac{SQ_R}{SQ_T} = 1 - \frac{SQ_E}{SQ_T} \tag{4.7}$$

sendo SQ_E a soma dos quadrados dos erros e já apresentado na Eq. (4.3), SQ_R a soma dos quadrados da regressão calculado pela Eq. (4.8) e SQ_T a soma total corrigida dos quadrados de y pela Eq. (4.9).

$$SQ_R = \sum_{i=1}^n (\hat{y}_i - \bar{y})^2$$
 (4.8)

$$SQ_T = SQ_R - SQ_E (4.9)$$

onde \bar{y} é o valor médio e \hat{y}_i é o valor obtido pelo modelo de regressão.

Isso implica que, se a variável x_j é linearmente dependente das demais, então $R_j^2 \approx 1$ e *VIF* é grande. Na prática, se *VIF* > 10, então β_j está "pobremente" estimado devido a *Multicolinearidade*.

O *Coeficiente de Determinação* (R²) é uma medida largamente usada em um modelo de regressão como forma de avaliar a adequação do mesmo. Representa a quantidade de variabilidade nos dados explicada pelo modelo. À medida em que são incluídas variáveis, mesmo que pouco descrevam a variável dependente, o valor de *R*² aumenta.

Muitos analistas também utilizam o valor de *R*² *Ajustado*, dado pela Eq. (4.10), *e* que penaliza a inclusão de regressores pouco explicativos (MONTGOMERY e RUNGER, 2011).

$$R_{Ajustado}^2 = 1 - \frac{SQ_E/(n-p)}{SQ_T/(n-1)}$$
 (4.10)

Outro valor importante que mede a dispersão dos dados em relação à reta de regressão é o *Desvio Padrão* (S) da amostra, obtido pela Eq. (4.11).

$$S = \sqrt{SQ_E/(n-p)}$$

$$S = \sqrt{SQ_E/(n-p)}$$
(4.11)

4.4.2. Regressão por Etapas

Consiste em um método simples onde deve-se selecionar as variáveis a serem incluídas no modelo de regressão uma a uma e então tentando removê-las progressivamente (MONTGOMERY e RUNGER, 2011).

A partir da verificação de *Todas as Regressões Possíveis* e os modelos destacados, foi feita a *Regressão por Etapas*, eliminando e adicionando variáveis. Na Tab. 28, foram apresentados alguns modelos avaliados com as variáveis adotadas em cada um, seus valores *valor-P*, *VIF*, *R*² *Ajustado*, *S* e os coeficientes, bem como a constante da equação.

Tabela 28 - Modelos como resposta o Nível de Insatisfação com o Ruído de Impacto de Piso (Q25+Q17+Q15)

Variáveis do modelo	Modelo 1	Modelo 2	Modelo 3	Modelo 4	Modelo 5	Modelo 6	Modelo 7	Modelo 8	Modelo 9	Modelo 10	Modelo 11	Valores
	0,0236	0,0303	0,0356	0,0343	0,0316	0,0380	0,0358	0,0348	0,0368	0,0581	0,0671	Coeficiente
$L'_{nT,w}$	0,184	0,108	0,084	0,090	0,130	0,085	0,098	0,090	0,090	0,013	0,008	Valor-P
	1,82	2,04	2,33	2,21	2,24	2,44	2,33	2,27	2,35	1,42	1,61	VIF
Nível Ruído			0,0127		0,0100	0,0102	0,0091					Coeficiente
Ambiente			0,429		0,567	0,559	0,737					Valor-P
			1,31		1,44	1,44	3,46					VIF
Idade		0,01085	0,01082	0,01184		0,01065	0,01122	0,01061	0,01144		0,0154	Coeficiente
Edifício		0,257	0,265	0,231		0,289	0,282	0,276	0,264		0,240	Valor-P
		2,06	2,06	2,11		2,07	2,18	2,07	2,12		2,08	VIF
Log Preço	1,196	1,412	1,425	1,364	1,264	1,472	1,403	1,479	1,426	0,897	1,196	Coeficiente
Apto	0,002	0,002	0,002	0,003	0,003	0,003	0,005	0,002	0,005	0,062	0,032	Valor-P
	2,01	2,68	2,68	2,76	2,19	2,84	2,99	2,83	3,01	2,07	2,71	VIF
Idade	-0,01114	-0,01662	-0,01528	-0,01735	-0,0148	-0,0198	-0,01595	-0,0224	-0,0216	-0,01092	-0,01878	Coeficiente
Entrevistado	0,068	0,038	0,064	0,037	0,202	0,120	0,094	0,057	0,077	0,179	0,081	Valor-P
	1,30	2,20	2,31	2,24	4,53	5,32	2,86	4,63	4,70	1,30	2,23	VIF
Percepção	0,3042	0,2995	0,2923	0,2725	0,360	0,351	0,2838	0,377	0,338			Coeficiente
Ruído	0,001	0,001	0,002	0,005	0,022	0,026	0,009	0,011	0,044			Valor-P
Presente	1,69	1,70	1,72	2,12	5,71	5,73	2,44	5,17	6,76			VIF
Relação com					0,055	0,051		0,0693	0,053			Coeficiente
o Lugar					0,595	0,618		0,470	0,607			Valor-P
o Lugai					7,28	7,29		6,63	7,28			VIF
Baixa				0,0393			0,0153		0,0304	0,1098	0,1176	Coeficiente
Qualidade				0,465			0,865		0,600	0,105	0,038	Valor-P
Ambiental				1,38			3,67		1,52	2,07	1,11	VIF
Idade>80 +	-3,265	-3,622	-3,715	-3,608	-3,572	-3,633	-3,683	-3,537	-3,546	-3,873	-3,930	Coeficiente
Preço>2200	0,000	0,000	0,000	0,000	0,000	0,000	0,000	0,000	0,000	0,000	0,000	Valor-P
1 1640-2200	2,62	2,68	3,02	2,69	3,65	3,64	3,82	3,01	3,02	2,42	2,46	VIF
	-7,19	-8,91	-9,86	-8,88	-8,29	-9,97	-9,58	-9,33	-9,21	-7,68	-10,04	Constante
	0,380370	0,374940	0,379780	0,381299	0,395938	0,392015	0,396121	0,381486	0,393260	0,521290	0,511988	S
	94,79%	94,94%	94,81%	94,77%	94,36%	94,47%	94,35%	94,76%	94,43%	90,22%	90,56%	R ² Ajustado

Notas: As variáveis destacadas em amarelo têm seus valores- $p \le 0,1$, o que significa que são mais significativas dentro do modelo. A variável Log Preço Apto, destacada em azul, é significativa nos modelos apresentados e tem o sinal inverso, o que indica que a insatisfação aumenta com o preço. Isto ocorre provavelmente não pela qualidade do apartamento, mas pelo criticismo dos moradores. Os modelos citados na tabela referem-se aos modelos de Regressão Linear Múltipla.

Pode-se observar que, com a adição da variável Idade do Edifício no modelo 2 em relação ao modelo 1, houve uma diminuição nos Valores-P das demais variáveis, apensar de um pequeno aumento nos valores VIF das mesmas. Além disso, a adição da variável provocou um aumento de R^2 Ajustado e consequente diminuição de S, indicando ser um modelo que melhor descreve a variável resposta em relação ao primeiro.

Em seguida, com a adição da variável Nível de Ruído Ambiente no modelo 3, é possível verificar que houve uma redução nos *Valores-P* na maioria das variáveis, exceto Idade do Entrevistado e Percepção do Ruído no Presente, o que representa que estas variáveis ficaram mais significativas. Algumas tiveram um aumento nos valores *VIF* e outras uma diminuição, bem como no valor *R*² *Ajustado* e aumento de *S*.

Em relação ao modelo anterior, as variáveis do modelo 4 ficaram mais significativas, exceto Percepção do Ruído no Presente, que teve uma pequena alteração no Valor-P. Da mesma forma, algumas tiveram um aumento nos valores VIF e outras uma diminuição, bem como no valor R^2 Ajustado e aumento de S.

Com as alterações nos modelos 5, 6, 7 e 8, este último apresentou as variáveis mais significativas que os demais, com uma diminuição dos Valores-P das mesmas, apesar de também apresentar aumento e diminuição nos valores VIF. No entanto, estas mudanças provocaram aumentos e reduções de S e R^2 Ajustado. As variáveis se tornando mais significativas indicam ser o modelo 8 o que melhor descreve a variável resposta em relação aos modelos 5, 6 e 7.

Com a adição da variável Baixa Qualidade Ambiental em relação ao modelo anterior, a variável Idade do Edifício se tornou mais significativa no modelo 9, enquanto a variável $L'_{nT,w}$ manteve o mesmo Valor-P e as outras tiveram um aumento neste valor, e portanto, ficaram menos significativas. Todas tiveram um aumento nos valores VIF. No entanto, houve uma diminuição no valor R^2 Ajustado e aumento de S.

No modelo 10, a variável $L'_{nT,w}$ ficou mais significativa, sendo esta muito importante para o cálculo do índice considerado satisfatório para os usuários das edificações ensaiadas. A variável Baixa Qualidade Ambiental também ficou mais significativa, ao contrário das demais, apesar da diminuição dos valores VIF. Houve uma diminuição mais representativa no valor R^2 *Ajustado* e aumento de S.

Por fim, o modelo 11 apresentou o $L'_{nT,w}$ mais significativo que todos os modelos, assim como a Baixa Qualidade Ambiental. Com a adição da variável Idade do Edifício em relação ao modelo 10, todas as outras variáveis ficaram também mais significativas, apesar do aumento nos valores VIF e um consequente aumento de R^2 Ajustado e diminuição de S. Neste sentido, este modelo indica ser bastante representativo para a variável resposta.

A fim de se definir qual destes seria o melhor modelo, alguns foram simulados com as respectivas equações de regressão em função da variável $L'_{nT,w}$ com o objetivo de determinar um novo critério para o ruído de impacto de pisos, fundamentado no nível de insatisfação dos usuários das edificações ensaiadas. Para as simulações, foi adotado um valor para o Nível de Insatisfação com o Ruído com o Impacto de Piso de 0,45, este assinalado nas tabelas e classificado como PI, mas próximo ao limite do grupo I. Para as variáveis explicativas, foram adotados os valores das médias dos grupos I + MI. Dessa forma, o $L'_{nT,w}$ considerado como "mais satisfatório" para todos os moradores foi calculado. Estes modelos e simulações foram apresentados nas Tabs. 29 a 34.

Tabela 29 - Saída do Minitab para o modelo 1 como resposta o Nível de Insatisfação do Ruído de Impacto de Piso (Q25+Q17+Q15)

Regression Analysis: Q25+Q17+Q15 versus LnTw; Idade entrev; Log_preço ap; Percep_ruido; ...

Analysis of Variance

Source	DF	Adj SS	Adj MS	F-Value	P-Value
Regression	5	50,7563	10,1513	70,16	0,000
LnTw	1	0,2832	0,2832	1,96	0,184
Idade>80 + preço>2200	1	18,1823	18,1823	125,67	0,000
Log_preço apto.	1	2,0428	2,0428	14,12	0,002
Idade entrevistado	1	0,5678	0,5678	3 , 92	0,068
Percep_ruido_presente -Q17eQ15	1	2,5942	2,5942	17 , 93	0,001
Error	14	2,0255	0,1447		
Total	19	52,7818			

Model Summary

```
S R-sq R-sq(adj) R-sq(pred) 0,380370 96,16% 94,79% 93,49%
```

Coefficients

Term	Coef	SE Coef	T-Value	P-Value	VIF
Constant	-7 , 19	2,51	-2,87	0,012	
LnTw	0,0236	0,0168	1,40	0,184	1,82
Idade>80 + preço>2200	-3 , 565	0,318	-11,21	0,000	2,62
Log_preço apto.	1,196	0,318	3 , 76	0,002	2,01
Idade entrevistado	-0,01114	0,00562	-1 , 98	0,068	1,30
Percep_ruido_presente -Q17eQ15	0,3042	0,0718	4,23	0,001	1,69

Regression Equation

```
Q25+Q17+Q15 = -7,19 + 0,0236 LnTw - 3,565 Idade>80 + preço>2200 + 1,196 Log_preço apto.
- 0,01114 Idade entrevistado + 0,3042 Percep_ruido_presente -Q17eQ15
```

Notas: As variáveis destacadas em amarelo têm seus valores $p \le 0,1$ (4ª coluna), o que significa que são mais significativas dentro do modelo, exceto $L'_{nT,w}$. A variável Log Preço Apto, destacada em azul, tem o sinal inverso, sendo que a insatisfação aumenta com o preço, provavelmente não pela qualidade do apartamento, mas pelo criticismo dos moradores.

Tabela 30 - Simulação para o modelo 1 em função de ${L'}_{nT,w}$

-	Classificação do Nível de Insatisfação	Média dos grupos	Nível de Insatisfação com o Ruído de Impacto	Log Preço	Idade Entrevistado	Precepção do Ruído no Presente	Idade>80 + Preço>2200	$L'_{nT,w}$	Média dos grupos
			-3,14	5,70	85	-0,53	1	73	
			-2,80	5,95	81	-0,57	1	73	
			-2,80	6,70	70	-1,34	1	71	
	Muito Pouco Insatisfeitos	-1,65	-2,49	6,34	31	-1,76	1	64	67,00
	(MPI)	-1,03	-1,79	6,70	60	-0,63	1	71	07,00
	, ,		-0,26	5,65	39	-1,17	0	63	
			-0,09	5,78	36	-0,91	0	65	
			0,21	5,85	63	-1,16	0	56	
	Pouco	0.05	0,25	5,74	67	-0,98	0	73	04.50
	Insatisfeitos (PI)	0,35	0,45	5,85	32	-0,97	0	56	64,50
		2.22	0,59	6,11	65	-0,20	0	59	07.00
	Insatisfeitos (I)	0,62	0,64	5,18	52	2,78	0	75	67,00
			0,97	5,70	54	-0,56	0	73	
			0,99	5,65	39	0,38	0	63	
			1,03	5,85	33	-1,16	0	61	
	Muito		1,38	6,11	35	-0,26	0	70	
	Insatisfeitos (MI)	1,40	1,55	6,11	61	2,28	0	59	68,50
	(,		1,68	5,74	35	0,72	0	73	
			1,75	6,08	58	1,91	0	68	
			1,88	5,26	27	4,13	0	81	
	Média de todos			5,90	51,15	0,00	0,25		
ı									
	Média MPI + PI	-0,65		6,03	56,40	-1,00	0,50		65,75
Ī									
	Média I + MI	1,01		5,78	45,90	1,00	0		67,75
-						Precepção			
			Nível de	Log	Idade	do Ruído	Idade>80 +		
			Insatisfação com o Ruído de Impacto	Preço (Média I + MI)	entrevistado	no Presente (Média I + MI)	Preço>2200 (Média I + MI)	$L'_{nT,w}$	
			Insatisfação com o Ruído	Preço (Média	entrevistado	Presente (Média I +	Preço>2200	<i>L'</i> _{nT,w}	

Tabela 31 - Saída do Minitab para o modelo 4 como resposta o Nível de Insatisfação do Ruído de Impacto de Piso (Q25+Q17+Q15)

Regression Analysis: Q25+Q17+Q15 versus LnTw; Idade>80 + p; Log_preço ap; Idade entrev; ...

Analysis of Variance

Source	DF	Adj SS	Adj MS	F-Value	P-Value
Regression	7	51,0372	7,2910	50,15	0,000
LnTw	1	0,4934	0,4934	3,39	0,090
Idade entrevistado	1	0,7995	0,7995	5,50	0,037
Log_preço apto.	1	1,9311	1,9311	13,28	0,003
Idade>80 + preço>2200	1	18,1447	18,1447	124,80	0,000
Percep_ruido_presente -Q17eQ15	1	1,6630	1,6630	11,44	0,005
Idade edifício	1	0,2314	0,2314	1,59	0,231
Baixa_qualidade_ambiental	1	0,0829	0,0829	0,57	0,465
Error	12	1,7447	0,1454		
Total	19	52,7818			

Model Summary

```
S R-sq R-sq(adj) R-sq(pred) 0,381299 96,69% 94,77% 93,03%
```

Coefficients

Term	Coef	SE Coef	T-Value	P-Value	VIF
Constant	-8,88	2,92	-3,05	0,010	
LnTw	0,0343	0,0186	1,84	0,090	2,21
Idade entrevistado	-0 , 01735	0,00740	-2 , 35	0,037	2,24
Log_preço apto.	1,364	0,374	3,64	0,003	2,76
Idade>80 + preço>2200	-3 , 608	0,323	-11,17	0,000	2,69
Percep_ruido_presente -Q17eQ15	0,2725	0,0806	3 , 38	0,005	2,12
Idade edifício	0,01184	0,00939	1,26	0,231	2,11
Baixa_qualidade_ambiental	0,0393	0,0520	0,75	0,465	1,38

Regression Equation

```
Q25+Q17+Q15 = -8,88 + 0,0343 LnTw - 0,01735 Idade entrevistado
+ 1,364 Log_preço apto.
- 3,608 Idade>80 + preço>2200 + 0,2725 Percep_ruido_presente -Q17eQ15
+ 0,01184 Idade edifício + 0,0393 Baixa_qualidade_ambiental
```

Notas: As variáveis destacadas em amarelo têm seus valores $p \le 0,1$ (4ª coluna), o que significa que são mais significativas dentro do modelo, exceto $L'_{nT,w}$. A variável Log Preço Apto, destacada em azul, tem o sinal inverso, sendo que a insatisfação aumenta com o preço, provavelmente não pela qualidade do apartamento, mas pelo criticismo dos moradores.

Tabela 32 - Simulação para o modelo 4 em função de ${L'}_{nT,w}$

Classificaçã o do Nível de Insatisfação	Média dos grupo s	Nível de Insatisfaçã o com o Ruído de Impacto	Log Preço	Idade Entrev istado	Percepç ão do Ruído no Present e	Idade >80 + Preço >2200	ldade Edifíci o	Baixa Qualid ade Ambie ntal	$L'_{nT,w}$	Média dos grupo s
		-3,14	5,70	85	-0,53	1	43	0,78	73	
		-2,80	5,95	81	-0,57	1	42	-2,05	73	
		-2,80	6,70	70	-1,34	1	15	-1,68	71	
Muito Pouco	4.05	-2,49	6,34	31	-1,76	1	25	0,39	64	67.00
Insatisfeitos (MPI)	-1,65	-1,79	6,70	60	-0,63	1	15	-0,14	71	67,00
,		-0,26	5,65	39	-1,17	0	15	0,47	63	
		-0,09	5,78	36	-0,91	0	11	-0,55	65	
		0,21	5,85	63	-1,16	0	37	-1,10	56	
Pouco Insatisfeitos	0,35	0,25	5,74	67	-0,98	0	35	-2,82	73	64,50
(PI)		0,45	5,85	32	-0,97	0	37	-0,61	56	
Insatisfeitos	0,62	0,59	6,11	65	-0,20	0	38	1,01	59	67,00
(I)		0,64	5,18	52	2,78	0	43	-0,02	75	
		0,97	5,70	54	-0,56	0	43	-0,30	73	
		0,99	5,65	39	0,38	0	15	-0,23	63	
		1,03	5,85	33	-1,16	0	12	0,58	61	
Muito Insatisfeitos	1,40	1,38	6,11	35	-0,26	0	3	-0,21	70	68,50
(MI)	1,40	1,55	6,11	61	2,28	0	38	0,96	59	00,50
		1,68	5,74	35	0,72	0	35	-0,63	73	
		1,75	6,08	58	1,91	0	20	7,24	68	
		1,88	5,26	27	4,13	0	12	-1,09	81	
Média de todos			5,90	51,15	0,00	0,25	26,70	0,00		
Média MPI + PI	-0,65		6,03	56,40	-1,00	0,50	27,50	-0,73		65,75
Média I + MI	1,01		5,78	45,90	1,00	0	25,90	0,73		67,75
		Nível de Insatisfaçã o com o Ruído de Impacto	Log Preço (Médi a I + MI)	Idade entrev istado (Médi a I + MI)	Percepç ão do Ruído no Present e (Média I + MI)	Idade >80 + Preço >2200 (Médi a I + MI)	Idade Edifíci o (Médi a I + MI)	Baixa Qualid ade Ambie ntal (Médi a I + MI)	$L'_{nT,w}$	
		0,45	5,78	45,90	1,00	0,00	25,90	0,73	53	

Tabela 33 - Saída do Minitab para o modelo 11 como resposta o Nível de Insatisfação do Ruído de Impacto de Piso (Q25+Q17+Q15)

Regression Analysis: Q25+Q17+Q15 versus LnTw; Idade>80 + p; Log_preço ap; Idade entrev; ...

Analysis of Variance

Source	DF	Adj SS	Adj MS	F-Value	P-Value
Regression	6	49,3741	8,2290	31,39	0,000
LnTw	1	2,5964	2,5964	9,90	0,008
Idade entrevistado	1	0,9403	0,9403	3 , 59	0,081
Log_preço apto.	1	1,5115	1,5115	5 , 77	0,032
Idade>80 + preço>2200	1	23,5856	23,5856	89 , 98	0,000
Idade edifício	1	0,3967	0,3967	1,51	0,240
Baixa_qualidade_ambiental	1	0,9262	0,9262	3,53	0,083
Error	13	3,4077	0,2621		
Total	19	52,7818			

Model Summary

```
S R-sq R-sq(adj) R-sq(pred) 0,511988 93,54% 90,56% 86,16%
```

Coefficients

Term	Coef	SE Coef	T-Value	P-Value	VIF
Constant	-10,04	3,89	-2,58	0,023	
LnTw	0,0671	0,0213	3 , 15	0,008	1,61
Idade entrevistado	-0,01878	0,00992	-1 , 89	0,081	2,23
Log_preço apto.	1,196	0,498	2,40	0,032	2,71
Idade>80 + preço>2200	-3 , 930	0,414	-9 , 49	0,000	2,46
Idade edifício	0,0154	0,0125	1,23	0,240	2,08
Baixa qualidade ambiental	0,1176	0,0626	1,88	0,083	1,11

Regression Equation

Notas: As variáveis destacadas em amarelo têm seus valores $p \le 0,1$ (4ª coluna), o que significa que são mais significativas dentro do modelo, exceto $L'_{nT,w}$. A variável Log Preço Apto, destacada em azul, tem o sinal inverso, sendo que a insatisfação aumenta com o preço, provavelmente não pela qualidade do apartamento, mas pelo criticismo dos moradores.

Tabela 34 - Simulação para o modelo 11 em função de ${L'}_{nT,w}$

Classificaçã o do Nível de Insatisfação	Média dos grupos	Nível de Insatisfaçã o com o Ruído de Impacto	Log Preço	Idade Entrevistad o	Biaxa Qualidad e Ambienta	Idade >80 + Preço >2200	Idade Edifíci o	$L'_{nT,w}$	Média dos grupos
		-3,14	5,70	85	0,78	1	43	73	
		-2,80	5,95	81	-2,05	1	42	73	
Mode		-2,80	6,70	70	-1,68	1	15	71	
Muito Pouco	4.05	-2,49	6,34	31	0,39	1	25	64	07.00
Insatisfeitos	-1,65	-1,79	6,70	60	-0,14	1	15	71	67,00
(MPI)		-0,26	5,65	39	0,47	0	15	63	
		-0,09	5,78	36	-0,55	0	11	65	
		0,21	5,85	63	-1,10	0	37	56	
Pouco Insatisfeitos	0,35	0,25	5,74	67	-2,82	0	35	73	64,50
(PI)		0,45	5,85	32	-0,61	0	37	56	
Insatisfeitos	0,62	0,59	6,11	65	1,01	0	38	59	67,00
(1)	-,	0,64	5,18	52	-0,02	0	43	75	,
		0,97	5,70	54	-0,30	0	43	73	
		0,99	5,65	39	-0,23	0	15	63	
		1,03	5,85	33	0,58	0	12	61	
Muito	4.40	1,38	6,11	35	-0,21	0	3	70	00.50
Insatisfeitos (MI)	1,40	1,55	6,11	61	0,96	0	38	59	68,50
(,		1,68	5,74	35	-0,63	0	35	73	
		1,75	6,08	58	7,24	0	20	68	
		1,88	5,26	27	-1,09	0	12	81	
Média de todos			5,90	51,15	0,00	0,25	26,70		
Média MPI + PI	-0,65		6,03	56,40	-0,73	0,50	27,50		65,75
Média I + MI	1,01		5,78	45,90	0,73	0	25,90		67,75
		Nível de Insatisfaçã o com o Ruído de Impacto	Log Preço (Médi a I + MI)	Idade entrevistad o (Média I + MI)	Biaxa Qualidad e Ambienta I (Média I + MI)	Idade >80 + Preço >2200 (Médi a I + MI)	Idade Edifíci o (Médi a I + MI)	$L'_{nT,w}$	
		0,45	5,78	45,90	0,73	0,00	25,90	59	
		-,	٠,٠٠٠		-,	-,	-,		

O primeiro modelo 1 (Tabs. 29 e 30), apresentou um valor de $L'_{nT,w}$ muito baixo, sendo 40dB e, portanto, incoerente em relação aos níveis estabelecidos para o ruído de impacto de pisos. Já os modelos 4 e 11 (Tabs. 31 a 34), apresentaram valores de 53 e 59dB respectivamente, e bastante consistentes em relação aos níveis estabelecidos como mínimos por diversas regulamentações internacionais já apresentadas. Em relação a estes dois modelos, pôde-se observar que a variável $L'_{nT,w}$, muito importante no modelo para o cálculo, ficou mais significativa, apesar do pequeno aumento do Valor-P de algumas variáveis, e uma consequente diminuição dos valores VIF de todas as variáveis envolvidas.

Portanto, foi definido o último modelo de regressão, representado pela Eq. (4.12), como o que melhor descreve a variável dependente Nível de Insatisfação com o Ruído de Impacto de Piso, conforme justificado anteriormente. Este modelo é muito próximo do modelo 4, que tem adicionalmente a variável Percepção do Ruído no Presente. Apesar desta variável ser significativa (Valor-P < 0,05) no modelo, é possível que esteja competindo com as variáveis $L'_{nT,w}$ e Baixa Qualidade Ambiental: os valores dos parâmetros destas variáveis mudam sensivelmente entre os dois modelos. Isto possivelmente pelo ruído no presente ter sido decomposto adequadamente entre o ruído aéreo (Baixa Qualidade Ambiental) e Nível de Pressão Sonora Padronizado Ponderado de Impacto ($L'_{nT,w}$).

Nível de Insatisfação do Ruído de Impacto de Piso =
$$-10,04 + (4.12)$$

0,0671 ($L'_{nT,w}$) - 0,01878 (Idade do Entrevistado) + 1,196 (Log Preço Apto)
- 3,930 (Idade>80+Preço>2200) + 0,0154 (Idade Edifício) + 0,1176 (Baixa Qualidade Ambiental)

Com relação aos valores de $L'_{nT,w}$ medidos, já exposto na Tab. 8 do item 4.1.1, 50% das edificações ensaiadas foram classificadas com nível de desempenho mínimo, enquanto 42,86% classificadas com nível de desempenho intermediário. Apenas 7,14%, o que significa apenas uma, não atendeu à norma brasileira. Nenhuma delas alcançou o nível superior, estabelecido abaixo de 55dB.

Ainda, pelas Tabs. 29, 31 e 33 de simulações dos modelos de regressão, é possível observar que os moradores classificados como "muito insatisfeitos" (MI) e "insatisfeitos" (I) abrangem praticamente toda a faixa dos valores de $L'_{nT,w}$ medidos, ou seja, de 59dB (segundo menor valor

medido) a 81dB (maior valor medido), o que demonstra a real insatisfação dos mesmos em relação aos níveis de ruído de impacto de pisos em suas edificações.

A fim de se entender um pouco mais sobre os níveis de insatisfação dos usuários, através do modelo de regressão, foram calculados os níveis de insatisfação relativos aos valores de $L'_{nT,w}$ estabelecidos como mínimos para os limites de desempenho brasileiros, para alguns países mais restritivos, para a média dos I + MI da amostra e para todas as classificações estabelecidas pela FHA dos EUA (Tabs. 35 a 38) (Figs. 44 e 45). Os mesmos valores das simulações foram adotados para as variáveis independentes, a média do grupo dos I + MI.

Tabela 35 - Níveis de insatisfação em relação a alguns	limites de $L'_{nT,w}$
--	------------------------

	$L'_{nT,w}$	Log Preço (Média I + MI)	Idade entrevistad o (Média I + MI)	Baixa Qualidade Ambiental (Média I + MI)	Idade>80 + Preço>2200 (Média I + MI)	Idade Edifício (Média I + MI)	Nível de Insatisfação com o Ruído de Impacto de Pisos
Média dos I + MI da amostra	67,8						1,04
Limite de menor desempenho no Brasil - Mínimo (M)	80						1,86
Limite de desempenho intermediário no Brasil - Intermediário (I)	65					25,90	0,86
Limite de maior desempenho no Brasil - Superior (S)	55	5,78	45,9	0,73	0		0,18
Limite nos EUA Grad. 3	62						0,65
Limite nos EUA Grad. 2	58						0,39
Limite nos EUA Grad. 1 e Canadá	55						0,18
Limite na Áustria	48						-0,28

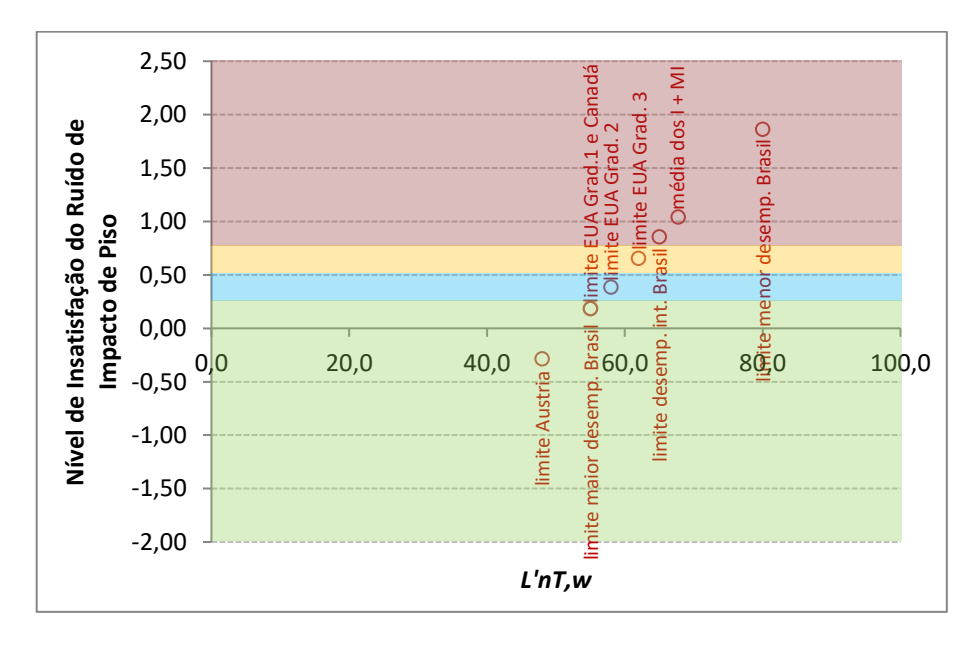


Figura 44 - Gráfico dos níveis de insatisfação em relação a alguns limites de $L'_{nT,w}$

Notas: A área sombreada vermelha destaca os entrevistados considerados como Muito Insatisfeitos (MI) em relação ao nível de ruído de impacto de piso. A área sombreada laranja representa os entrevistados considerados como Insatisfeitos (I), a área sombreada azul os Pouco Insatisfeitos (PI) e a área sombreada verde os Muito Pouco Insatisfeitos (MPI). Foram considerados os limites mínimos para a situação Quarto sobre Quarto conforme cada classificação de graduação das edificações estabelecidas pela FHA.

Tabela 36 - Níveis de insatisfação em relação a limites de $L'_{nT,w}$ da FHA - Grad. 1

Relação	entre an	nbientes	IIC Gra	<i>L'_{nT,w}</i>	Log Preço (Média I + MI)	Idade Entrevis tado (Média I + MI)	Baixa_Qu alidade_A mbiental (Média I + MI)	Idade >80 + Preço >2200 (Médi a I + MI)	Idade Edifício (Média I + MI)	Nível de Insatisf ação com o Ruído de Impacto de Pisos
Quarto	acima de	Quarto	55	55						0,18
Sala Estar	acima de	Quarto	60	50						-0,15
Cozinha	acima de	Quarto	65	45						-0,49
Sala Íntima	acima de	Quarto	65	45						-0,49
Corredor	acima de	Quarto	65	45						-0,49
Quarto	acima de	Sala Estar	55	55						0,18
Sala Estar	acima de	Sala Estar	55	55						0,18
Cozinha	acima de	Sala Estar	60	50						-0,15
Sala Íntima	acima de	Sala Estar	62	48						-0,28
Corredor	acima de	Sala Estar	60	50						-0,15
Quarto	acima de	Cozinha	52	58	5,78	45,9	0,73	0	25,90	0,39
Sala Estar	acima de	Cozinha	55	55						0,18
Cozinha	acima de	Cozinha	55	55						0,18
Banheiro	acima de	Cozinha	55	55						0,18
Sala Íntima	acima de	Cozinha	60	50						-0,15
Corredor	acima de	Cozinha	55	55						0,18
Quarto	acima de	Sala Íntima	50	60						0,52
Sala Estar	acima de	Sala Íntima	52	58						0,39
Cozinha	acima de	Sala Íntima	55	55						0,18
Banheiro	acima de	Banheiro	52	58						0,39
Corredor	acima de	Corredor	50	60						0,52

<u>Graduação 1</u> - recomendado para edificações localizadas em áreas residenciais urbanas silenciosas, com Ruído Ambiente noturno no exterior da edificação entre 35dB(A) e 40dB(A) ou inferior. Recomenda-se também, a utilização desse critério em edifícios de apartamentos onde se deseja o máximo de isolação sonora, independentemente da localização da edificação.

Tabela 37 - Níveis de insatisfação em relação a limites de $L'_{nT,w}$ da FHA - Grad. 2

Relação	entre an	nbientes	IIC Gra	<i>L'_{nT,w}</i>	Log Preço (Médi a I + MI)	Idade Entrevis tado (Média I + MI)	Baixa_Qu alidade_A mbiental (Média I + MI)	Idade >80 + Preço >2200 (Médi a I + MI)	Idade Edifício (Média I + MI)	Nível de Insatisf ação com o Ruído de Impacto de Pisos
Quarto	acima de	Quarto	52	58						0,39
Sala Estar	acima de	Quarto	57	53						0,05
Cozinha	acima de	Quarto	62	48						-0,28
Sala Íntima	acima de	Quarto	62	48						-0,28
Corredor	acima de	Quarto	62	48						-0,28
Quarto	acima de	Sala Estar	52	58						0,39
Sala Estar	acima de	Sala Estar	52	58						0,39
Cozinha	acima de	Sala Estar	57	53						0,05
Sala Íntima	acima de	Sala Estar	60	50						-0,15
Corredor	acima de	Sala Estar	57	53						0,05
Quarto	acima de	Cozinha	50	60	5,78	45,9	0,73	0	25,9	0,52
Sala Estar	acima de	Cozinha	52	58						0,39
Cozinha	acima de	Cozinha	52	58						0,39
Banheiro	acima de	Cozinha	52	58						0,39
Sala Íntima	acima de	Cozinha	58	52						-0,02
Corredor	acima de	Cozinha	52	58						0,39
Quarto	acima de	Sala Íntima	48	62						0,65
Sala Estar	acima de	Sala Íntima	50	60						0,52
Cozinha	acima de	Sala Íntima	52	58						0,39
Banheiro	acima de	Banheiro	50	60						0,52
Corredor	acima de	Corredor	46	64						0,79

<u>Graduação 2</u> - recomendado para edificações localizadas em áreas residenciais urbanas medianamente silenciosas, com Ruído Ambiente noturno no exterior da edificação entre 40dB(A) e 45dB(A).

Tabela 38 - Níveis de insatisfação em relação a limites de $L'_{nT,w}$ da FHA - Grad. 3

Relação	entre an	nbientes	IIC Gra	<i>L'_{nT,w}</i> ad. 3	Log Preço (Médi a I + MI)	Idade Entrevis tado (Média I + MI)	Baixa_Qu alidade_A mbiental (Média I + MI)	Idade >80 + Preço >2200 (Médi a I + MI)	Idade Edifício (Média I + MI)	Nível de Insatisf ação com o Ruído de Impacto de Pisos
Quarto	acima de	Quarto	48	62						0,65
Sala Estar	acima de	Quarto	53	57						0,32
Cozinha	acima de	Quarto	58	52						-0,02
Sala Íntima	acima de	Quarto	58	52						-0,02
Corredor	acima de	Quarto	58	52						-0,02
Quarto	acima de	Sala Estar	48	62						0,65
Sala Estar	acima de	Sala Estar	48	62						0,65
Cozinha	acima de	Sala Estar	53	57						0,32
Sala Íntima	acima de	Sala Estar	56	54						0,12
Corredor	acima de	Sala Estar	53	57						0,32
Quarto	acima de	Cozinha	46	64	5,78	45,9	0,73	0	25,9	0,79
Sala Estar	acima de	Cozinha	48	62						0,65
Cozinha	acima de	Cozinha	48	62						0,65
Banheiro	acima de	Cozinha	48	62						0,65
Sala Íntima	acima de	Cozinha	54	56						0,25
Corredor	acima de	Cozinha	48	62						0,65
Quarto	acima de	Sala Íntima	46	64						0,79
Sala Estar	acima de	Sala Íntima	48	62						0,65
Cozinha	acima de	Sala Íntima	50	60						0,52
Banheiro	acima de	Banheiro	48	62						0,65
Corredor	acima de	Corredor	45	65						0,86

<u>Graduação 3</u> - recomendado para edificações localizadas em áreas com elevado Ruído Ambiente noturno no exterior da edificação, sendo 55dB(A) ou mais, e é considerada a menor isolação admissível entre ambientes de diferentes unidades de uma edificação.

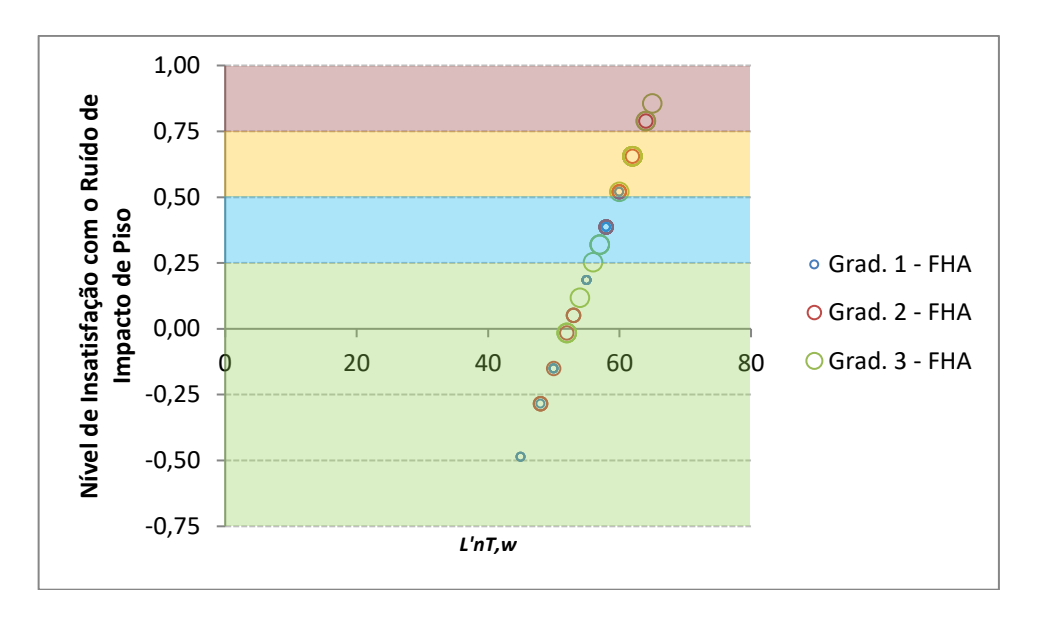


Figura 45- Gráfico de níveis de insatisfação em relação a limites de $L'_{nT,w}$ da FHA - Grad. 1, 2 e 3

Pôde-se observar pela Tab. 34 e Fig. 44 que os limites de menor desempenho e desempenho intermediário brasileiros foram classificados como MI em relação aos valores de $L'_{nT,w}$, bem com o limite mínimo para as edificações de Graduação 3 da FHA dos EUA classificado como I, estando esses acima do valor de $L'_{nT,w}$ calculado como sendo "mais satisfatório". O limite para a edificação de Graduação 2 da FHA foi classificado como PI, estando abaixo do valor de $L'_{nT,w}$ calculado de 59dB. Já os limites de desempenho superior brasileiro, para as edificações de Graduação 3 da FHA, para o estabelecido pela NBCC do Canadá e para a Áustria, foram classificados como MPI, também abaixo do valor de $L'_{nT,w}$ calculado.

De acordo com as Tabs. 36 a 38 e com gráfico da Fig. 45, praticamente todos os critérios foram classificados como MPI para as edificações de Graduação 1 da FHA, alguns como sendo PI e apenas um como I. Para a Gradução 2, a maioria foi classificada também como MPI e PI, quatro como I e um como MI. Já para a Graduação 3, verificamos uma maioria de critérios classificados como I, três como MI e MPI, e cinco como PI.

Vale ressaltar que estas classificações para os limites da FHA foram dadas dentro de um contexto comparativo com a realidade subjetiva brasileira e que adota outras tipologias de

sistemas construtivos diferentes dos EUA, mas acredita-se que a percepção auditiva e a referência dos usuários em relação ao incômodo são as mesmas. Estes índices americanos são adotados há quase cinquenta anos, sem terem sido alterados durante este período, portanto bem consistentes, e foram obtidos através de uma vasta pesquisa com os moradores.

Outra observação importante se refere aos intervalos dos limites estabelecidos pela FHA. Como exemplo da situação Quarto sobre Quarto, objeto deste trabalho, a mesma estabelece 55, 58 e 62dB para as diferentes graduações de edifícios em relação aos níveis de Ruído Ambiente externos, ou seja, uma diferença de apenas 3 e 4dB. Ao contrário, a norma brasileira estabelece intervalos de 14 e 9dB numa mesma classificação de desempenho, sendo portanto, bastante permissiva.

5

CONCLUSÕES

5.1. Considerações Finais

Pôde-se verificar que os critérios de desempenho de pisos quanto ao isolamento do ruído de impacto de piso praticados no Brasil e em outros países são diversos. Embora nestes sejam adotados variados sistemas construtivos, a percepção auditiva e a referência do receptor são as mesmas. Sendo assim, considera-se válida a comparação entre os limites estabelecidos no Brasil e nos demais países.

Além disso, a análise subjetiva é uma ferramenta imprescindível para a determinação de um critério que atenda às expectativas de desempenho de cada comunidade.

Neste sentido, o trabalho foi desenvolvido a fim de se estabelecer critérios para uma avaliação subjetiva do incômodo gerado pelo ruído de impacto de piso, através de medições acústicas em edificações de Belo Horizonte. Paralelamente, foram caracterizados os sistemas construtivos adotados nas edificações. Com estes dados, foi possível então qualificar o desempenho acústico

dos sistemas de piso ensaiados aos níveis estabelecidos pela norma ABNT NBR 15575:2013, fazer uma comparação entre estes e os níveis adotados pelas demais regulamentações internacionais, avaliar se esses critérios são adequados à percepção dos usuários das edificações, verificar os níveis de insatisfação dos mesmos em relação ao isolamento de ruído de impacto de piso, e, ainda, propor novos critérios fundamentados na percepção de incômodo dos usuários.

Observou-se que das quatorze edificações ensaiadas, apenas seis (42,86%) foram classificadas com o nível de desempenho intermediário estabelecido pela ABNT NBR 15575:3-2013, enquanto outras sete (50%) classificadas com o nível de menor desempenho. Apenas uma (7,14%) não atendeu à norma brasileira. Portanto, nenhuma delas alcançou o nível de maior desempenho, com o $L'_{nT,w}$ igual ou abaixo de 55dB .

Sendo 55dB o limite mínimo adotado pela FHA dos EUA e a NBCC do Canadá, da mesma forma, nenhuma edificação ensaiada atendeu à estas regulamentações, nem mesmo à Áustria, que estabelece 48dB como mínimo e sendo o país mais restritivo. Pôde-se verificar que apenas uma edificação (7,14%), cujo $L'_{nT,w}$ é 56dB, atenderia aos níveis mínimos estabelecidos por cinco países além do Brasil, sendo eles Austrália, Dinamarca, Inglaterra, Irlanda e Japão. Além disso, apenas uma (7,14%) com $L'_{nT,w}$ de 59dB atenderia aos limites de quatro países (Austrália, Inglaterra, Irlanda e Japão) além do Brasil, quatro edificações (28,57%) com $L'_{nT,w}$ de 61, 63, 64 e 65dB atenderiam aos limites de dois países (Inglaterra e Irlanda) além do Brasil, e uma delas (7,14%) com $L'_{nT,w}$ de 71dB e $L'_{nT,w}$ + $C_{\rm I}$ de 62dB, atenderia ao limite de apenas um país, a Inglaterra. Vale lembrar que este país adota o índice $L'_{nT,w}$ + $C_{\rm I}$, normalmente mais restritivo pelo valor de $C_{\rm I}$ ser, muitas vezes, negativo. Dessa forma, sete amostras (50%) estariam com os limites dentro do estabelecido por este país.

Com relação aos valores de $L'_{n,w}$, também foram calculados para as edificações ensaiadas como comparação aos países que adotam este mesmo índice, apesar de não ser praticado no Brasil. Observou-se que apenas uma amostra (7,14%) com $L'_{n,w}$ de 58dB atende aos limites estabelecidos por três países como a França, Polônia e Suécia, e outra (7,14%) com $L'_{n,w}$ de 67dB e $L'_{n,w}$ + $C_{\rm I}$ de 56dB que atende somente a Suécia, que da mesma forma como a Inglaterra, adota o índice acrescendo o termo $C_{\rm I}$. As doze amostras (85,71%) restantes não atendem aos limites de $L'_{n,w}$ de nenhum país.

Com o objetivo de se verificar o nível de satisfação ou insatisfação dos usuários em relação ao nível de ruído de impacto de piso, foi criada uma variável chamada de "Nível de Insatisfação com Ruído de Impacto de Piso", através de uma combinação de variáveis utilizando a técnica PCA, a fim de se classificar os moradores. Observou-se que nenhum indivíduo está "satisfeito" com o nível de ruído de impacto de piso. A fim de melhor representar as observações e respostas, bem como de manter uma divisão equilibrada e diminuir o intervalo entre as classificações, foram então estabelecidos os limite para esta classificação dos grupos "Muito Pouco Insatisfeito" (MPI), "Pouco Insatisfeito" (PI), "Insatisfeito" (I) e "Muito Insatisfeito" (MI).

A partir dos dados obtidos nas medições, nos levantamentos e nas entrevistas, foi possível relacioná-los adotando um modelo estatístico de Regressão Linear Múltipla, a fim de se obter uma relação entre a variável resposta Nível de Insatisfação com o Ruído de Impacto de Piso e as variáveis explicativas. Para se entender melhor esta relação direta, foram feitos diagramas de dispersão e o que possibilitou tirar algumas conclusões.

Verificou-se uma possível relação negativa hipotética entre o Nível de Insatisfação e o $L'_{nT,w}$ devido ao grupo minoritário identificado na Fig. 10, item 4.2.1.1, e classificados como MPI. Devido à clara separação entre este grupo e os demais entrevistados, os valores de insatisfação tendem a apresentar uma relação negativa com o $L'_{nT,w}$ e geram uma falsa interpretação de que os "pouco insatisfeitos" moram em apartamentos onde o $L'_{nT,w}$ é maior, o que é incoerente. Além disso, os indivíduos que moram em edificios onde o Ruído Ambiente é baixo, estão mais insatisfeitos em relação ao nível de ruído de impacto de piso conforme as análises. Também observou-se que moradores de edificios mais novos estão mais insatisfeitos em relação ao nível de ruído de impacto de piso, e que aqueles que moram em edificios com menor preço de venda estão mais insatisfeitos, este muito em função do grupo minoritário destacado e classificado como MPI, moradores de apartamentos mais caros. Outras interpretações importantes são que os moradores mais novos estão mais insatisfeitos em relação ao nível de ruído de impacto de piso, e aqueles que têm mais identidade de lugar, ou seja, têm mais relação com o lugar em que vivem, são menos insatisfeitos.

No que se refere aos níveis de ruído de impacto, observou-se que as lajes cujas espessuras são maiores, apresentaram geralmente um valor de $L'_{nT,w}$ menor, uma vez que as lajes maciças têm em geral de 10 a 12cm de espessura, e portanto menores, enquanto outras tipologias

apresentam uma maior espessura incluindo o contrapiso e acabamento.. Também foi observado que apartamentos cujo preço de venda é maior obtiveram um valor de $L'_{nT,w}$ menor.

Após a verificação e análise de diversos modelos de regressão, um foi definido como sendo o que melhor descreve a variável resposta Nível de Insatisfação com o Ruído de Impacto de Piso. O mesmo foi simulado em função de $L'_{nT,w}$ e calculado o seu valor como sendo "aceitável" em relação aos níveis de insatisfação dos moradores, sendo esse 59dB. Para isso, foram adotados os valores das médias dos grupos dos MI + I para as variáveis explicativas que compõem o modelo, o que representa que o valor de 59dB encontrado para o $L'_{nT,w}$ atende a todos os grupos de usuários.

Conforme já observado, o limite do critério considerando como de menor desempenho pela ABNT NBR 15575:3-2013, $L'_{nT,w}$ de 80dB, não apresenta restrição às tipologias de sistemas construtivos praticados na grande maioria das edificações brasileiras de múltiplos pavimentos. Apesar da pequena amostragem deste trabalho não ser conclusiva quanto ao uso dos sistemas construtivos no Brasil, em geral, nestas edificações são adotadas lajes de concreto maciças com espessura superior a 8cm. Como exemplo de desempenho desta tipologia, pela Tab. 8, a edificação referente ao ensaio 7 tem uma laje maciça de 8cm de espessura e uma regularização com acabamento do piso em durafloor, juntos com 2cm de espessura, e obteve um valor de $L'_{nT,w}$ de 70dB, bem abaixo dos 80dB mínimos. Já a edificação referente ao ensaio 5, cuja laje tem 10cm de espessura, com contrapiso e acabamento do piso em tábua corrida, juntos com 4,5cm de espessura, obteve um valor de $L'_{nT,w}$ de 68dB, também muito abaixo dos 80dB mínimos. Ressaltando que uma das edificações, do ensaio 11, foi a única que não atendeu ao critério mínimo, com um $L'_{nT,w}$ de 81dB. Isto representa uma inconsistência do valor estabelecido como o limite de menor desempenho pela norma e reforça a adoção do valor de 59dB encontrado pelo modelo de regressão para o $L'_{nT,w}$, ou mesmo próximo a ele, mais adequado à percepção de incômodo dos usuários por atender a todos os grupos dos entrevistados. Além disso, este valor encontrado está muito coerente com os critérios recomendados pela FHA, bastante consolidados conforme já mencionado, o que pode ser confirmado pelos níveis de insatisfação calculados para estes critérios através do modelo de regressão, e sua classificação dentro dos grupos de usuários (Tabs. 36 a 38 e Fig. 45).

É importante ressaltar que os intervalos dos limites estabelecidos pela FHA para as diferentes graduações de edificações são pequenos, na ordem de 3 a 4dB, diferentemente da norma

brasileira, e também coerentes com os limites de nível de insatisfação estabelecidos para a classificação dentro dos grupos em relação aos valores de $L'_{nT,w}$ (Fig. 44), como representado abaixo na situação Quarto sobre Quarto:

Limite para as	Limite para as	Limite para as
edificações Grad. 1 =	edificações Grad. 2 =	edificações Grad. 3 =
55dB	58dB	62dB
Classificação grupo MPI	Classificação grupo PI	Classificação grupo I

Para que sejam alcançados desempenhos superiores, como os praticados nos países analisados, assim como pelo FHA dos EUA, é recomendada a adoção de sistemas de pisos flutuantes com materiais resilientes, como a lã de vidro entre a laje estrutural e o contrapiso. Os exemplos descritos na Tab. 1, apresentados por Ferraz (2008), ilustram diversas situações onde uma laje maciça de concreto com 10cm de espessura sob contrapiso de concreto de 5cm de espessura, com algumas composições de pisos flutuantes, atende não somente à norma brasileira com nível de maior desempenho, mas também à diversas regulamentações internacionais e ao valor encontrado de 59dB para $L'_{nT,w}$ a partir do modelo de regressão, este mais adequado à percepção de incômodo dos usuários entrevistados.

Por fim, é importante mencionar que os moradores das edificações mais populares ensaiadas (Ensaio 10 e 11), classificados como I e MI, são bastante incomodados em relação aos níveis de ruído de impacto de piso e estes bastante significativos, mas as pessoas não sabem como devem proceder para resolver o problema. Isto é bastante comum, e reforça a importância de se estabelecer um critério, ou critérios, que melhor atendam às expectativas dos usuários das edificações.

5.2. Proposta para Trabalho Futuro

Considerando que os índices de isolação iguais ou inferiores a 55dB, limite este para a classificação de maior desempenho pela norma brasileira no contexto dos sistemas construtivos adotados no país, somente serão atingidos quando houver sistemas de isolamento de impacto de piso instalados nas edificações, e que dentro da realidade brasileira, é uma situação nova. Sendo assim, sugere-se que sejam realizados ensaios em edificações que atendam a esta faixa de isolação, para melhor caracterizar as condições de "pouca insatisfação" e "muito pouca insatisfação", e para uma análise de concordância do modelo estatístico adotado.

REFERÊNCIAS BIBLIOGRÁFICAS

ASSOCIAÇÃO BRASILEIRA DE NORMAS TÉCNICAS (ABNT). *NBR 15575-3*: Edificios habitacionais de até cinco pavimentos - Desempenho - Parte 3: Requisitos para os sistemas de pisos. Brasil, 2013. 55p.

ASTM INTERNATIONAL. Annual Book of ASTM Standards E989. *ASTM E 989:* Standard Classification for Determination Impact Insulation Class (IIC). Philadelphia, PA: American Society for Testing and Materials, 1989.

BEATTY, P. Undestanding the Standardized/Non-Standardized Interviewing Controversy. *Journal of Official Statistics*, v. 11, n. 2, pp. 147-160, 1995.

BEATTY, P. C.; WILLIS, G. B. Research Synthesis: The Practice of Cognitive Interviewing. *Public Opinion Quartely*, v. 71, n. 2, pp. 287-311, 2007.

BENTO, E. F. M. A Incomodidade do Ruído: Relações com o Nível de Exposição Sonoro e Identidade de Lugar. 2011. 92f. Mestrado Integrado em Psicologia - Universidade de Lisboa, 2011.

BERENDT, R.D.; WINZER, G.E.; BURROUGHS, C.B.. Airborne, Impact and Structural Borne Noise Control in Multifamily Dwellings. Washington, D.C.: U.S. Department of Housing and Urban Development (HUD), 1967.

BISTAFA, S.R. Acústica aplicada ao controle de ruído. São Paulo: Edgar Blücher, 2006. 368p.

BODLUND, K. Alternative Reference Curves for Evaluation of the Impact Sound Insulation between Dwellings. *Journal of Sound and Vibration*, v.102, pp. 381-402, 1985.

BRADBURN, N. M.; SUDMAN, S.; WANSINK, B. *Asking Questions*. San Francisco: John Wiley & Sons, 2004. 448p.

CORNACCHIA, G. *Inverstigação in-situ do isolamento sonoro ao ruído de impacto em edificios residencias*, 2009. Dissertação (Mestrado em Arquitetura e Urbanismo) - Programa de Pós-Graduação em Arquitetura e Urbanismo, Universidade Federal de Santa Catarina, Florianópolis, 2009.

CREMER, L., HECKL, M. Structure-Borne Sound: Structural Vibrations and Sound Radiation at Audio Frequencies. 2^a ed. Berlin: Springer-Verlag, 1988. 573p.

DAVERN, W. A. Impact Noise on Two Timber Floors with Vinyl Floor Covering on Resilient Underlays. *Applied Acoustis*, v. 24, pp. 157-163, 1988.

FERRAZ, R. Atenuação de Ruído de Impacto em Pisos de Edificações de Pavimentos Múltiplos. 2008. Dissertação (Mestrado em Engenharia de Estruturas) - Programa de Pós-Graduação em Engenharia de Estruturas, Universidade Federal de Minas Gerais, Belo Horizonte, 2008.

FORD, R. D.; HOTHERSALL, D. C.; WARNOCK, A. C. C. The Impact Insulation Assessment of Covered Concrete Floors. *Journal of Sound and Vibration*, v. 33, pp. 103-115, 1974.

FOTHERGILL, L. C. Sound Insulation between Dwellings. *Applied Acoustics*, v. 24, pp. 312-334, 1988.

FOWLER, F. J. Survey Research Methods. Thousand Oaks: SAGE Publications Inc, 2009. 201p.

GALBRUN, L. Vibration Transmission through Plate/beam Structures Typical of Lightweight Buildings: Applicability and limitations of fundamental theories. *Applied Acoustics*, v. 77, pp. 587-596, 2010.

GALLUN, F. J.; DIEDESCH, A. C.; BEASLEY, R. Impacts of age on memory for auditory intensity. *Journal of Acoustic Society of America*, v. 132, pp. 944-956, 2012.

GEER, J. G. What Do Open-Ended Questions Measure? *The Public Opinion Quartely*, v. 52, n. 3, pp. 365-371, 1988.

GERGES, S. N. Y. Ruído: fundamentos e controle. Florianópolis: S. N. Y. Gerges, 1992. 600p.

GERRETSEN, E. A New System for Rating Impact Sound Insulation. *Applied Acoustics*, v. 9, 1976.

GILLJAN, M.; GRANBERG, D. Should We Take Don't Know for an Answer? *The Public Opinion Quartely*, v. 57, n.3, pp. 348-357, 1993.

GIMÉNEZ, A.; CIBRIÁN, R. M.; GIRÓN, S.; ZAMARREÑO, T.; SENDRA, J. J.; VELA, A.; DAUMAL, F. Questionnaire Suervey to Qualify the Acoustics of Spanish Concert Halls. *Acta Acustica United with Acustica*, v. 97, pp. 949-965, 2011.

GRIMWOOD, C. Complaints about Poor Sound Insulation between Dwellings in England and Wales. *Applied Acoustics*, v. 52, n. 3/4, pp. 211-223, 1997.

HOPKINS, C. Sound Insulation. Burlington: Elsevier Ltd., 2007. 622p.

INTERNATIONAL ORGANIZATION FOR STANDARDIZATION (ISO). *ISO 140-7:* Acoustics: measurement of sound insulation in buildings and of building elements. Part VII: Field measurements of impact sound insulation of floors. Genève, Switzerland, 1998. 17p.

INTERNATIONAL ORGANIZATION FOR STANDARDIZATION (ISO). *ISO 354*: Acoustics: Measurement of sound absorption in a reverberation room. Genève, Switzerland, 2003. 21p.

INTERNATIONAL ORGANIZATION FOR STANDARDIZATION (ISO). *ISO 717-2:* Acoustics: rating of sound insulation in buildings and of building elements. Part II: Impact sound insulation. Genève, Switzerland, 1996. 12p.

JEON, J. Y.; LEE, P. J.; KIM, J. H.; YOO, S. Y. Subjective evaluation of hearvy-weight floor impact sounds in relation to spatial characteristics. *Journal of Acoustic Society of America*, v. 125, pp. 2987-2994, 2009.

JOSSE, R. How to Assess the Sound-reducing Propperties for Floors to Impact Noise (Footsteps). *Applied Acoustics*, v. 5, 1972.

KIMURA, S.; INOUE, K. Practical Calculation of Floor Impact Sound by Impedance Method. *Applied Acoustics*, v. 26, pp. 263-292, 1989.

LANGDON, F. J.; BULLER, I. B.; SCHOLES, W. W. Noise from Neighbours and the Sound Insulation of Party Floors and Walls in Flats. *Journal of Sound and Vibration*, v. 88, pp. 243-270, 1983.

MADERUELO-SANZ, R.; MARTÍN-CASTIZO, M.; VÍLCHEZ-GÓMEZ, R. The Performance of Resilient Layers Made from Recycled Rubber Fluff Impact Noise Reduction. *Applied Acoustics*, v. 71, pp. 823-828, 2011.

MEHTA, M.; JOHNSON, J.; ROCAFORT, J. *Architectural Acoustics: principles and design.* New Jersey: Prentice Hall, 1999. 445p.

MINGOTI, S.A. Análise de Dados Através de Métodos de Estatística Multivariada: Uma Abordagem Aplicada. 2ª reimpressão. Belo Horizonte: Editora UFMG, 2013. 295p.

MONTGOMERY, D. C.; RUNGER, G. C. Estatística Aplicada e Probabilidade para Engenheiros. Rio de Janeiro: John Wiley & Sons, Inc, 2011. 521p.

MORETIN, P. A.; BUSSAB, W. O. *Estatística Básica*. 5ª ed. São Paulo: Editora Saraiva, 2004. 526p.

NADER ELHAJJ, P. E. *Light Stell Frame Housing. Review of Fire and Acoustic Performance.*Brussels, Belgium. International Iron and Steel Institute (IISI), 2002.

NEVES E SOUSA, A.; GIBBS, B. M. Low frequency impact sound transmission in dwellings through homogeneous concrete floors and floating floors. *Applied Acoustics*, v. 72, pp. 177-189, 2011.

PEDROSO, M. A. T. Estudo Comparativoentre as Modernas Composições de Pisos Flutuantes quanto ao Desempenho no Isolamento ao Ruído de Impacto. 2007. Dissertação (Mestrado em Engenharia Civil) - Programa de Pós-Graduação em Engenharia Civil, Universidade Federal de Santa Maria, RS, 2007.

PEREYON, D. Estudo de Tipologias de Lajes quanto ao Isolamento ao Ruído de Impacto. 2008. Dissertação (Mestrado em Engenharia Civil) - Programa de Pós-Graduação em Engenharia Civil, Universidade Federal de Santa Maria, RS, 2008.

SEWELL, E. C.; SAVAGE, J. E. Effect of Associated Walls on the Sound Insulation of Concrete Party Floors. *Applied Acoustics*, v. 20, pp. 297-315, 1987.

SHI, W.; JOHANSSON, C.; SUNDBÄCK, U. An investigation of the characteristics of impact sound sources for impact sound insulation measurement. *Applied Acoustics*. v. 51, pp. 85-108, 1997.

SILVA, Pérides. Acústica Arquitetônica & Condicionamento de Ar. Belo Horizonte: EDTAL, 2002.

SIMÕES, S.; PEREIRA, M. A. M. A Arte e a Ciência de Fazer Perguntas. *Desigualdades Sociais, Redes de Sociabilidade e Participação Política,* Neuma Aguiar (org.), Belo Horizonte: Editora UFMG, 2007.

SIMONS, M. W.; WATERS, J. R. *Sound Control in Buildings*. Oxford: Blackwell Publishing Ltd., 2004.

SIRKEN, M. G.; HERRMANN, D. J.; SCHECHTER, S.; SCHWARZ, N.; TANUR, J. M.; TOURANGEAU, R. *Cognition and Survey Research*. Hardcover, 1999. 395p.

SOUZA, L.; ALMEIDA, M.; BRAGANÇA, L. *Bê-á-bá da acústica arquitetônica: ouvindo a arquitetura*. São Carlos, SP: EdUFSCar, 2006.149p.

STEWART, M. A.; CRAIK, R. J. M. Impact Sound Transmission through a Floating Floor on a Concrete Slab. *Applied Acoustics*, v. 59, pp. 353-372, 2000.

SUCHMAN, L.; JORDAN, B. International Troubles in Face-to-Face Survey Interviews. *Journal of American Statistical Association*, v. 85, n. 409, pp.232-241, 1990.

SUDMAN, S. BRADBURN, N. M.; SCHWARZ, N. *Thinking About Answers The Application of Cognitive Process to Survey Methodology*. San Francisco: Jossey-Bass Publishers, 1996. 304p.

TADEU, A.; PEREIRA, A.; GODINHO, L.; ANTÓNIO, J. Prediction of airborne sound and impact sound insulation provided by single and multilayer systems using analytical expressions. *Applied Acoustics*, v. 68, pp. 17-42, 2007.

TOURANGEAU, R.; SMITH, T. W. Asking Sensitive Questions: The Impact of Data Collection Mode, Question Format, and Question Context. *The Public Opinion Quartely*, v. 60, n. 2, pp. 275-304, 1996.

UTLEY, W. A.; CAPPELEN, P. The Sound Insulation of Wood Joinst Floors on Timber Frame Constructions. *Applied Acoustics*, v. 11, 1978.

VIGRAN, T. E. Building Acoustics. New York: Taylor & Francis, 2008. 362p.

WARD, F. L.; RANDALL, K. E. Investigation of the Sound Isolation of Concrete Slab Floors. *Journal of Sound ando Vibratin*, v. 3, pp. 205-215, 1966.

ZHANG, M.; KANG, J.; JIAO, F. A Social Survey on the Noise Impact in Open-plan Working environments in China. *Science of the Total Environment*, v. 483, pp. 517-526, 2012.

ANEXOS

ANEXO A - Plantas dos ambientes emissores e receptores ensaiados e Cortes dos pisos ensaiados para cada edificação (conforme ISO 140-7: 1998)

ANEXO B - Gráficos das medições de ruído de impacto de piso - índices $L'_{nT,w}$ e $L'_{n,w}$ (conforme ISO 140-7: 1998 e ISO 717-2: 1996)

ANEXO C - Fotos dos ambientes emissores e receptores ensaiados para cada edificação (conforme ISO 140-7: 1998)

ANEXO D - Questionário aplicado para avaliação do nível de insatisfação do ruído de impacto de piso (Metodologia *Survey*)

ANEXO E - Folheto Explicativo da Pesquisa e Carta aos Moradores distribuídos nos edifícios ensaiados

ANEXO F - Certificados de calibração dos equipamentos utilizados nas medições

ANEXO A

Plantas dos ambientes emissores e receptores ensaiados e Cortes dos pisos ensaiados para cada edificação (conforme ISO 140-7: 1998)

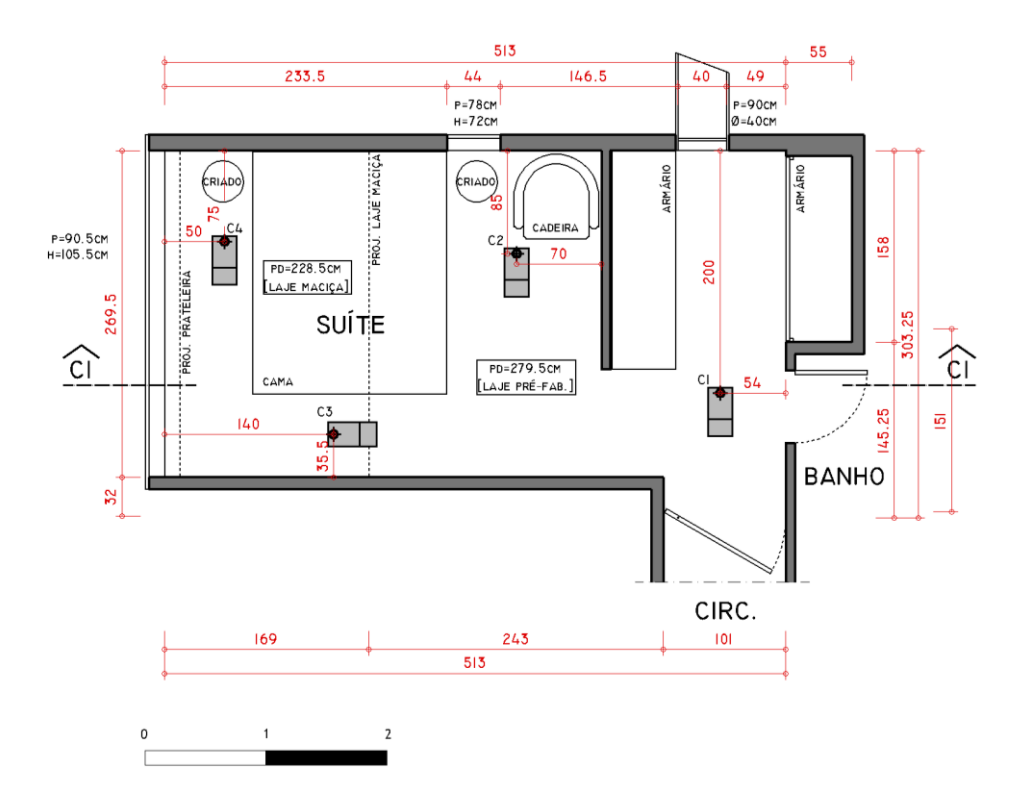


Figura A.1 - Planta ambiente emissor (pavto. superior) - Ensaio 1

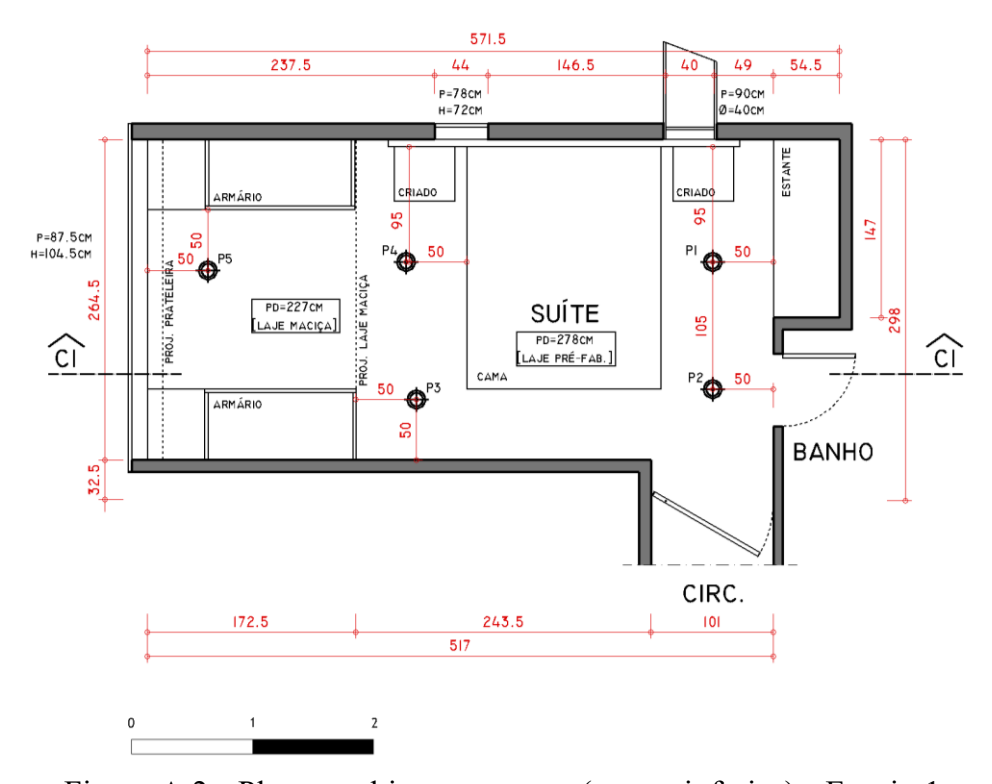


Figura A.2 - Planta ambiente receptor (pavto. inferior) - Ensaio 1

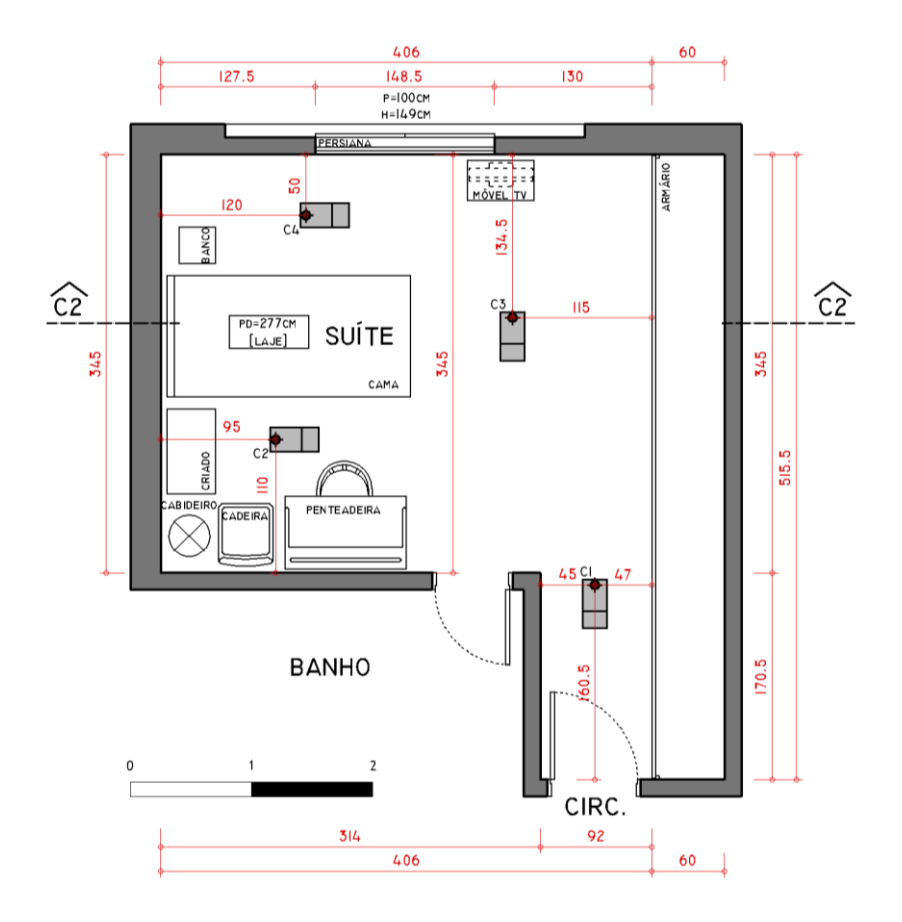


Figura A.3 - Planta ambiente emissor (pavto. superior) - Ensaio 2

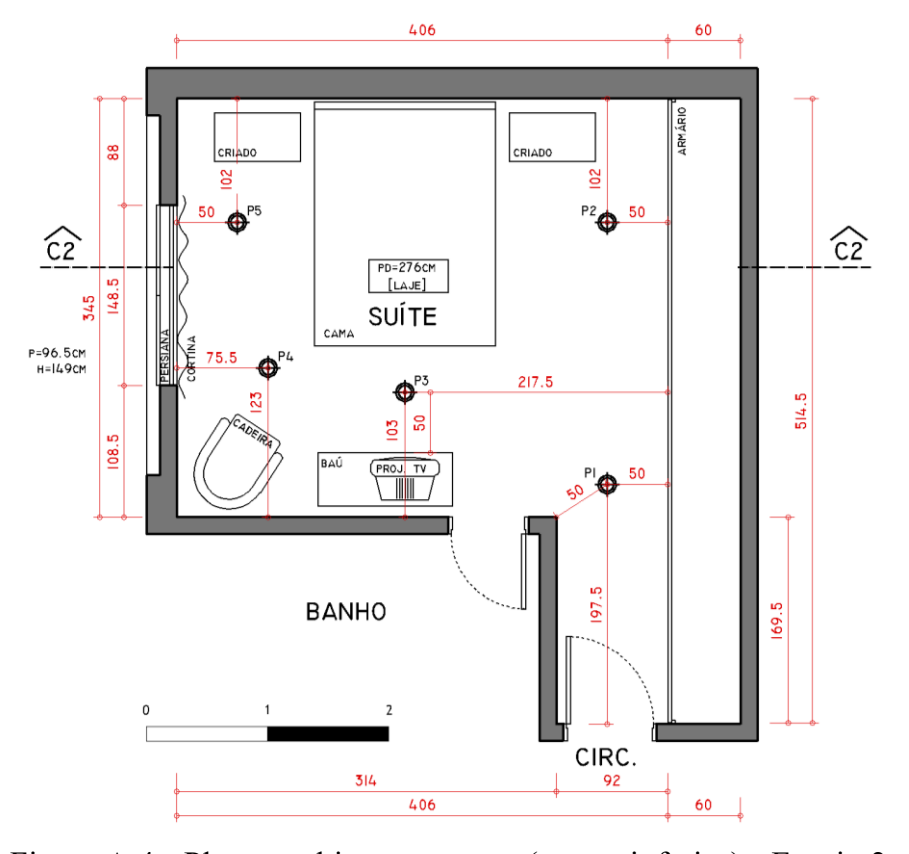


Figura A.4 - Planta ambiente receptor (pavto. inferior) - Ensaio 2

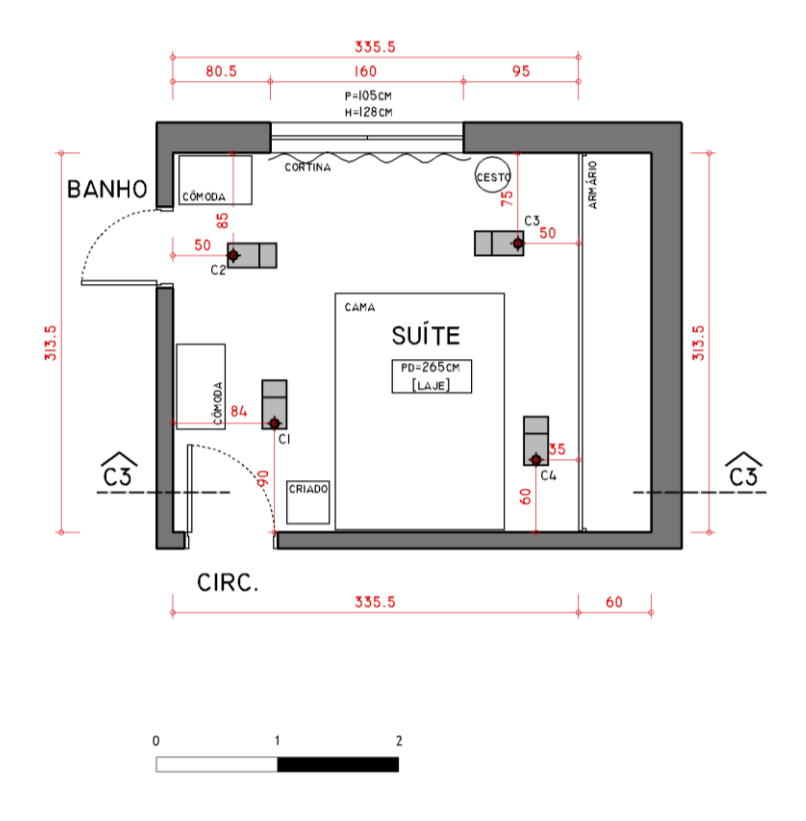


Figura A.5 - Planta ambiente emissor (pavto. superior) - Ensaio 3

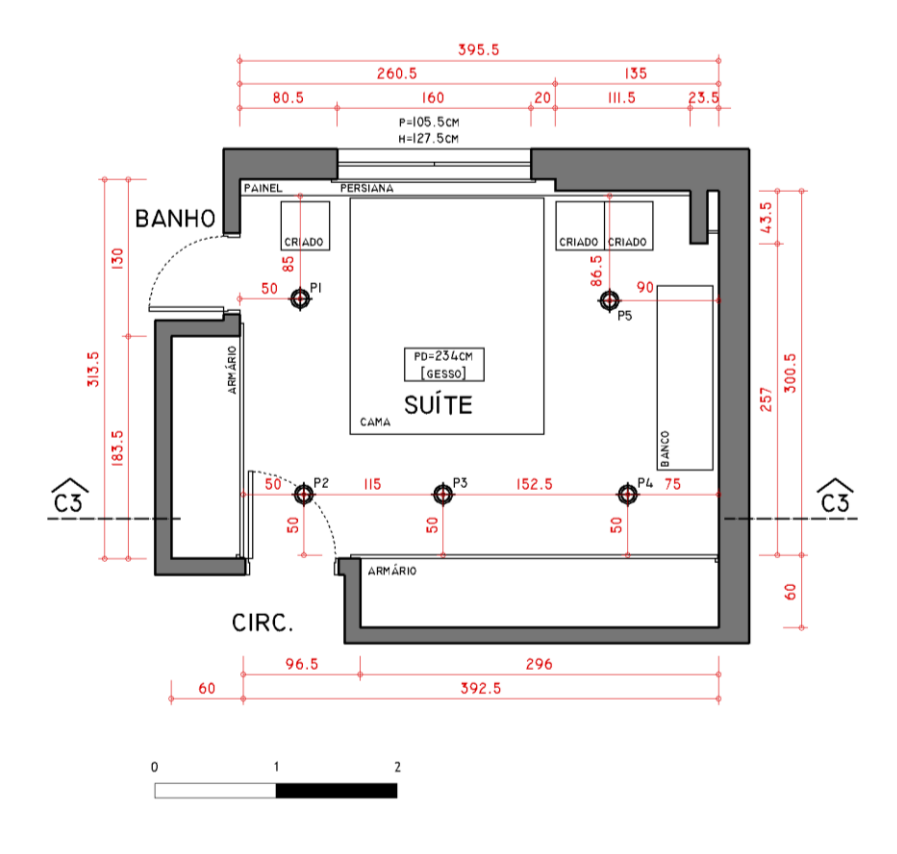


Figura A.6 - Planta ambiente receptor (pavto. inferior) - Ensaio 3

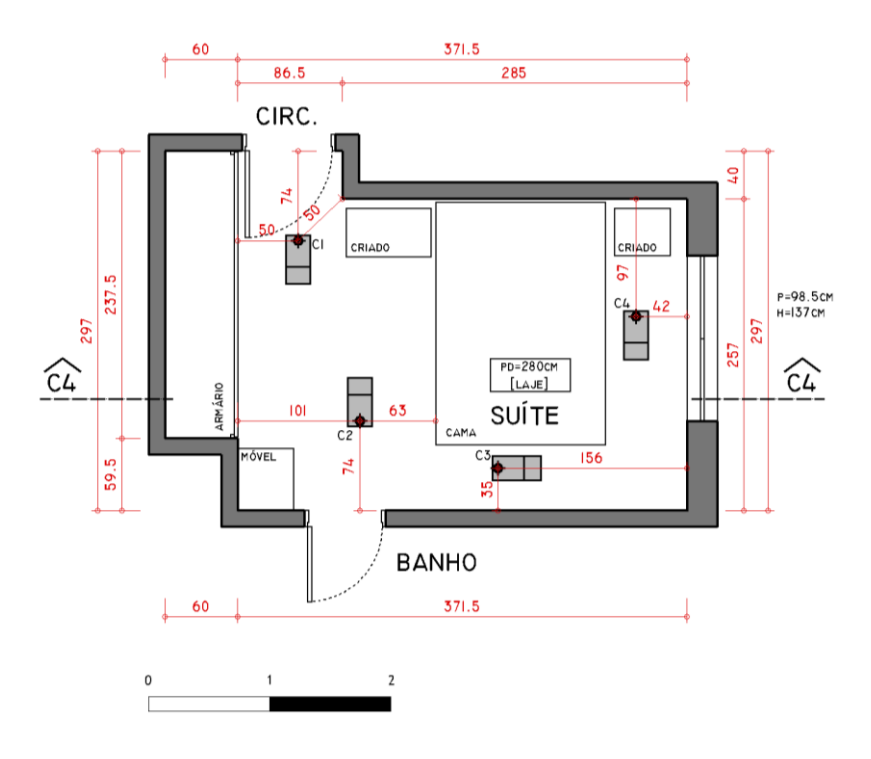


Figura A.7 - Planta ambiente emissor (pavto. superior) - Ensaio 4

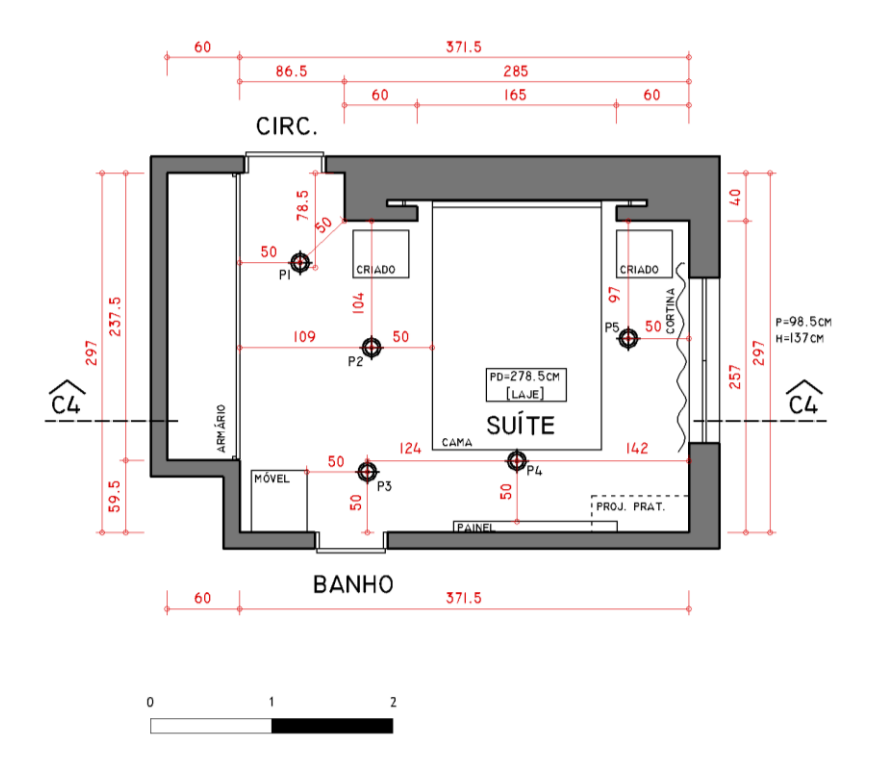


Figura A.8 - Planta ambiente receptor (pavto. inferior) - Ensaio 4

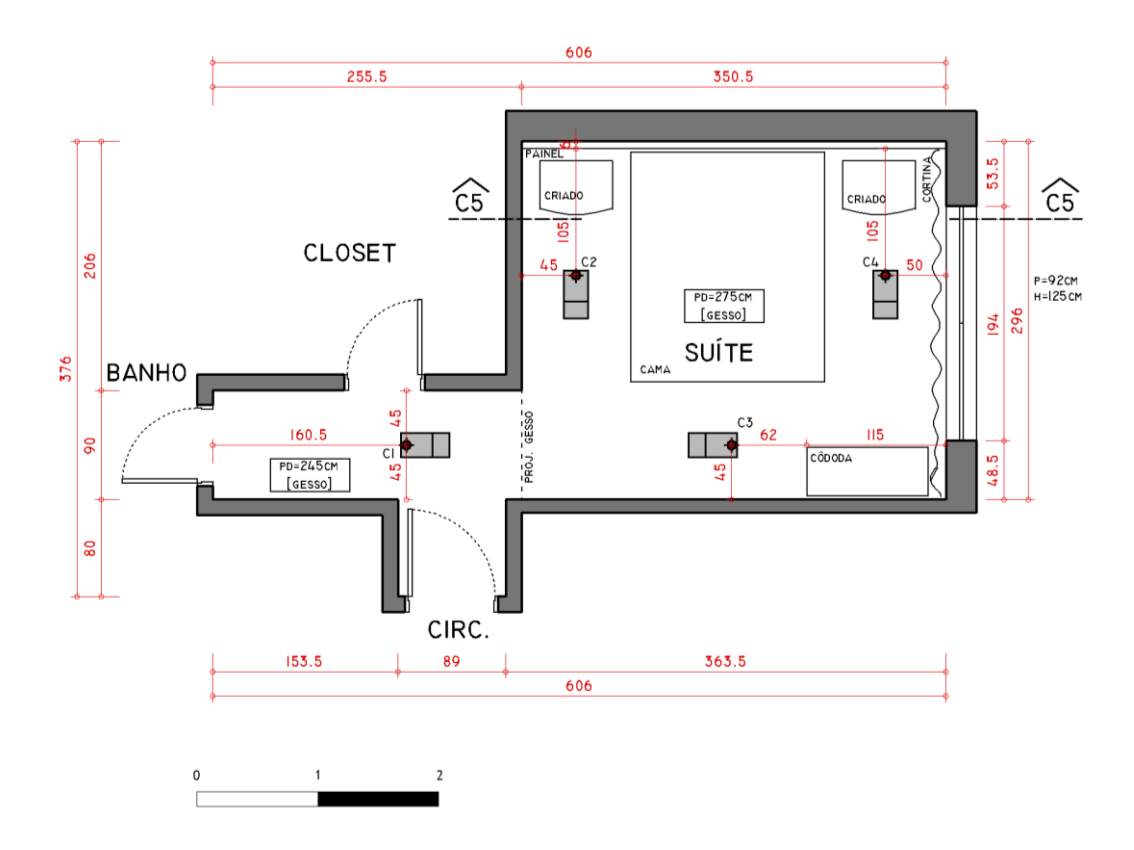


Figura A.9 - Planta ambiente emissor (pavto. superior) - Ensaio 5

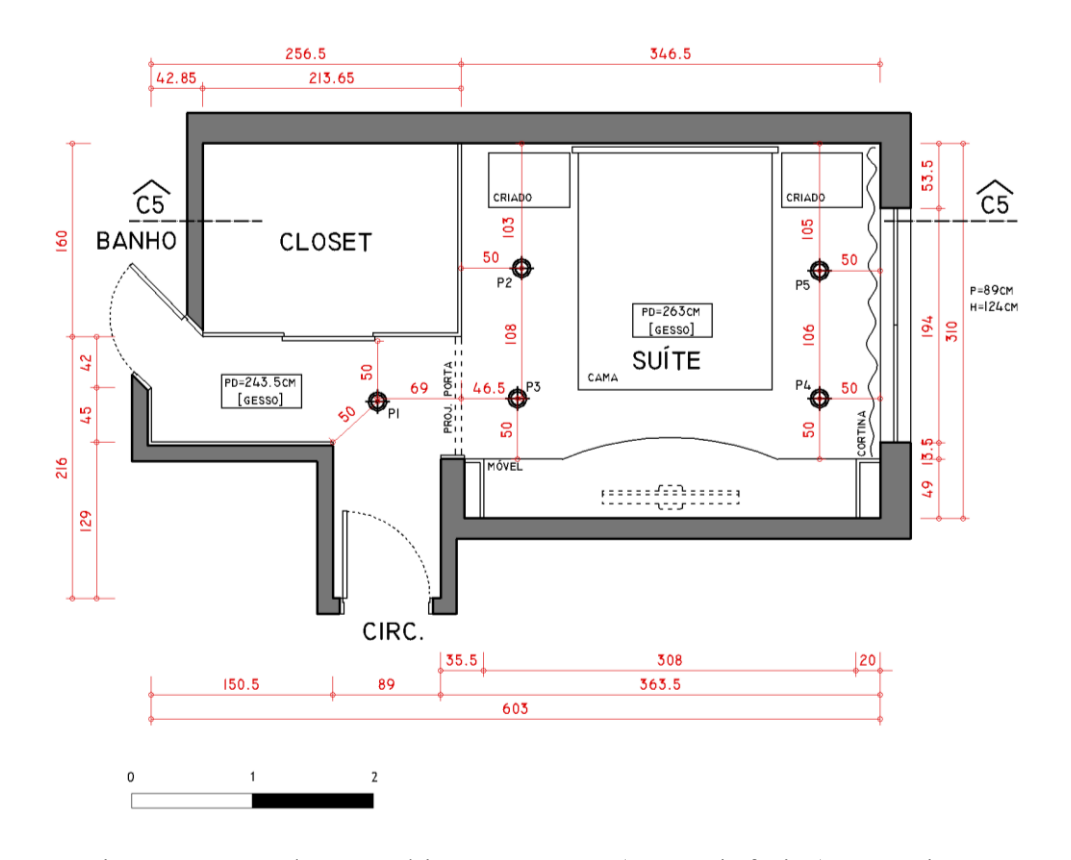


Figura A.10 - Planta ambiente receptor (pavto. inferior) - Ensaio 5

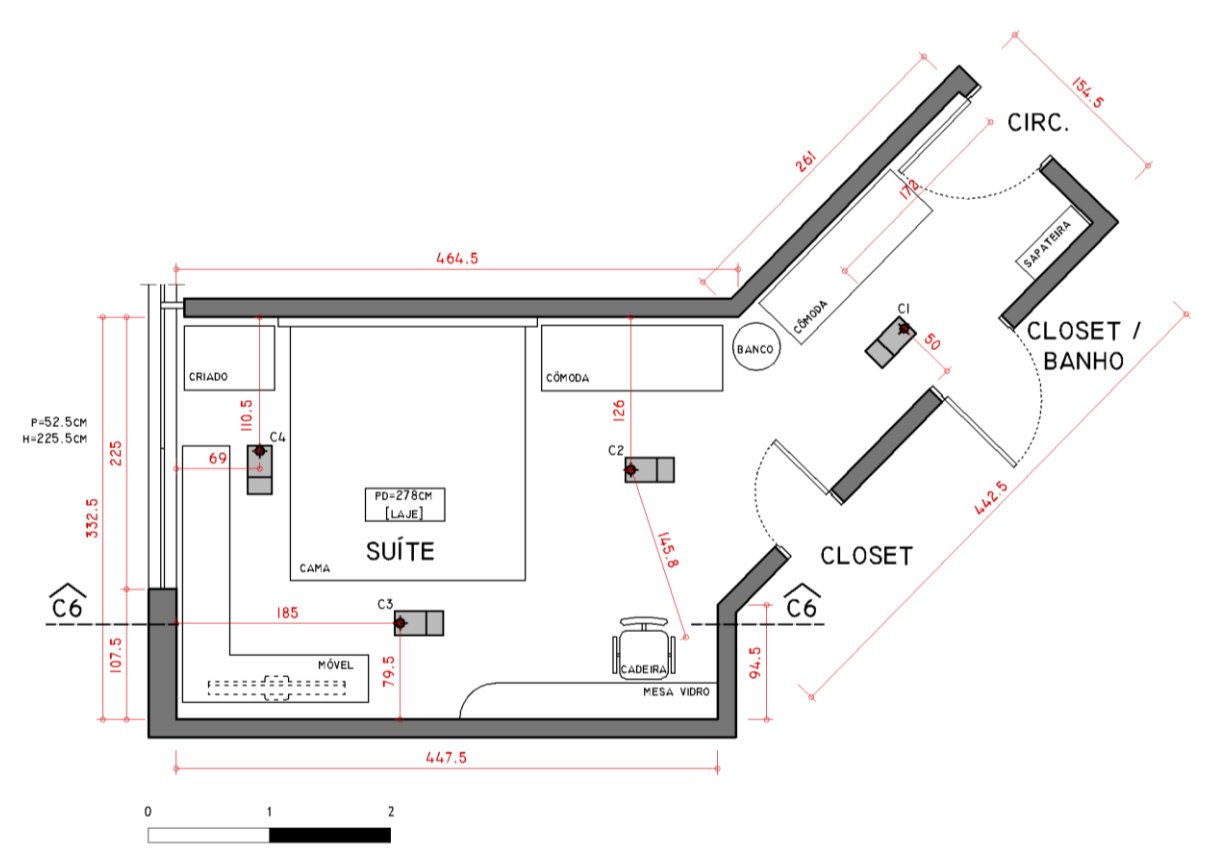


Figura A.11 - Planta ambiente emissor (pavto. superior) - Ensaio 6

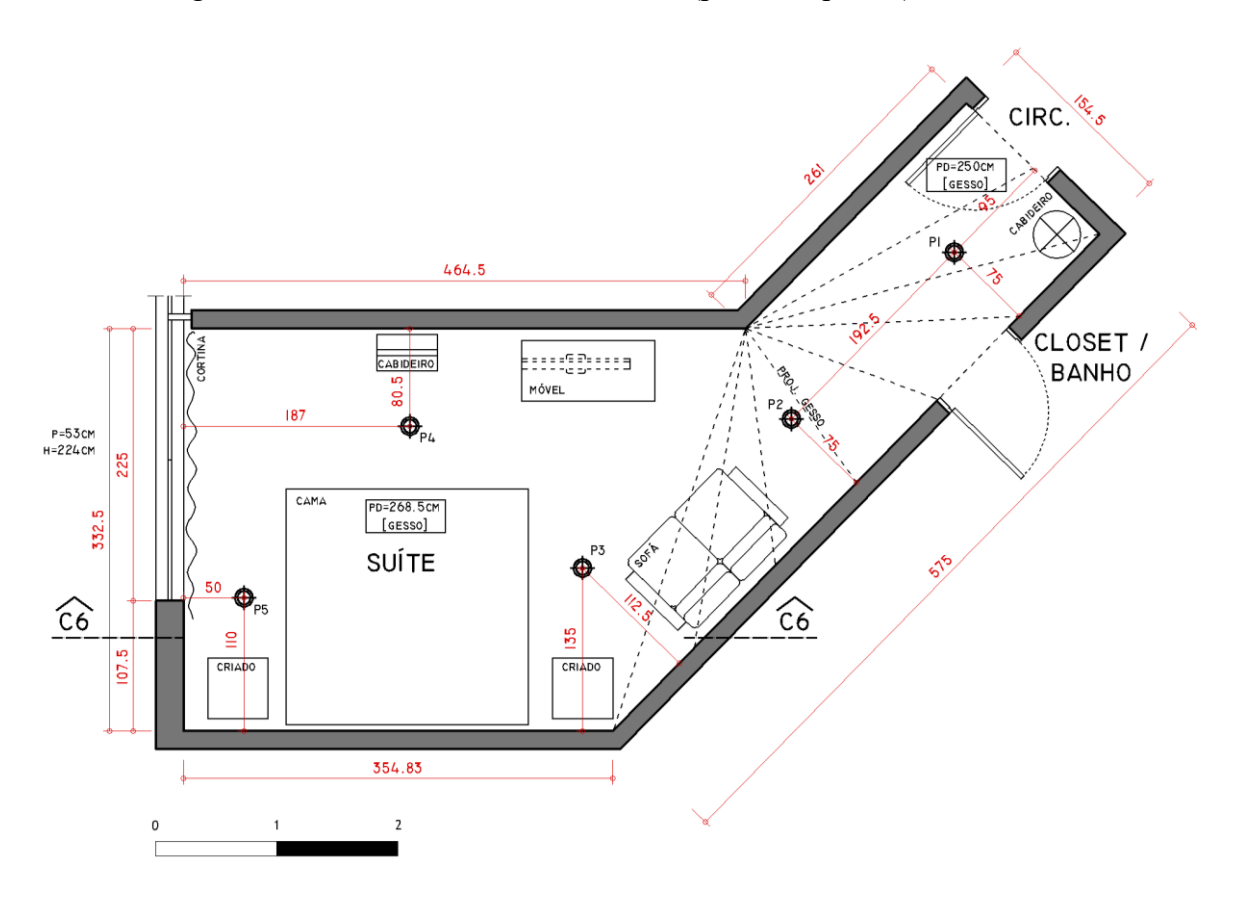


Figura A.12 - Planta ambiente receptor (pavto. inferior) - Ensaio 6

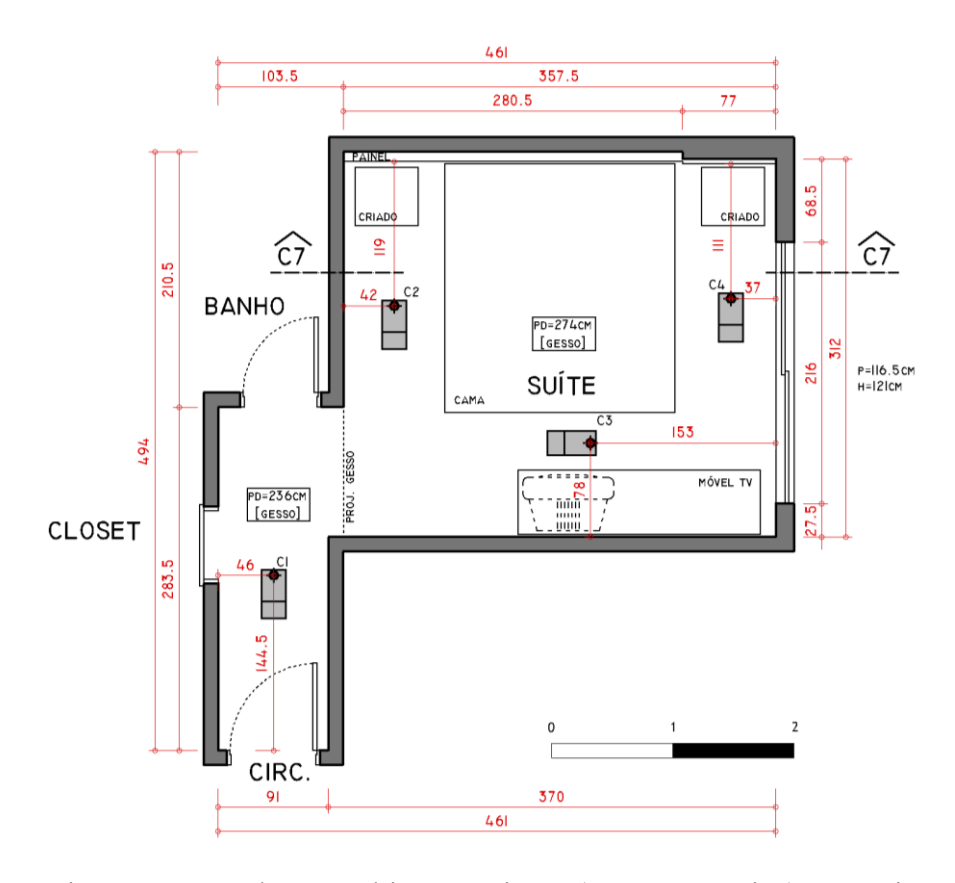


Figura A.13 - Planta ambiente emissor (pavto. superior) - Ensaio 7

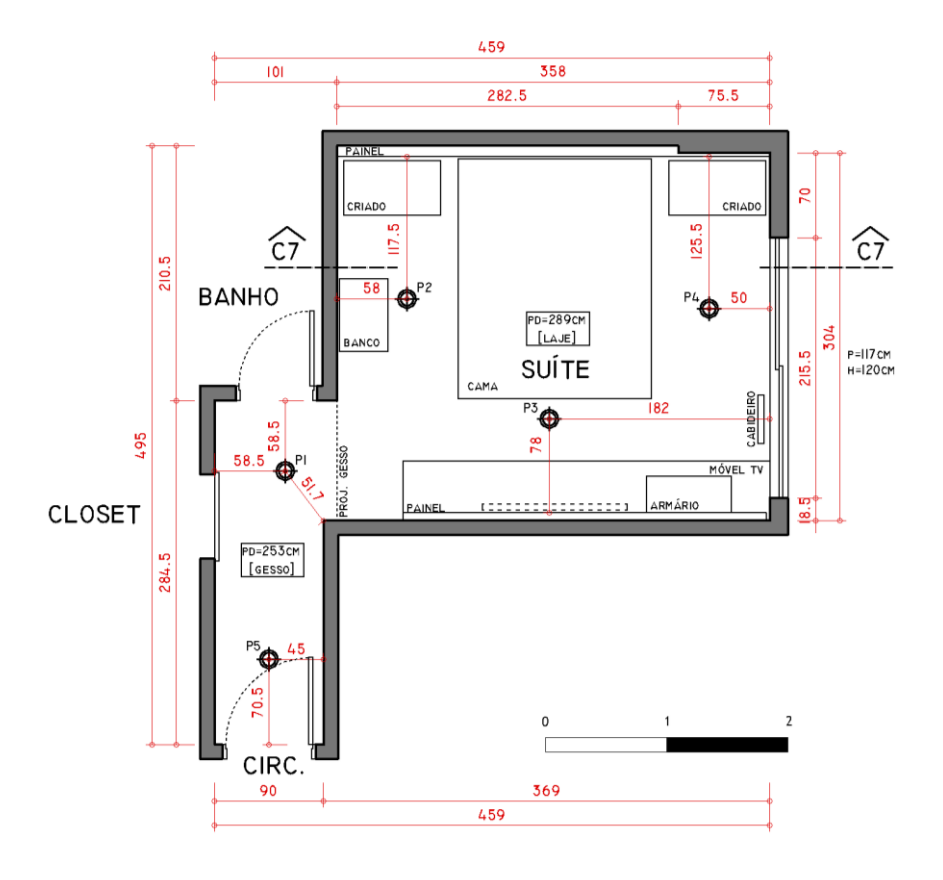


Figura A.14 - Planta ambiente receptor (pavto. inferior) - Ensaio 7

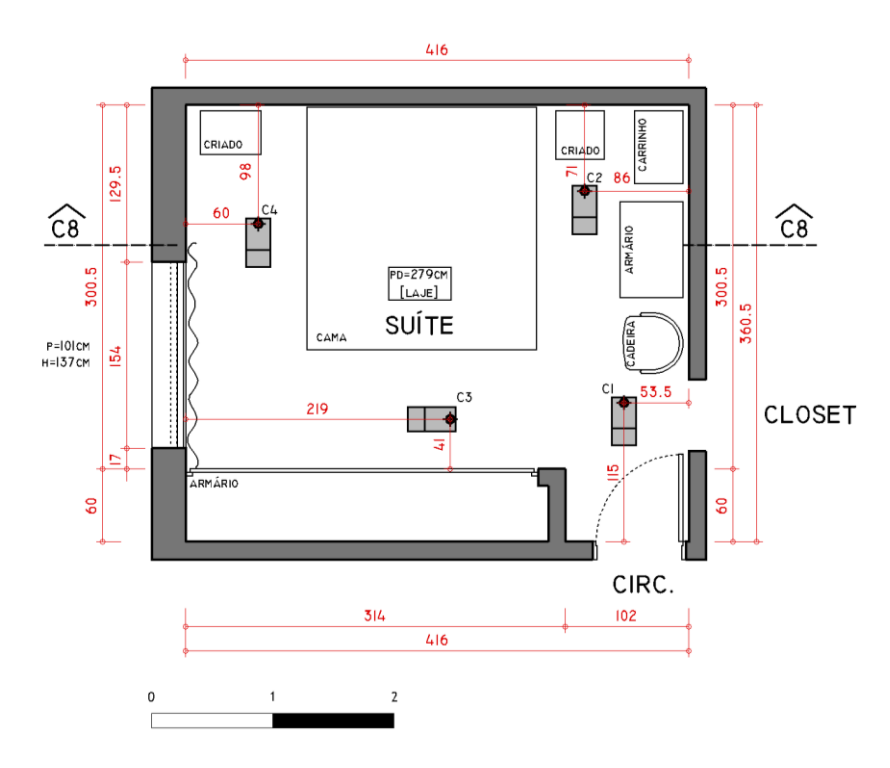


Figura A.15 - Planta ambiente emissor (pavto. superior) - Ensaio 8

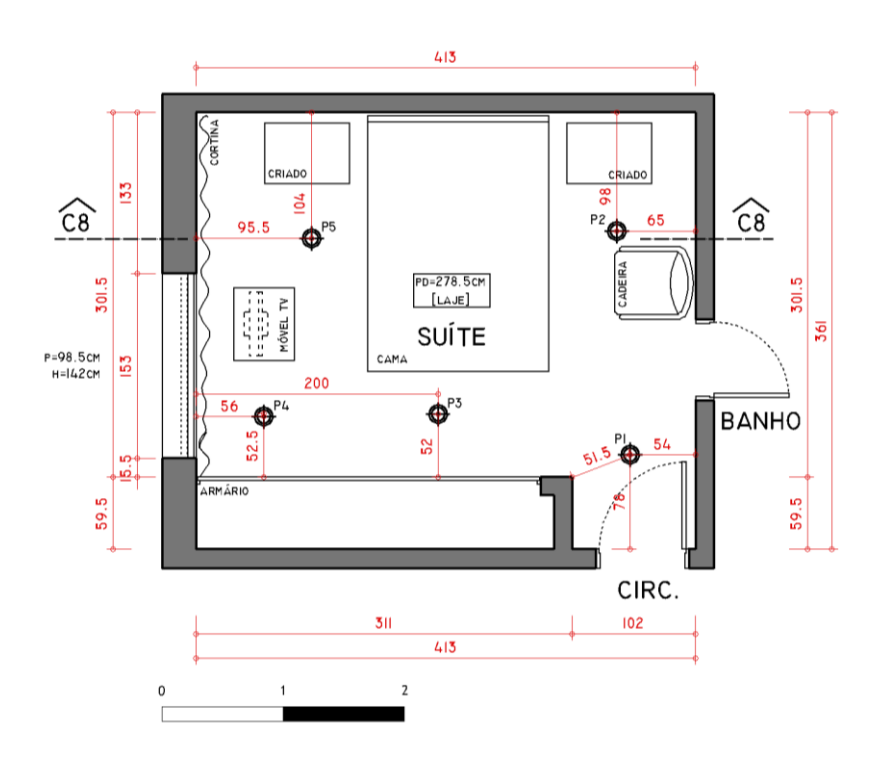


Figura A.16 - Planta ambiente receptor (pavto. inferior) - Ensaio 8

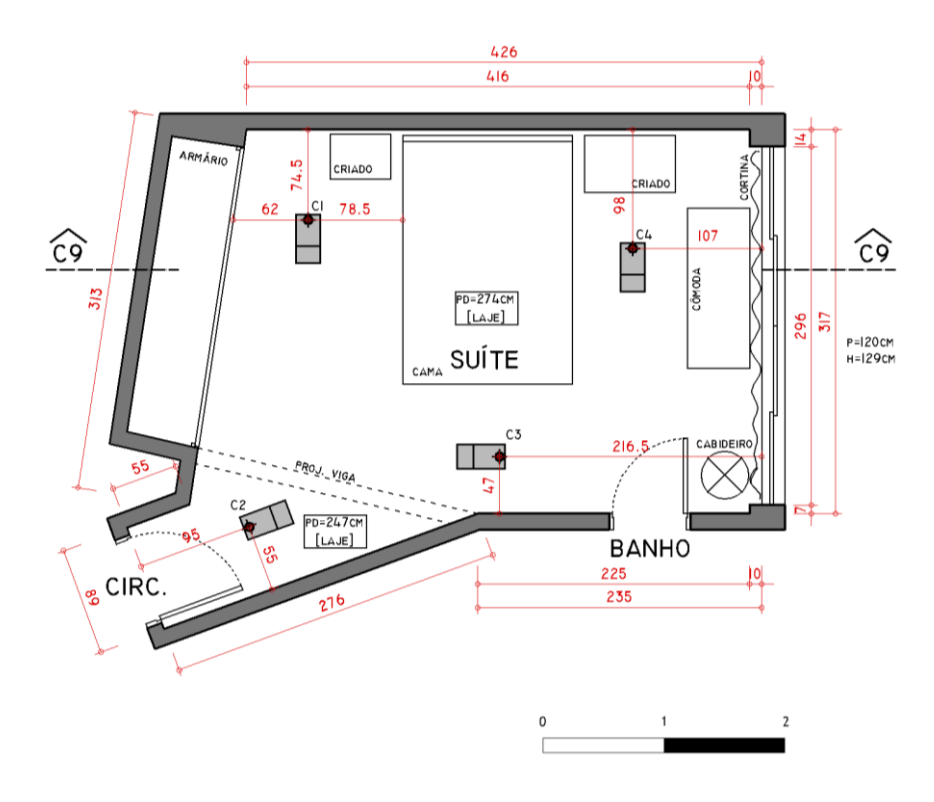


Figura A.17 - Planta ambiente emissor (pavto. superior) - Ensaio 9

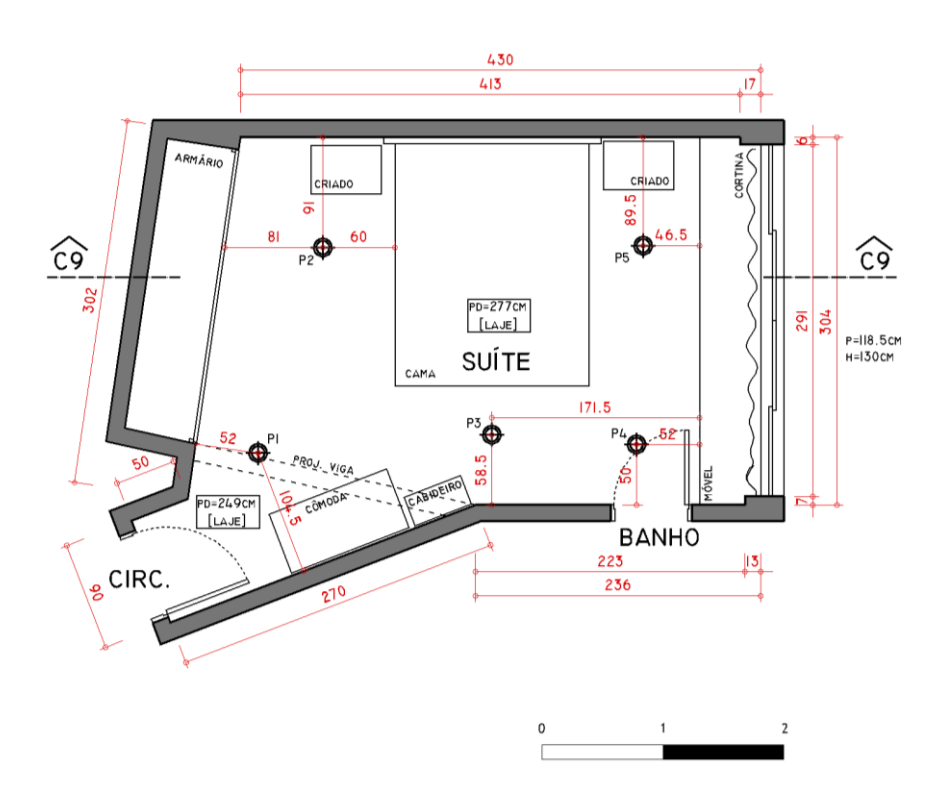


Figura A.18 - Planta ambiente receptor (pavto. inferior) - Ensaio 9

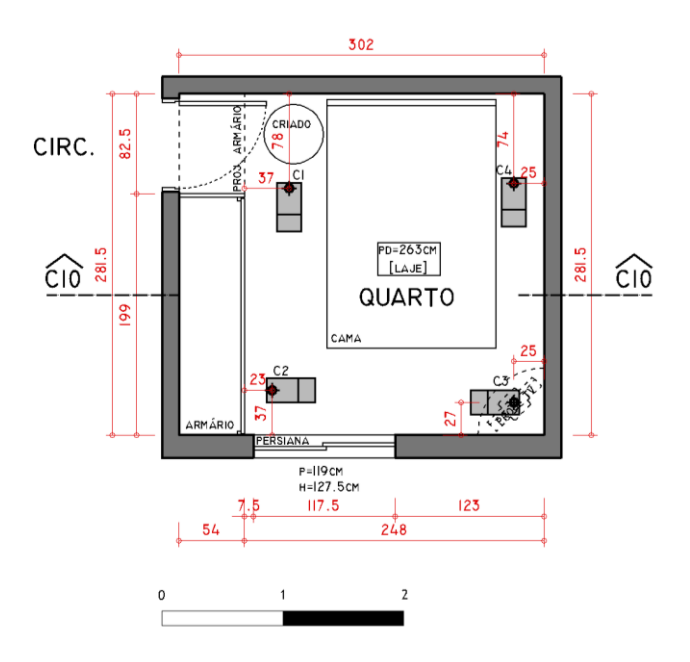


Figura A.19 - Planta ambiente emissor (pavto. superior) - Ensaio 10

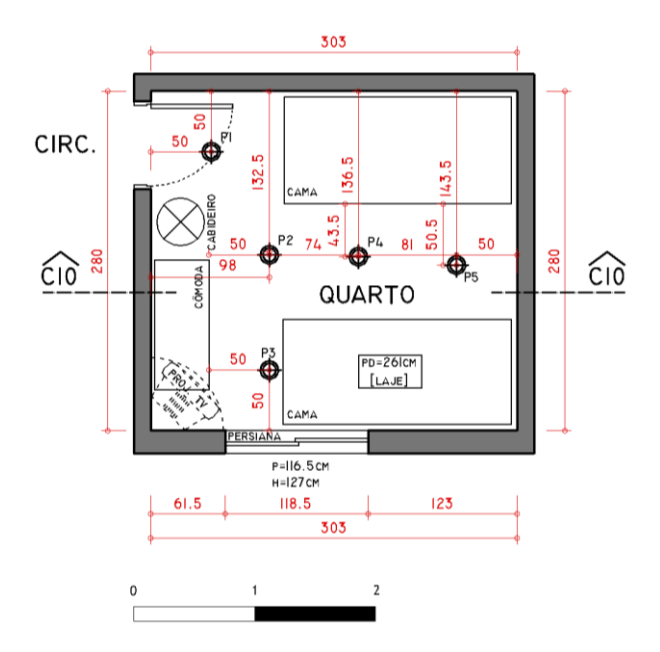


Figura A.20 - Planta ambiente receptor (pavto. inferior) - Ensaio 10

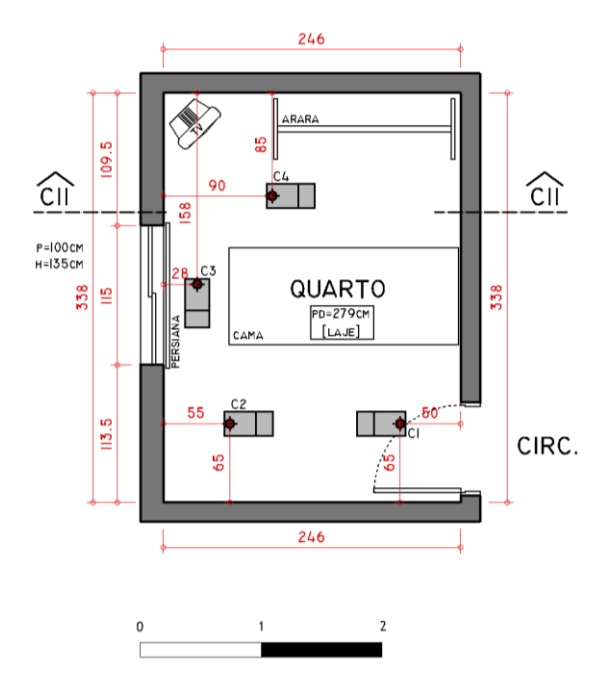


Figura A.21 - Planta ambiente emissor (pavto. superior) - Ensaio 11

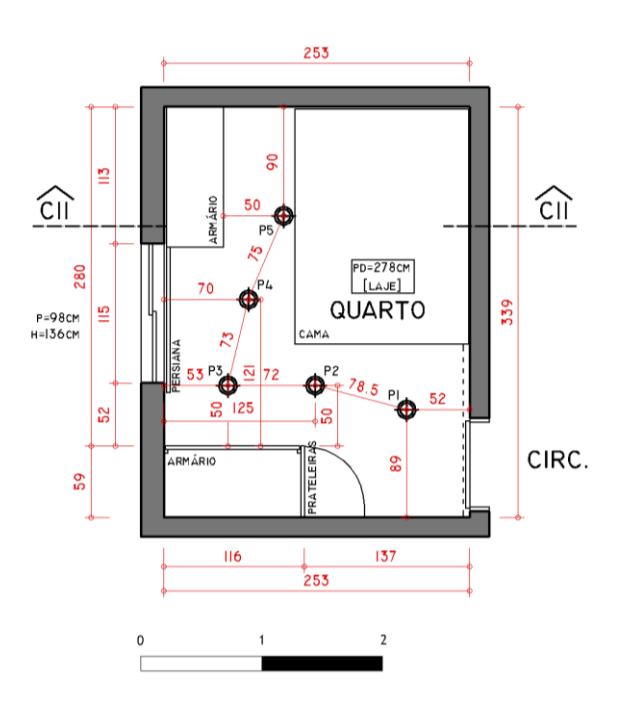


Figura A.22 - Planta ambiente receptor (pavto. inferior) - Ensaio 11

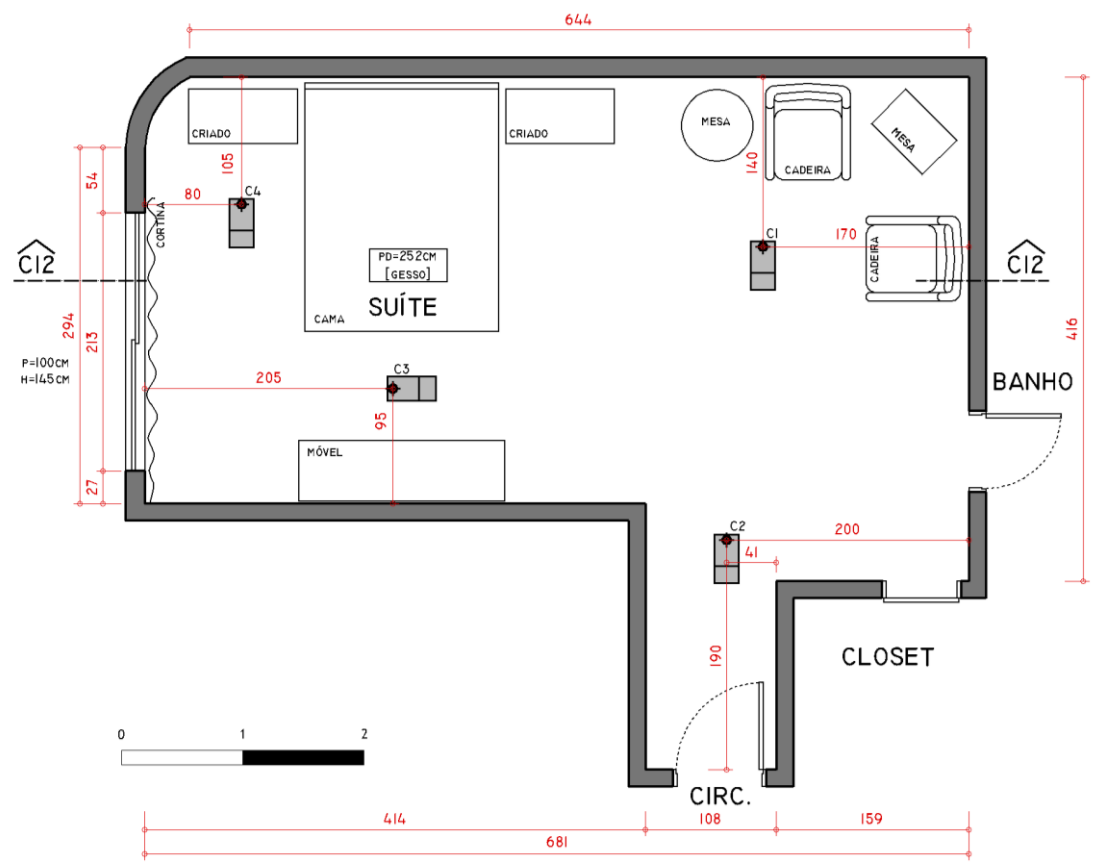


Figura A.23 - Planta ambiente emissor (pavto. superior) - Ensaio 12

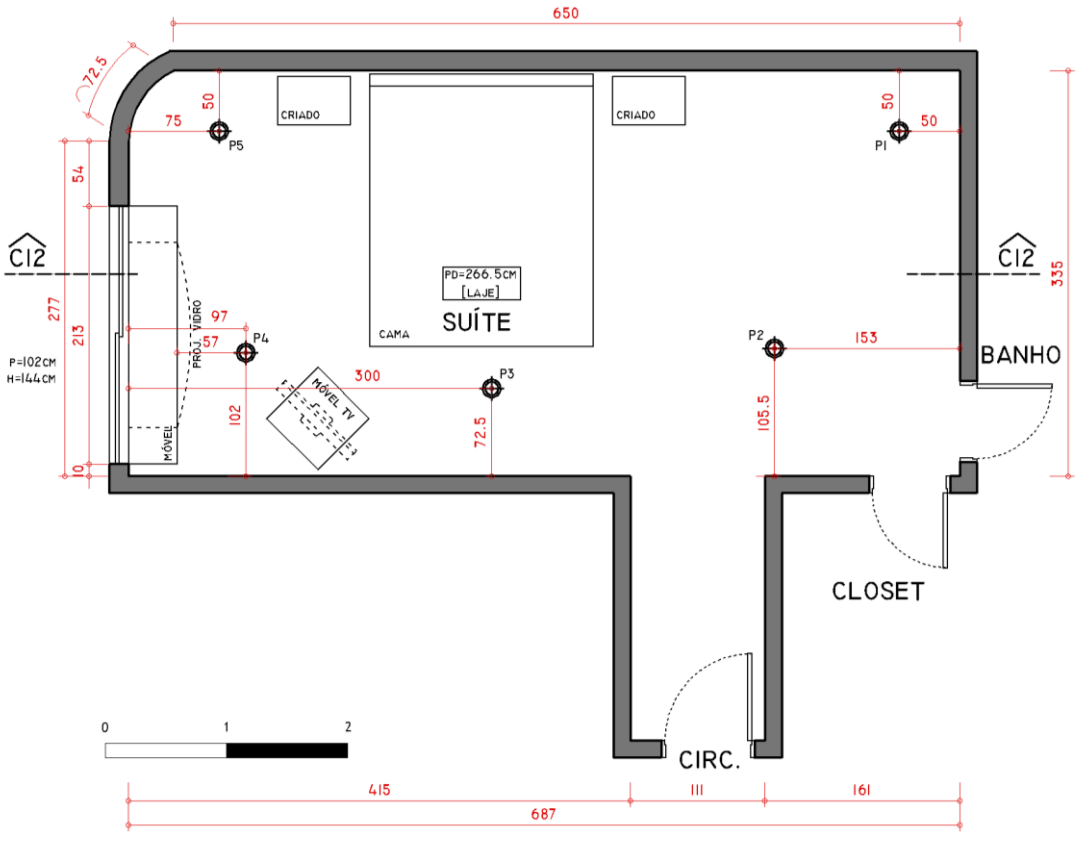


Figura A.24 - Planta ambiente receptor (pavto. inferior) - Ensaio 12

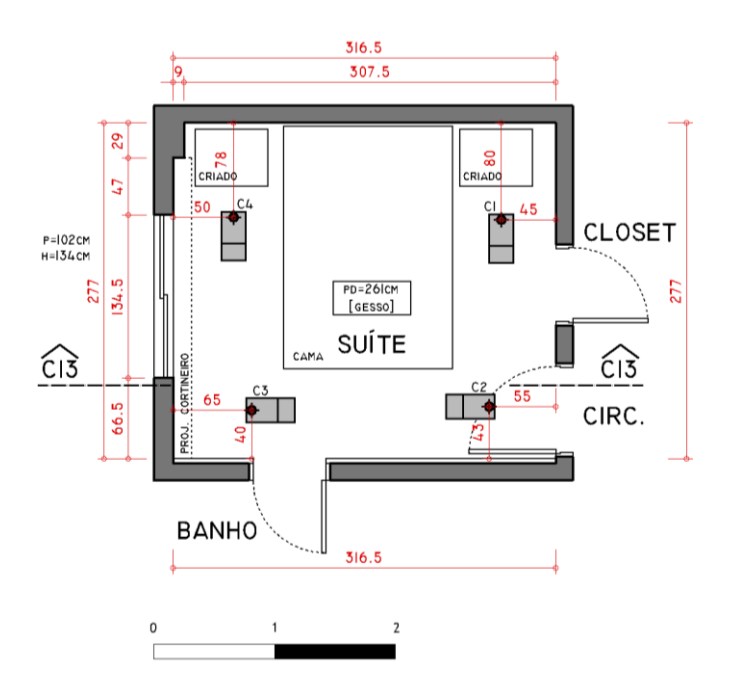


Figura A.25 - Planta ambiente emissor (pavto. superior) - Ensaio 13

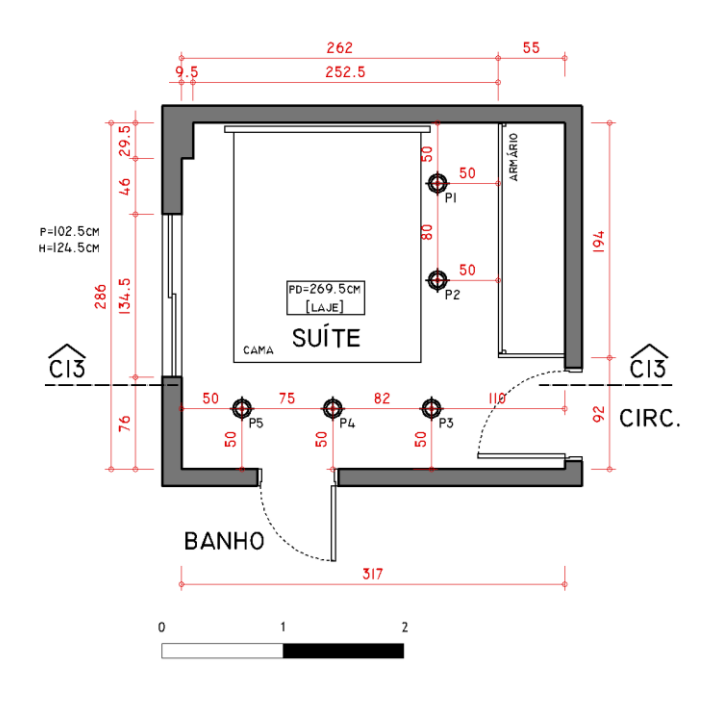


Figura A.26 - Planta ambiente receptor (pavto. inferior) - Ensaio 13

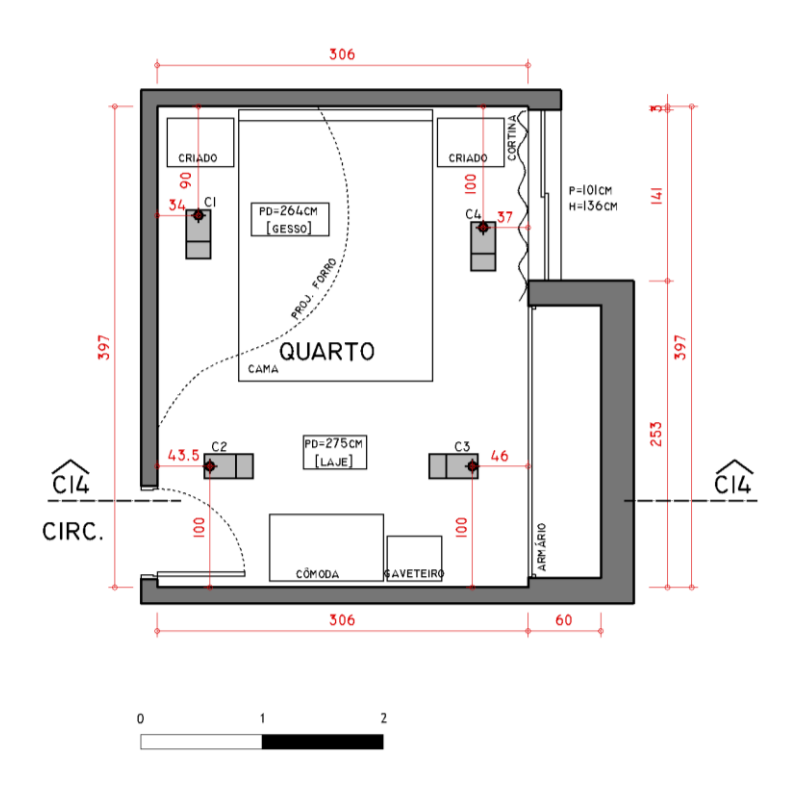


Figura A.27 - Planta ambiente emissor (pavto. superior) - Ensaio 14

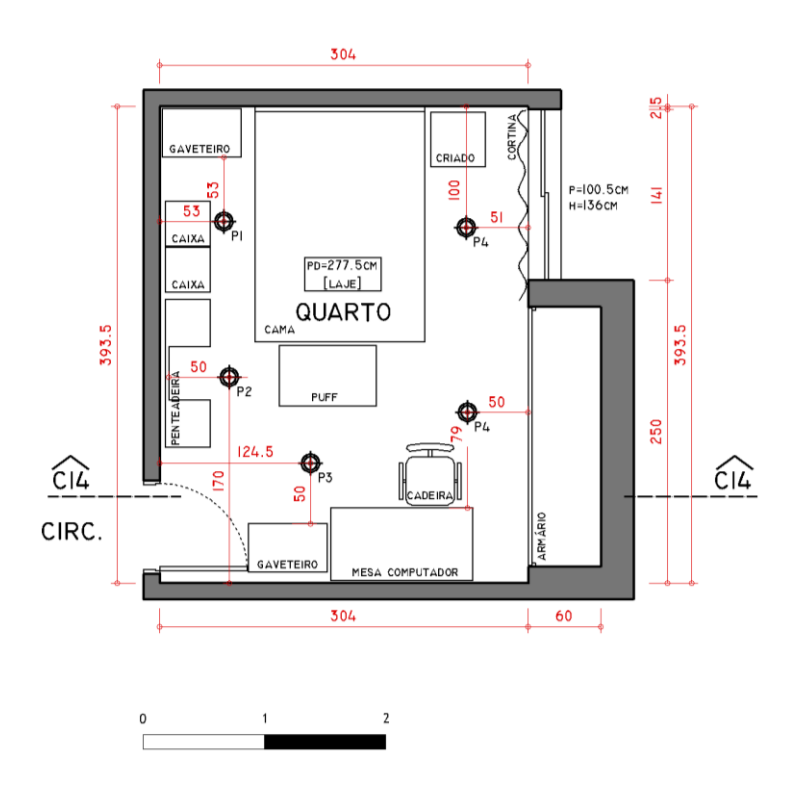


Figura A.28 - Planta ambiente receptor (pavto. inferior) - Ensaio 14

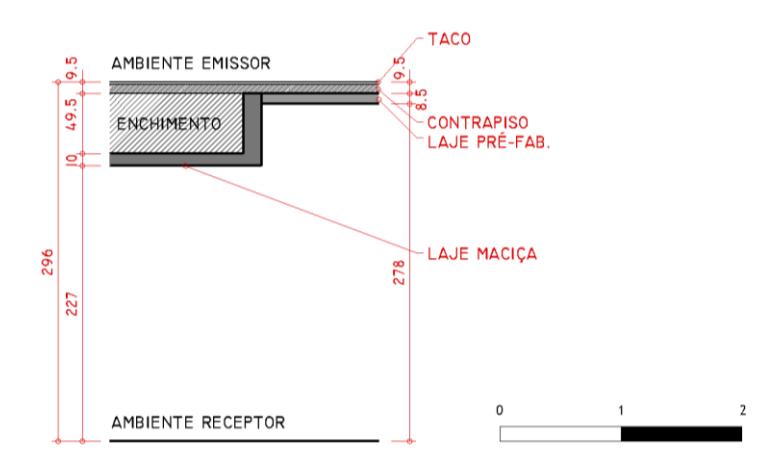


Figura A.29 - Corte C1 - Ensaio 1

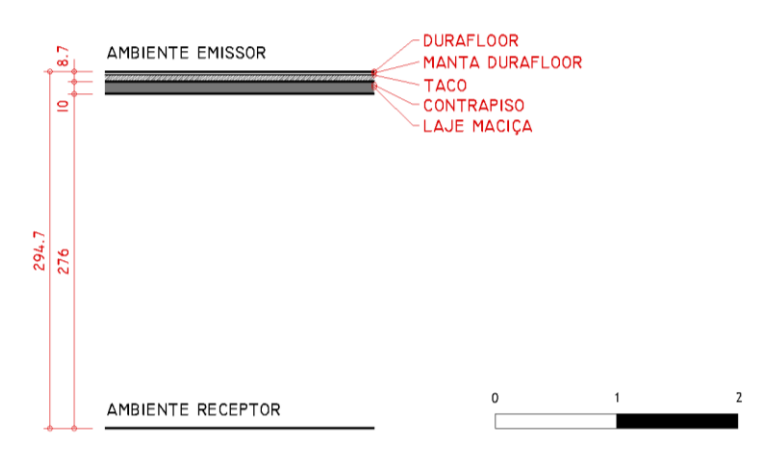


Figura A.30 - Corte C2 - Ensaio 2



Figura A.31 - Corte C2 - Ensaio 3

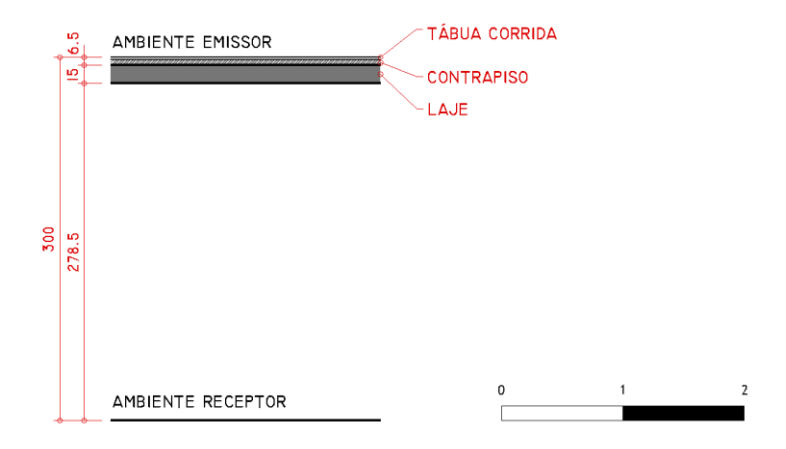


Figura A.32 - Corte C2 - Ensaio 4

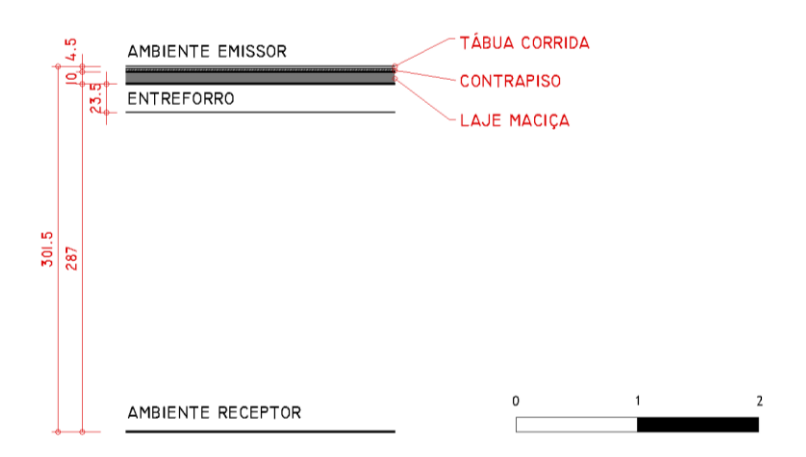


Figura A.33 - Corte C2 - Ensaio 5

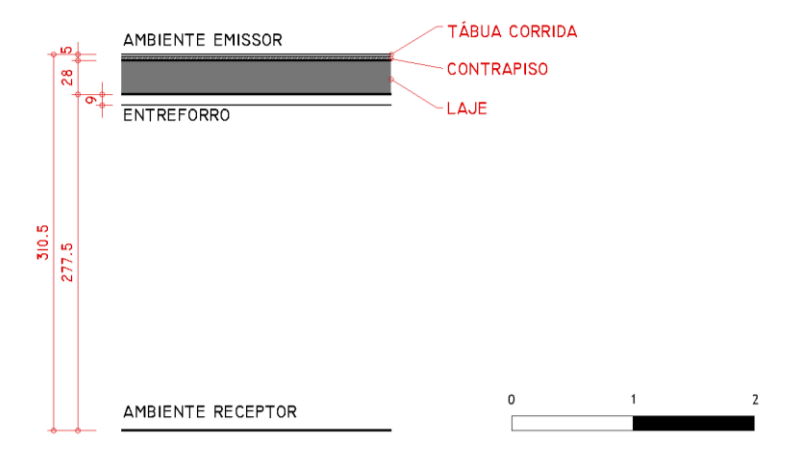


Figura A.34 - Corte C2 - Ensaio 6

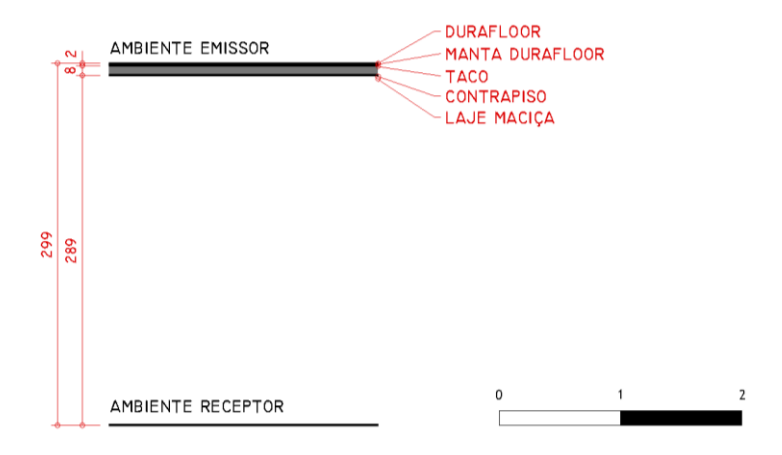


Figura A.35 - Corte C2 - Ensaio 7

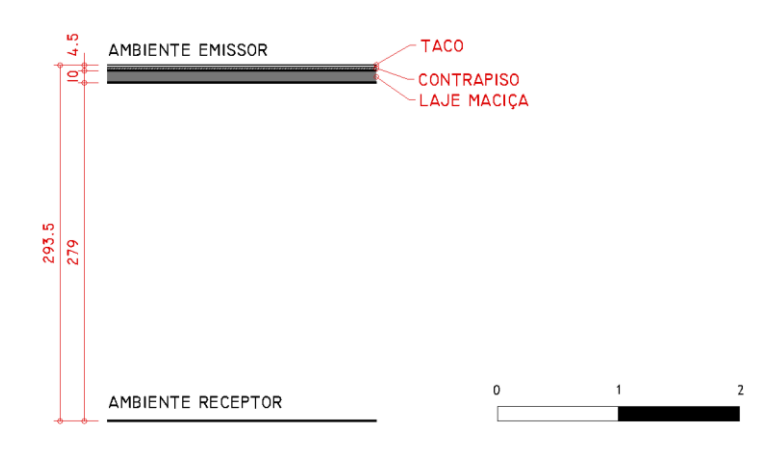


Figura A.36 - Corte C2 - Ensaio 8

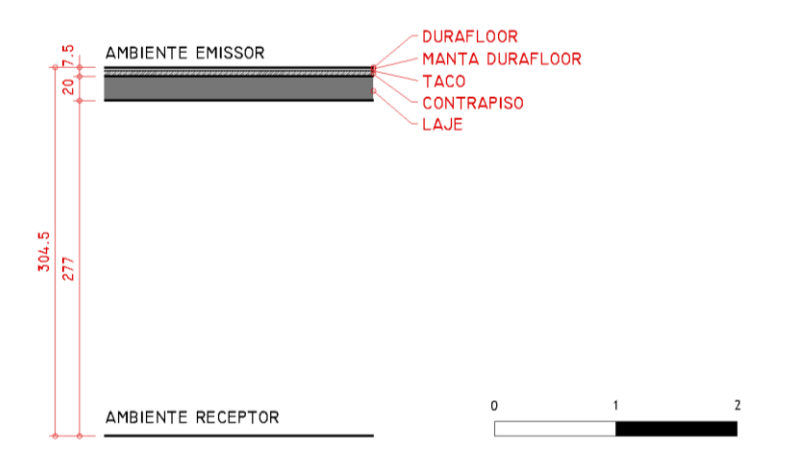


Figura A.37 - Corte C2 - Ensaio 9

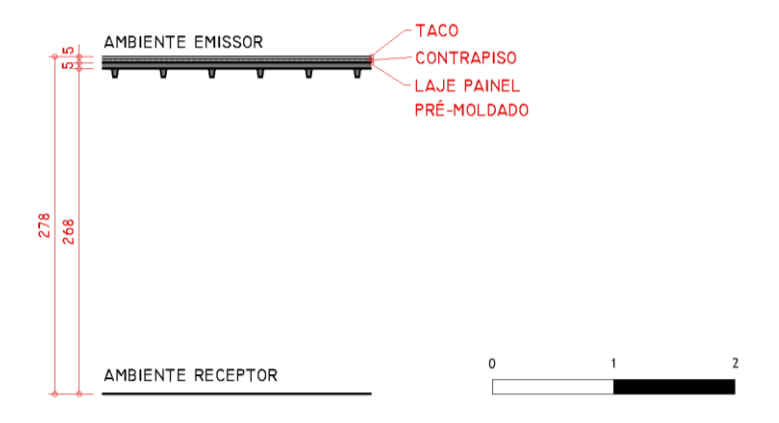


Figura A.38 - Corte C2 - Ensaio 10

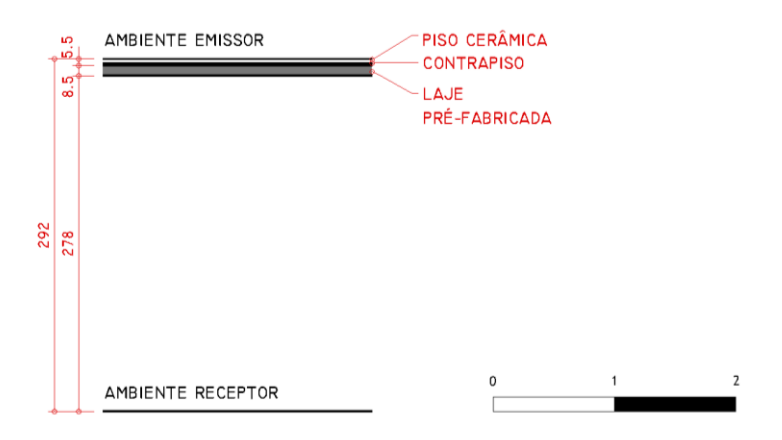


Figura A.39 - Corte C2 - Ensaio 11

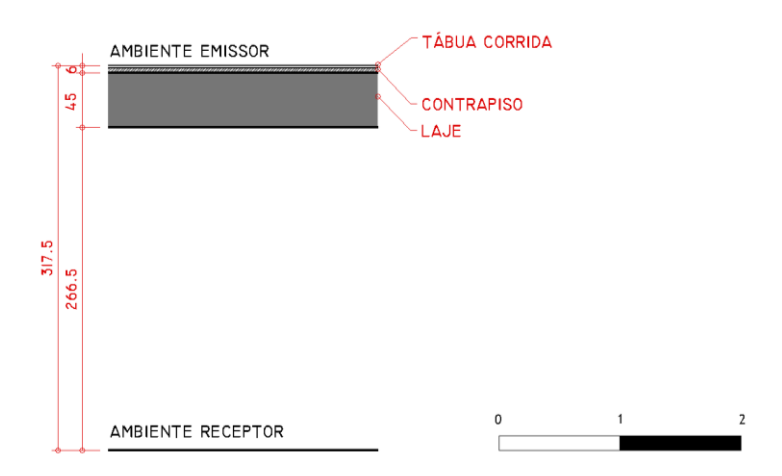


Figura A.40 - Corte C2 - Ensaio 12

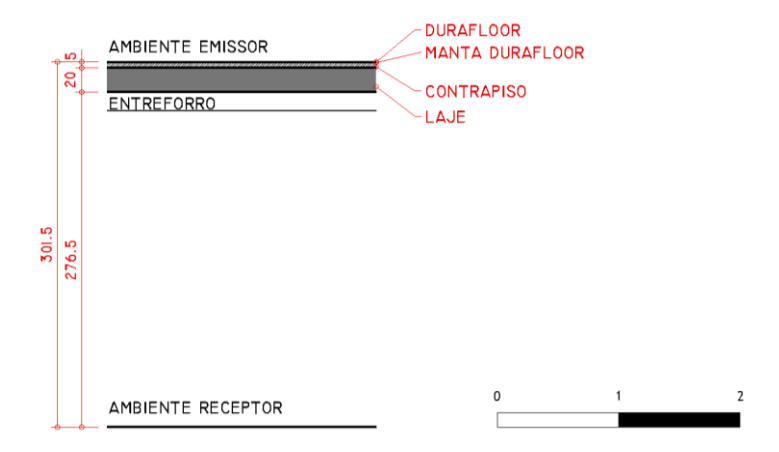


Figura A.41 - Corte C2 - Ensaio 13

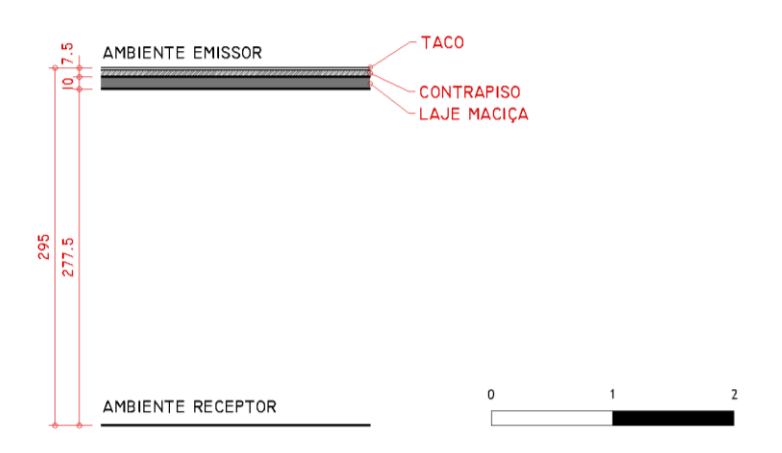
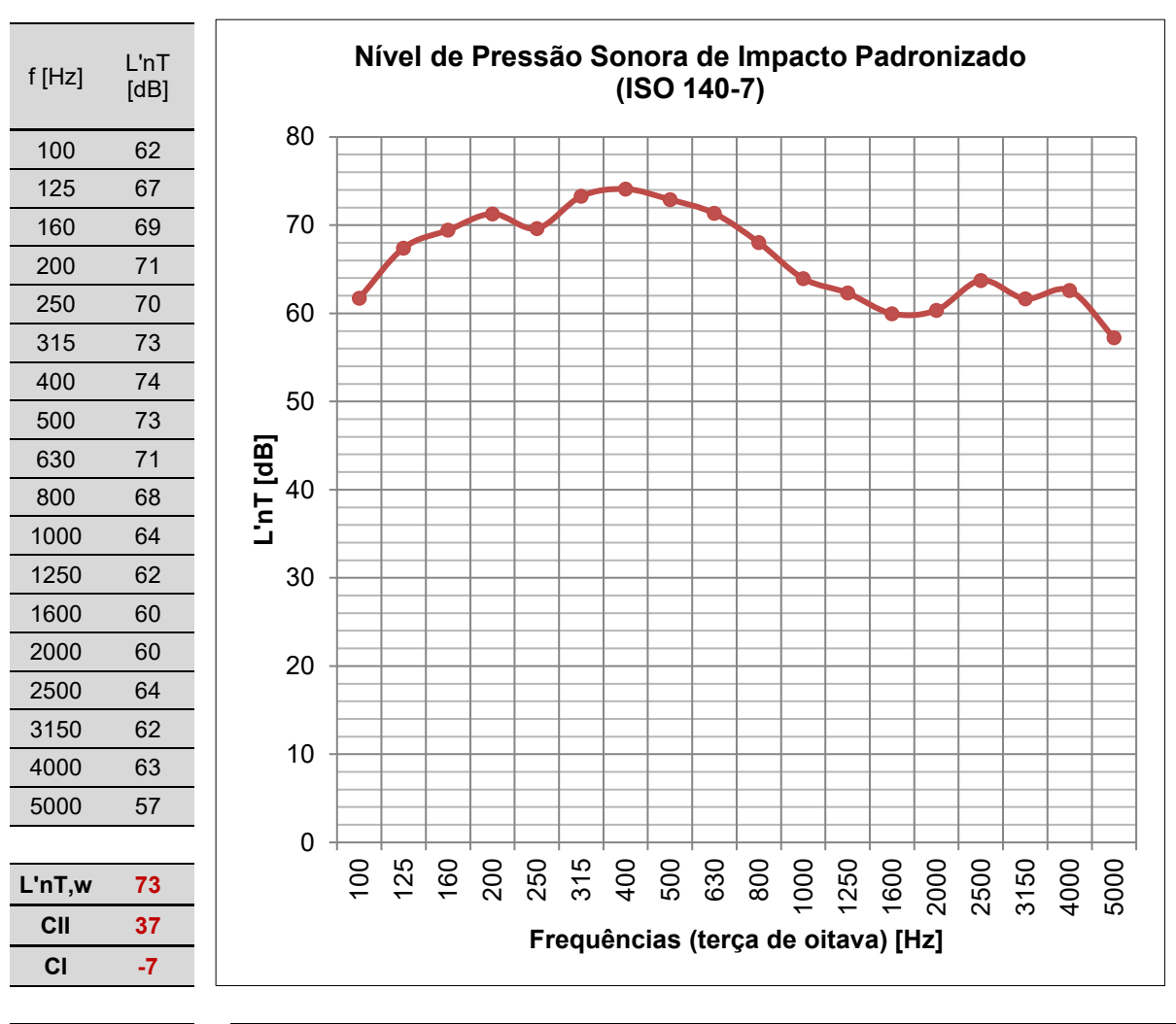


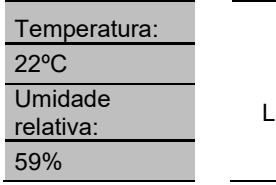
Figura A.42 - Corte C2 - Ensaio 14

ANEXO B

Gráficos das medições de ruído de impacto de piso - índices $L'_{nT,w}$ e $L'_{n,w}$ (conforme ISO 140-7: 1998 e ISO 717-2: 1996)

Tabela B.1 - Dados da medição de ruído de impacto de piso - Índice $L'_{nT,w}$ - Ensaio 1





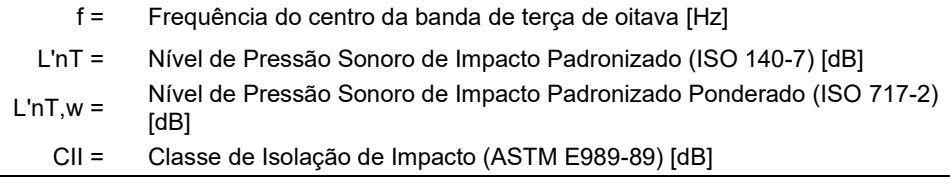
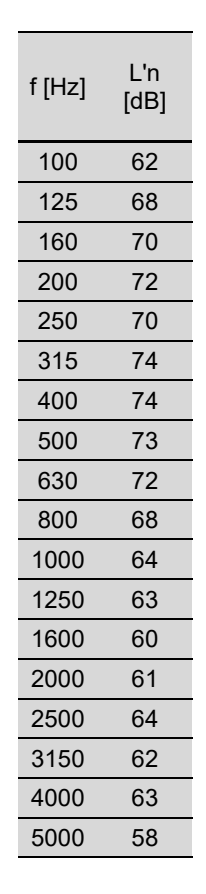


Tabela B.2 - Dados da medição de ruído de impacto de piso - Índice $L'_{n,w}$ - Ensaio 1





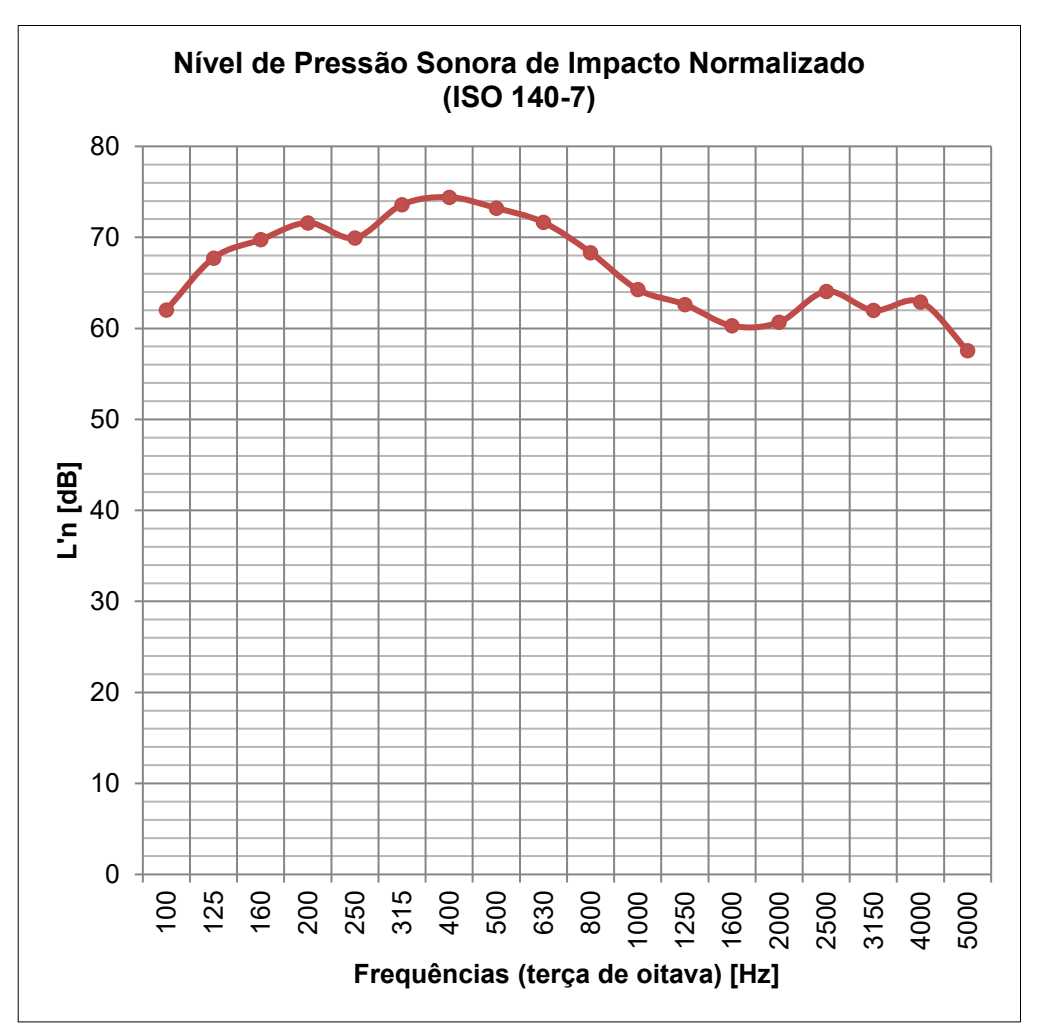
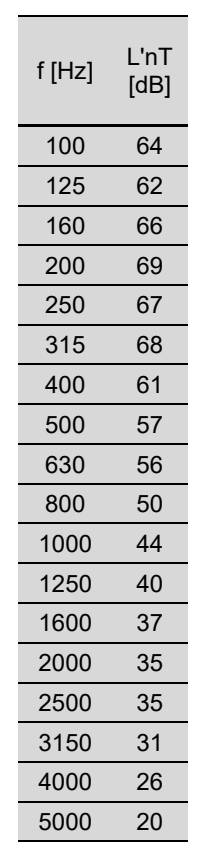
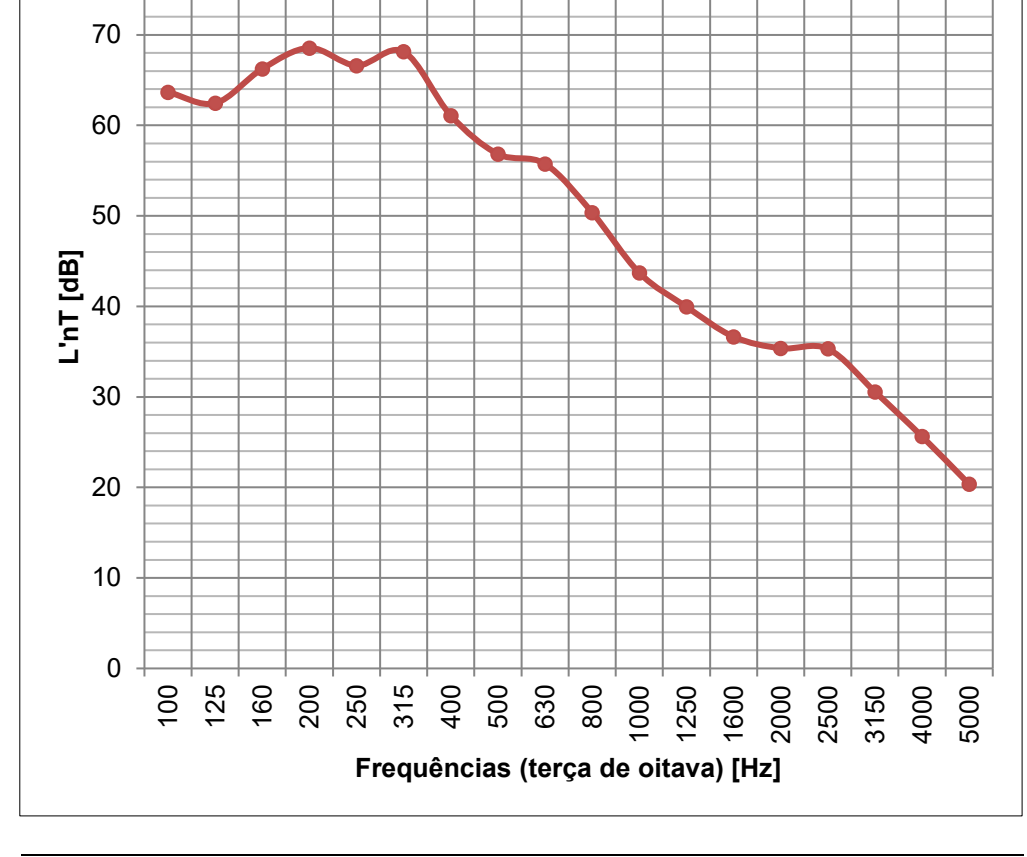




Tabela B.3 - Dados da medição de ruído de impacto de piso - Índice $L'_{nT,w}$ - Ensaio 2



80



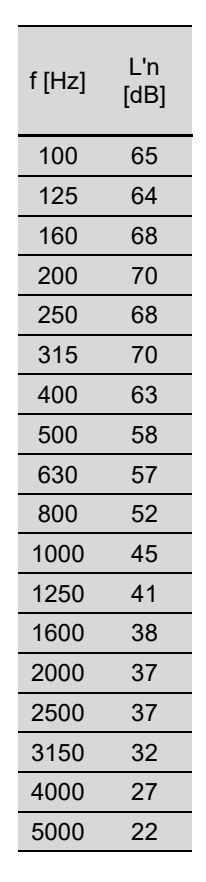
Nível de Pressão Sonora de Impacto Padronizado

(ISO 140-7)

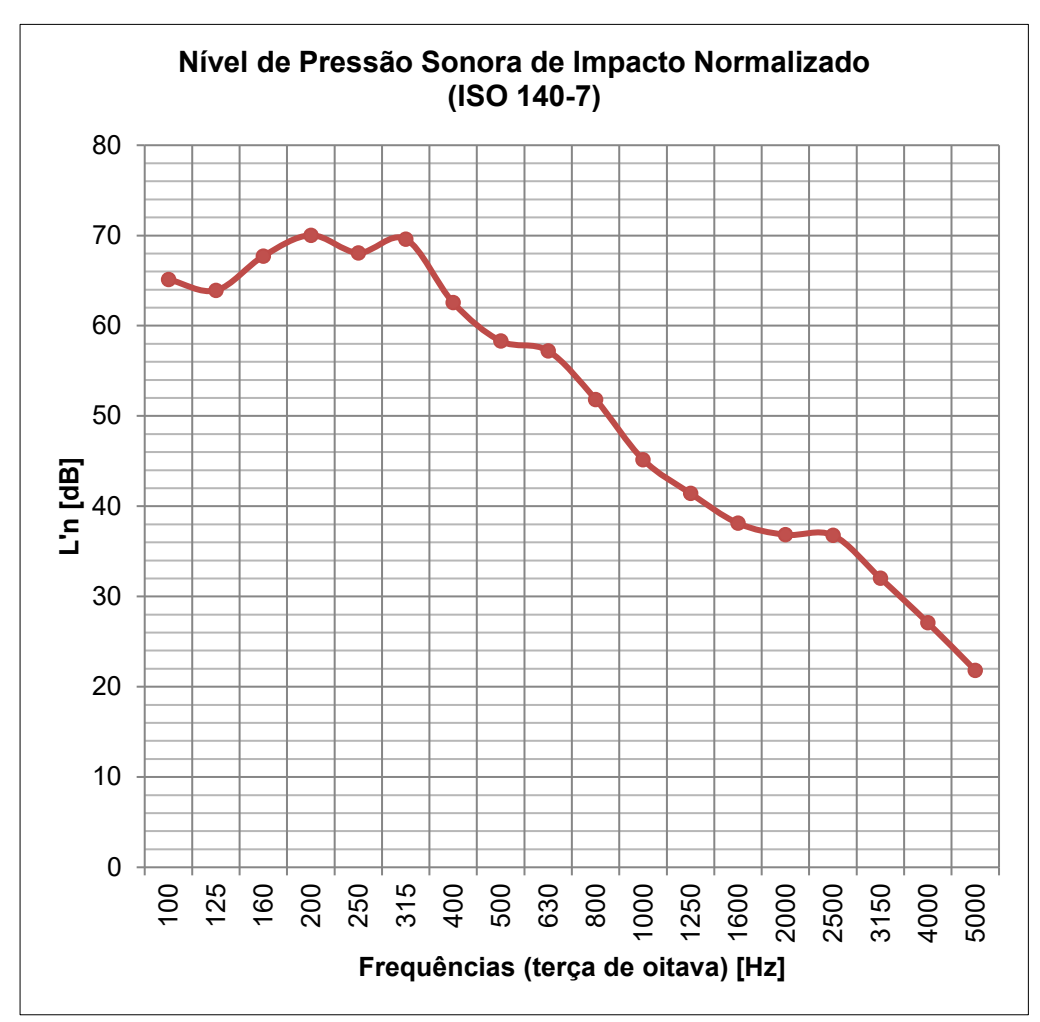


Temperatura: 25°C Umidade relativa: 35%

Tabela B.4 - Dados da medição de ruído de impacto de piso - Índice $L'_{n,w}$ - Ensaio 2



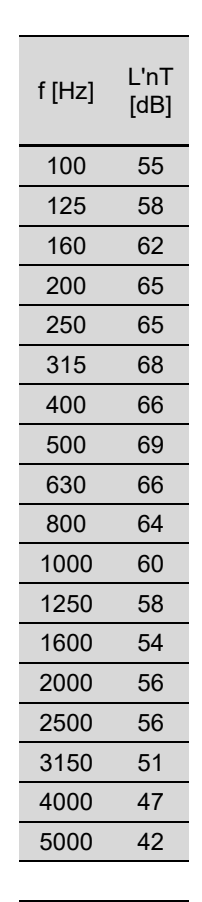




Temperatura:
25°C
Umidade
relativa:
35%

f =	Frequência do centro da banda de terça de oitava [Hz]
L'n =	Nível de Pressão Sonoro de Impacto Normalizado (ISO 140-7) [dB]
L'n,w =	Nível de Pressão Sonoro de Impacto Normalizado Ponderado (ISO 717-2) [dB]
CII =	Classe de Isolação de Impacto (ASTM E989-89) [dB]

Tabela B.5 - Dados da medição de ruído de impacto de piso - Índice $L'_{nT,w}$ - Ensaio 3







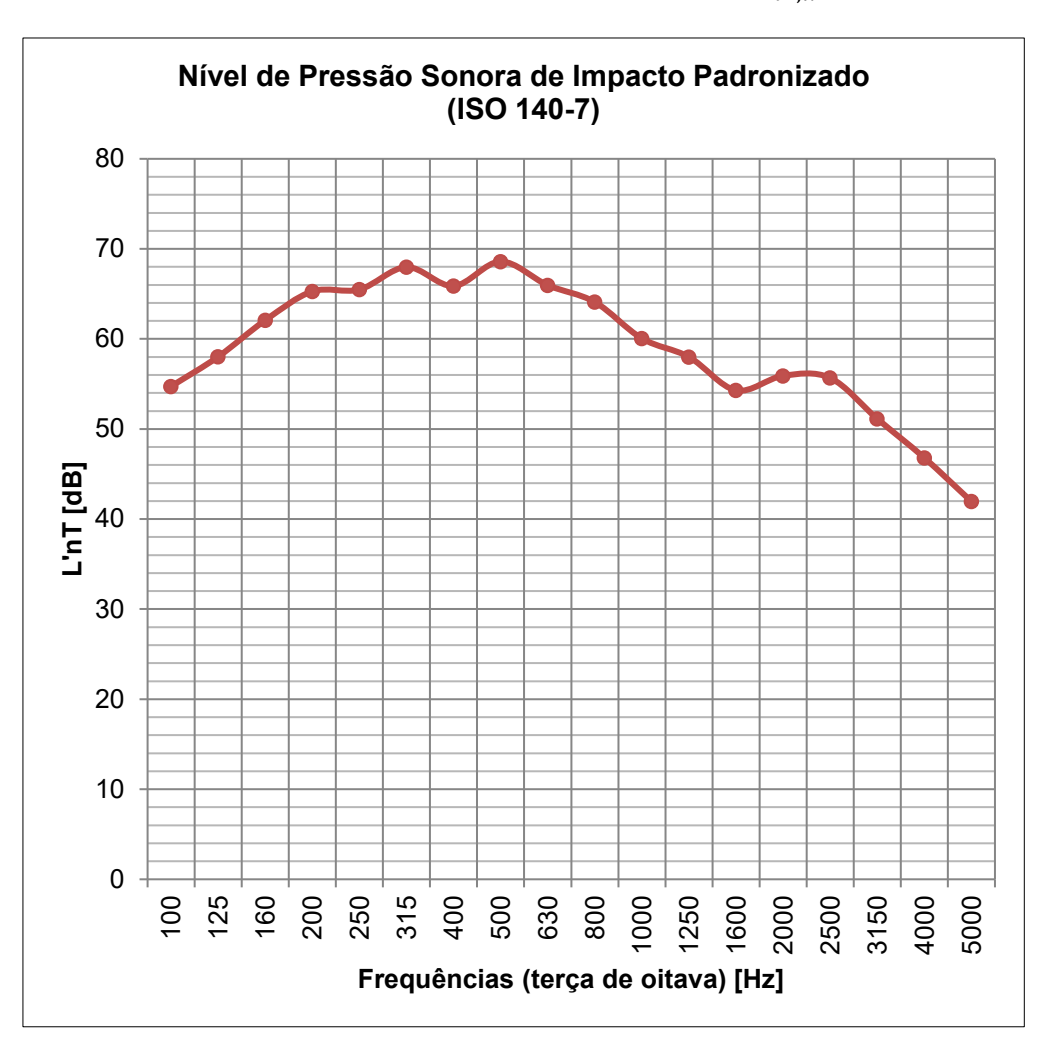
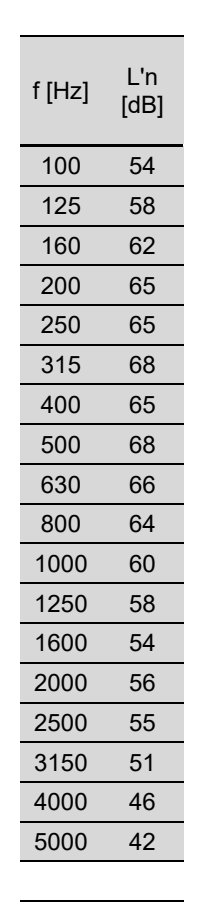
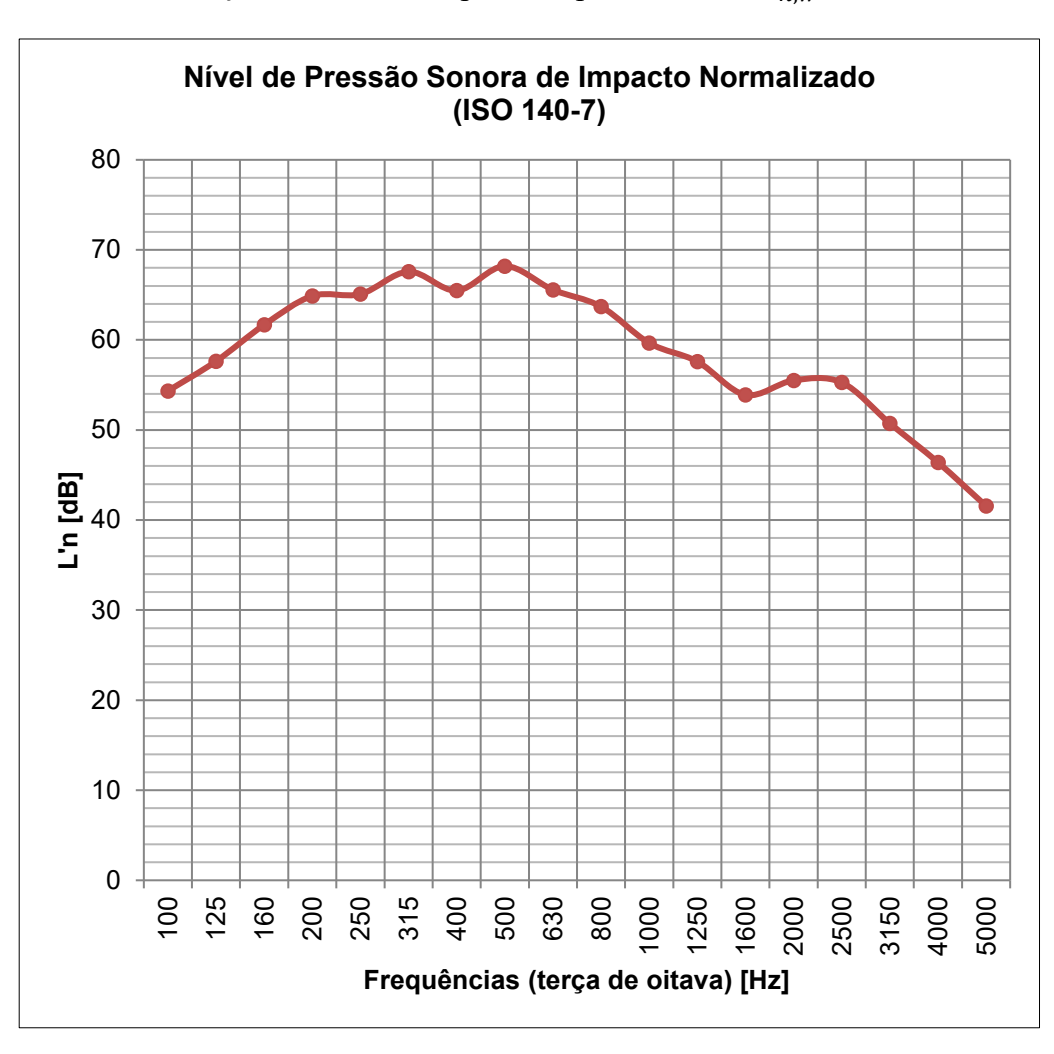


Tabela B.6 - Dados da medição de ruído de impacto de piso - Índice $L'_{n,w}$ - Ensaio 3









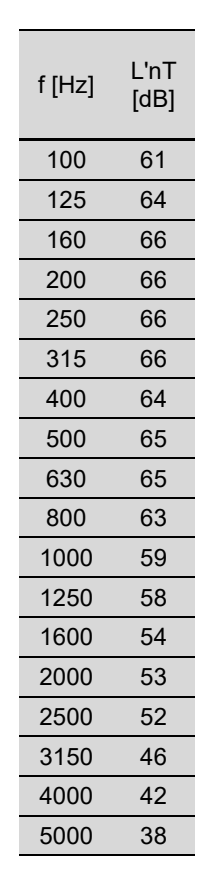
f = Frequência do centro da banda de terça de oitava [Hz]

L'n = Nível de Pressão Sonoro de Impacto Normalizado (ISO 140-7) [dB]

L'n,w = Nível de Pressão Sonoro de Impacto Normalizado Ponderado (ISO 717-2) [dB]

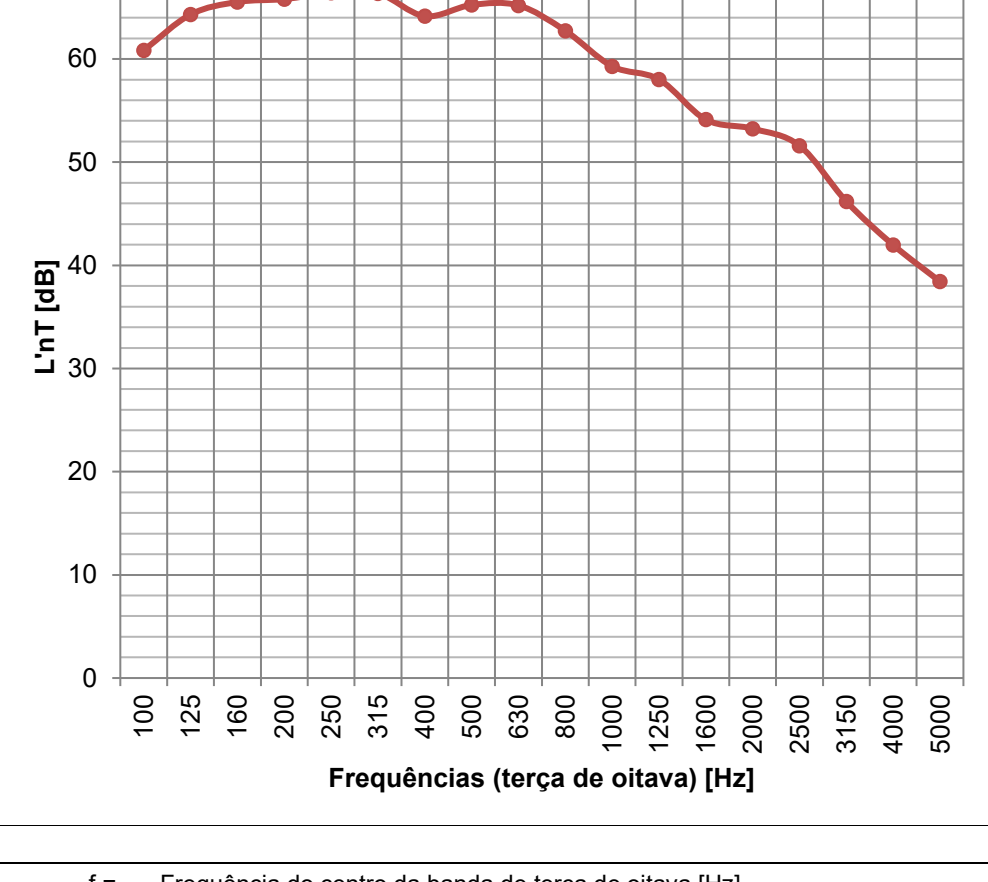
CII = Classe de Isolação de Impacto (ASTM E989-89) [dB]

Tabela B.7 - Dados da medição de ruído de impacto de piso - Índice $L'_{nT,w}$ - Ensaio 4



70



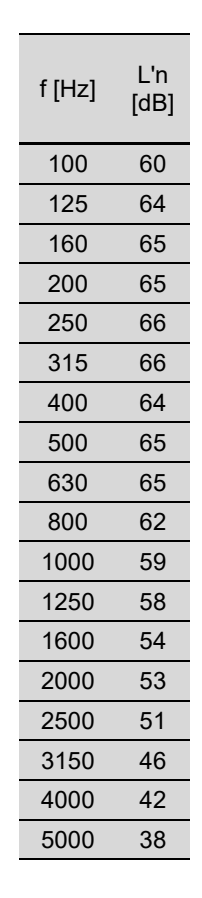


Nível de Pressão Sonora de Impacto Padronizado

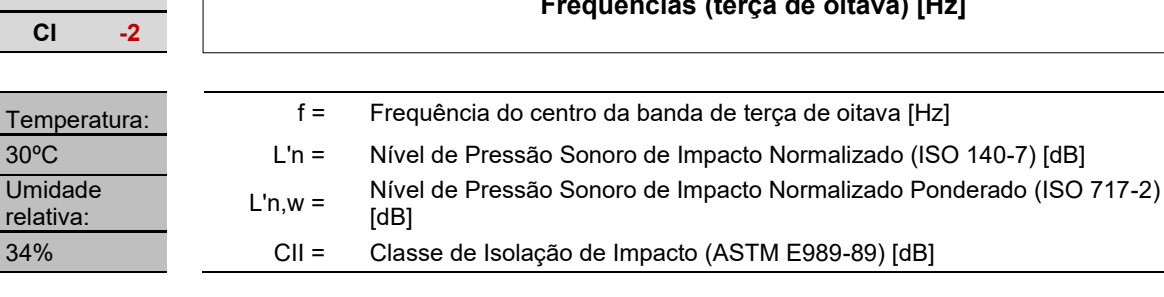
(ISO 140-7)

Temperatura:
30°C
Umidade
relativa:
34%

Tabela B.8 - Dados da medição de ruído de impacto de piso - Índice $L'_{n,w}$ - Ensaio 4







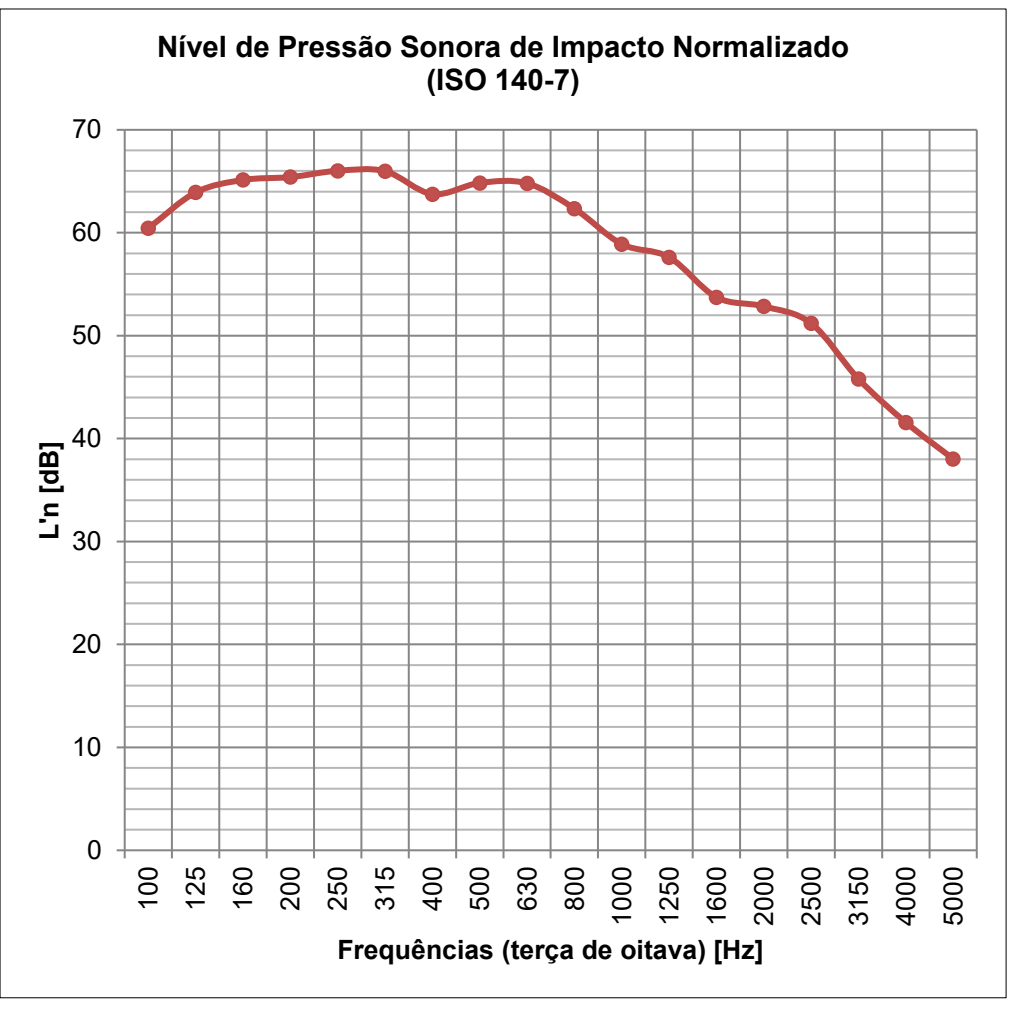
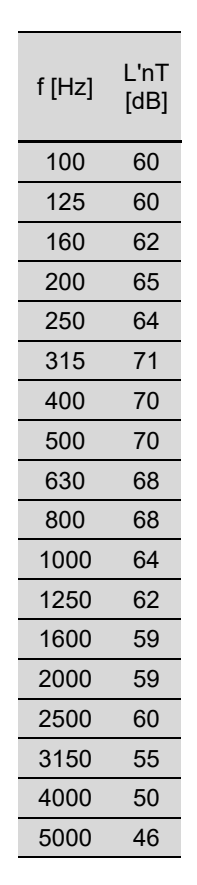
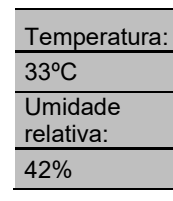


Tabela B.9 - Dados da medição de ruído de impacto de piso - Índice $L'_{nT,w}$ - Ensaio 5







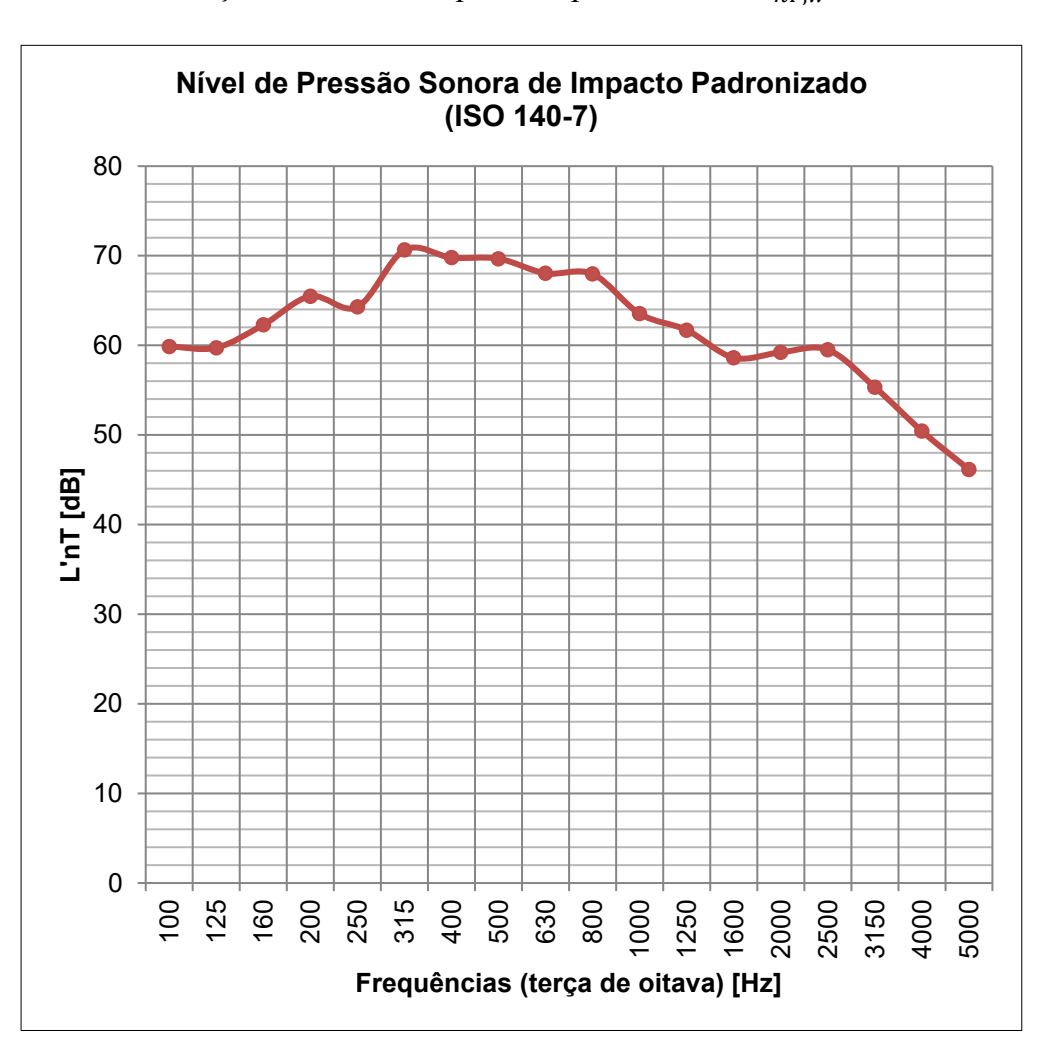
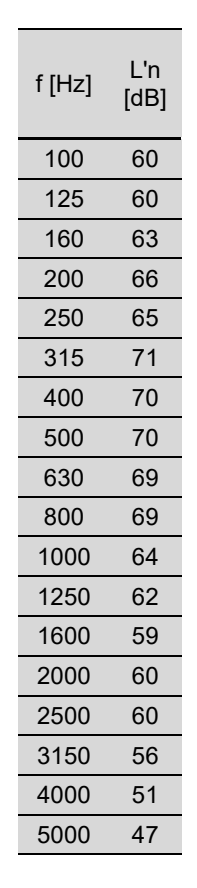
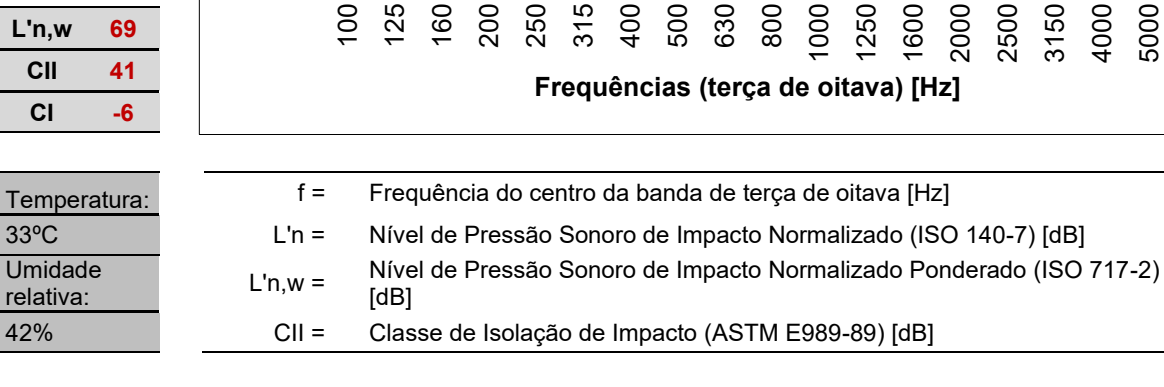


Tabela B.10 - Dados da medição de ruído de impacto de piso - Índice $L'_{n,w}$ - Ensaio 5







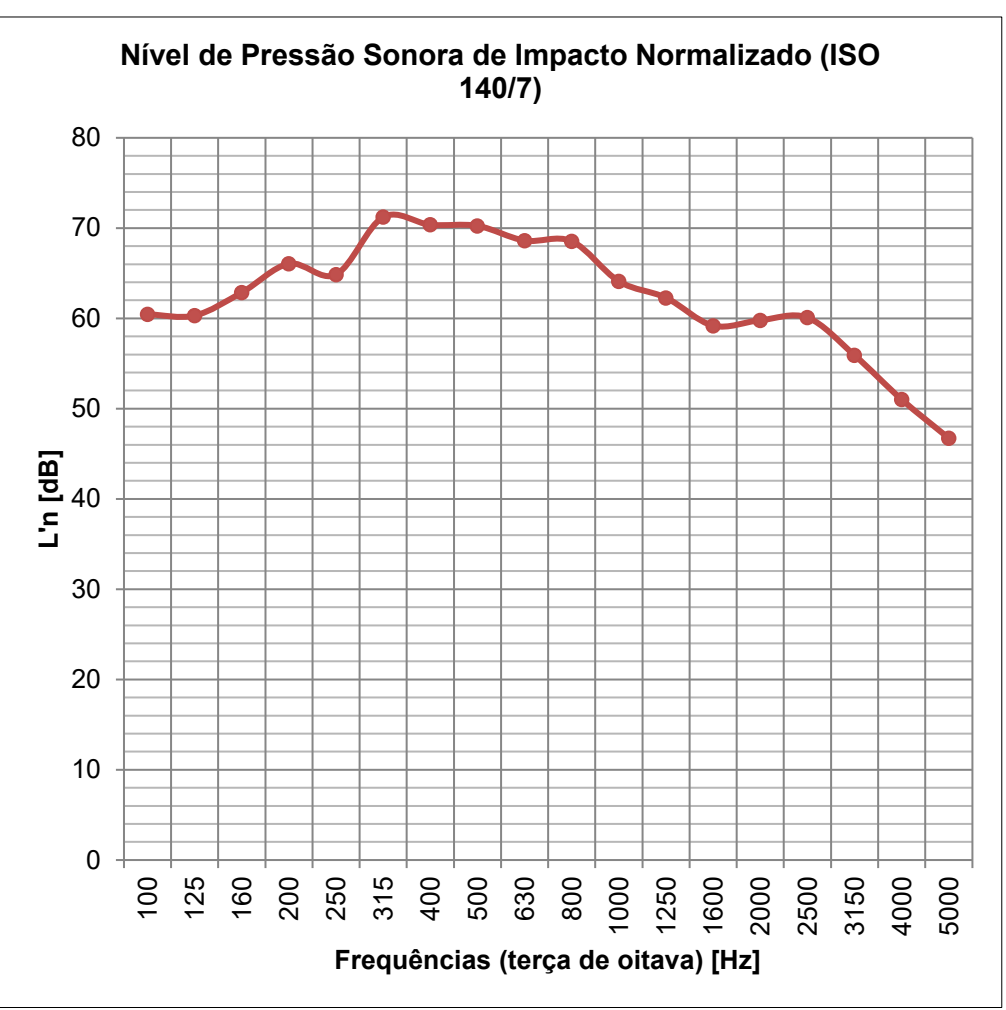
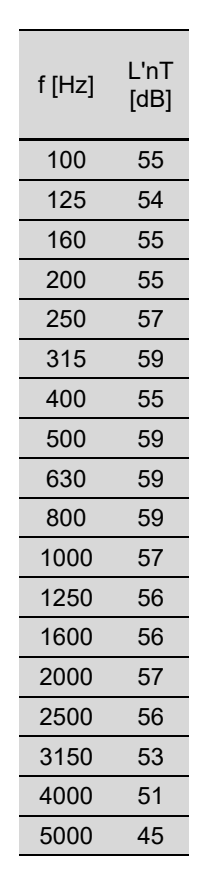
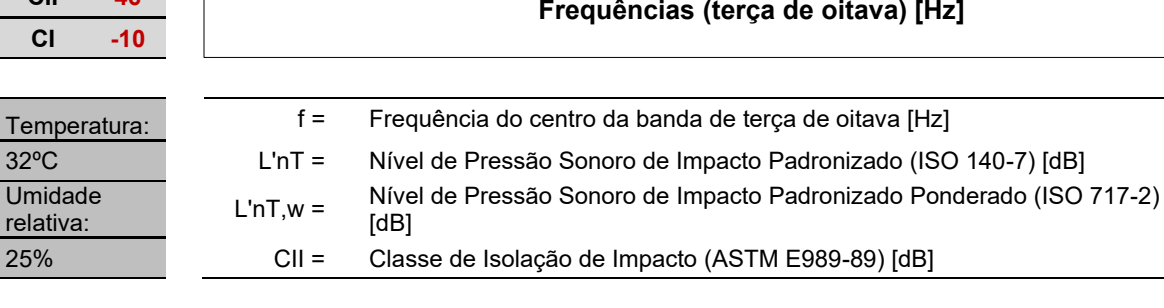


Tabela B.11 - Dados da medição de ruído de impacto de piso - Índice $L'_{nT.w}$ - Ensaio 6







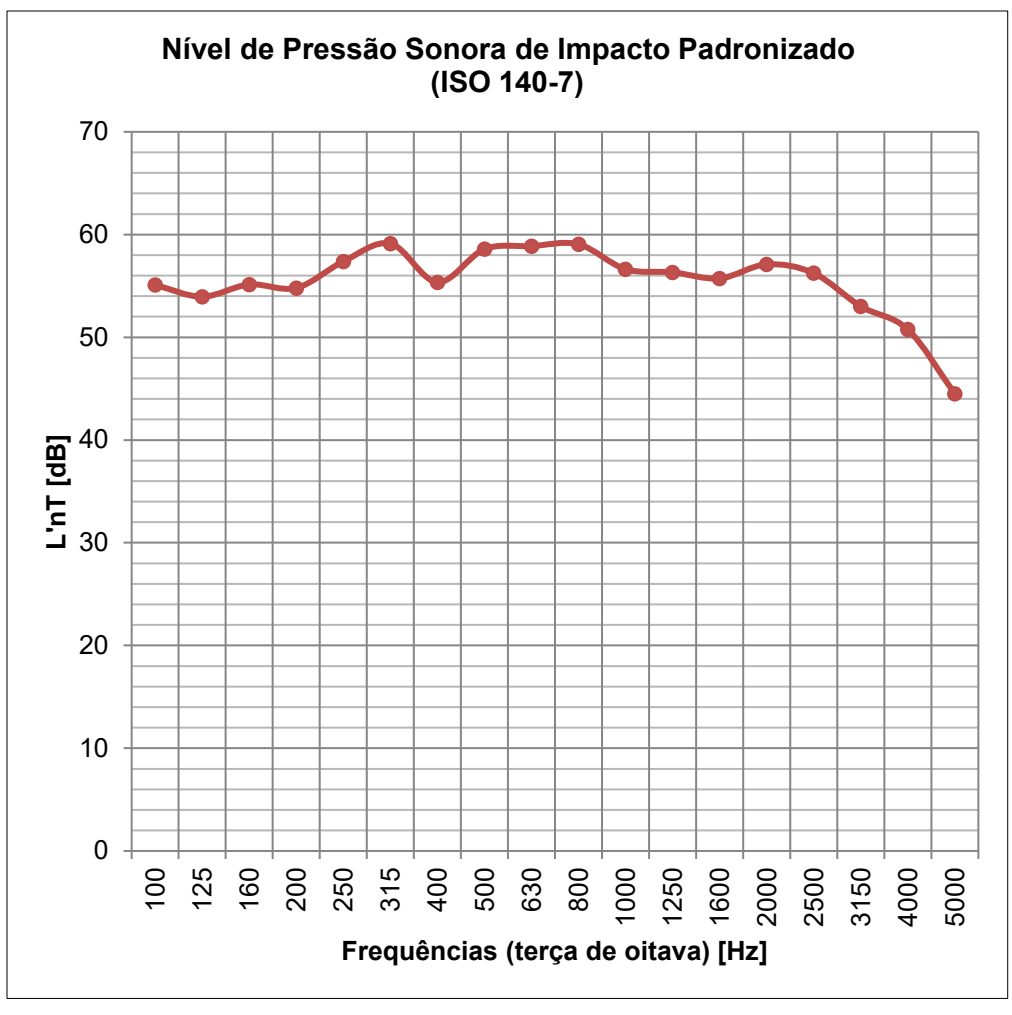
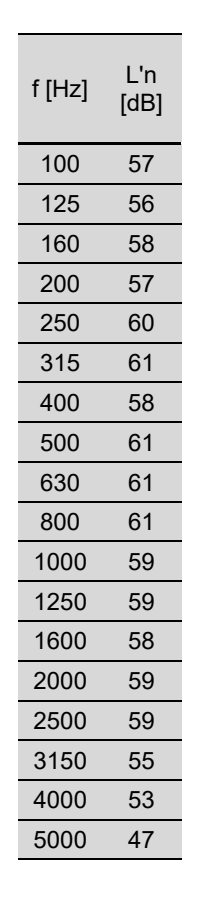
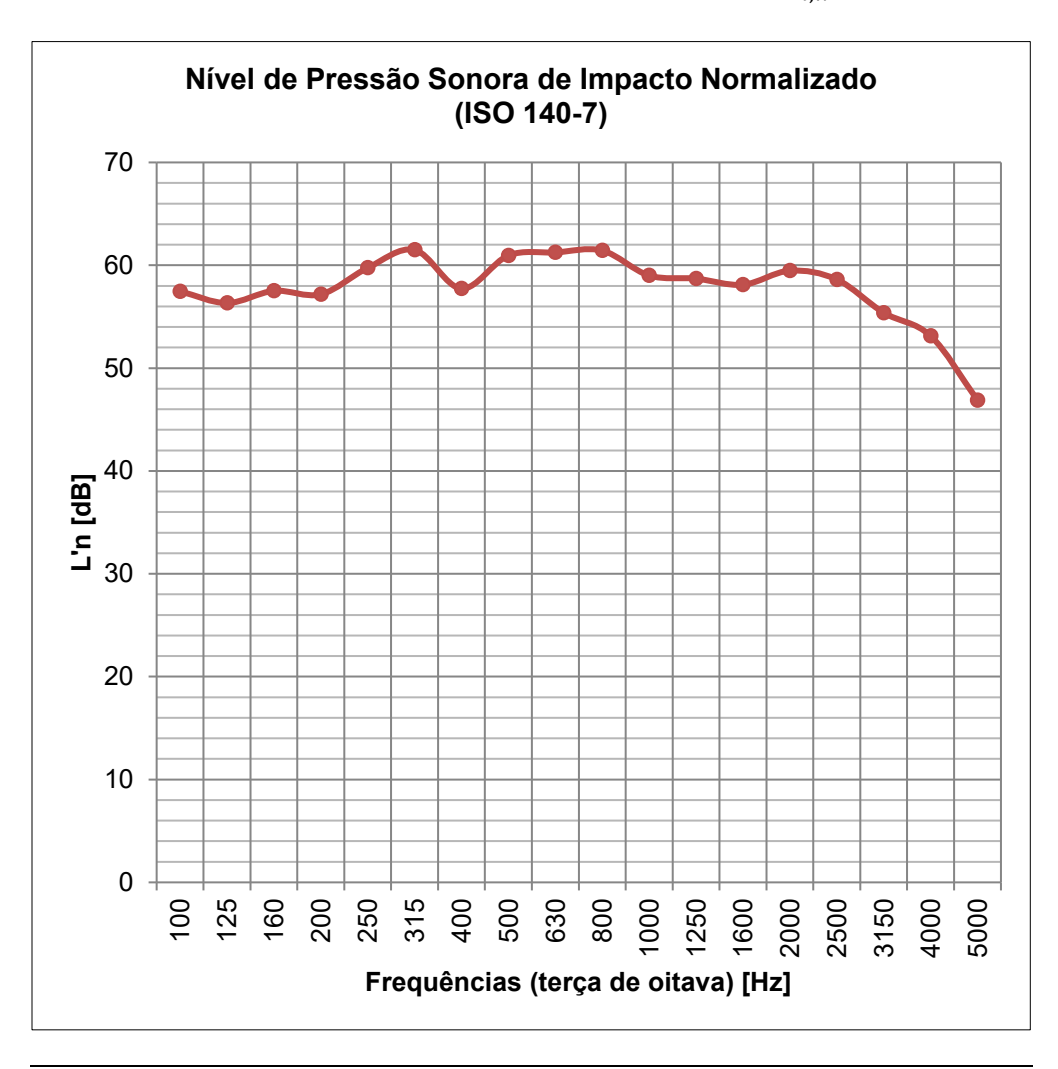


Tabela B.12 - Dados da medição de ruído de impacto de piso - Índice $L^\prime_{n,w}$ - Ensaio 6









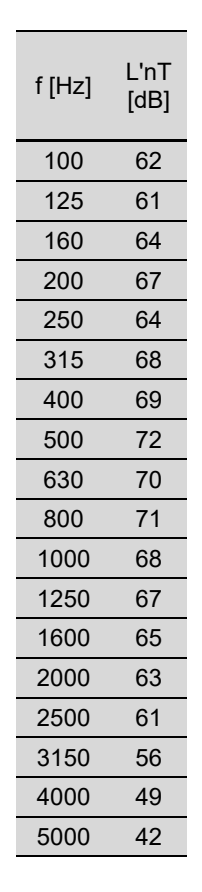
f = Frequência do centro da banda de terça de oitava [Hz]

Nível de Pressão Sonoro de Impacto Normalizado (ISO 140-7) [dB] L'n =

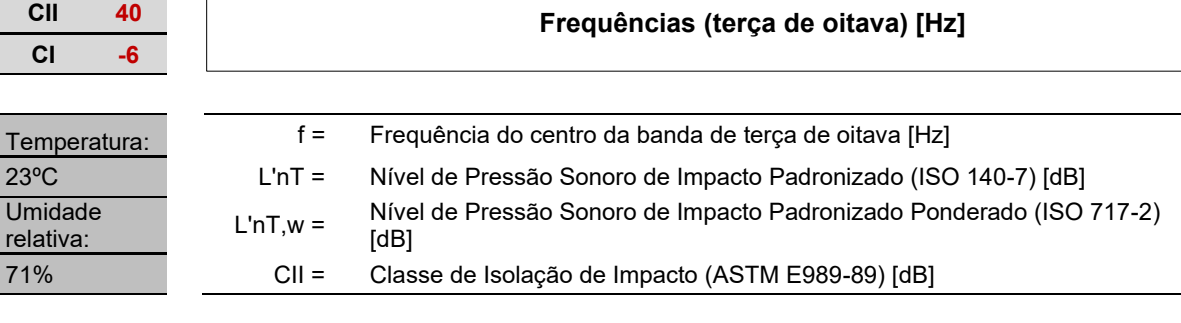
Nível de Pressão Sonoro de Impacto Normalizado Ponderado (ISO 717-2) L'n,w =[dB]

CII = Classe de Isolação de Impacto (ASTM E989-89) [dB]

Tabela B.13 - Dados da medição de ruído de impacto de piso - Índice $L'_{nT,w}$ - Ensaio 7







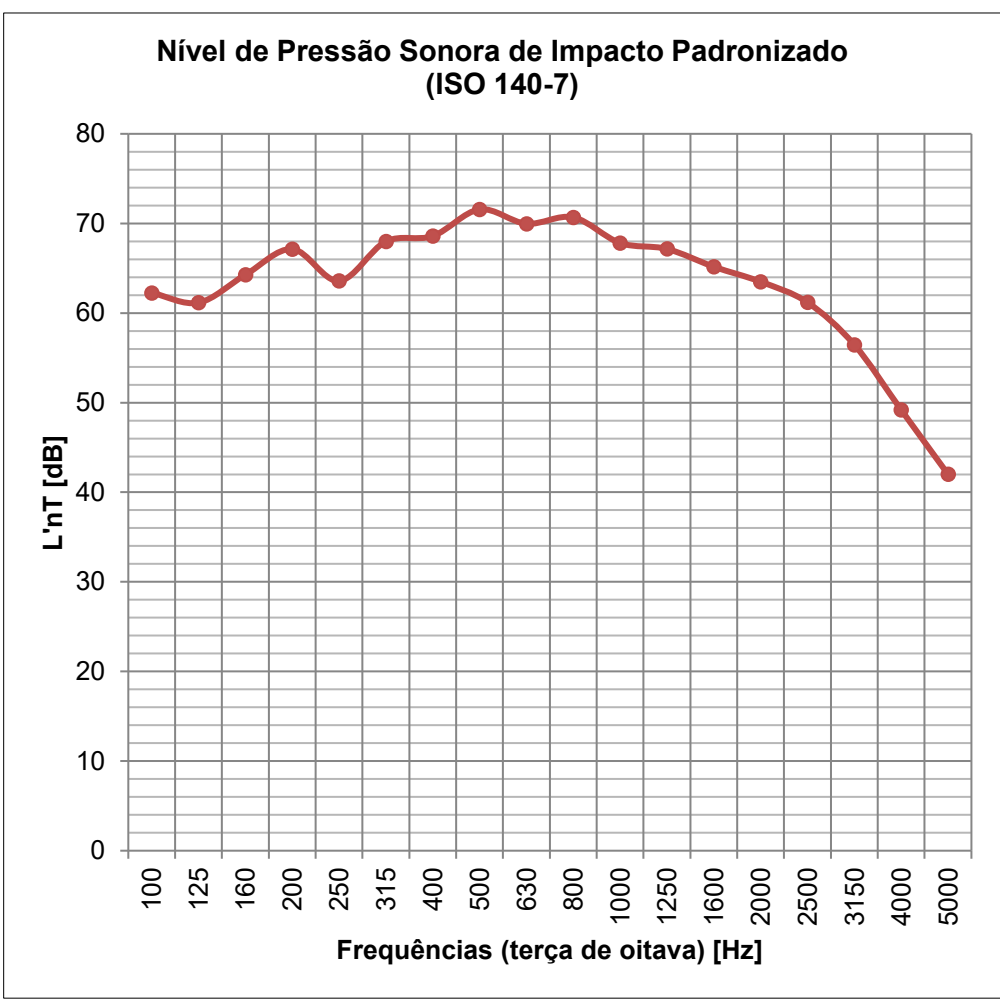
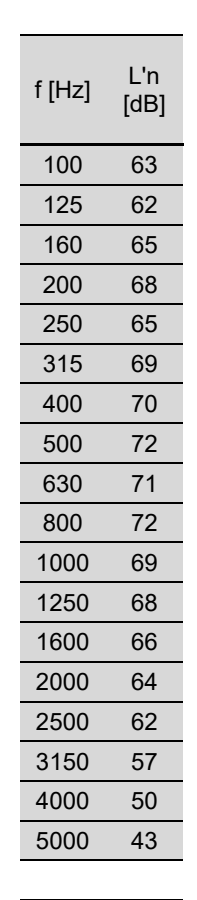
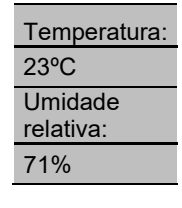
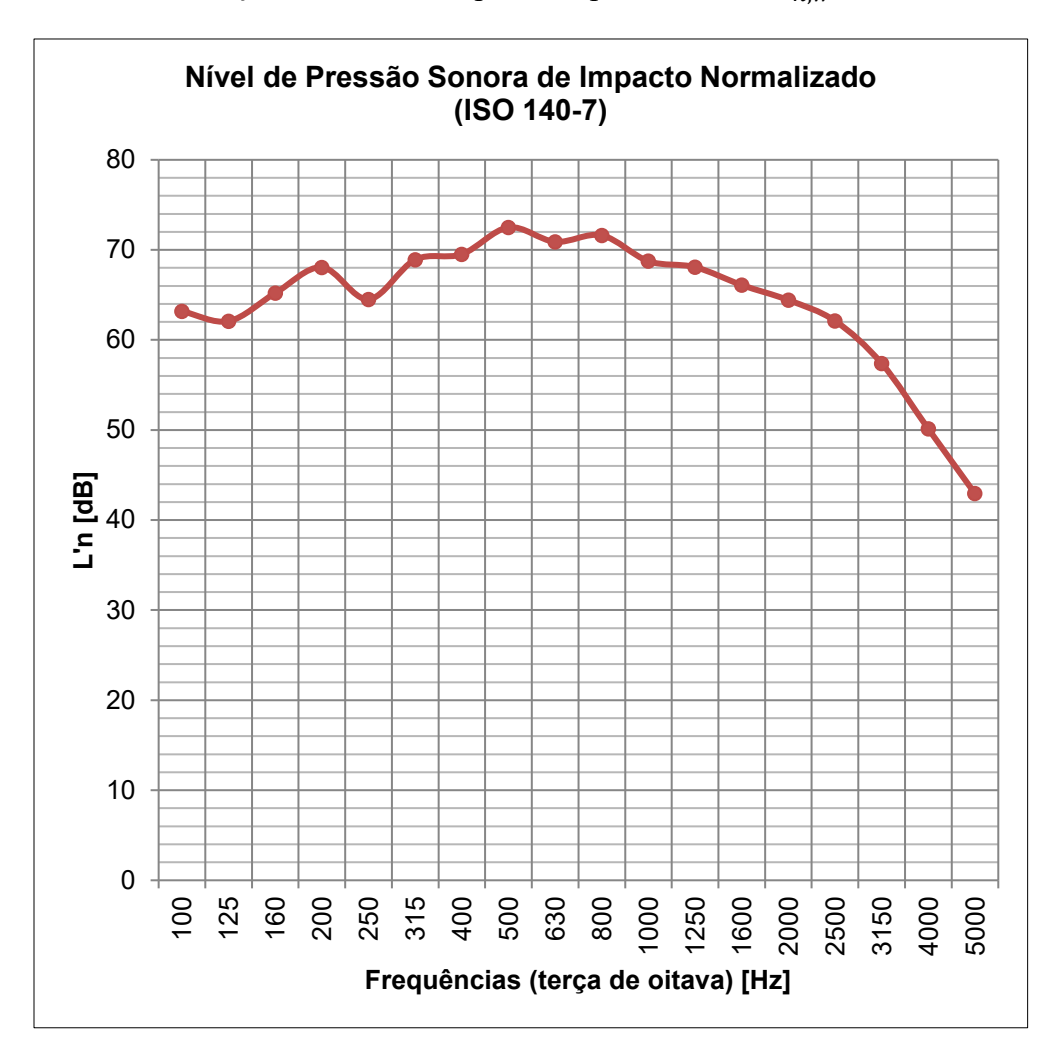


Tabela B.14 - Dados da medição de ruído de impacto de piso - Índice $L'_{n,w}$ - Ensaio 7









f = Frequência do centro da banda de terça de oitava [Hz]

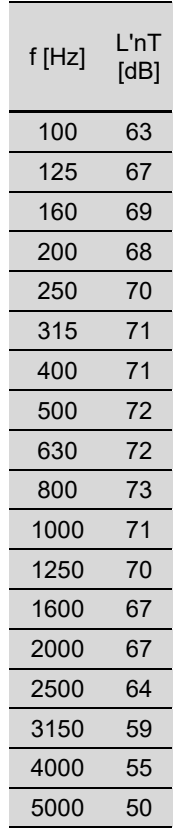
L'n = Nível de Pressão Sonoro de Impacto Normalizado (ISO 140-7) [dB]

L'n,w = Nível de Pressão Sonoro de Impacto Normalizada Ponderado (ISO 717-2)

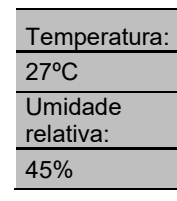
[dB]

CII = Classe de Isolação de Impacto (ASTM E989-89) [dB]

Tabela B.15 - Dados da medição de ruído de impacto de piso - Índice $L'_{nT.w}$ - Ensaio 8







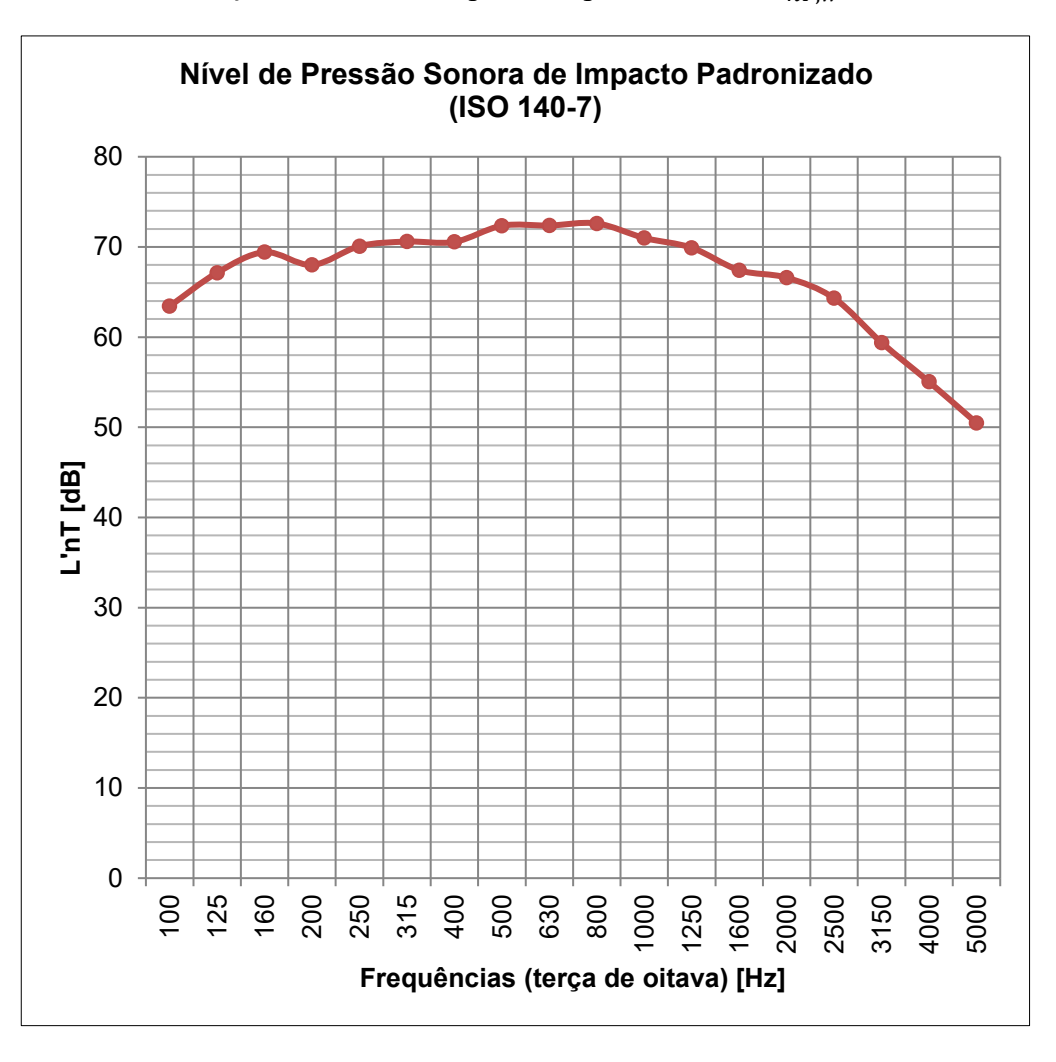
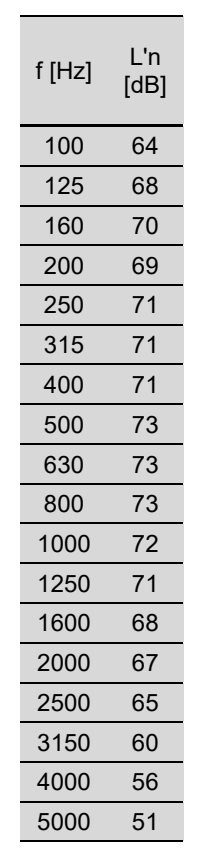
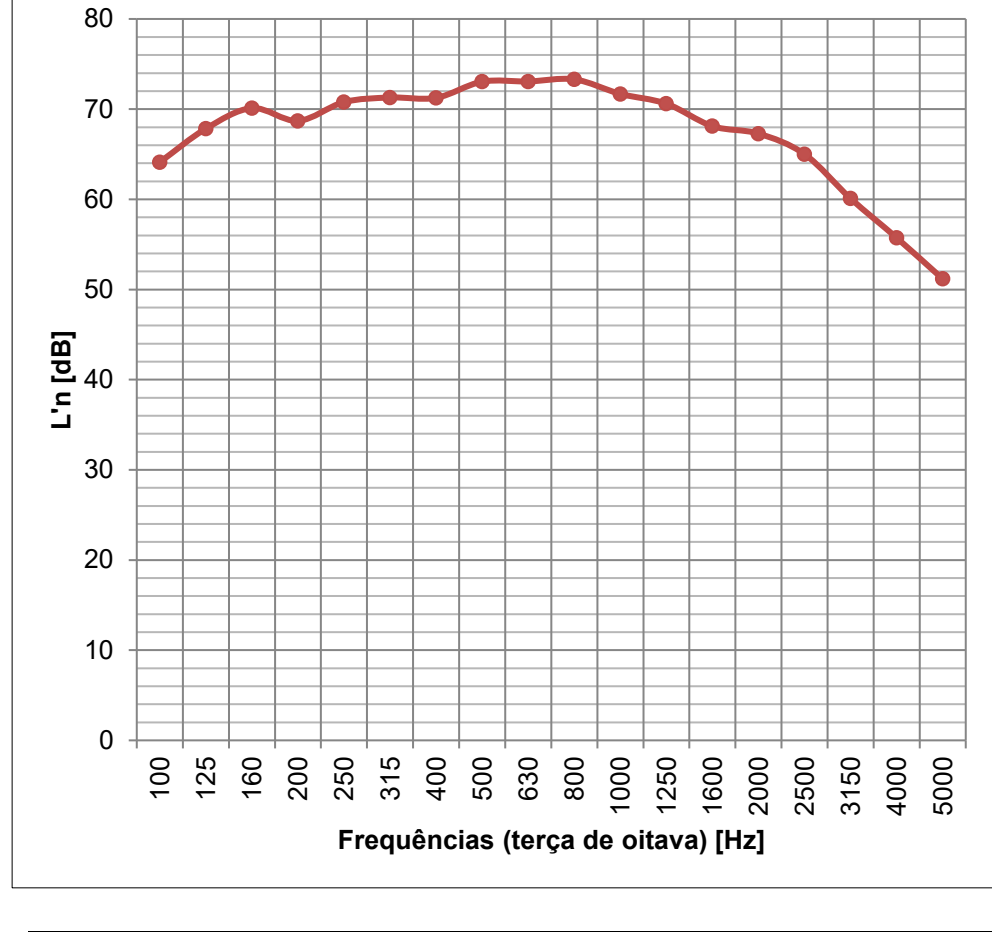


Tabela B.16 - Dados da medição de ruído de impacto de piso - Índice $L'_{n,w}$ - Ensaio 8

Nível de Pressão Sonora de Impacto Normalizado

(ISO 140-7)

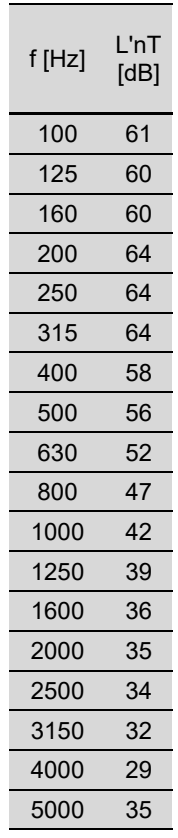




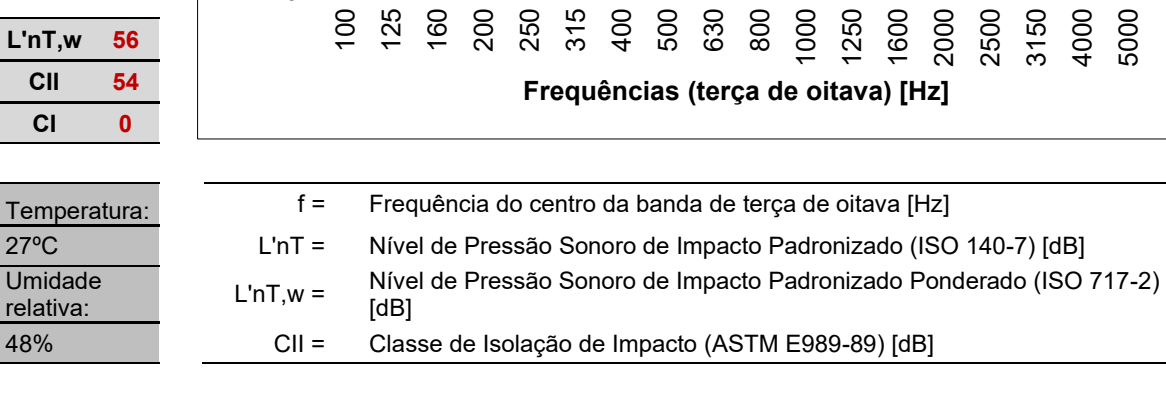
L'n,w 74
CII 36
CI -7

Temperatura: 27°C Umidade relativa: 45%

Tabela B.17 - Dados da medição de ruído de impacto de piso - Índice $L'_{nT,w}$ - Ensaio 9







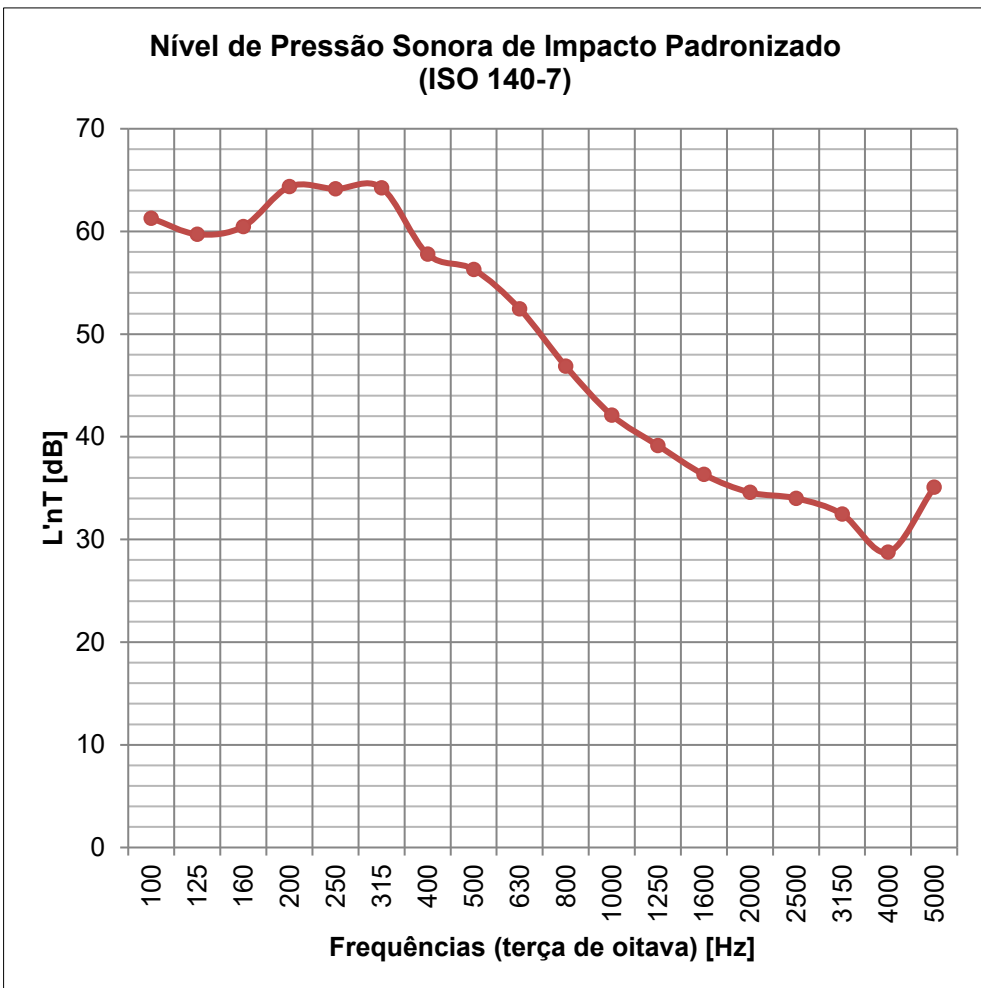
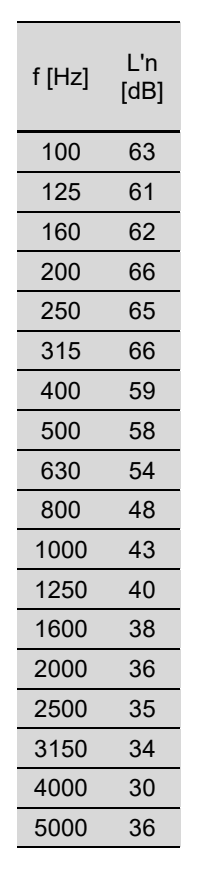
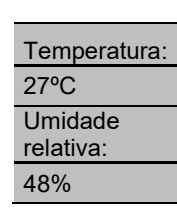


Tabela B.18 - Dados da medição de ruído de impacto de piso - Índice $L'_{n,w}$ - Ensaio 9







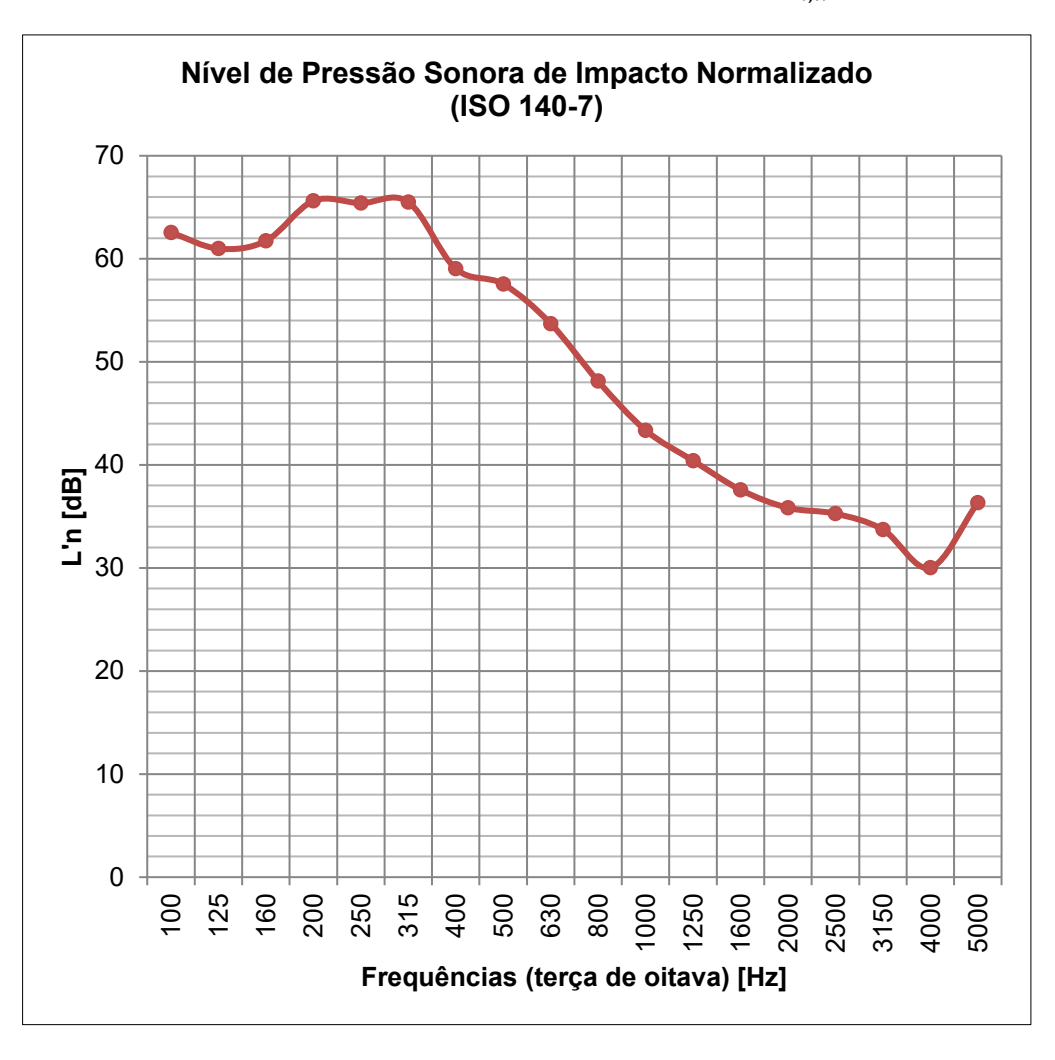
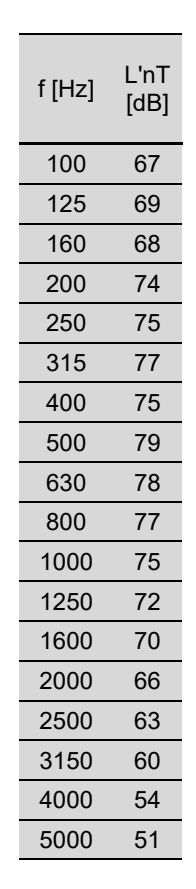
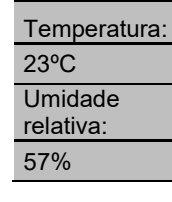


Tabela B.19 - Dados da medição de ruído de impacto de piso - Índice $L'_{nT.w}$ - Ensaio 10







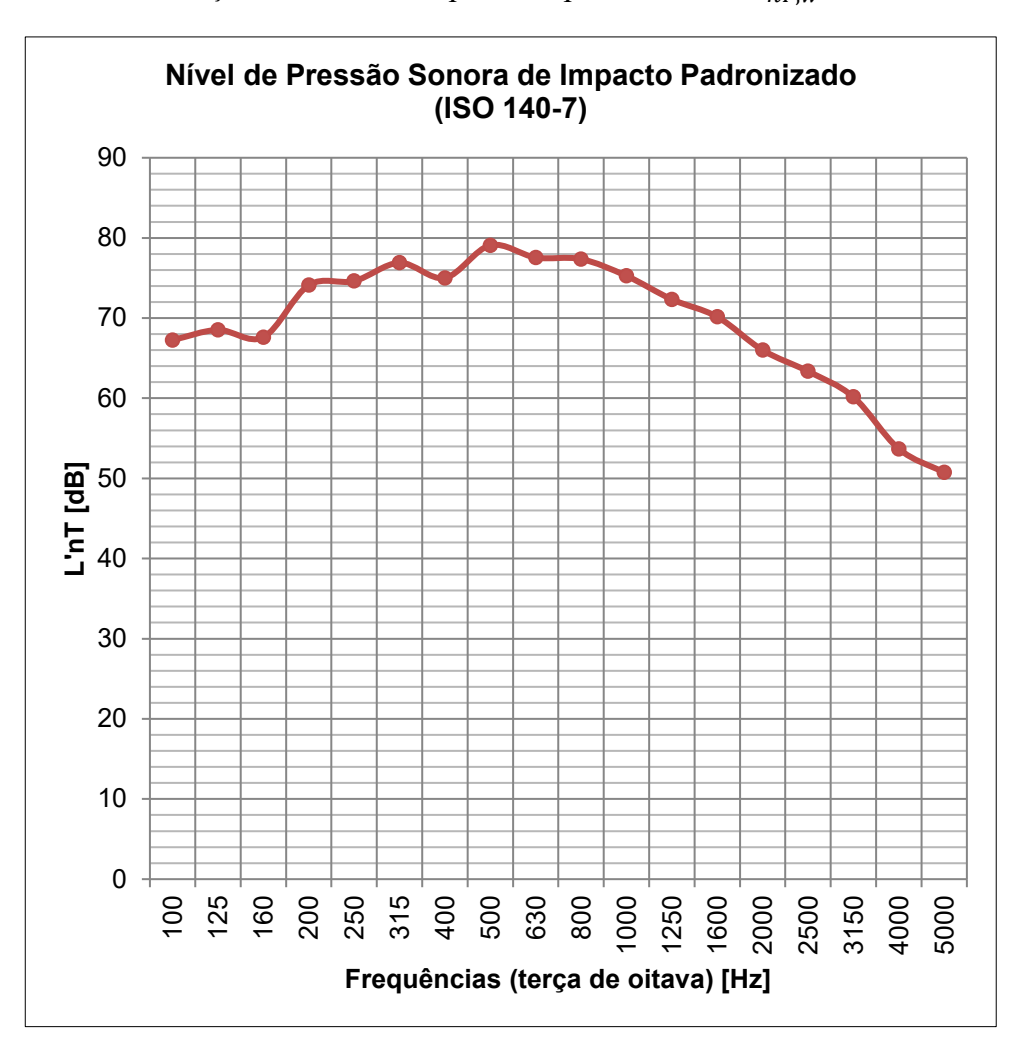
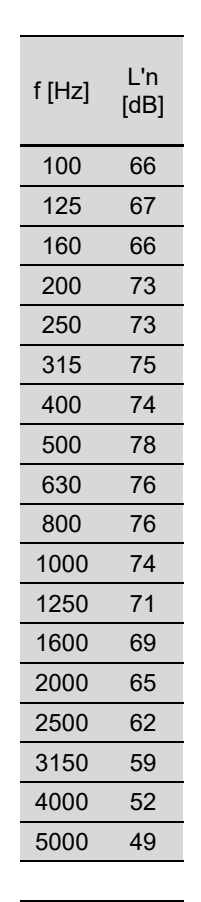
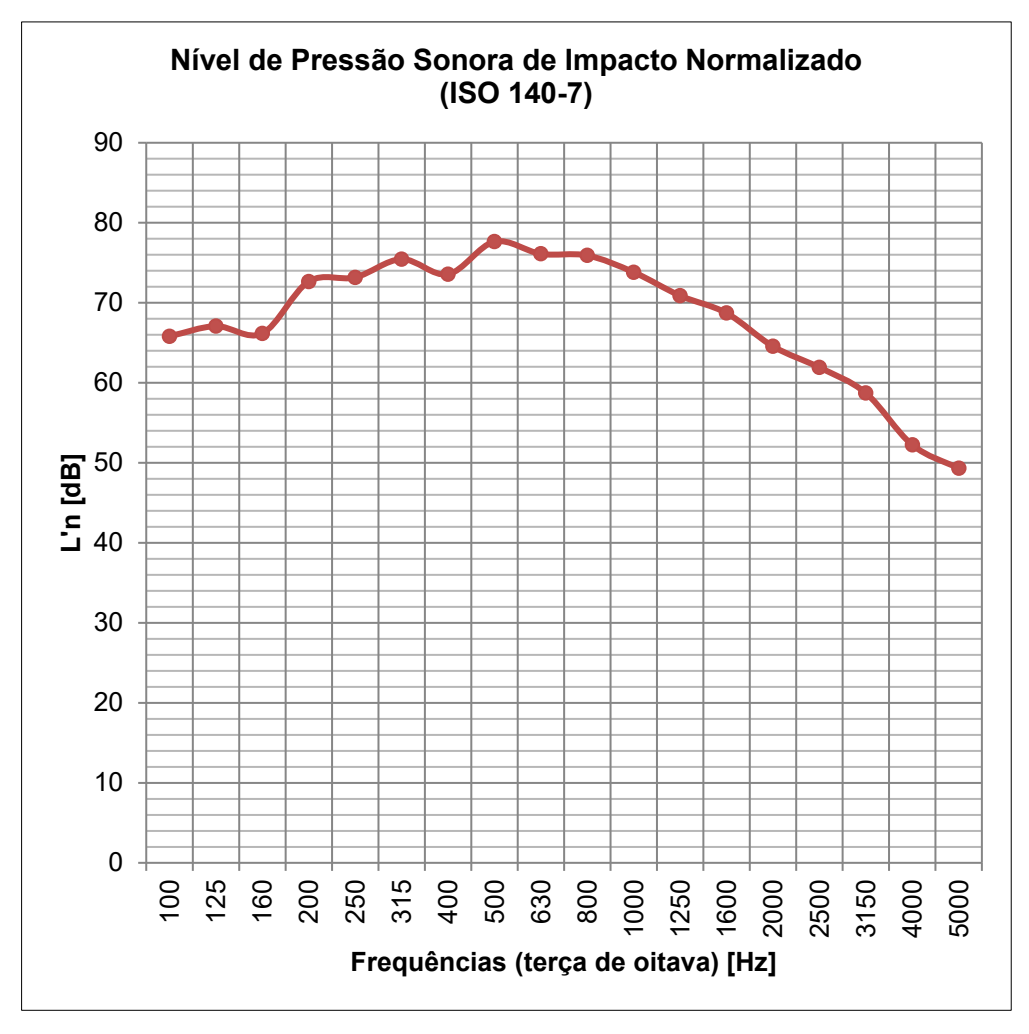


Tabela B.20 - Dados da medição de ruído de impacto de piso - Índice $L'_{n,w}$ - Ensaio 10

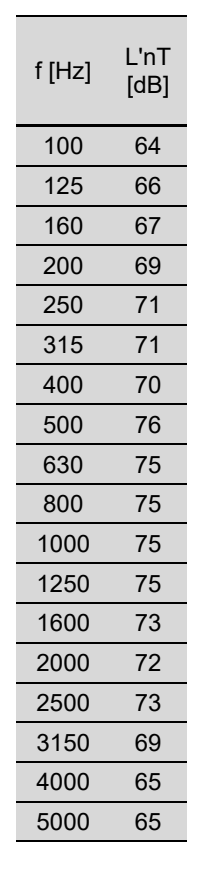






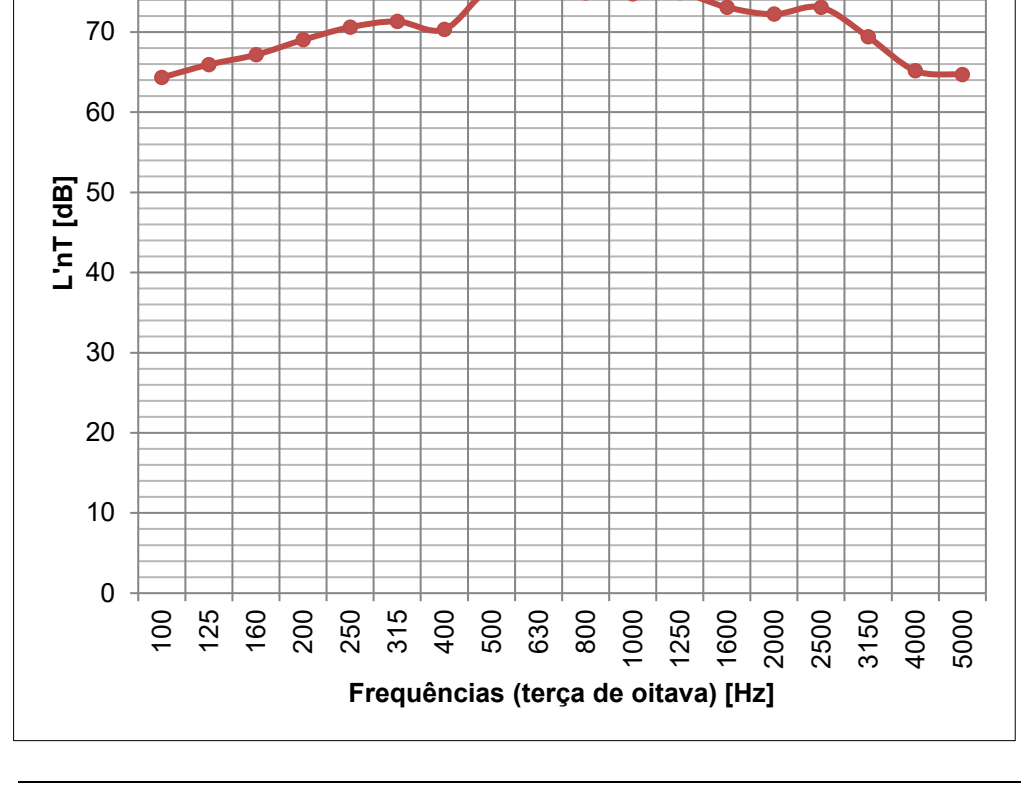
Temperatura
23°C
Umidade
relativa:
57%

Tabela B.21 - Dados da medição de ruído de impacto de piso - Índice $L'_{nT,w}$ - Ensaio 11



90

80



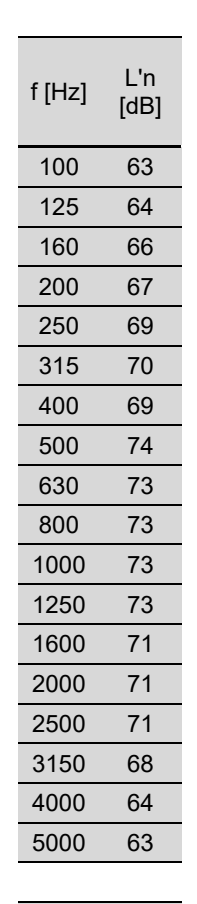
Nível de Pressão Sonora de Impacto Padronizado

(ISO 140-7)

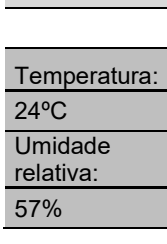


Temperatura: 24°C Umidade relativa: 57%

Tabela B.22 - Dados da medição de ruído de impacto de piso - Índice $L'_{n,w}$ - Ensaio 11







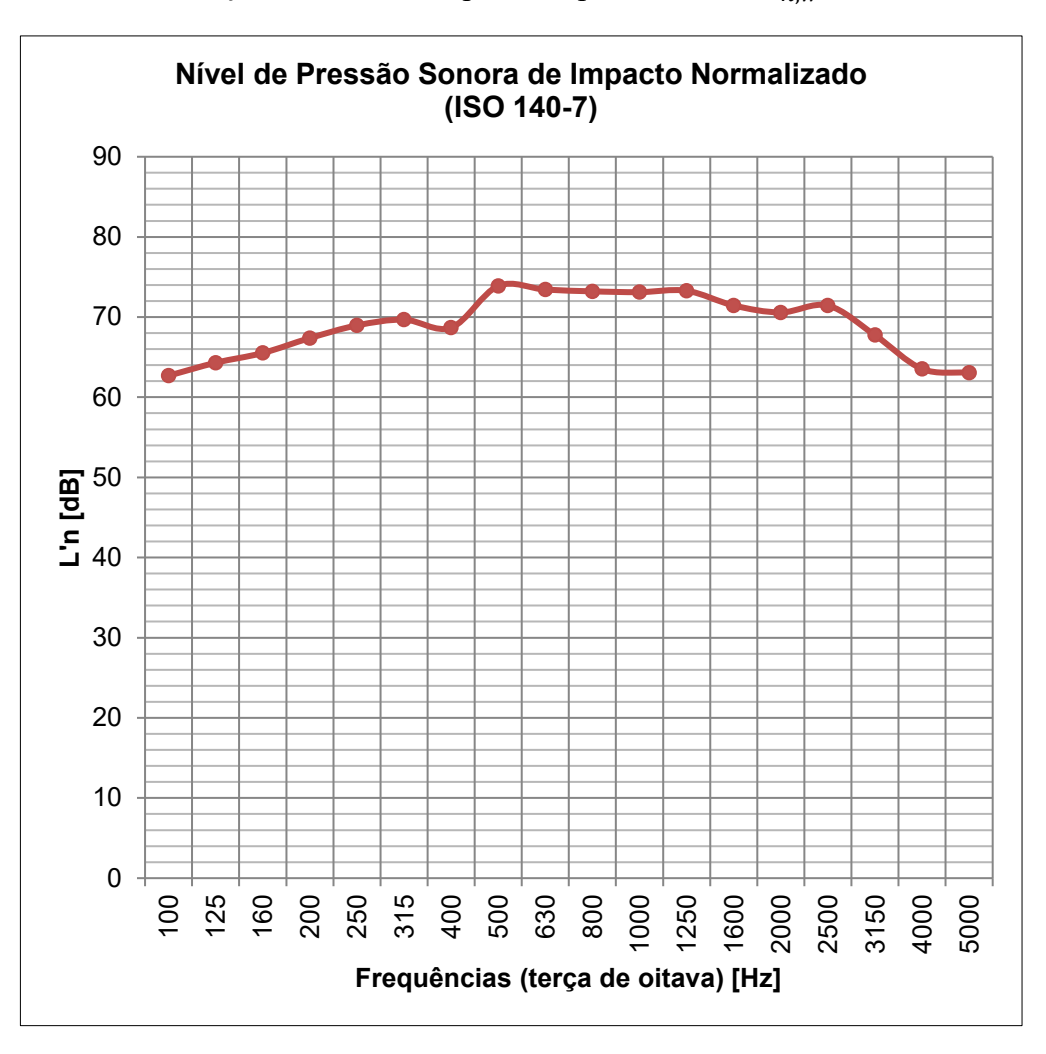
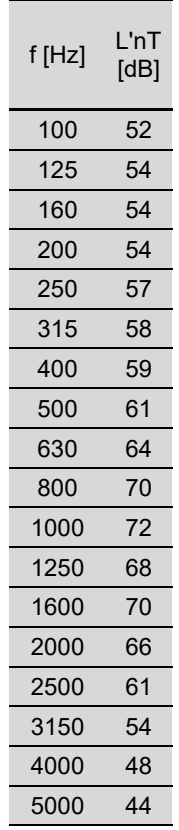
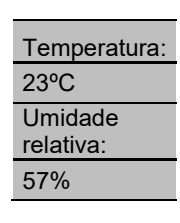


Tabela B.23 - Dados da medição de ruído de impacto de piso - Índice $L'_{nT.w}$ - Ensaio 12



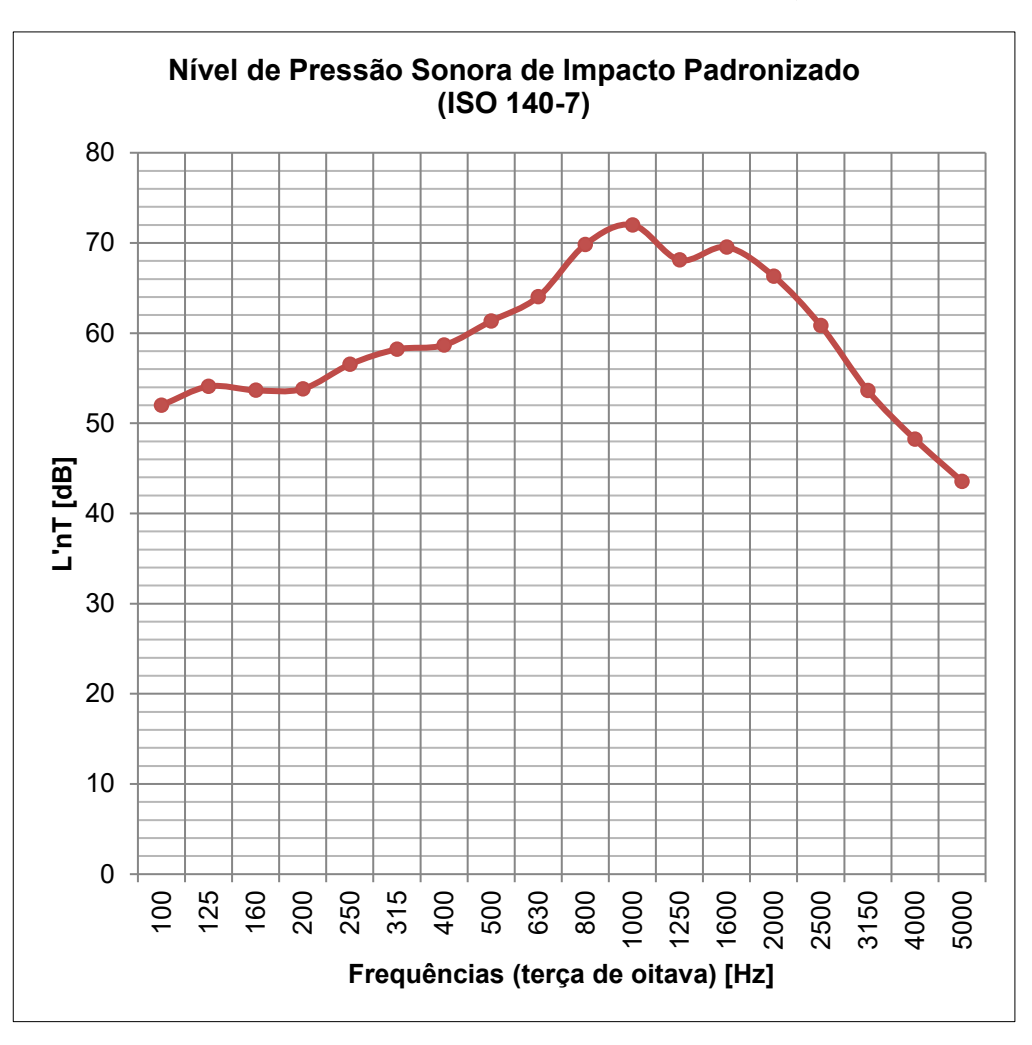




L'nT,w

CII

CI

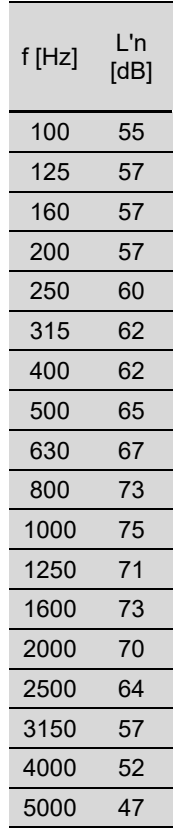


f =	Frequência do centro da banda de terça de oitava [Hz]
L'nT =	Nível de Pressão Sonoro de Impacto Padronizado (ISO 140-7) [dB]
L'nT,w =	Nível de Pressão Sonoro de Impacto Padronizado Ponderado (ISO 717-2) [dB]
CII -	Classo do Isolação do Impacto (ASTM E080 80) [dR]

Tabela B.24 - Dados da medição de ruído de impacto de piso - Índice $L'_{n,w}$ - Ensaio 12

Nível de Pressão Sonora de Impacto Normalizado

(ISO 140-7)

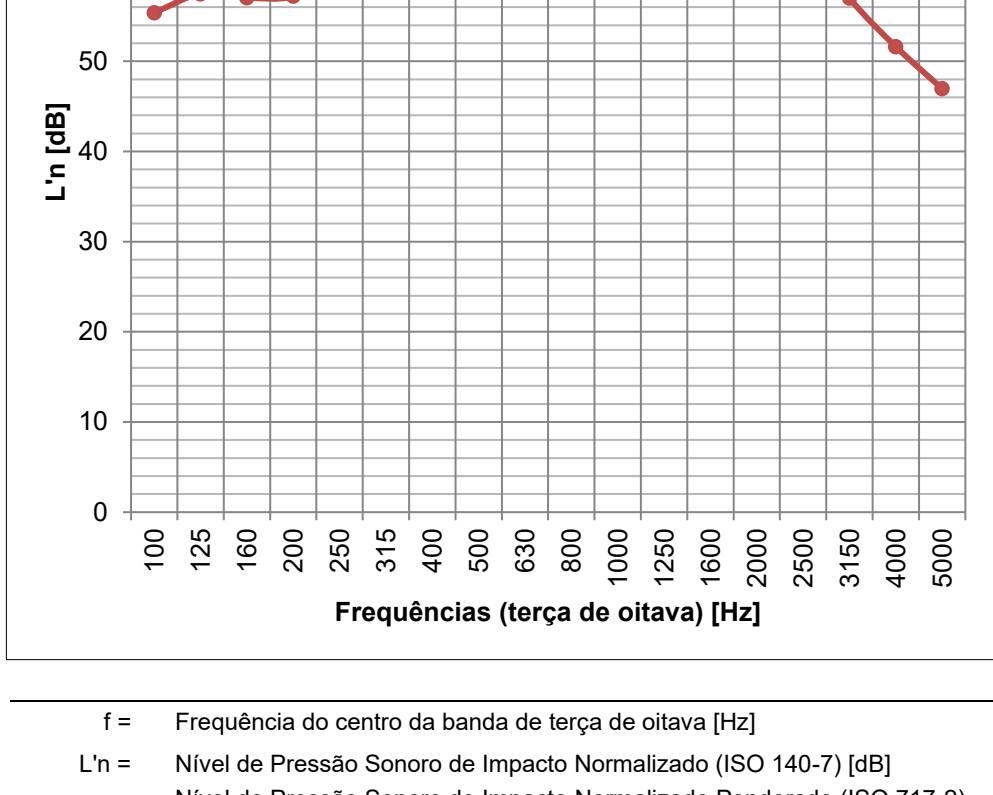


80

70

60





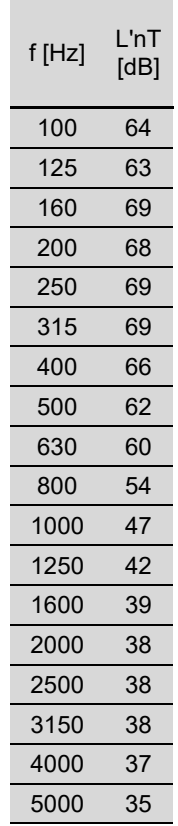
Temperatura: 23°C Umidade relativa: 57%

L'n,w

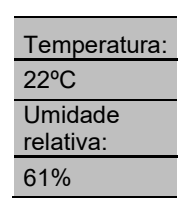
CII

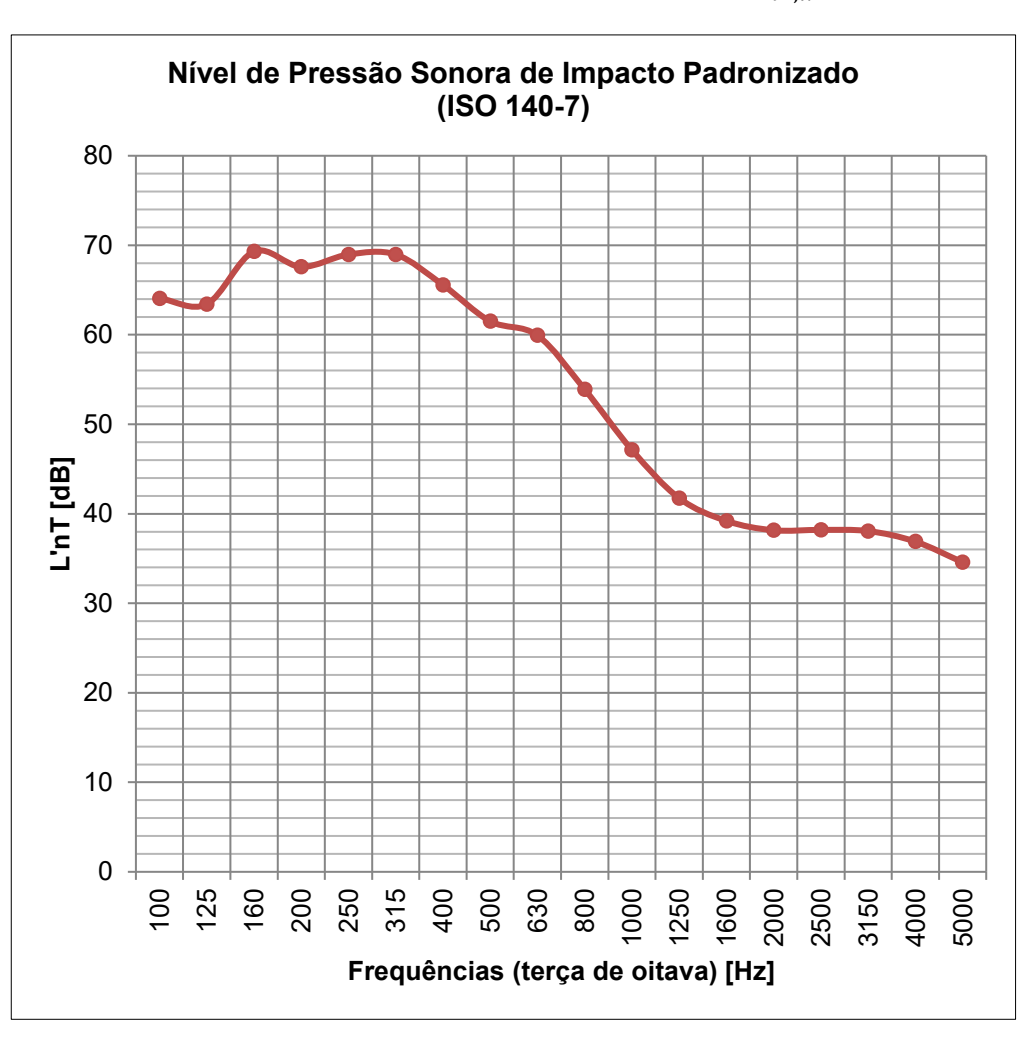
CI

Tabela B.25 - Dados da medição de ruído de impacto de piso - Índice $L'_{nT.w}$ - Ensaio 13



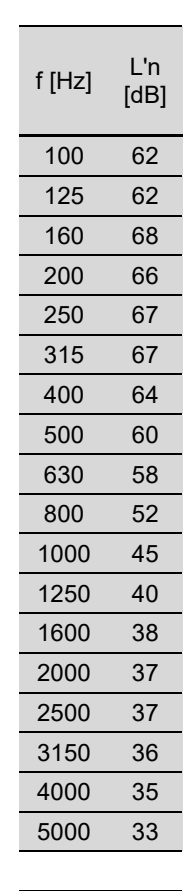






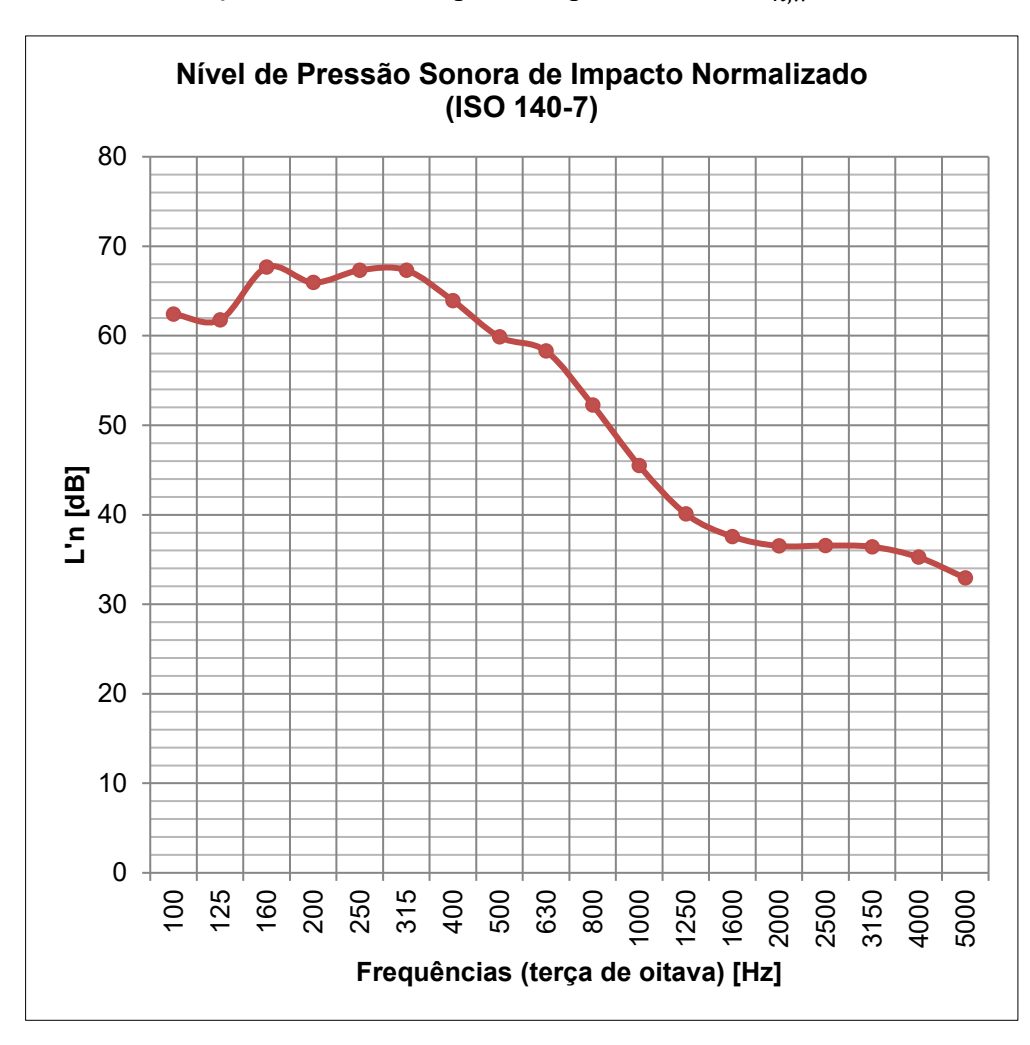
τ =	Frequencia do centro da banda de terça de oltava [HZ]
L'nT =	Nível de Pressão Sonoro de Impacto Padronizado (ISO 140-7) [dB]
L'nT,w =	Nível de Pressão Sonoro de Impacto Padronizado Ponderado (ISO 717-2) [dB]
CII =	Classe de Isolação de Impacto (ASTM E989-89) [dB]

Tabela B.26 - Dados da medição de ruído de impacto de piso - Índice $L'_{n,w}$ - Ensaio 13









f = Frequência do centro da banda de terça de oitava [Hz]

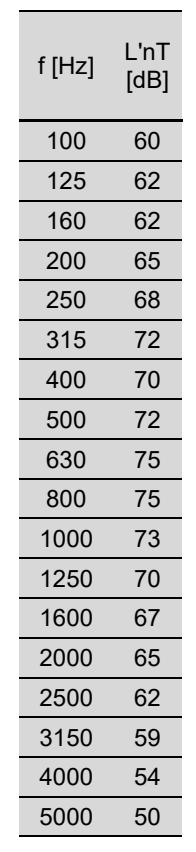
L'n = Nível de Pressão Sonoro de Impacto Normalizado (ISO 140-7) [dB]

L'n,w = Nível de Pressão Sonoro de Impacto Normalizado Ponderado (ISO 717-2)

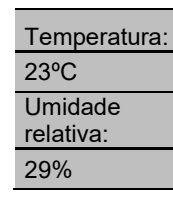
[dB]

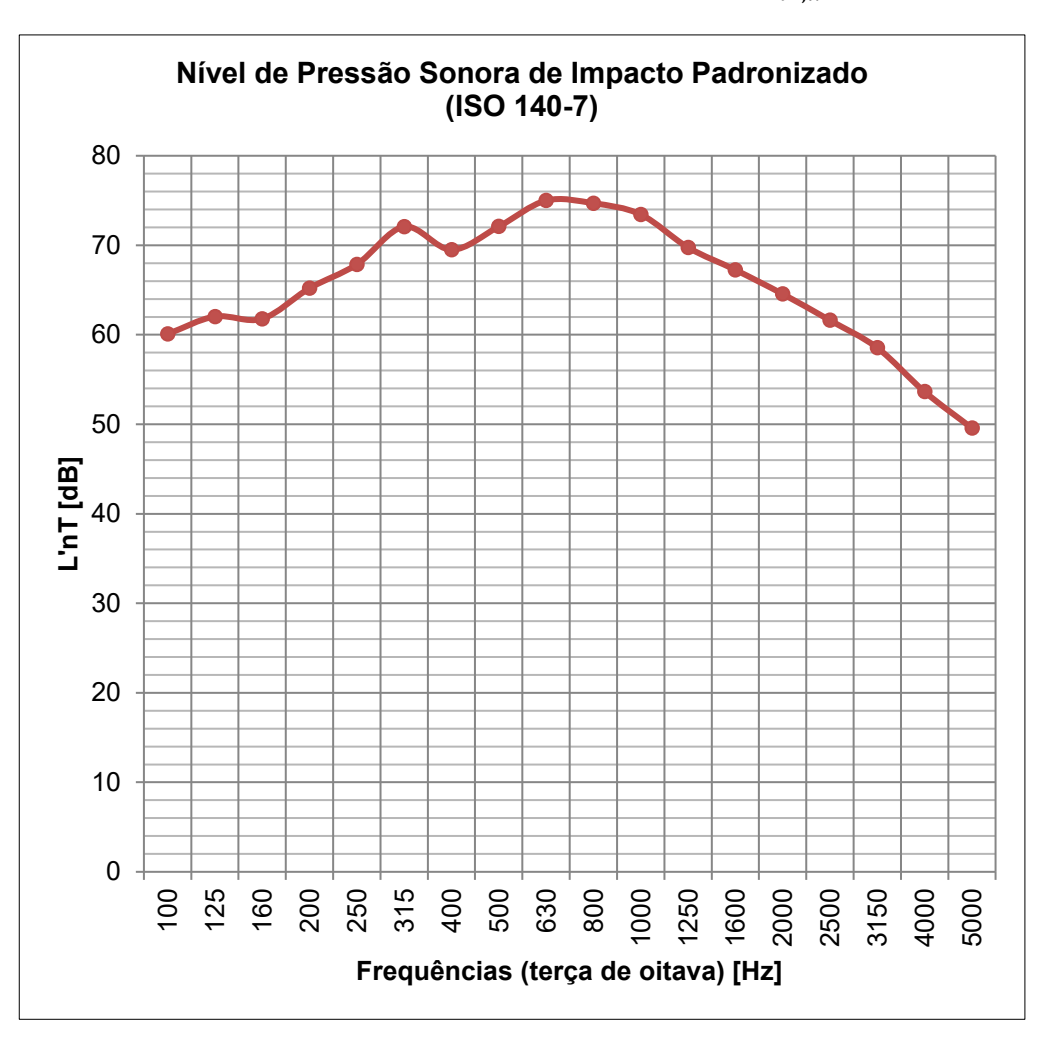
CII = Classe de Isolação de Impacto (ASTM E989-89) [dB]

Tabela B.27 - Dados da medição de ruído de impacto de piso - Índice $L'_{nT.w}$ - Ensaio 14



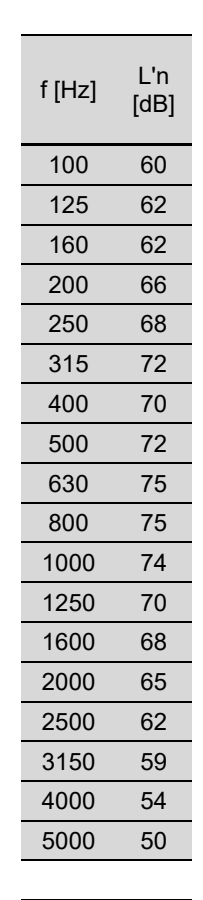




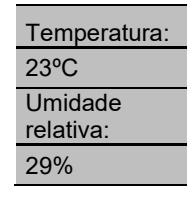


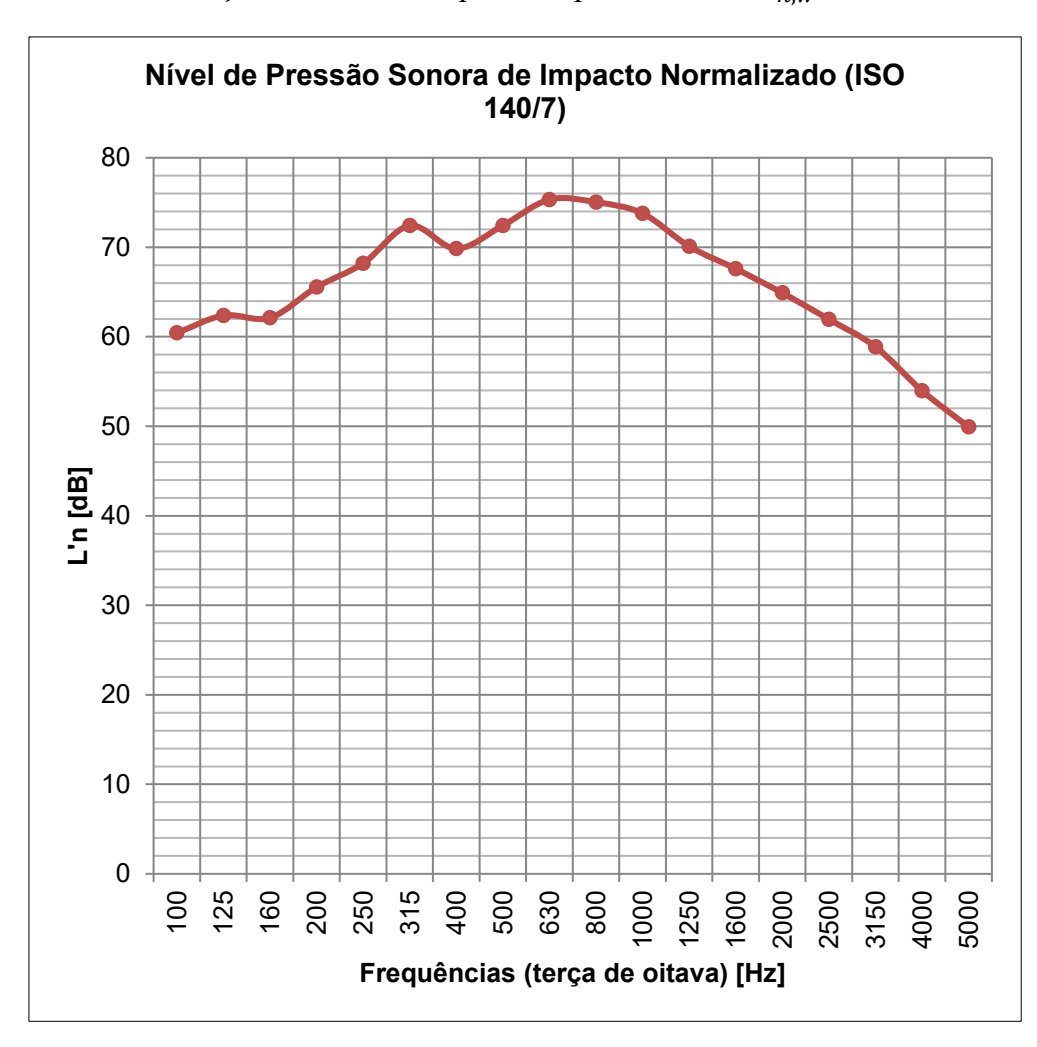
f =	Frequência do centro da banda de terça de oitava [Hz]
L'nT =	Nível de Pressão Sonoro de Impacto Padronizado (ISO 140-7) [dB]
L'nT,w =	Nível de Pressão Sonoro de Impacto Padronizado Ponderado (ISO 717-2) [dB]
CII =	Classe de Isolação de Impacto (ASTM E989-89) [dB]

Tabela B.28 - Dados da medição de ruído de impacto de piso - Índice $L'_{n,w}$ - Ensaio 14









† =	Frequência do centro da banda de terça de oitava [Hz]
L'T =	Nível de Pressão Sonoro de Impacto Normalizado (ISO 140-7) [dB]
L'nT,w =	Nível de Pressão Sonoro de Impacto Normalizado Ponderado (ISO 717-2) [dB]
CII =	Classe de Isolação de Impacto (ASTM E989-89) [dB]

ANEXO C

Fotos dos ambientes emissores e receptores ensaiados para cada edificação (conforme ISO 140-7: 1998)



Figura C.1 - Ambiente Emissor (pavto. superior) - Ensaio 1



Figura C.2 - Ambiente Emissor (pavto. superior) - Ensaio 1



Figura C.3 - Ambiente Receptor (pavto. inferior) - Ensaio 1



Figura C.4 - Ambiente Receptor (pavto. inferior) - Ensaio 1



Figura C.5 - Ambiente Emissor (pavto. superior) - Ensaio 2



Figura C.6 - Ambiente Emissor (pavto. superior) - Ensaio 2



Figura C.7 - Ambiente Receptor (pavto. inferior) - Ensaio 2



Figura C.8 - Ambiente Receptor (pavto. inferior) - Ensaio 2



Figura C.9 - Ambiente Emissor (pavto. superior) - Ensaio 3



Figura C.10 - Ambiente Emissor (pavto. superior) - Ensaio 3



Figura C.11 - Ambiente Receptor (pavto. inferior) - Ensaio 3



Figura C.12 - Ambiente Receptor (pavto. inferior) - Ensaio 3



Figura C.13 - Ambiente Emissor (pavto. superior) - Ensaio 4

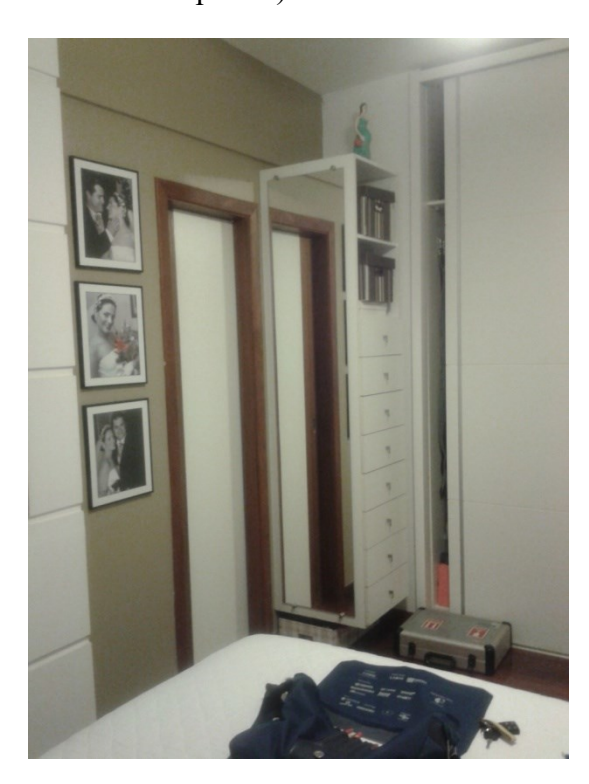


Figura C.15 - Ambiente Receptor (pavto. inferior) - Ensaio 4

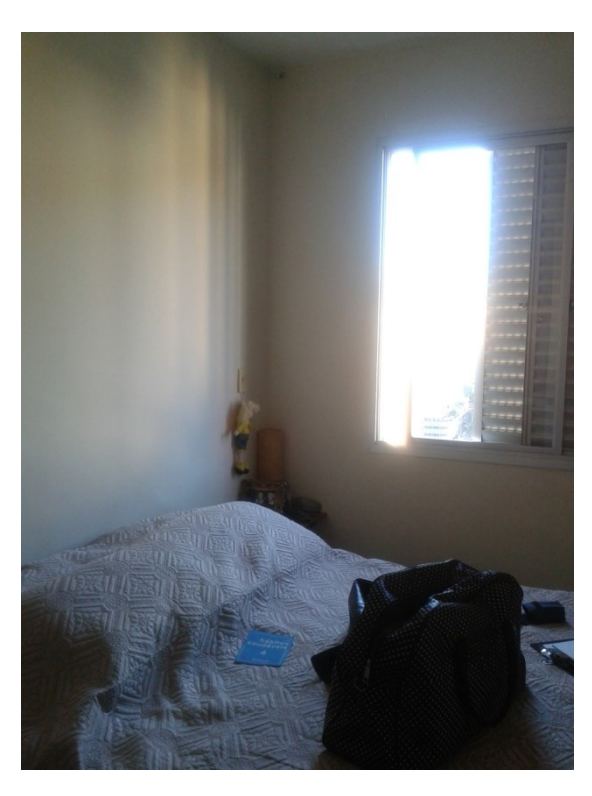


Figura C.14 - Ambiente Emissor (pavto. superior) - Ensaio 4

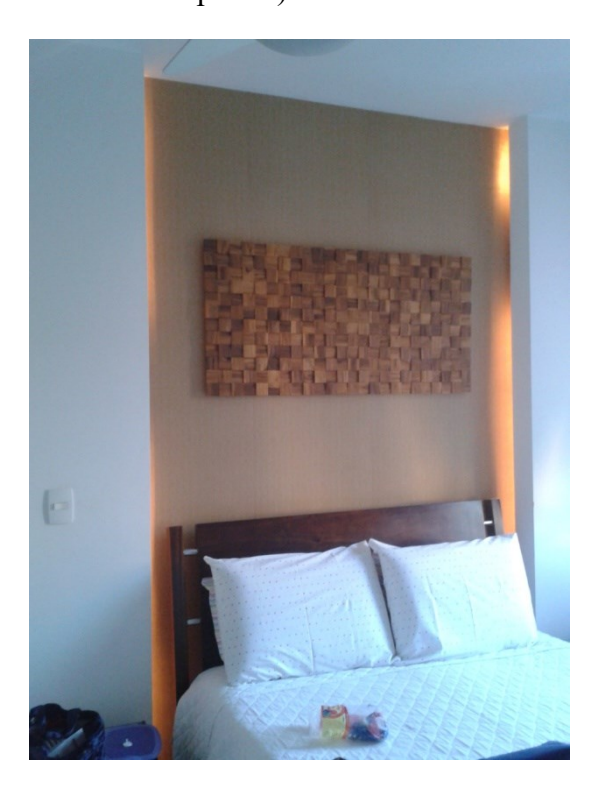


Figura C.16 - Ambiente Receptor (pavto. inferior) - Ensaio 4

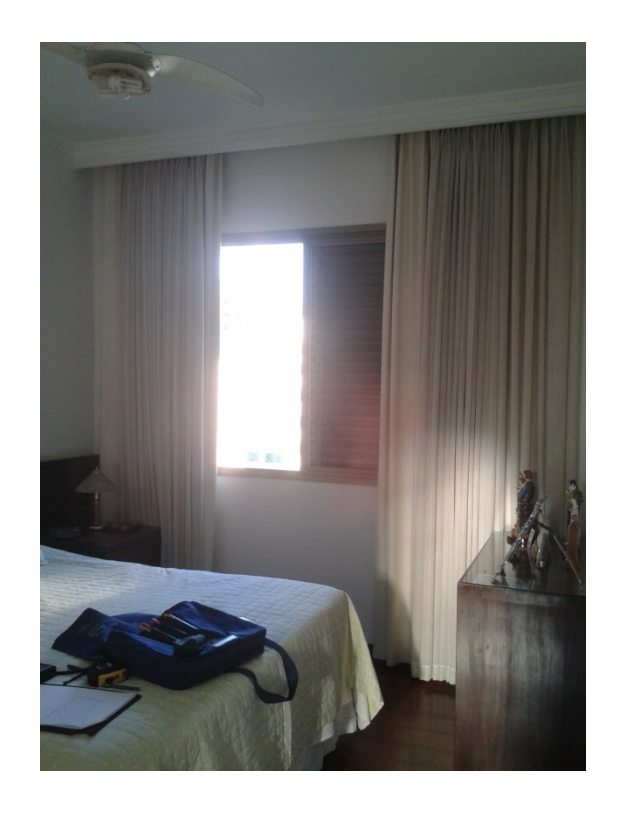


Figura C.17 - Ambiente Emissor (pavto. superior) - Ensaio 5



Figura C.19 - Ambiente Receptor (pavto. inferior) - Ensaio 5

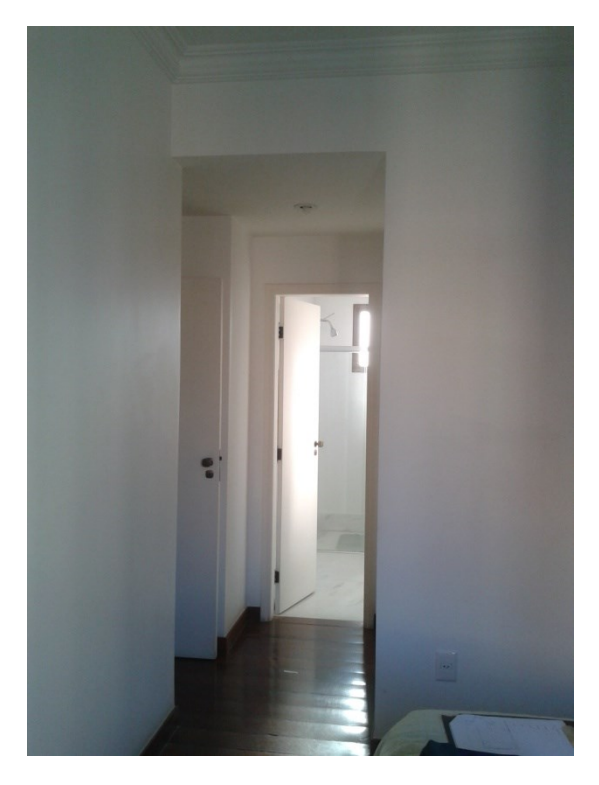


Figura C.18 - Ambiente Emissor (pavto. superior) - Ensaio 5



Figura C.20 - Ambiente Receptor (pavto. inferior) - Ensaio 5

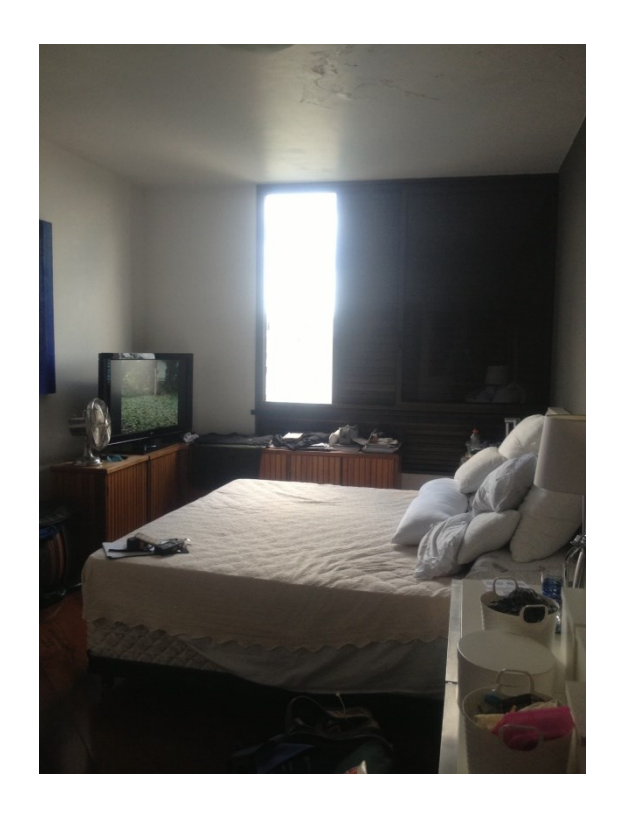


Figura C.21 - Ambiente Emissor (pavto. superior) - Ensaio 6

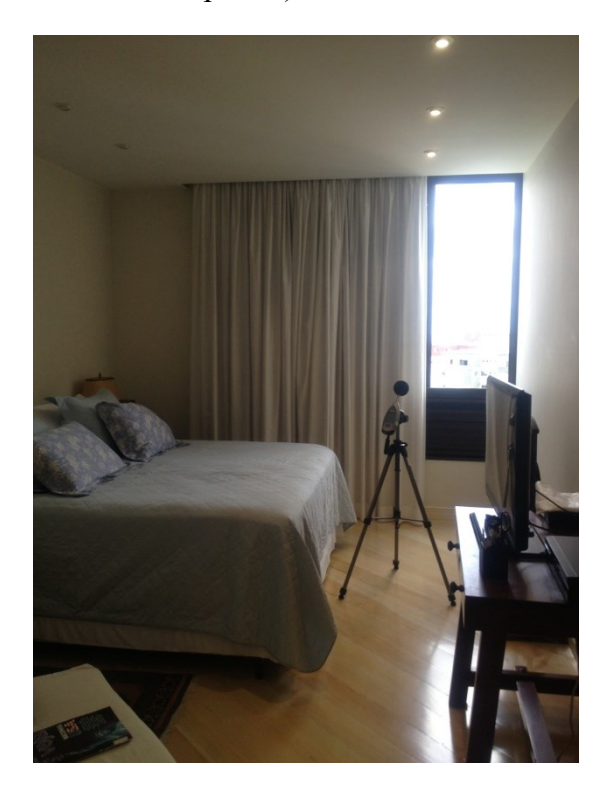


Figura C.23 - Ambiente Receptor (pavto. inferior) - Ensaio 6



Figura C.22 - Ambiente Emissor (pavto. superior) - Ensaio 6



Figura C.24 - Ambiente Receptor (pavto. inferior) - Ensaio 6



Figura C.25 - Ambiente Emissor (pavto. superior) - Ensaio 7

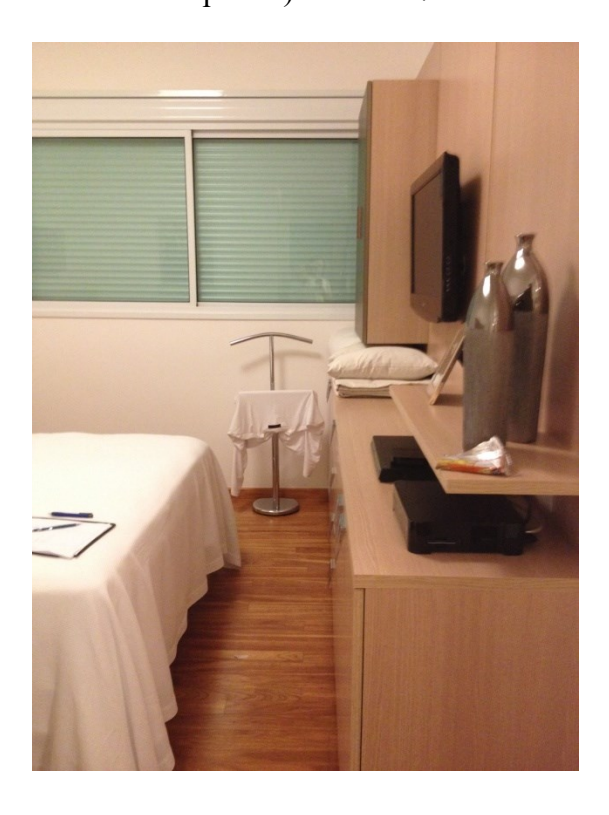


Figura C.27 - Ambiente Receptor (pavto. inferior) - Ensaio 7



Figura C.26 - Ambiente Emissor (pavto. superior) - Ensaio 7



Figura C.28 - Ambiente Receptor (pavto. inferior) - Ensaio 7



Figura C.29 - Ambiente Emissor (pavto. superior) - Ensaio 8



Figura C.30 - Ambiente Emissor (pavto. superior) - Ensaio 8



Figura C.31 - Ambiente Receptor (pavto. inferior) - Ensaio 8



Figura C.32 - Ambiente Receptor (pavto. inferior) - Ensaio 8



Figura C.33 - Ambiente Emissor (pavto. superior) - Ensaio 9

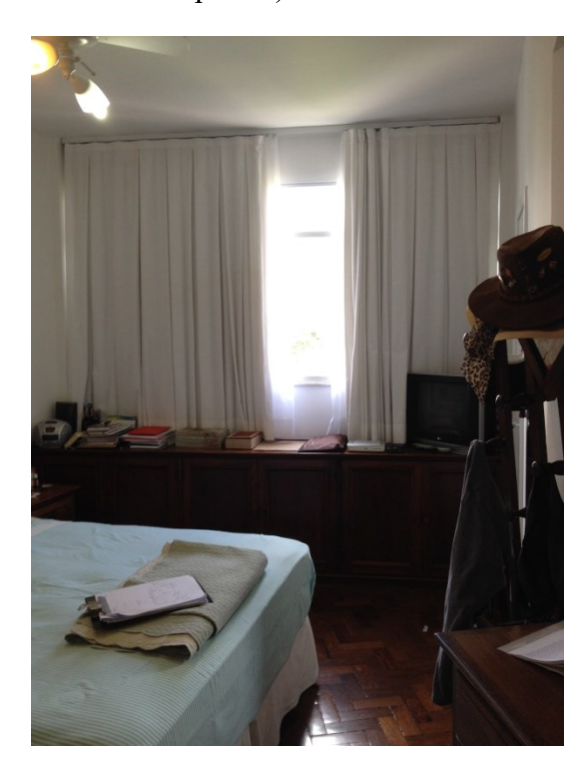


Figura C.35 - Ambiente Receptor (pavto. inferior) - Ensaio 9



Figura C.34 - Ambiente Emissor (pavto. superior) - Ensaio 9



Figura C.36 - Ambiente Receptor (pavto. inferior) - Ensaio 9



Figura C.37 - Ambiente Emissor (pavto. superior) - Ensaio 10

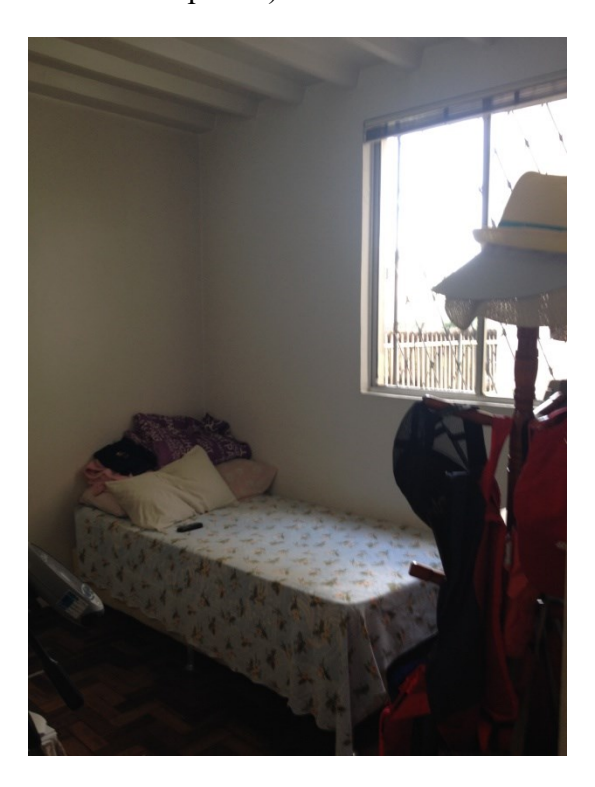


Figura C.39 - Ambiente Receptor (pavto. inferior) - Ensaio 10



Figura C.38 - Ambiente Emissor (pavto. superior) - Ensaio 10



Figura C.40 - Ambiente Receptor (pavto. inferior) - Ensaio 10



Figura C.41 - Ambiente Emissor (pavto. superior) - Ensaio 11



Figura C.42 - Ambiente Emissor (pavto. superior) - Ensaio 11

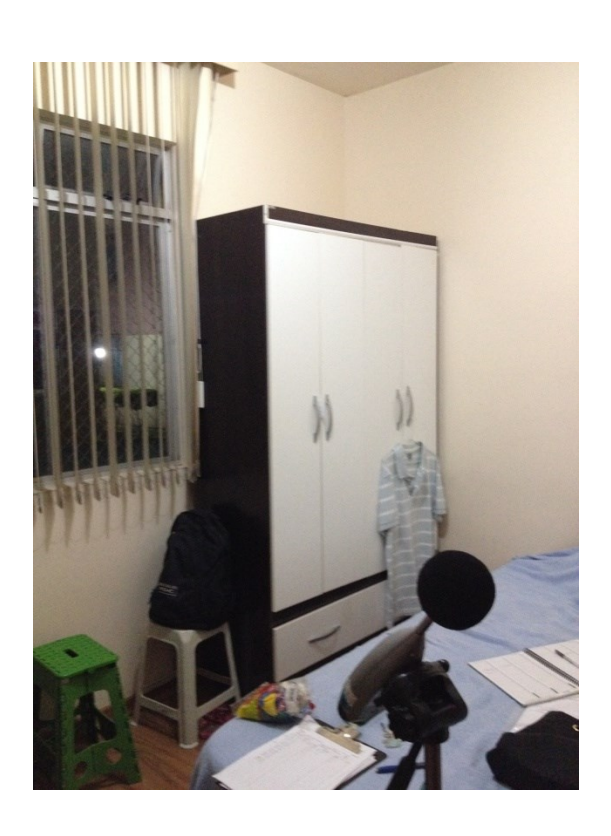


Figura C.43 - Ambiente Receptor (pavto. inferior) - Ensaio 11



Figura C.44 - Ambiente Receptor (pavto. inferior) - Ensaio 11

Ensaio 12

(Não foram tiradas fotos)

Ambiente Emissor (pavto. superior) - Ambiente Emissor (pavto. superior) -Ensaio 12

(Não foram tiradas fotos)



Figura C.45 - Ambiente Receptor (pavto. inferior) - Ensaio 12



Figura C.46 - Ambiente Receptor (pavto. inferior) - Ensaio 12



Figura C.47 - Ambiente Emissor (pavto. superior) - Ensaio 13



Figura C.48 - Ambiente Emissor (pavto. superior) - Ensaio 13



Figura C.49 - Ambiente Receptor (pavto. inferior) - Ensaio 13



Figura C.50 - Ambiente Receptor (pavto. inferior) - Ensaio 13



Figura C.51 - Ambiente Emissor (pavto. superior) - Ensaio 14

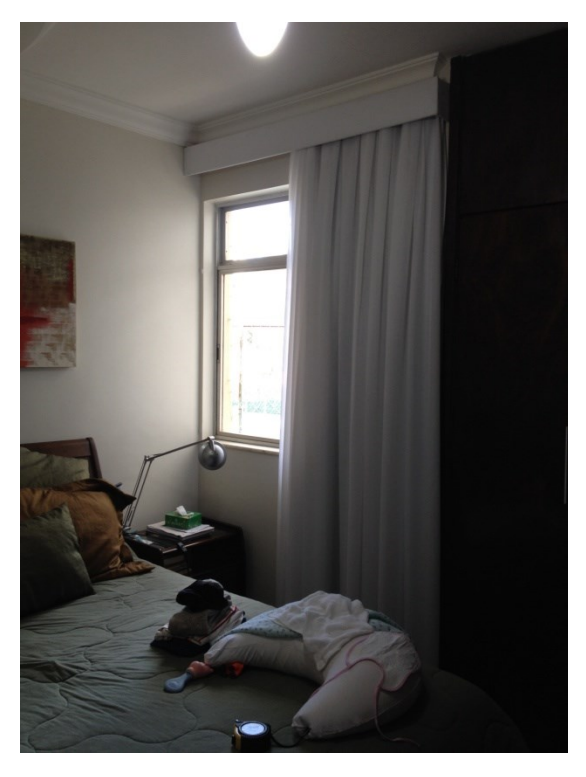


Figura C.52 - Ambiente Emissor (pavto. superior) - Ensaio 14



Figura C.53 - Ambiente Receptor (pavto. inferior) - Ensaio 14



Figura C.54 - Ambiente Receptor (pavto. inferior) - Ensaio 14

ANEXO D

Questionário aplicado para avaliação do nível de insatisfação do ruído de impacto de piso (Metodologia *Survey*)



DEES-UFMG

MESTRADO EM ACÚSTICA DE EDIFICAÇÕES

Análise de desempenho acústico em edificações

"Análise objetiva e subjetiva da influência do ruído de impacto de piso no desempenho acústico de edificações"

MESTRANDO: Juliana Barros de Rezende, Arquiteta e Urbanista

ORIENTADOR: Francisco Carlos Rodrigues

CO-ORIENTADORES: Marco Antônio de Mendonça Vecci; Emílio

Suyama

QUESTIONÁRIO DE PERCERPÇÃO DO RUÍDO DE IMPAC Questionário Nº: Residência Nº:	TO DE PISO		
Responsável:			
Data:	Horário		
início:hmin			
Idade do entrevistado: anos	Sexo	do	entrevistado:
Q1. Gostaria de saber há quanto tempo você reside (mora) em Belo Ho	rizonte?	
(ANOTAR)			Q1.
meses anos			[]
OU			meses
Desde			[]
88. NS			anos
99. NR			Desde
(NS) (ACHA):			[]
Q2. Agora, gostaria de saber há quanto tempo você reside	e (mora) no se	eu bairro?	Q2.
(ANOTAR)			[]
meses anos			meses
OU			[]
Desde			anos
88. NS			Desde
99. NR			[]
(NS) (ACHA):			

maneira (SE BOA 1. Muito 2. Boa 3. Regu	a geral, você ach A, PERGUNTAR): D Boa lar (VOLUNTARI M, PERGUNTAR)	na que a (qualida Você acha que e	de de vida / vida la é muito boa c) aqui é boa ou ru ou boa?	o Horizonte . De uim?	Q3.
	R. Enun.	R. Op.	Sig. Enun.	Sig. Op.		
(NS) (AC	CHA):					
O que v	ocê levou em c	onsideração para	a classificá-la de	ssa forma?		
		bairro? De mane	ira geral, você ad	cha que a (qualida	ide de vida / vida)	
•	oa ou ruim? • PERGLINTAR)•	Você acha que e	la é muito hoa c	u hoa?		Q4.
1. Muite		voce acha que e	ia e marco boa e	, d 50d :		lJ
2. Boa						
•	lar (VOLUNTARI M. PERGUNTAR	AMENTE)): Você acha que	ela é ruim ou m	uito ruim?		
4. Ruim		,				
5. Muito	o ruim					
88. NS 99. NR						
33. IVI						
	R. Enun.	R. Op.	Sig. Enun.	Sig. Op.		
(NS) (AC	CHA):					
O que v	ocê levou em c	onsideração para	a classificá-lo de	ssa forma?		
·						

bair	ros.	· ·	•	•		para determinados airro? E em segundo	
_		m primeiro luga	ar (ANOTAR):				Q5.1.
							[]
Q5.	2. Eı	m segundo luga	ır (ANOTAR):				Q5.2.
Q5.	3. E	m terceiro luga	r (ANOTAR):				Q5.3.
a)	Pe	rto do meu trak	palho				
b)		rto da escola do		o(a)(s)			
c)		oradia mais bar					
d) e)		manho do bairr manho do bairr	· ·				
f)		irro pouco ruido	· ·				
g)		irro com pouco		•			
h)	Fac	cilidade de tran	sporte				
i)		pessoas desse					
j)		rto de amigos e	-				
k)		rques e áreas vo					
l)		rque a família s tra (ANOTAR)	e mudou				
''''	Ou	itia (ANOTAII)					
88.	NS						
99.	NR						
		D 5		To: -	ls: 0	\neg	
		R. Enun.	R. Op.	Sig. Enun.	Sig. Op.		
/NIC	\ / ^ /	CHA):			•		
(IV3) (A	νпА)					
Οq	ue v	ocê entende p	or "Bairro pou	co ruidoso"?			

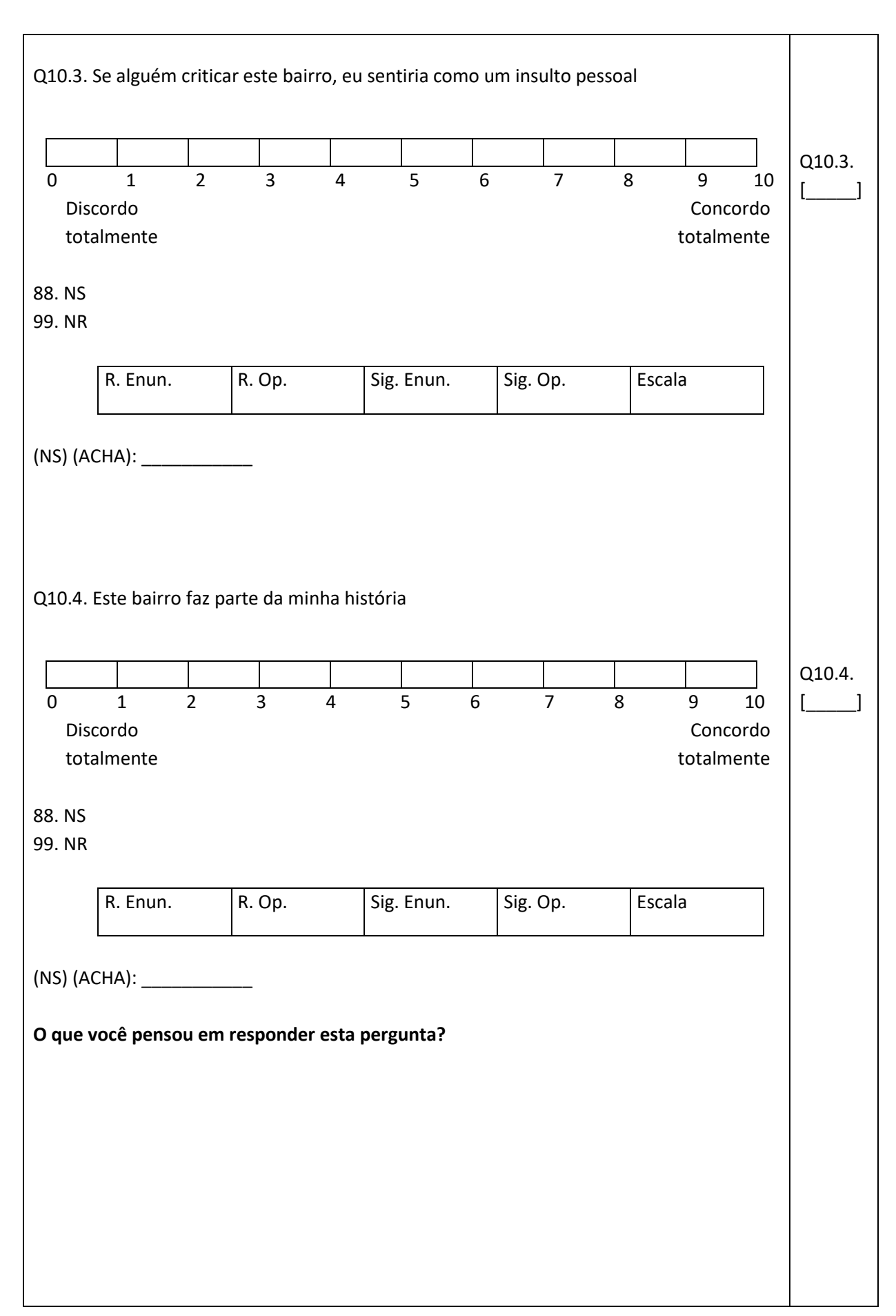
	(C.E. p:03) Ainda e	-			•	_		•		Q6.A.
	ipre lhe incomoda, às						es ruit	au) cuc	ii uii ios)	(U.A.
3011	ipre me mcomoda, as	Sempre			aramente		NR	NS	NA	Q6.B.
a)	Trânsito	1	2	3	aramente	4	88	99	77	[]
b)	Obras	1	2	3		4	88	99	 77	Q6.C.
c)	Restaurantes / Bare		2	3		4	88	99	 77	[]
d)	Serviços (Padarias		2	3		4	88	99	77	Q6.D.
,	Lava-jatos / etc.)	,								[]
e)	Shopping	1	2	3		4	88	99	77	Q6.E.
f)	Igreja	1	2	3		4	88	99	77	[]
g)	Clube	1	2	3		4	88	99	77	Q6.F.
h)	Escola	1	2	3		4	88	99	77	[]
i)	Atividade esportiva	1	2	3		4	88	99	77	Q6.G.
j)	Outro não listado	1	2	3		4	88	99	77	[]
										Q6.H.
										[]
	R. Enun.	R. Op.	S	ig. Enun.	Sig. (Эр.	Esca	ala		Q6.I.
						<u> </u>				Q6.J.
										(U.J.
										LJ
	Agora vamos falar s	sobre o seu _l	prédi	o . Há qua	nto temp	o você re	side (mora)	no seu	
•	dio?									
(AN	OTAR)									
	meses	anos								
Des	do									Q7.
88.										[]
99.										meses
	i) (ACHA):									[]
(, (, (e)									anos
										Desde
										[]

se	gund	E. p:04) E qua o lugar? E em m primeiro lug	terceiro?	zão que o (a) levo	u a se mudar par	a este prédio ? E em	
 Q8	3.2. E	m segundo lug	gar (ANOTAR):				Q8.1.
Q8	3.3. E	m terceiro luga	ar (ANOTAR):				Q8.2.
e) f) g) h) i) j) k) n) o)	Pert Pela Pelo Mor Tam Área Préc Pert As p Nest Próx Porc	Construtora tipo de construtora adia mais bara anho do prédi anho do prédi a de lazer lio pouco ruido o dos serviços essoas desse p te prédio mora	(s) meu(s) filho rução ata o (por ser um p o (por ser um p oso (pouco bar como padaria, orédio am amigos e/o s e áreas verde	prédio menor) prédio maior) ulhento) drogarias, etc. u parentes			Q8.3.
	. NR						
		R. Enun.	R. Op.	Sig. Enun.	Sig. Op.		
0	que v			pouco ruidoso"? construção"?			
Εc	ηual a	a importância	disto? (CITAR /	ALGUNS MOTIVOS	S DA LISTA)		

Q9. (C.E. p:05) Vou ler algumas opções para saber qual a sua opinião em relação à Belo Horizonte. Na escala de 0 a 10, 0 significa discordo totalmente, 10 significa concordo totalmente, e se você tem uma opinião intermediária, escolha entre 0 e 10.											
Q9.1. lc	lentifico-me co	om esta cidade									
						Q9.1. []					
	1 2 cordo almente	3 4	5 6	7	8 9 10 Concordo totalmente						
88. NS											
99. NR											
	R. Enun.	R. Op.	Sig. Enun.	Sig. Op.	Escala						
(NIC) (A)	C. I.A.).	L	I	<u> </u>							
(NS) (AC	CHA):										
o que u	oce pensou e	m responder est	a pergunta:								
Q9.2. Se	e alguém elogi	ar esta cidade, e	u sentiria como u	m elogio pesso	oal						
0	1 2	3 4	5 6	7	8 9 10						
Disc	cordo	5 4	5 6	,	Concordo						
tota	almente				totalmente	Q9.2.					
88. NS 99. NR						\J					
	R. Enun.	R. Op.	Sig. Enun.	Sig. Op.	Escala						
(NS) (A	CHA):										

Q9.3. S	e alguém critic	ar esta cidade,	eu sentiria como ι	ım insulto pess	soal	
0 Dis	1 2 cordo	3 4	5 6	7	8 9 10 Concordo	00.3
	almente				totalmente	Q9.3.
88. NS						
99. NR						
	R. Enun.	R. Op.	Sig. Enun.	Sig. Op.	Escala	
(NS) (A	CHA):					
Q9.4. E	sta cidade faz r	oarte da minha	história			
	·					
0 Disc	1 2 cordo	3 4	5 6	7	8 9 10 Concordo	Q9.4.
	almente				totalmente	
88. NS						
99. NR						
	R. Enun.	R. Op.	Sig. Enun.	Sig. Op.	Escala	
	IX. Elluli.	π. ορ.	Jig. Liidii.	Jig. Op.	Liscala	
(NS) (A	CHA):					
0 aug 1	você nancou ar	n responder es	ta norqueta?			
O que v	voce pensou er	n responder es	ita perguntar			

													T
seu bai	.E. p:05) Ago i rro . Na esca ente, e se voc	ala de C) a 10, 0) signif	ica disco	rdo	totaln	nente,	10 s	signific	_		
Q10.1.	Identifico-m	e com e	ste bairro	o									
			П					T			I	_	
0	1 2	! :] 3 4	 1	5	6		7	8		9	10	Q10.1.
Disc	cordo										Conco	ordo	<u> </u>
tota	almente									t	otalme	ente	
88. NS													
99. NR													
	R. Enun.	R	Ор.	ci	g. Enun.		Sig. ()n		Escala	<u> </u>		
	IX. Ellall.	Ιλ.		31	g. Liiuii.		Jig. C	<i>-</i> γ.		Lacaid	'		
(NS) (A	CHA):												
O que v	ocê pensou	em res	ponder e	sta pei	rgunta?								
Q10.2.	Se alguém el	logiar es	ste bairro	, eu se	ntiria cor	no u	m elo	gio pes	ssoal				
·	J	J		•			·	5 1					
0	1 2		3 4	4	5	6		7	8		9	10	Q10.2.
	cordo										Conco		[]
tota	almente									τ	otalme	ente	
88. NS													
99. NR													
	R. Enun.	R.	Op.	Si	g. Enun.		Sig. 0	Op.		Escala	<u> </u>		
(NS) (A	CHA):												
	,												



	.E. p:06) Co ÇÕES 1 A 3			afirma	tivas	você co	nco	rda sc	bre o	seu k	oairro?	•		
2. Este	se sente e bairro é ap udesse, eu	enası	um lugar	para m										Q11. []
99. NR														
			T		T			Γ						
	R. Enun.		R. Op.		Sig.	Enun.		Sig. (Op.					
			1											
(NS) (A	CHA):													
012. (0	.E. p:07) [e ma	neira ger	al. em	aue	medida	VO	cê cor	nsidera	0.5	eu bai	rro ruido	so	
	ento)? Na		_		-									
extrema	amente ru	idoso	(barulhe	nto), e	se v	ocê ten	n ur	та ор	inião	inter	mediá	ria, escol	ha	
entre 0	e 10.													
														Q12.
														[]
0	. 1	2	3	4		5	6		7	8		9 1	_	
Nac	ia loso (barul	hanto	,)							ruid		emament arulhento		
Tuic	1030 (barui	Henro	')							Tulu	030 (b	arumente	,,	
88. NS														
99. NR														
					۱					I			,	
	R. Enun.		R. Op.		Sig.	Enun.		Sig. (Э р.		Escala	l		
					1									
(NS) (A	CHA):													
Oguas	ocê consid	doro o	ama a sa	u bairr	•3									
O que v	oce consic	iei a C	onio o se	u Daiii	O:									
_				~				_						
O que v	ocê levou	em co	onsideraç	ao para	a clas	ssiticá-lo	de	ssa fo	rma?					

	ae o a ro, o sie	nifica discor						ao seu prédio? almente, e se vo	
	na opinião inte								
013.1.	Identifico-me	com este pi	rédio						Q13.1.
Q10111	raciicii co iiic	com este p							[
									7
0	1 2	3	4	5	6	7	8		.0
	scordo talmente							Concord totalmen	
ιοι	laimente							totaimen	te
88. NS									
99. NR									
	R. Enun.	R. Op.		Sig. Enun.		Sig. Op.		Escala	7
	IV. Ellall.	т. ор.		Jig. Litani.		31g. Op.		Licala	
	.СНА):								

(barulhe		escala	de 0 a	10, 0	que medid significa na						
	1 a oso (barul	2 hento)	3	4	5	6	7	8 ruido	9 Extrem oso (baru		e []
88. NS 99. NR											
	R. Enun.		R. Op.		Sig. Enun.		Sig. Op.		Escala		
(NS) (A	CHA):										
			— nrádio	você c	onsiderou a	ontr	ada do nrá	dia av	vizinho o	u outro	2
O que v	ocê levou	em co	nsideraç	ão para	a classificá-	lo de	ssa forma?	•			

Q15A. \	/ocê escuta algu \R)	m ruído (barulh	o) de vizinhos ou	ı parte da edifi	cação? Qual?	
Q15B. E (ANOTA	Em caso positivo, AR)	, este vem do pi	so do andar sup	erior?		
					seu(s) vizinho(s) do fica extremamente.	
0 Abs	1 2 olutamente a	3 4	5 6	7	8 9 10 Extremamente	Q16.
88. NS 99. NR						
	R. Enun.	R. Op.	Sig. Enun.	Sig. Op.	Escala	
(NS) (AC	CHA):		l			
	ocê levou em co	onsideração par	a classificá-lo de	essa forma?		

incomo	da? Na es	-						zinho(s) do prédio lhe significa extremamente	
incomo	dado.								
0	1	2	3	4	5	6	7	8 9 10	Q17.
Nac inco	ia omodado							Extremamente incomodado	[]
88. NS	88. NS 99. NR								
99. NK	SS. IVI								
	R. Enun.		R. Op.		Sig. Enun	•	Sig. Op.	Escala	
(NS) (A	CHA):								
	^ 1		~						
O que v	oce levou	em co	nsideração	par	a classifica	-Io de	ssa forma?		
	-	-	is moment	os d	o seu dia v	ocê e	scuta o ruí	do (barulho) do(s) seus	
vizinno	s do prédic	0 ?							
a) Dura) Durante o dia todo								
'	ente durar								Q18.
'									
<u> </u>	Somente durante a noite							,,	
	e) Durante a manhã e a tarde Durante a manhã e a noite								
] =									
· ·			de pico (ent	re 7	e 9hs, dura	ante 1	7 e 19hs)		
i) Escu	ito raramei	nte							
j) Não	escuto nui	nca							
k) Outr	o horário ((ANOT	AR)						
 NS									
NR									
	R. Enun.		R. Op.		Sig. Enun		Sig. Op.	Escala	
(NS) (A	CHA):								

relação	ao isolamei	n que medionto de ruído extremament	(barulho		-		_		
0	1 2	3	4	5	6	7	8	9 10	O Q19.
Pés	simo							Excelent	
88. NS 99. NR									
	R. Enun.	R. Op.		Sig. Enun.		Sig. Op.	Esca	ala]
(NS) (AC	CHA):								
O que v	ocê levou e	m considera	ção para	classificá-l	o des	sa forma?			
apartan nada e : 0	nento em re	n que medid lação ao ruíd extremament 3	o (barul		-	_	_		Q20.
88. NS 99. NR									
	R. Enun.	R. Op.		Sig. Enun.		Sig. Op.	Esca	ala	
	CHA): ocê levou e	m considera	ção para	classificá-l	o des	sa forma?			1

Q21A. (Onde você mo	orou antes de	se mudar p	ara este ap	artamento?	,	
. Casa	na cidade em Condom tamento	ínio Fechado.					Q21A.
	R. Enun.	R. Op.	Sig. I	Enun.	Sig. Op.	Escala	
1. Sim 2. Não 88. NS 99. NR		ha morado en					Q21B []
o Nad	C.E. p:09) E q a nada incomo	ue medida es odado e 10 sig 3	nifica extre	mamente i		Na escala de 0 a 10, 0 o. 8 9 10 Extremamente incomodado	Q23B.
	CHA):	n consideração	o para class	sificá-lo des	sa forma?		

Não me "acostumei", mas convivia bem com o ruído (barulho). Não me "acostumei", e o ruído (barulho) me incomodava muito. 3. NS D. NR R. Enun. R. Op. Sig. Enun. Sig. Op. Escala SS) (ACHA): que você entende por "acostumar"? 25. (C.E. p:09) E que medida este ruído (barulho) da "castanhola" lhe incomoda? Na cala de 0 a 10, 0 significa nada incomodado e 10 significa extremamente incomodado. Q25 D. 1 2 3 4 5 6 7 8 9 10 Nada Extremamente incomodado 3. NS	. Me '	'acostumei" e	não me incon	nodava.			
Não me "acostumei", e o ruído (barulho) me incomodava muito. 8. NS 9. NR R. Enun. R. Op. Sig. Enun. Sig. Op. Escala S) (ACHA): que você entende por "acostumar"? 25. (C.E. p:09) E que medida este ruído (barulho) da "castanhola" lhe incomoda? Na cala de 0 a 10, 0 significa nada incomodado e 10 significa extremamente incomodado. Q25 Q25 Q25 NAda Extremamente incomodado S. NS 9. NR R. Enun. R. Op. Sig. Enun. Sig. Op. Escala	. Me "	'acostumei", m	nas às vezes, r	me incomodava.			Q24.
R. Enun. R. Op. Sig. Enun. Sig. Op. Escala Sig. (ACHA): que você entende por "acostumar"? 25. (C.E. p:09) E que medida este ruído (barulho) da "castanhola" lhe incomoda? Na cala de 0 a 10, 0 significa nada incomodado e 10 significa extremamente incomodado. Q25 Nada Extremamente incomodado Nada Extremamente incomodado R. NS NR R. Enun. R. Op. Sig. Enun. Sig. Op. Escala	. Não	me "acostume	ei", mas convi	via bem com o ruíd	o (barulho).		[
R. Enun. R. Op. Sig. Enun. Sig. Op. Escala Sig. (ACHA): que você entende por "acostumar"? 25. (C.E. p:09) E que medida este ruído (barulho) da "castanhola" lhe incomoda? Na cala de 0 a 10, 0 significa nada incomodado e 10 significa extremamente incomodado. Q25 Nada Extremamente incomodado Nada Extremamente incomodado S. NS NR R. Enun. R. Op. Sig. Enun. Sig. Op. Escala	. Não	me "acostume	ei", e o ruído (barulho) me incom	odava muito.		
R. Enun. R. Op. Sig. Enun. Sig. Op. Escala S) (ACHA): que você entende por "acostumar"? 25. (C.E. p:09) E que medida este ruído (barulho) da "castanhola" lhe incomoda? Na cala de 0 a 10, 0 significa nada incomodado e 10 significa extremamente incomodado. Q25 Nada Extremamente incomodado Nada Extremamente incomodado S. NS NR R. Enun. R. Op. Sig. Enun. Sig. Op. Escala	8. NS						
que você entende por "acostumar"? 25. (C.E. p:09) E que medida este ruído (barulho) da "castanhola" lhe incomoda? Na cala de 0 a 10, 0 significa nada incomodado e 10 significa extremamente incomodado. Q25 Nada Extremamente incomodado R. NS NR R. Enun. R. Op. Sig. Enun. Sig. Op. Escala	9. NR						
que você entende por "acostumar"? 25. (C.E. p:09) E que medida este ruído (barulho) da "castanhola" lhe incomoda? Na cala de 0 a 10, 0 significa nada incomodado e 10 significa extremamente incomodado. Q25 Nada Extremamente incomodado R. NS NR R. Enun. R. Op. Sig. Enun. Sig. Op. Escala							
que você entende por "acostumar"? 25. (C.E. p:09) E que medida este ruído (barulho) da "castanhola" lhe incomoda? Na cala de 0 a 10, 0 significa nada incomodado e 10 significa extremamente incomodado. Q25		R. Enun.	R. Op.	Sig. Enun.	Sig. Op.	Escala	
que você entende por "acostumar"? 25. (C.E. p:09) E que medida este ruído (barulho) da "castanhola" lhe incomoda? Na cala de 0 a 10, 0 significa nada incomodado e 10 significa extremamente incomodado. Q25							
que você entende por "acostumar"? 25. (C.E. p:09) E que medida este ruído (barulho) da "castanhola" lhe incomoda? Na cala de 0 a 10, 0 significa nada incomodado e 10 significa extremamente incomodado. Q25	JS) (A	CHA):					
25. (C.E. p:09) E que medida este ruído (barulho) da "castanhola" lhe incomoda? Na cala de 0 a 10, 0 significa nada incomodado e 10 significa extremamente incomodado. Q25 \[\begin{array}{c c c c c c c c c c c c c c c c c c c	, (, ,						
25. (C.E. p:09) E que medida este ruído (barulho) da "castanhola" lhe incomoda? Na cala de 0 a 10, 0 significa nada incomodado e 10 significa extremamente incomodado. Q25 \[\begin{array}{c c c c c c c c c c c c c c c c c c c	ane i	você entende	nor "acostum	nar"?			
Cala de 0 a 10, 0 significa nada incomodado e 10 significa extremamente incomodado. Q25 Q25 Q25 Nada Extremamente incomodado incomodado S. NS NR R. Enun. R. Op. Sig. Enun. Sig. Op. Escala	que	voce cincinae	poi acostan	iai :			
Cala de 0 a 10, 0 significa nada incomodado e 10 significa extremamente incomodado. Q25 Q25 Q25 Nada Extremamente incomodado incomodado S. NS NR R. Enun. R. Op. Sig. Enun. Sig. Op. Escala	3F //	C F	م مانام مم	(مطالبسمة) ماديس مد	de lleestembe	ما المام) No
Q25	-			-			
Nada	scala	de 0 a 10, 0 sig	gnifica nada ir	icomodado e 10 sig	nifica extrema	imente incomodado	0.
Nada Extremamente incomodado 8. NS 9. NR R. Enun. R. Op. Sig. Enun. Sig. Op. Escala							Q25.
Nada Extremamente incomodado 8. NS 9. NR R. Enun. R. Op. Sig. Enun. Sig. Op. Escala							ヿ
incomodado 8. NS 9. NR R. Enun. R. Op. Sig. Enun. Sig. Op. Escala					L L		_
R. Enun. R. Op. Sig. Enun. Sig. Op. Escala)	1 2	3	4 5 6	5 7	8 9 1	10
R. Enun. R. Op. Sig. Enun. Sig. Op. Escala			3	4 5 6	5 7		
R. Enun. R. Op. Sig. Enun. Sig. Op. Escala	Na	da	3	4 5 6	5 7	Extremame	nte
R. Enun. R. Op. Sig. Enun. Sig. Op. Escala		da	3	4 5 6	5 7	Extremame	nte
R. Enun. R. Op. Sig. Enun. Sig. Op. Escala	Na inc	da	3	4 5 6	5 7	Extremame	nte
	Nac inc 3. NS	da	3	4 5 6	5 7	Extremame	nte
S) (ACHA):	Nac inc 3. NS	da	3	4 5 6	5 7	Extremame	nte
S) (ACHA):	Nac inc 3. NS	da omodado				Extremamei incomoda	nte
S) (ACHA):	Na inc 3. NS	da omodado				Extremamei incomoda	nte
	Nac inc 3. NS	da omodado				Extremamei incomoda	nte
	Nac inc 3. NS 9. NR	da omodado R. Enun.	R. Op.			Extremamei incomoda	nte
	Nac inc 3. NS 9. NR	da omodado R. Enun. CHA):	R. Op.	Sig. Enun.	Sig. Op.	Extremamei incomoda	nte
que voce levou em consideração para classifica lo dessa forma.	Nac inc 3. NS 9. NR	da omodado R. Enun. CHA):	R. Op.	Sig. Enun.	Sig. Op.	Extremamei incomoda	nte
que você levou em consideração para classificá-lo dessa forma?	Nac inc 3. NS 9. NR	da omodado R. Enun. CHA):	R. Op.	Sig. Enun.	Sig. Op.	Extremamei incomoda	nte
que voce levou em consideração para classifica lo dessa forma.	Nac inc 3. NS 9. NR	da omodado R. Enun. CHA):	R. Op.	Sig. Enun.	Sig. Op.	Extremamei incomoda	nte
que voce levou em consideração para classifica lo dessa forma.	Nac inc 3. NS 9. NR	da omodado R. Enun. CHA):	R. Op.	Sig. Enun.	Sig. Op.	Extremamei incomoda	nte
que roce levou em consideração para classifica lo dessa forma.	Nac inc 3. NS 9. NR	da omodado R. Enun. CHA):	R. Op.	Sig. Enun.	Sig. Op.	Extremamei incomoda	nte
que roce levou em consideração para classifica lo dessa forma.	Nac inc 3. NS 9. NR	da omodado R. Enun. CHA):	R. Op.	Sig. Enun.	Sig. Op.	Extremamei incomoda	nte
	Nac inc 3. NS 9. NR	da omodado R. Enun. CHA):	R. Op.	Sig. Enun.	Sig. Op.	Extremamei incomoda	nte
	Nac inc 3. NS 9. NR	da omodado R. Enun. CHA):	R. Op.	Sig. Enun.	Sig. Op.	Extremamei incomoda	nte
	Nac inc 3. NS 9. NR	da omodado R. Enun. CHA):	R. Op.	Sig. Enun.	Sig. Op.	Extremamei incomoda	nte

Duração da entrevista:	min
------------------------	-----

	E SOBRE O DOMICIL	10		
Nº DO QUESTION	ÁRIO: []			
Nº DA RESIDÊNCIA	A: []			
CD1. Condição da R	esidência:			
Realizado (residênc	ia a qual foi realizada	a pesquisa)		
Recusa (o morador	recusou-se a fazer a	entrevista)		
Incompleto (começ	ou a realizar a pesqu	isa, mas houve	desistência)	
Outras		situações:		(ANOTAR)
CD2 Controle da si	tuação de visitas à re	sidância:		
1º contato com o	-	sidericia.		
Contato por telefor				
Realização da entre				
Retorno para comp				
Outras	ietai a ciiti evista	situações:		(ANOTAR)
Oditas		situações.		(ANOTAN)
VARIÁVEL	1. SITUAÇÃO DA	2. DATA	3. HORÁRIO	4. TEMPO DE
	VISITA			DURAÇÃO DA
				VISITA
CD2a. 1ª Visita				
CD2a. 1- Visita				
CD2b. 2ª Visita				
CD2c. 3ª Visita				
CD2d. 4ª Visita				
CD2e. 5ª Visita				
CD2f. 6ª Visita				
	•			

ANEXO E

Folheto Explicativo da Pesquisa e Carta aos Moradores distribuídos nos edificios ensaiados

Folheto Explicativo da Pesquisa - pág. 1

MESTRANDO MES INAMUO
Juliana Barros de Rezende
Arquiteta e Urbanista formada pela Escola de Arquitetura
da UFMG
Mestranda do Programa de Pós graduação em Engenharía
de Estruturas da UFMG

ORIENTADOR

Prof. Francisco Carlos Rodrigues Prof. Associado do Departamento de Engenharia de Estruturas da UFMG

CO-ORIENTADORES

Prof. Marco Antônio de Mendonça Vecci Prof. Adjunto do Departamento de Engenharia de Estruturas da UFMG

Prof. Emilio Suyama Prof. Adjunto do Departamento de Estatística da UFMG

Informações: Departamento de Engenharia de Estruturas Laboratório de Dinâmica e Acústica Estrutural LADAE Escola de Engenharia

Telefone: (31) 9105.6113 e-mail: jbarros@dees.ufmg.br

UFmG

UNIVERSIDADE FEDERAL DE MINAS GERAIS ESCOLA DE ENGENHARIA

CURSO DE PÓS-GRADUÇÃO EM ENGENHARIA DE ESTRÚTURAS PROPEE-UFMG

MESTRADO EM ACÚSTICA EDIFICAÇÕES Análise de desempenho acústico em edificações

' Análise objetiva e subjetiva da influência do ruído de impacto de pisos no desempenho acústico de edificações

2013

Folheto Explicativo da Pesquisa - pág. 2

DO QUE TRATA A PESQUISA?

Estamos iniciando uma pesquisa de percepção do incômodo gerado pelo ruido de impacto de pisos em edificações residenciais na cidade de Belo Horizonte, através de entrevistas com os moradores e ensaios acústicos nos apartamentos.

Serão efetuadas comparações dos resultados ensaiados com os critérios estabelecidos na norma de edificações, a ABNT NBR 15575:2013 - Desempenho de Edificações Habitacionais - que passou a vigorar em julho deste ano, e com algumas regulamentações internacionais. Com este procedimento, pretende-se avaliar se os critérios estabelecidos na ABNT NBR 15575:2013 são adequados à percepção dos usuários das edificações. Como resultado desta avaliação, poderão ser propostos novos critérios para o ruido de impacto de pisos, fundamentados nesta percepção de incômodo dos usuários.

O RUÍDO DE IMPACTO DE PISOS

O ruído pode ser definido como todo som indesejável à atividade de interesse, interferindo nos objetivos dos espaços e prejudicando a função do ambiente. No caso de edificações o ruído pode ser gerado por diversas fontes, como as aéreas e/ou as estruturais. O som gerado por uma corversa, por instrumentos musicais, por equipamentos ou tráfego urbano são exemplos de fontes de ruído aéreo. Já o impacto em pisos e o ruído hidráulico são exemplos de nuído estrutural.

Uma das mais importantes e incômodas fontes de ruido em edificações são as de impacto. Os sons produzidos por impactos causam um grande desconforto nos apartamentos vizinhos, principalmente no apartamento inferior.

Existem várias fontes de ruído de impacto em pisos, como pisadas, crianças brincando, quedas de objetos, móveis sendo arrastados, vibrações de máquinas, tais como de lavar roupa ou até ventiladores.

A NORMA DE EDIFICAÇÕES ABNT NBR 15575

As mudanças na estrutura das cidades e consequente aumento da densidade demográfica levaram à otimização e aproveitamento do espaço urbano, com a verticalização das estruturas edificadas, impulsionando assim o desenvolvimento de novas tecnologias na construcão civil.

Com esta evolução, a busca por técnicas construtivas e materiais que proporcionassem maior agilidade no tempo da construção associadas a custos menos onerosos se tornou inevitável. Esses fatores muitas vezes refletem no desempenho e na qualidade acústica das edificações.

A norma brasileira ABNT NBR 15575:2013 - Desempenho de Edificações Habitacionais - já está em vigor desde 19 de julho deste ano, e é válida apenas para edificações construídas após esta data. Essa propõe estabelecer padrões no que se refere à eficiência das edificações em nosso país, considerando desde o desempenho termico e lumínico, até o desempenho acústico, através de parâmetros objetivos e quantitativos que podem ser medidos. Dessa forma, buscam-se o disciplinamento das relações entre os elos da cadeia econômica com a rastreabilidade, a diminuição das inostreazas dos critérios subjetivos através de perícias, a instrumentação do Código de Defesa do Consumidor, o estimulo à redução da concorrência predatória e um instrumento de diferenciação das empresas.

Avaliar o desempenho dos sistemas construtivos é um avanço tanto para o setor da construção civil, quanto para os consumidores que poderão exigir qualidade para suas moradias.

A AVALIAÇÃO DO DESEMPENHO DAS EDIFICAÇÕES

Este trabalho objetiva avalíar o desempenho das edificações residenciais em Belo Horizonte, quanto ao ruido de impacto de pisos, bem como caracterizar os sistemas construtivos utilizados nas construções. Para isso deverão ser realizados ensaios experimentais em conformidade às normas internacionais ISO 140-7:1998 e ISO 354:2003, com uma máquina padronizada de impacto e um medidor de nível de pressão sonora para registrar o ruido emitido por este equipamento.

As medições serão realizadas em uma dupla de apartamentos, onde serão instalados a máquina padronizada de impacto no pavimento superior e o medidor de nível de pressão sonora no pavimento inferior a fim de se determinar o nível de ruido de impacto de piso.

Para a caracterização do sistema construtivo das edificações em questão, será realizado um levantamento arquitetônico dos ambientes de ensaio para determinar suas dimensões, a tipologia e dimensões das lajes, demais componentes estruturais e respectivos revestimentos, a tipologia e dimensões dos elementos de vedação como alvenarias, portas e janelas, bem como a existência ou não

de qualquer tipo de projeto de tratamento e/ou isolamento acústicos. Caso não seja possível obter qualquer uma das informações mencionadas acima através do levantamento ou da entrevista, essas poderão ser consultadas através do manual do proprietário do edificio ou da construtora.

A ENTREVISTA

Paralelamente à avaliação objetiva através das medições, propõem-se estabelecer critérios de avaliação subjetiva do incômodo gerado pelo ruído de impacto. Estes, por sua vez, serão obtidos através de entrevistas a serem realizadas com os moradores dos apartamentos.

As entrevistas serão realizadas presencialmente, após as medições e com o máximo de moradores do apartamento, com uma maior variabilidade possível de idade e sexo, sendo estes importantes critérios para avaliar a audibilidade.

Os entrevistados responderão um questionário de vinte e sete perguntas que abordam assuntos como a relação do entrevistado com a cidade, com o bairro e com o prédio, grau de audição do entrevistado, a qualidade ambiental, a qualidade do apartamento, os vizinhos, os ruidos externos e internos, a expectativa dos moradores quanto ao isolamento do som no apartamento, qualidade de isolamento de paredes e pisos.

O entrevistador foi treinado para registrar objetivamente e com precisão as respostas dos entrevistados. A identificação dos participantes nunca será revelada para outra pessoa, grupo ou organização. A equipe de pesquisa assinou um termo de compromisso que a obriga a cumprir rigorosamente essa regra de garantia do sigilo dos dados.

Contamos sua participação nesta pesquisa, pois ela é muito importante e suas opiniões extremamente valiosas.

Carta aos Moradores



UNIVERSIDADE FEDERAL DE MINAS GERAIS

UFMG escola de engenharia programa de pós-graduação em engenharia de estruturas PROPEEs-UFMG

MESTRADO EM ACÚSTICA DE EDIFICAÇÕES

Análise de desempenho acústico em edificações

"Análise objetiva e subjetiva da influência do ruído de impacto de piso no desempenho acústico de edificações"

MESTRANDO:

Juliana Barros de Rezende, Arquiteta e Urbanista formada pela UFMG (2002). **ORIENTADOR:**

Francisco Carlos Rodrigues, Professor Associado do Departamento de Engenharia de Estruturas da UFMG.

CO-ORIENTADORES:

Marco Antônio de Mendonça Vecci, Professor Adjunto do Departamento de Engenharia de Estruturas da UFMG;

Emílio Suyama, Professor Adjunto do Departamento de Estatística da UFMG.

Prezado (a) Sr. (a),

Estamos realizando uma pesquisa de percepção do incômodo gerado pelo ruído de impacto de pisos em edificações residenciais na cidade de Belo Horizonte, através de entrevistas com os moradores e ensaios acústicos nos apartamentos.

Gostaríamos de comunicá-los que este edifício foi selecionado para a pesquisa, bem como uma dupla de apartamentos onde serão realizados os ensaios experimentais, e instalados uma máquina geradora de ruído de impacto padrão no pavimento superior e um medidor de pressão sonora no pavimento inferior a fim de se determinar o nível de ruído de impacto de piso. Trata-se de uma máquina que fará um ruído semelhante às várias fontes de ruído de impacto em pisos como queda de objetos, pisadas, etc.

As medições durarão aproximadamente uma hora e o ruído do equipamento poderá ser percebido em outros apartamentos do edifício além daqueles selecionados.

Esperamos contar com sua compreensão e participação.

Abaixo, estão apresentados os apartamentos em que serão realizados os ensaios, a data e hora de início.

Apartamentos:
Data:
Hora:
Caso o Sr. (a) julgue necessário obter outras informações sobre a pesquisa que estamos realizando por favor ligue para os responsáveis nos números (31) 3409.1993, (31) 3286.8494 ou (31) 9105.6113

(dias úteis).

Estamos a sua disposição!

Atenciosamente.

Juliana Barros de Rezende Arquiteta e Urbanista

ANEXO F

Certificados de calibração dos equipamentos utilizados nas medições

Certificado do Medidor de Nível de Pressão Sonora





CALILAB - LABORATÓRIO DE CALIBRAÇÃO E ENSAIOS Laboratorio de Calibração Admetitado pela Coordenação Genel de Azanditação do Immetro) de acerdo som a ABNT RBR ISCREC 17026 sob o Nº 307.

CERTIFICADO DE CALIBRAÇÃO Nº RECI-5704-541

5- RESULTADOS E DECLARAÇÃO DA INCERTEZA

Executante:

Tespecillo analiminari

Artes dei insire a califonofico o medicir e todos de seus accoderios finant insoccionados visualmente, com atenção particular o excrituda camos ou actimado es metadas africas policingina producir por o excelujar a colorado es metadas africas policingina por particular activamente. Todos ou contrados robuertos foram operados para ecologiar a gierra inchembrante no e calado concentrada de conjunta sob testes.

3.4566 Austro-genado producir de capacidado visuáles activos estas policinas en calados concentradas para ecologia esta esta para entre california de capacidado por esta camo estados estas estas

e étrico - cE/C e étrico - cE/Z	1: 2	5,0	19,2	h=2,	(02		
Inearldace de Hivels		ncla				- 6	e acordo
rive de	encitação	eco		evitação	green.	eocitação	witch
referènce (35)	(48)	(60)		((8))	[68]	(40)	(48)
94.0	135.0	-0.1		29,0	0.0	33,0	0.1
	134.0	0,0		69,0	0,0	21,0	4.2
oteronica (ditt)	129.0			64/3	0.0	20,0	0.2
omen new (AN)	124,0	0,0		59/0	0.0	19,0	0.3
1,1	112.0	0,0		640	0,0	10,0	0.4
	114.0	0,0		49,0	0.0	17,0	0.5
incertains (dB)	100.0	0,0		44.0	0.0	16,0	0.2
8×2.00	104.0	0,0		79,0	0.0	15,0	0.9
0,2	99,0	0,0		31,0	0.0		
	94,0	0,0		340	0,0		-
	99.0	0,0		29/0	0,0		
	84,0	0,0		340		200	-
	79,0	0,0		20,0	0,0		

neerldate de Nivels	786/2 50	t. marks				se speca
effective (ATE)	10002.50	District Control	eschiplio (100)	870 (04)	emitagia odel	CITE
94.0		111	(20)	(can)	(36)	(00)
	***	461	1	***		
oleránda (dB)	940	111	-	***	794	
1,1	100	400	144			-
	***	1931		1000	201	
netos (18)	***	***				100
b=T.BC	141	441	-	***	1 200	
5.0	***	484	140	***		1

	po ena fregüência en: 1 kHz	de acordo
referêncie dibiA, Parc)	erros (dil) dB(C, Feat) dB(Z, Feat) dB(Flat, Feat)	igionimole (dili) incertece (dili k=2,00
94,0	1.0 0,0	0,4 0,7
relatênce dBA, Pert)	erros (di) d0 A, Slov) d0 (A, Leg)	toleránce (24) inovitete (24 6-2,00
94.0	0.0 0.0	0.2 0.1

nivel de referência de sinal. de trata, 132,3 rifi.	niver expenses (ett)	ero (d2)	tolorinos (d	b-3,65
acto de 8 kHz	135,4	O,L	2,4 .2	4 0,2
semiorde pesitivo SDE Hz	134.4	-0.1	1,4	4 0,2
somodo negativo 500 Hz	134,4	0,1	1,4 4	4 0,2
dicação de sobrerarga:				de acordo
	indeselle.	difference		Lancator Lab

ação de sobrecarga:				M ACOPTIC
straf or trops	indicaglio (19)	diferença absoluta (69)	toleráncia (d3)	Incertene (dil)
servicido pusitivo	136,9	2.3	0.00	
sanicido nagativo	128.6	0,3	1,6	0,2

R. Gal. Humberto de A. Calinereo, 310 – Silo Caronic do Fel – 69 - Oct 05560 380 - Tel: (11) 4220 2600 / TAX: (11) 4220-2555

Página: 2/3



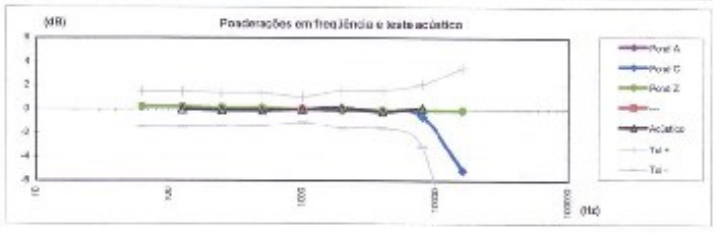
CALILAR - LABORATÓRIO DE CALIBRAÇÃO E ENSANOS Laboratório de Calibração Acreditado pela Ogore (Coordenação Geral de Acreditação do Immetro) de abrodo com a ABNT MBR (SOVEC 17928 sobo N° 307.

CERTIFICADO DE CILIBRAÇÃO №: RBC1-8794-541

		deref = 134 dB)			de apordo
snadsnistics sob tests	Janguna do Jann (me)	rivel experado (8H)	610	zvicnimsia (dili)	incurtosa (di)
Not	200	173,0	0,0	5.6 -3.8	0,2
Past	2	136.0	-0.3	1.2 4,8	5.3
Test	0,25	107,5	-0.3	5.3 -17	0,2
Sow	209	1,6,6	0.0	0.9 -3,9	5.2
Slow	2	107,0	0.0	12 -17	6.2
100	200	137,0	0.0	1.0 -0.0	1.2
LAC	- 7	107,0	2.0		2.2
1.66	0.7%	98.0	6.1	50 48	2.5

redorações em f frequênca de		os Sas ponderagos	or own Read Minds to	360.	The second second	de accordo
Person China	4	on any partnersign	a seri raquercas p	FLH.	colectoria (no)	incertesa (de
66	0.1	1.1	6.2		16 15	8.3
1.26	0.7	5.2	0.2	-	1,b -1,5	0.2
250	0,1	4.1	0.1		16 14	0.2
900	0,5	6.1	0.4		1.4 -1.4	4.2
1000	1,0	0,0	0.0	7	1.1 -1.1	0.2
2093	40.0	0.0	0.0		1,6 -1,6	0.2
1003	-0,1	-0,5	43.1	***	1.6 1.6	0.2
5000	40,0	-9,8	4.4		21 -81	0.2
19000	5,2	-5,1	40.1	700	3.5 47	0.2





da stece Aesaros (não forem parte do escoro de acreditação):

" A inspeção disada no item 5 não implica em quelquer tipo de revisão técnica eu munuturgão.

Caimible e Interpretactes (nile facem parse de except de jorgalación).

On fettres de corregio em refegio es copo de medidor dio foram declarados no combinado de sestempte, polo qual silo foram considerados, caso o disvisa de visión estas posteriormente, o recultado será a atrapta soma destructudos de respossación frequência declarados neste profitados.

Data da emissão: 31/10/2013

Págha: 3/3

S. Gal. Pumbero de N. C. Bornor, 510 – Silo Castono do Sul – 57 · CEP 09580-380 – Tel: (11) 4220-3600 / FMC (11) 4220-2655

Certificado do Medidor de Nível de Pressão Sonora - Analisador de oitavas





CALILAB - LABORATÓRIO DE CALIBRAÇÃO E ENSAIOS Laboratino de Calibração Armotado pela Ograe (Condemigas Gara de Azradração do Inmetro) de acordo com a ABNT NBR ISORIO 17025 soble N° 307.

CERTIFICADO DE CALIBRAÇÃO №: RBC1-8704-627

4- RESULTADOS E DECLARAÇÃO DA INCERTEZA

Linearidade	A	filtros	A	A	A	A	A	A	A	A	1,	A	A		
Feb. 5,435	96,0		0,0	0,0	0,0	0,0	0,2	0.0	1,0	0,0	1,0	0,0	2,0	1,0	2,3
fn x 3,000	7948		0.0	0,0	0,0	0.0	0,0	0.0	Q.E	0/0	5,0	0,0	9.0	0/8	2,0
fn s 1,007	93/6	17	99,0	0,0	67/6	59,0	0/3	67,7	580	0,0	62,7	59.3	0,0	0,6	2,3
fn × 1,295	117,9	d .	103.8	302, 9	104,8	103,5	102/4	104,8	1836	102,8	154,8	108.6	103.3	0,4	2,0
Fr x 1,122	133,7	126.7	131,2	131,1	13.,5	531,2	135,1	131,5	131,2	130,1	121,5	1312	531,5	0'3	2,0
fox 2,255	135,5	129.8	133,5	120,5	133,5	133,5	133,5	123,6	133,5	111,5	13370	130.5	111,5	0,2	2,0
\$111,000	135,5	132,5	134,8	25%,6	134,6	154,5	134,6	124,6	13:16	134,6	134,7	134.6	151,6	0.2	- 2,0
\$1×1,055	135,5	1342	125,1	135,0	135,1	135,1	135,0	138,1	135,1	135,0	1,5,1	135.1	135,0	0.5	2,0
Ib v 1.222	135,5	139.4	125.1	135.0	138.1	135.1	135.0	135.1	135.1	135.0	135.1	138.1	135.1	0,2	2.0
fri	135,5	134,5	.175.1	736'0	125,5	135,1	135,0	125,1	135,1	125,3	135,1	175,1	1.25,1	0.2	- 24
\$1×2,374	138,5	134.4	135,1	135,0	175,0	035,1	135,0	435,1	135,1	135,0	136,1	175.5	135,1	0,2	2/
\$18.2,84T	3,0,3	134,2	125,1	105,0	135,0	135,1	125,0	127,1	1,30,1	135,0	1.20.1	435,5	1.35,0	0.2	2,5
fn x 0,319	175,5	133,5	134,6	134,6	1346	134,5	134,6	134,6	134,6	134,6	134,6	134,6	134,5	6.2	2,0
51 V (0, 90%	135.5	125,6	133,5	133.7	133.7	133,6	113,7	135.7	133.5	:33,7	130.7	1216	133.7	1.2	2,0
5m×0,391	155.3	125,7	131,6	131,8	131,6	131,6	131,8	131.7	131.6	131,8	130,7	121,6	131,8	£3	7.6
fm × 0,772	117.9	0	106,6	127,3	206/5	106,6	307,4	106.5	106.8	207,4	106,5	296,6	10074	5,4	2,0
fn x 0,550	25,0		24,0	75,0	242	24,5	75,3	40,3	24,6	75,9	24,4	746	75,9	66	1,0
fer x 0,326	54,8		55.2	55/0	54.0	54,0	54,4	22,3	53,5	54,1	53,0	53,4	54,2	5,5	3,3
Fel x 0,180	66,0	***	45,2	1.0	0.1	0,0	0,0	q,a	0,0	0,0	0.0	a.c	0,0	1,0	4.5
Freqüência	1,545	Cat	15	20	25	30	40	52	61	35	100	125	160	+/40	K
Loef 1 kHz -	- 150'0	_		ENT	15 DE	OITA	VAS		iedicic	S COURS	i nomin	al em Ha	_		

Lifef 1 kHz	= 135,0	dB	T	FRCC	SDE	DITA	VAS	(m m	require	a ceres	Loamin	at and the	()		
Fieglânda	L Sup	4. Inf	200	250	2:5	400	500	510	000	1000	1230	1/000	2000	4/10	K
fir x 0,184	65,0	100	0,0	0,0	0,0	DVII	0,0	0,0	0,0	0,0	0.0	0,8	46,4	4,0	9.5
fm × 0,326	24,6	***	\$2,5	62,0	64.1	53,5	53,4	54,5	54,5	67,1	59,5	61,2	63,6	1,0	13
fm × 0,530	53,6		24.1	74,6	75.9	74.4	75,0	76,4	752	75,8	27,5	76,2	25,6	8,5	2,0
fm × 0,772	117.9	- (100,5	10000	350,4	1065	100,6	100/1	106.4	100,5	107.3	325,4	100,5	1,4	44
5n x 0.891	120,3	125,7	131,7	130,6	121,8	131,7	131,6	131.7	1316	131,5	131,6	131/6	131,5	1,3	38
fin x 0,905	135,3	125,5	133,7	133,6	138,7	133,7	133,6	133,6	133.6	133,6	133.6	133/6	133,5	1,2	2,5
50 x 0,919	135,5	130,5	1345	134.6	1346	1346	124,6	135/6	1316	1945	134.5	3345	1355	1,2	2/
fnx1247	135,5	134,2	135,1	135,1	135,0	135,0	135,0	125,0	1350	135,0	105,0	134,9	134,1	0,2	2,6
50 x 0,924	135,5	134,4	135,1	135,1	135,5	1.35,0	135,1	135,0	135.0	135,0	135,0	135,0	1.35,0	6.2	2,6
m	125.5	134.5	135.1	139.1	128.0	135,1	135.1	175,1	135.0	135.0	175,0	125,0	1,35,0	6,2	24
fm x 1.007	135,5	130,4	135,1	1351	135.0	135,0	125.1	125,0	135.0	135,0	135,0	125,0	135,0	0,2	2,6
8n x 3 855	125,5	101,2	175,1	13%4	125,0	175,0	128,0	135,0	135.0	185,0	3,9478	135,9	1949	6,3	2/
fn x 1 068	135,5	131,5	134,5	139,5	134,8	134,6	134,6	159,6	1346	154,5	134,5	138,5	134,5	6.2	23
fn x 1 105	125,5	129,0	122,5	133,5	133,5	133/6	133.5	123,4	1335	133,4	1330	135,5	133,4	30.7	2/
fri s 1.122	153.3	129.7	171.5	:31,2	131,1	131,5	121,2	121,0	131,4	135,4	121,0	131,3	521,5	0,3	2/
frix 1.256	117,9	3	104.8	:03,6	100,3	1047	100,6	102,3	1047	100,5	102,2	104,6	103,5	0,4	2/
fn x 1.007	23/6	100	67,6	50,03	0.0	67,6	66,9	0.0	67%	88,9	0,0	67.6	69,9	0,6	2,0
fra a: 3,070	74,8	0.4	0,0	0,0	0.0	0.0	0,0	0.0	0.4	0,0	8,0	0,0	4,0	0,8	2,0
DESIGNATE.	30,0		0,0	0,0	0,0	0.0	0,9	0.0	0,8	0/0	8,0	0,2	8,0	1/3	- 2,4
lisearidade	A	fires	A	A	à	A	A.	4	A	A	A	A	· A		

Resultados em 33 MA — Não Evidido A — de actindo D — em desatordo; Himo spois, hase y estre exemplata mautados — 0,0 dã não dosem par interpretados como extres obseivos, em representam tradiciples alcaba do hinte da finad en operação su da falorados haixo. Os Limitos Superior (1, Sup) e Infelior (1, Inf) del tabeler, es 30 estendidos pelos incertosas Expandidos de medição.

Executante: South

Págma: 2/4

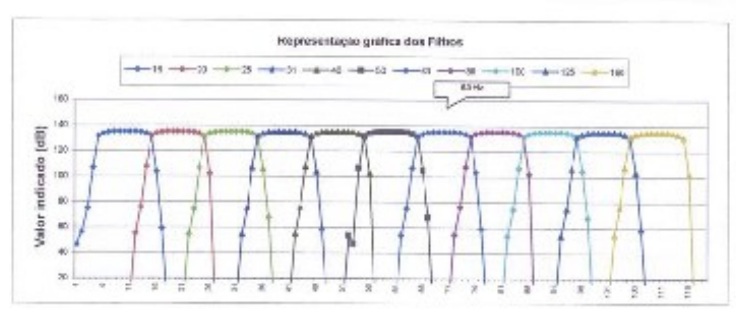
R, Gal. Humberto de A. G. Syanco, 390 - São Castrero do Sal - SP - CEP 05500-300 - Trib (11) 4200-2000 / FAVC (11) 4220-2555



CALILAB - LABORATÓRIO DE CALIBRAÇÃO E ENSAIOS Laboratório de Calibração Aravidado sele Opero (Contempão Jamei de Aravidação en Terrodro) de econdo com a ABNT NBB (EDPEC 17025 sob e N° 307.

CERTIFICADO DE CALIBRAÇÃO IVº: RBC1-8704-627

Prior 1,807	23,6		0,0	67,5	30,0	0/2	107,4	68.Z	34.0	0,0	0,0	2,0	-	0.6	2,0
fn x 1,296	117.9	0	102.2	104.5	303,4	102,1	134.5	103.0	180,0	190,6 20,4	133,1	133,1	_	0.2	3,0
frix 1,022	133	1297	130.5	131.3	133,3 131,0	130,9	131,4	133,3	122,2	133,2	134.1	134,5	-	0.2	2,5
frex 1,000 frex 1,000	125,5	120.5	1345	134.5	134,5	139,4	134,4	13-94	134,4	134,4	134.8	125,1		0.2	2,5
9n × 1,855	175,5	1342	124,8	134,9	1848	1.05/9	134,5	13-73	134,0	134,0	1.01,0	225.1		0.2	4
No. 2 1,827	125,5	136.6	134,5	114.9	134,9	1349	134,9	134,9	134,5	134,9	1,34,9	1354		0.2	2,1
fm	175,5	1345	134,9	114,9	1249	1349	134.9	134.9	134.0	134,5	134.9	136.1	111	0.2	2,
25 X X 2024	1865	1,844	1953	139,9	134,5	134,9	134,9	1749	134,8	134,8	134,9	125,1	-	0.2	-2
\$1×0.547	1855	1392	134,5	134.9	134,2	134,9	134,9	1748	134,8	134.5	134.9	134.3	_	0.2	2
\$9 × 3,549	125,5	1226	294.6	1,000,6	1345	10%5	134,5	1344	136,6	194,4	134.2	134.2	-	0.2	4
frex 6,905	125,5	139.0	533,5	139.5	133,5	133,5	133,5	133,4	122,4	173,4	138.2	133.2	See	0.2	2
fre x 2,891	133,3	129.7	131,6	181.5	131.4	131.5	131.5	131.4	121,5	131,5	141.4	131.5		0.3	2
10 × 0,772	117,9	0	927,3	105,3	100,4	107,2	106.3	106.4	107,1	100,5	110,3	114.4	-	0.4	2
Fex 0.530	93,6	111	77,6	75,5	75,0	77,7	76,6	76.8	77.8	70,0	05,2	89,2	_	0,6	2
94 x 2,126	24,8	1700	65,0	65.2	67.1	67.7	60.3	98.4	68.7	25/0	65.5	74,3	_	9.0	3
fn x 0,184	46.0		46,7	. 47.3	96,5	Q.D	0.0	43.2	51.6	53/7	51.7	50,2	_	1.0	37
Freqüência	L Sup	LIT	2500	2150	4000	5000	6300	8000	30300	12500	1500D	200m	_	+/41	1
Linef I. lidits	-135,0	dD		FERÇ	DE DE	OITA	WAS	(fin = 1)	fragüäric	in contra	il nomini	at ent Hz	5		

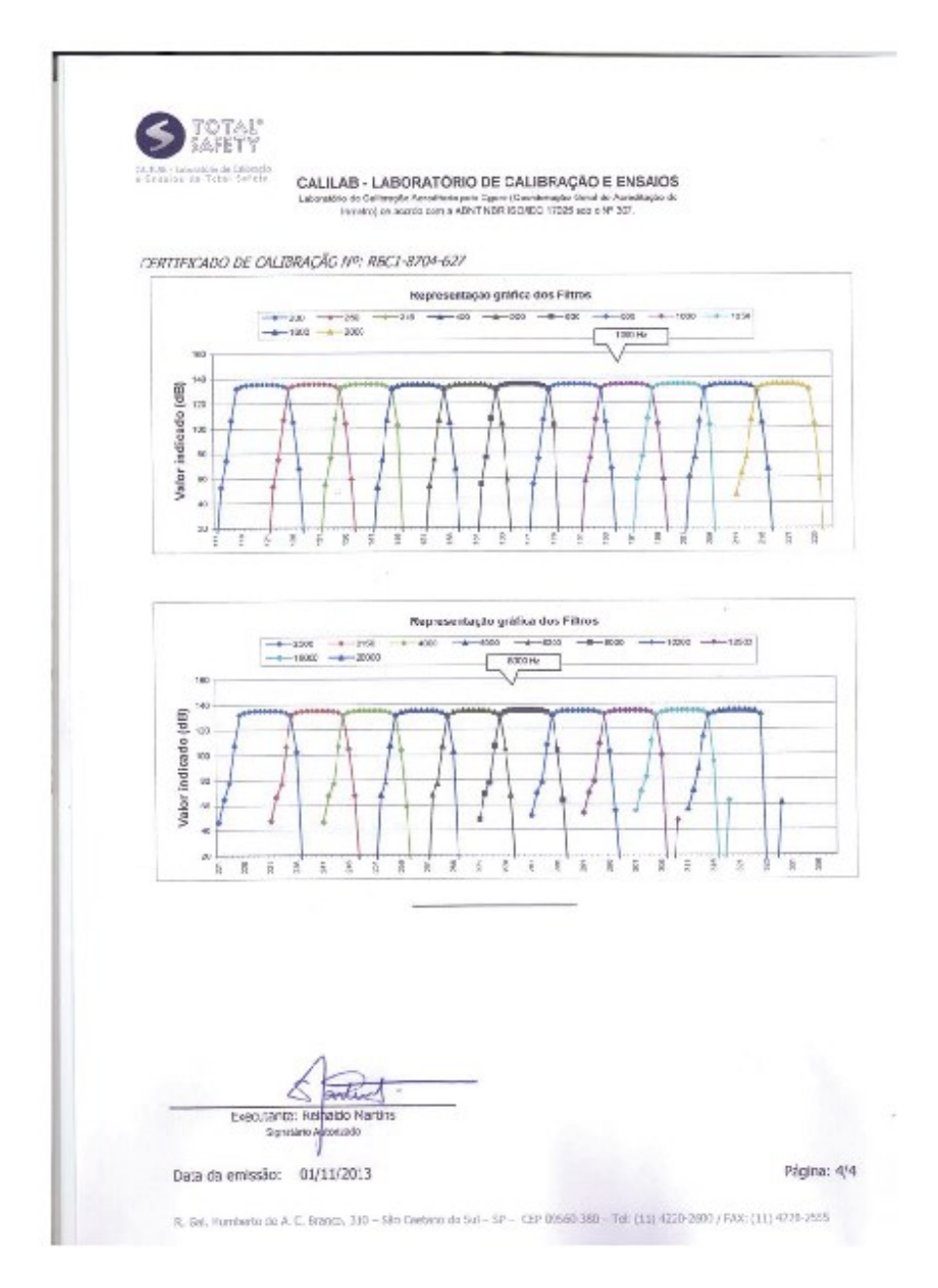


De gentos no viso des fregilàndes, não estão disposaç loga spredariente. Pará cada filtar alea representem as fregilàndas de tobas que postam ser obligados pelas equações as tabala. Por exemplo para a filha non filha desir servinal fre « 1800 let, o sente porso abaxo da fregilente eminel, prim ser obligado como fil n X X X 73 a « 171,3 let.

executarte: S entact

Página: 3/4

R. GW. Hymburto de A. C. Branco, 310 – São Castario do Sul – SP – CEP 09560-380 – Tel. (1.1) 1220-2600 / TAX: (1.1) 1220-2535



Certificado do Calibrador



CALILAB - LABORATÓRIO DE CALIBRAÇÃO E ENSAJOS RBC - REDE BRASILEIRA DE CALIBRAÇÃO



CERTIFICADO DE CALIBRAÇÃO Nº: RBC2-8704-458

1- CLIENTE/ EQUIPAMENTO

Data da calibração: Processor

31/12/2013 138%

Enderago:

Número de Sár es Mentificaçãos

Oppus Aplietics (coa.

Rus Rogário Rejarco, 206/901 - Bairro Andrieta - Belo Hertzone - MG - CEP 303(0-46)

00120023(2002)

G8921 5

2- PADRÕES E INSTRUMENTAÇÃO

Bestrição	Cidigo	Cartificade	Emil barrio	
Higrofone: :/2 polegaca	P114	HSC2-7574-85	RMC	
But Yest lagta	1906	R6555	RBC	
Fré-amplificador	P962		Barbretto Digital	2006
Amplificador de Nedigilo	P136		HigrOmeno	1947
HUSTetro Organi	P906		Terrametra	2008

3- INFORMAÇÕES DA CALIBRAÇÃO

Local de calibração: Procediments: Condições ambientais: Cal bragilo realizada nes instalações do Califob.

Cal angle maticade mai institution de ciliado.

Tel 1940 Metro de cal angle (oli angle de ciliado.

Temperatura 20,0 °C, umatica exembra e a fr. messa strategia e accesa con a norma (30. 604/2.1997.

Temperatura 20,0 °C, umatica exempla e a fr. messa strategia e a ciliado.

1 °C e cadadado exemplados minimarene a métido des efectivos encretarios.

2 °C e cadadado exemplados minimarene a métido des efetivos encretarios.

2 °C e a framento e placadada de Medição edicidade e declarado como a investera padrão combinada de medição entidade e declarado e de distriguiros de aproximadamento 605.

2 °C presente mentidorio de establicações e visitado aperas para o calibadado de minima calmento establicações e visitado e peras para o calibadado de minima calmento establicações e visitados peras para o calibadado de minima calmento establicações e visitados e calibadados de minima e calebrações de visitado e que se entre establicações e de como entre entre establicações e de calibadado de minima de calebrações e de calibadado de calibada de calibada de calibadado de cal

«- Este destinado de calinação someras pada ser reproduzan complete, Reproduções para fins de divulgação em naverir publicativo, best como recreatações partidas, qualmente autorização entras en timosofem embrete. Norturas exposadação poderá se usada de transfer atinguessa.

Egynt is Signatory of the ILAC Mutual Ascognition Americanies. Ogine is Signatory of a Bratish Husual Agrossians with EA. Ogine is signatory of the IAAC Mutual Recognition Americanies.

Página: 1/2

opicios de arrestração pote Opres (Condenação Gent de Atraditação do Inmatro) que acabica a enequência de Libercoteio dada a pacidas macinistic na medida (pu os Senoria (Vernigonia do Unidada — 32)

R. Gel. Humberto de A.C. Branco, 315 - São Costavio de Sul - SP - CEP 00800-360 - Tel. (11) 4320-3690 / SAIS (11) 4221-2658



CALILAB - LABORATÓRIO DE CALIBRAÇÃO E ENSAIOS Latoratino de Calibração Acreditado pela Ogore (Coordanação Garal de Acreditação do Inmetro de acordo com a ABRIT MBR ISCHEC 17005 sob o Nº 307.

CERTIFICADO DE CALIBRAÇÃO Nº: RBC2-8704-458

4- RESULTADOS E DECLARAÇÃO DAS INCERTEZAS

Valor Horizal	Valor Medido	Tolerância	Isortma	Unidade	k
54	94,5	0,8	0,1	43	3,00
1000 (94 dB)	5000,8	20,4	0,1	1b	2.00

Ajustico va regares (vite fazem parte de ecopo de ecreditação do laboratório):
[cargo vaso]

Expressos e exterpertogoes (see repert perto do ecopo de acreditação de laboratório);

Impressos e exterpertogoes (see repert perto do ecopo de acreditação de laboratório);

Interpeto fo resistada com o edeptado maras D18), monito BACH acredido se inopressõe de siente. A utilizado de outros eleptadores pode coutro rividos diferentes dos decarados nece contilidado.

Reinaldo Martins Sgratário Autorinado

Data da emissão: 31/10/2013

Página: 2/2

Ti, Col. Humberto de A. C. Branco, 310 – São Caebrio do Sui – São - CEP 09560-380 - Yes (11) 4220-2500 / Mac (11) 4220-2505



CALILAB - LABORATÓRIO DE CALIBRAÇÃO E ENSAIOS Calibrador de Mini Sonorer Medida da Disterção OS RESULTADOS RELATADOS ABAIXO NÃO FAZEN PARTE DO ESCOPO DE ACREDITAÇÃO

Carta Referência: DIST2-8704-458

(As medites de Amplitude e da frequência estão relatadas no Contingado RBCD-8704-458 emissio na mesma data)

1- CLIENTE/ EQUIPAMENTO

Data:

31/23/2013 13845

Enderages

Opous Ancistos Loca. Nua Rogério Fajarrio, 265/301 - Beriro Anchiesa - Belo Horizono: - MS - CSF 3081.0-450

Classes

Equipments:

Calibrador de Nivel Senoro GLED 20903023120321

Mússero de Série: Identificaçãos

2- PADRÃO E INSTRUMENTAÇÃO

Descriciio	Códiga	Certificado	Eniterte	
DAQ	P.73	CL2-7855-400	CWRETHO	
Microlone: I/2 ovlegada	P.14			
Anti-amplification	P.62			
Amelitandor de Nadado	PT 366			

3- RESULTADO DA MEDIÇÃO

cavido à maudánda de matmatificida madorel no momeno desto ofibração, a informação sobre o distorção não post per expresse no certificado de calibração REC. O posião utilisado oporado na laza aoma fa calibrado por companção e não permite altre- uma appreciadade a padriles nacionais de necisio (pur ao facione transaccional de unidades – SI).

o mética de conformidade defindo na norma ISC 50942 (997 estabalece que se deviva não devem exceder se limites de oberidade possiblados, expressoras baselo). A norma stablecia expudidad de internessa indemas para historiado de calibração, o Calibb stande casa equieltos.

Valor Morelinal	Valor Medido (TD)	Tolerincia	Incertens	Unidade
1000 (94 48)	1,7	1.3	Q,t	9,75

4- INTERPRETAÇÃO DE RESULTADOS

ou de amplitudo, frequência o dictorgão do Contileorio RDC2 8701 (55) o desto Carta Referêndo: DEST2 8701 (55).

Valor Northal	Amplitude	Proglémia	Distorphy
5000 (94 dB)	de acordo	de acardo	de accrdo

Data da emissão: 31/10/2013

R. Gel. Humbertoine A. C. Smirco, 310 – São Caetano do Su – SP – CEP 89590 389 – Tet. (11) 4220-2600 / FAVE (11) 4220-2555

Certificado do Termo-Higrômetro



QUALIFICAÇÃO TÉRMICA

Página 1/2

CERTIFICADO DE CALIBRAÇÃO

Número: R00281/13

Data da Calibração.

28/1/2013



Nome de Contratante: TOTAL SAFETY LTDA.

Endereço:

RUA GAL, HUMBERTO DE ALENCAR CASTELO BRANCO,310 - S.C.S - S.P

Nome do Solicitante:

OPPUS ACÚSTICA LTDA.

Endereço:

RUA FRANCISCO DESLANDES,971 - SALAS 407/409 - BELO HORIZONTE - M.G.

Ordem de Serviço:

40/13

Local da Realização da Calibração Laboratório Metrotec.

1-CARATERÍSTICA DO INSTRUMENTO CALIBRADO

Descrição: TERMOHIGROMETRO

Marca: MINIPA Modelo:

MTH-1362

Nº Serie:

MB1362000706

2-INFORMAÇÕES FORNECIDAS PELO CLIENTE

Identificação de Instrumento:

MB1362000706

3-CONDICÕES AMBIENTAIS

23°C + 5°C / MAXIMO 75%ur

4-PROCEDIMENTO INTERNO DE CALIBRAÇÃO

Procedimento de Referência: PT-064

Revisão: 03

O equipamento foi calibrado conectado ao indicador de temperanara inserido em um gerador de culor junto com o podrão. Foram realizados três e ciclos de medição no(s) ponto(s) de medição confrontando o valor do padrão e do instrumento calibrado

Procedimento de Referência: PT-066

Revisão: 03

Feram realizados três ciclos de medição de ponte inicial ao final confrontando a incicação de instrumento contra valores do padrão inscridos em um meio estável de umidade.

5-PADRÃO(ÕES) UTILIZADO(S) NA CALIBRAÇÃO

Descrição: MULTÍMETRO DIO	ITAL	Identificação interna Metrotoc:	EP-001	
Lab. Executor da Calibração:	LABELO PUC R.B.C	Astro	21-001	
Nº do Cortificado de Calibração	E1383/2012	Data de Validade:	ago/13	
Descrição: TERMORESISTÊNCIA Lab. Executor da Calibração: ECIL - RRC		Identificação interna Metrotee:	TP-080	
Nº do Certificado de Calibração;	6573/12	Data de Validade	ago/13	
Descrição: TERMOHIGRÔME I Láb. Executor da Calibração:	TRO TESTO - R.B.C	Identificação interna Metroteo:	TP-055	
Nº do Cartificado de Calibração:	24758/1 e 24758/2	Data de Validade;	jul/13	

sie vertificado atende aos recuistos da acroditação pele CGCRE/INMETRO, o qual avallou a competência do taboratório e comprovou sua nastraabilidade e padrões secunas de medida. O presente certificado da calibração é válido apenas para o instrumento de medição acima caracitetizado, não sendo artansivo a qualequer cultos instrumentos de medição, ando que similares. É permitide a reprodução deste confidendo sumente em sua forma integral. Esta calibração não (senta o instrumento de controle metrológico estabalacido na Regulamentação Matrológica.

Av. Dom Pedro II, 2.042 - B. Campestre - Santo André - SP - CEP 09080-001 - Fone/Fax: (11) 4473 3620 Site: www.metrotec.com.br e-mail: metrotec@metrotec.com.br



Paginn 2/2

CERTIFICADO DE CALIBRAÇÃO Número: R00281/13



6-RESULTADOS / INCERTEZAS DE MEDIÇÃO

Capacidader	-20	à	60	
oixa de uso	15	à	35	
Resolução/Val	lor de Uma D	กรารสิง :	0,1	
V.V.C. *C	V.T.C*	Correção °C	U 95% 4 °C	k
15,0	14,7	0,3	0.27	2.00
25,0	24,6	0.4	0.27	2,00
35,0	34,5	0,5	0,27	2,00

UMIDADE	RELATI	VA			
Capandade:	10	à	95		
aixa de cao.	30	a a	80	(Street, Str.)	
Resolução/Va	lor de Uma D	ivisão :	0,1	1	
V.V.C.* %ur	V.U.C*	Correção %ur	U 95% = %ur	k	Temp. de Calibração
30,0	30,7	-0,7	2.20	2.00	1 20°C
60,0	61,5	-1,5	2,50	2,00	20 °C
80,0	81,7	-1,7	3.00	2,00	20 °C

Não houve ajuste.

V.V.C. - Valor verdadeiro convencional,

V.T.C. = Valor indicado em temperatura equipamiento em calibração.

V.U.C. = Valor Indicado em umidade do item em calibração.

U 95% – É a incenteza expandida que e baseada con uma incerteza podronizada combinada multiplicada por um fator de abrangência K, para um nivel de confiança de aproximadamente 95%.

TECNOLOGIA

Executor Tecnico Fabricio Artur Moro Emissão: Santo André, 28/01/2013

Diretor Ibaneo Marcie Furlaneto Pardo

Este certificado atende aos requisitos de ecreditação pela CGCREINMETRO, o qual avariou a compatência do laboratório e comprovou sua nastreabilidade a pacições nacionais de modição acima caracterizado, não sendo extensivo a qualisquer durido instrumento de modição acima caracterizado, não sendo extensivo a qualisquer durido instrumento do modição, sinda que aimiteres. É permitida a reprodução disela certificado somento em sua forma integrat. Esta calibração não isendo e instrumento do controle motrológico astabelecido na Regulamentação Mejrorógica.

Av. Dom Pedro II, 2.042 - B. Campestre - Santo André - SP - CEP 09080-001 - Fone/Fax: (11) 4473 3620 Site: www.metrotec.com.br e-mail: metrotec@metrotec.com.br

Certificate of Calibration

Certificate No.: 1180189

Object

Building Acoustic Tapping Machine Nor277

Supplier

Norsonic AS

Туре

Nor277

Serial number

2775688

Client

Scantek Inc.

USA

Calibration complies with the following standards

ISO 140 - 6, - 7 and - 8 ASTM E492-04 ASTM E1007-04e1

Additional specifications:

Hammer weight: (500 ± 4) g

Hammer curvature radius: (500 ± 60) mm Hammer speed: (0.886 ± 0.022) m/s

Instrumentation used for calibration traceable to

Electrical Parameters: MT, Norway

Mechanical parameters: Justervesenet, Norway

Environmental Parameters: IKM, Norway, Justervesenet, Norway

Adjustments

None

Comments

None

Date of calibration

13-okt-11

Calibration interval

2 years

recommend

Reference environmental condition for calibration: (23 ± 5)°C, (50 ± 30) %RH

Calibrated by

Tor Aarvik

Sign.

Norscriic AS, P.B 24, 3421 Lierskogen, Visitor address: Gunnersbråtan 2, Tranby, Norway,
Phone +47 32858900 Fax.: +47 3285208, amail: norscriic@online.no